

**გ. ლეხებაძე**

**ზოგადი ელექტრონიკა**

**ლაპტოპათოლოგი სამუშაოები პრაციენტერზე**

**თბილისი**

**2014**

## შინაგან მუსიკურის დაწესებულებები

ლაბორატორიულ სამუშაოთა ეს ციკლი შედგენილია ზოგადი ელექტრონიკის დისციპლინის სასწავლო პროგრამის მიხედვით და განკუთვნილია ენერგეტიკისა და ტელეკომუნიკაციის ფაკულტეტის მეორე კურსის სტუდენტებისათვის.

გირტუალური ლაბორატორიული სამუშაოების შესასრულებლად გამოყენებულია მაღალეფების ური და ამავდროულად ადგილად ათვისებადი კომპიუტერული პროგრამა **Electronics Workbench (EWB)**. პროგრამის ერთ-ერთ ღირსებად უნდა ჩაითვალოს ის, რომ მასში გამოყენებული მზომი – მაკონტროლებელი ხელსაწყოები გარე ხედით, მართვის ორგანოებით და მახასიათებელებით მაქსიმალურადაა მიახლოებული მათ ფიზიკურ ანალოგებთან. ამით სტუდენტს საშუალება ეძლევა შეიძინოს პრაქტიკაში ფართოდ გამოყენებულ ისეთ ხელსაწყოებთან მუშაობის პრაქტიკული უნარ-ჩვევები, როგორიცაა კოლტმეტრები, მულტიმეტრები, თსცილოგრაფი, ფუნქციური გენერატორი და სხ.

მაღალი სასწავლო ეფექტის გარდა, კომპიუტერული პროგრამის გამოყენება ისეთი პრობლემების გადაჭრის საშუალებას იძლევა, როგორიცაა: ლაბორატორიულ სამუშაოს ჩასატარებლად მოსამზადებელი დროის მნიშვნელოვანი შემცირება, ისეთი ექსპერიმენტების ჩატარება, რაც ფიზიკურ ლაბორატორიულ დანადგარზე შეუძლებელია, ავტომატიზებული დაპროექტების უნარზვევების შეძენა, ლაბორატორიული პრაქტიკუმის ცალკეული ფრაგმენტების სტუდენტებისათვის საშინაო დავალების სახით მიცემა, სტუდენტისათვის ინდივიდუალური დავალების მიცემა.

# 1. Electronics Workbench პომპიუტერული პროგრამა პროგრამასთან

## მუშაობის მოძღვა ინსტრუმენტია

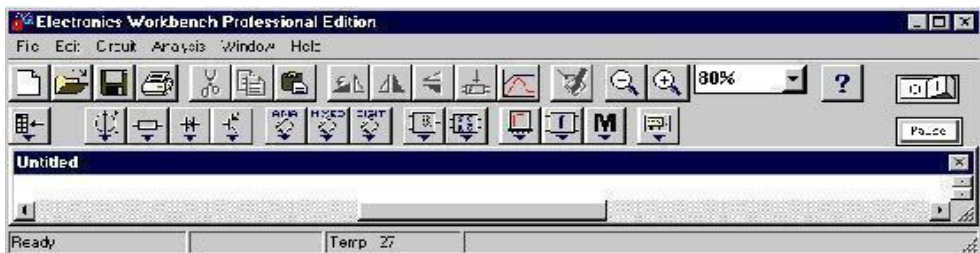
### 1.1. პროგრამის გიგლიორთება

**Electronics Workbench** კომპიუტერული პროგრამა წარმოადგენს ანალოგური და ციფრული ელექტრონული მოწყობილობების სქემების მოდელირების და ანალიზის საშუალებას. პროგრამაში არსებული ბიბლიოთეკები შეიცავს ელექტრონულ კომპონენტების ფართო სპექტრს.

კომპონენტების პარამეტრების ცვლილება შესაძლებელია საკმაოდ დიდ დიაპაზონში. პასიური კომპონენტები აღიწერება პარამეტრებით, რომელთა მნიშვნელობის შეცვლა შესაძლებელია კლავიატურის საშუალებით. აქტიური ელემენტები წარმოდგენილია მოდელის სახით.

მოდელირების შედეგების გამოტანა შესაძლებელია პრინტერზე, ხოლო ტექსტური ან გრაფიკული რედაქტორის საშუალებით ხდება მისი იმპორტირება შემდგომი უფრო სრულყოფილი დამუშავებისათვის, მაგალითად **MATLAB-ში**, **MATCAD-ში** და **სხვ.**.

კომპიუტერული პროგრამის სტანდარტული პანელი შემდეგი სახისაა:



პროგრამის გაშვება ხდება მონიტორის ეკრანზე (**Desktop**) განთავსებული პროგრამის ხატულაზე თაგვით ორჯერ დაწვერით, რის შემდეგაც მონიტორზე აისახება **EWB** პროგრამის მუშა ფანჯარა. მუშა ფანჯარა ორადაა გაყოფილი: მთავარი და სამუშაო. მთავარი ფანჯარა შეიცავს: მენიუების (**File, Edit, Circuit, Analysis, Window, Help**) ველს; ვინდოუსის სტანდარტული ღილაკებიდან შედგენილ პანელს, კომპონენტებისა და მაკონტროლებელი საზომი ხელსაწყოების ქვეჯგუფების აღმნიშვნელი ღილაკებისაგან შედგენილ პანელს, სქემის მოდელირების გამშვებ, მოდელირების შემწყვეტ ( **●●** ) და მოდელირების დროებით შემჩერებელ (**Pause**) ღილაკებს.

კომპონენტებისა და მაკონტროლებელი საზომი ხელსაწყოს პანელის თითოეული ღილაკის გაქტიურებით ეკრანზე ჩნდება შესაბამის ქვეჯგუფში შემავალი კომპონენტების ბიბლიოთეკა, გრაფიკული აღნიშვნით და ქვეჯგუფის დასახელებით. თითოეული ბიბლიოთეკის კომპონენტის გრაფიკულ აღნიშვნაზე თაგვის კურსორის მიტანით ჩნდება ამ კომპონენტის დასახელება. სამუშაო ფანჯარაში ხდება გამოსაკვლევი მოწყობილობის ელექტრული პრინციპული სქემის შედგენა. ქვემოთ განხილულია მუშა ფანჯარაში განლაგებული ღილაკების, აგრეთვე კომპონენტთა ქვეჯგუფებისა და საზომი - მაკონტროლებელი ხელსაწყოების სახეობები და დანიშნულება.

სტანდარტული ღილაკების პანელი შეიცავს:

-  ღილაკი "**New**" (შექმნა) ახალი დოკუმენტის შექმნა **[Ctrl + N]**.
-  ღილაკი "Save" (დამახსოვრება) - მოცემული დოკუმენტის დამახსოვრება **[Ctrl + S]**.
-  ღილაკი "**Print**" (ბეჭდვა) - მოცემული დოკუმენტის ამობეჭდვა **[Ctrl + P]**.
-  ღილაკი "**Cut**" (ამოჭრა), -კლავიშების კომბინაცია **[Ctrl + X]**.
-  ღილაკი "**Copy**" (კოპირება) - -კლავიშების კომბინაცია **[Ctrl + C]**.
-  ღილაკი "**Paste**" (ჩადგმა) - ბუფერიდან გადატანა მონიშნულ ადგილას **[Ctrl + V]**.
-  ღილაკი "**Rotate**" (მობრუნება) - მონიშნული ობიექტის მობრუნება **[Ctrl + R]**.
-  ღილაკი "**Flip Horizontal**" (მობრუნება მარცხნიდან მარჯვნივ).
-  ღილაკი "**Flip Vertical**" (მობრუნება ზევიდან ქვემოთ).
-  ღილაკი "**Create Sub circuit**" (ქვესქემის შექმნა), **[Ctrl + B]**.
-  ღილაკი "**Display Graphs**" (გრაფიკები).
-  ღილაკი "**Component Properties**" (კომპონენტთა დახასიათება).
-  ღილაკი "**Zoom Out**" (შემცირება)-მასშტაბი.
-  ღილაკი "**Zoom In**" (გაზრდა)-მასშტაბი.
-  მოცემული ღილაკი იძლევა მასშტაბის გაზრდის ან შემცირების პროცენტულ სიდიდეს

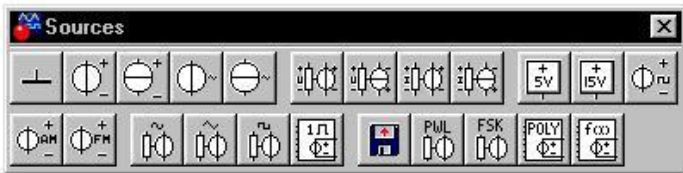


**?** ღილაკი "Help" (დახმარება)-მოცემული პანელის შესახებ ცნობის გამოძახება.

კომპონენტების და ინსტრუმენტების პანელი შეიცავს ღილაკებს, რომელთა გამოყენებით შესაძლებელია სამუშაო ფანჯარაში კომპონენტებისა და ხელსაწყოების გამოტანა.

ესენია:

**?** ღილაკი "Sources"-„ სიგნალების წყაროები“. სიგნალების წყაროების ცნების ქვეშ იგულისხმება არა მარტო კვების წყაროები, არამედ მართვადი წყაროებიც.



**+** დამიწება.

**Φ<sub>-</sub>** ბატარეა (ძაბვის წყარო).

**Φ<sub>+</sub>** მუდმივი დენის წყარო

**Φ~** ცვლადი ძაბვის გენერატორი.

**Φ~** ცვლადი დენის წყარო.

**5V** ფიქსირებული ძაბვის წყარო **+5B**.

**15V** ფიქსირებული ძაბვის წყარო **+15B**.

**Φ<sub>AM</sub>** ამპლიდუტით მოდულირებული რხევების გენერატორი.

**Φ<sub>FM</sub>** სიხშირით მოდულირებული რხევების გენერატორი.

**ΦΦ** სინუსოიდური დენის წყარო.

**ΦΦ** ხერხისებური ძაბვის წყარო.

**ΦΦ** მართკუთხა იმპულსების გენერატორი.

-  უბან-უბან წრფივი ძაბვის წყარო.
-  მართვადი ერთჯერადი იმპულსის წყარო.
-  პოლინომური წყარო.
-  არაწრფივი სიგნალების წყარო.
-  ძაბვით მართვადი უბან-უბან წრფივი ძაბვის წყარო.
-  სიხშირული მანიპულატორი.
-  დენით მართვადი დენის წყარო.
-  ძაბვით მართვადი დენის წყარო.
-  დენით მართვადი ძაბვის გენერატორი.
-  ღილაკზე "**Basic**" (ძირითადი) დაწვაპვით გამოჩნდება მოცემული დასახელების ქვეშ არსებული კომპონენტები:



-  გამტარების შემაერთებელი წერტილი.
-  რეზისტორი.
-  კონდენსატორი.
-  ინდუქციურობის კოჭა.
-  ტრანსფორმატორი.
-  ცვლადი ტევადობის კონდენსატორი.
-  ელექტროლიტური კონდენსატორი.
-  ცვლადი ინდუქციურობის კოჭა.
-  ერთნაირი წინაღობის რვა დამოუკიდებელი რეზისტორისაგან შემდგენი ნაკრები.

 მუდმივი ძაბვის წყარო მიმდევრობით შეერთებული რეზისტორით.

 პოტენციომეტრი.

 არაწრფივი ტრასფორმატორი.

 გადამრთველი.

 რელე.

 გადამრთველი დროითი დაყოვნებით.

 დენით მართვადი გადამრთველი.

 კოჭა გულარის გარეშე.

 ძაბვით მართვადი ანალოგური გადამრთველი.

 ძაბვით მართვადი გადამრთველი.

 ღილაკი „დიოდი“ გამოიძახებს ქვემოთ მოცემულ პანელს:



 ნახევარგამტარული დიოდი.

 სტაბილიტრონი.

 შუქდიოდი.

 გამმართველი ბოგა.

 შოკლის დიოდი.

 ერთოპერაციული ტირისტორი.

 დინისტორი.

 სიმისტორი.

 ღილაკზე „Transistors“-ის დაწკაპვით გამოიძახება ქვემოთ მოცემული პანელი:



 **NPN** ტრანზისტორი.

 **PNP** ტრანზისტორი.

 **P-N** გადასასვლელიანი ველით მართვადი ტრანზისტორი (**N** არხიანი).

-  P-N გადასასვლელიანი ველით მართვადი ტრანზისტორი (P არხიანი).
-  ლდნ ჩაშენებული N-არხიანი ველით მართვადი ტრანზისტორი ფუძე შრისა და სათავის გაერთიანებული გამოსასვლელით.
-  ლდნ ჩაშენებული P არხიანი ველით მართვადი ტრანზისტორი ფუძე შრისა და სათავის გაერთიანებული გამოსასვლელით.
-  ლდნ ჩაშენებული N არხიანი ველით მართვადი ტრანზისტორი ფუძე შრის დაცალკევებული გამოსასვლელით.
-  ლდნ ჩაშენებული P არხიანი ველით მართვადი ტრანზისტორი ფუძე შრის დაცალკევებული გამოსასვლელით.
-  ლდნ დაინდუქციებული N არხიანი ველით მართვადი ტრანზისტორი ფუძე შრისა და სათავის გაერთიანებული გამოსასვლელით.
-  ლდნ დაინდუქციებული P არხიანი ველით მართვადი ტრანზისტორი ფუძე შრისა და სათავის გაერთიანებული გამოსასვლელით.
-  ლდნ დაინდუქციებული N არხიანი ველით მართვადი ტრანზისტორი ფუძე შრისა და სათავის გაერთიანებული გამოსასვლელით.
-  ლდნ დაინდუქციებული P არხიანი ველით მართვადი ტრანზისტორი ფუძე შრის დაცალკევებული გამოსასვლელით.
-  ლდნ დაინდუქციებული N არხიანი ველით მართვადი ტრანზისტორი ფუძე შრის დაცალკევებული გამოსასვლელით.
-  ლდნ დაინდუქციებული P არხიანი ველით მართვადი ტრანზისტორი ფუძე შრის დაცალკევებული გამოსასვლელით.
-  ველით მართვადი N არხიანი და გალიუმის არსენიდიანი ტრანზისტორი.
-  ველით მართვადი P არხიანი და გალიუმის არსენიდიანი ტრანზისტორი.
-  ღილაკზე „Analog ICs“ (ანალოგური ინტეგრალური მიკროსქემები): დაწყაპვით გამოიძახება ქვემოთ მოცემული პანელი:
- 
-  ოპერაციული მაძლიერებლის წრფივი მოდელი (3-გამომყვანიანი).
  -  ოპერაციული მაძლიერებლის არაწრფივი მოდელი (5-გამომყვანიანი).
  -  ოპერაციული მაძლიერებლი შვიდი გამომყვანით.
  -  ოპერაციული მაძლიერებელი ცხრა გამომყვანით.



კომპარატორი.



სიხშირეების ავტომატური ფაზური სინქრონიზაციის სქემა.



ღილაკი „**Mixed ICs**“ (შერეული ტიპის მიკროსქემები). გამოიძახება: ანალოგურ-ციფრული გარდამქმნელი (ADC), ციფრულ-ანალოგური გარდამქმნელი (DAC), ციფრულ-ანალოგური გარდამქმნელი გარეშე საყრდენი ძაბვით (DAC-V), მომლოდინე მულტივიბრატორი (MONO), ინტეგრალური ტაიმერი.



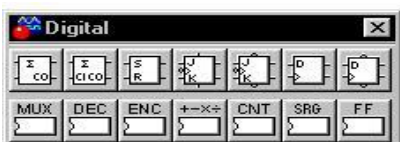
ღილაკი "**Digital ICs**" -ციფრული ინტეგრალური მიკროსქემები. ეს განყოფილება შეიცავს პროგრამაში შეტანილ ტტლ (74xx ... 744xx) და ლონ (4xxx) ლოგიკის მქონე ციფრული მიკროსქემების მოდელებს.



ღილაკი "**Logic Gates**" -ლოგიკური ელემენტები და ამ ელემენტების შემცველი სერიული მიკროსქემები:



ღილაკი "**Digital**" (ციფრული სქემები). ამ განყოფილებაში გაერთიანებულია: ნახევრად მაჯამებელი, სრულად მაჯამებელი, RS ტრიგერი, JK ტრიგერი, D ტრიგერი და ისეთი სერიული მიკროსქემები, რომლებიც შეიცავენ მულტიპლექსორებს (MUX), დეშიფრატორებს (DEC), შიფრატორებს (ENC), არითმეტიკულ-ლოგიკურ მოწყობილობებს (+ - x : ).



ღილაკი "Indicators" (ინდიკატორული მოწყობილობები):



ვოლტმეტრი.

ამპერმეტრი.

ვარვარების ნათურა.

ლოგიკური სასინჯი.

შვიდსეგმენტიანი ინდიკატორი.

შვიდსეგმენტიანი ინდიკატორი დეშიფრატორი.

ხმოვანი ინდიკატორი.

დონის გამზომი ინდიკატორი (ათი დამოუკიდებელი შუქდიოდი).

ათი შუქდიოდი ანალოგურ-ციფრული გარდამსახით.

ღილაკი "Controls" (მართვის ანალოგური მოწყობილობები):



ღილაკი "Miscellaneous" (შერეული ტიპის კომპონენტები):



მცენი.

მონაცემების ჩამწერი.

მიკრომოდელების ნაკრები(ქვესისტემა).

გადაცემის ხაზი დანაკარგებით.

გადაცემის ხაზი დანაკარგების გარეშე.

კვარციანი რეზონატორი.

მუდმივი დენის კოლექტორული მანქანა.

ელექტროვაკუუმიანი ტრიოდი.

ამაღლებელი იმპულსური სტაბილიზატორი.

დამადაბლებელი იმპულსური სტაბილიზატორი.

ამაღლებელ-დამადაბლებელი სტაბილიზატორი.

 ტექსტის შედგენა.

 ნახაზის შედგენა.

 ღილაკი "Instruments" (ხელსაწყოები):



 მულტიმეტრი.

 ფუნქციური გენერატორი.

 ორარხიანი ოსცილოსკოპი.

 ამპლიდუტურ-სიხშირული და ფაზურ-სიხშირული მახასიათებლების მზომი.

 სიტყვების გენერატორი.

 ლოგიკური ანალიზატორი.

 ლოგიკური გარდამქმნელი.

## 1.2. მოწყობილობის მოდელის სტამბის შედგენის მეთოდის

**ELECTRONICS WORKBENCH** პროგრამის საშუალებით ელექტრული პრინციპული სქემის შედგენამდე საჭიროა ქაღალდის ფურცლზე სქემის შესაბამისი ისეთი ესკიზის მომზადება, რომელშიც გათვალისწინებული იქნება როგორც კომპონენტების განლაგება, ისე ცალკეული ფრაგმენტების ქვესქემების სახით გაფორმების შესაძლებლობები. სქემის შედგენის პროცესი იწყება ფანჯარაში იმ კომპონენტების განლაგებით, რომლებიც გამოსახულია ესკიზზე. კომპონენტების ბიბლიოთეკის სასურველი განყოფილების გახსნის შემდეგ ხდება საჭირო კომპონენტის ნიშნავზე თაგვის კურსორის მიტანა და თაგვის მარცხენა ღილაკზე დაჭრა. კომპონენტის რუხი ფერის წითელი ფერით შეცვლის შემდეგ შერჩეული კომპონენტის ნიშნაკი გადაადგილდება თაგვის კურსორის მეშვეობით სამუშაო ფანჯრის სასურველ ადგილზე და მარცხენა ღილაკის განთავისუფლების შემდეგ ის დაფიქსირდება.

კომპონენტის ნიშნავზე თაგვის ორჯერ დაწკაპვით ხდება მისი შესაბამისი დიალოგური ფანჯრის გამოძახება. ამ უკანასკნელის მეშვეობით კომპონენტს მიენიჭება პოზიციური აღნიშვნა და შეირჩევა პარამეტრების სასურველი მნიშვნელობები.

შერჩეული პარამეტრების დადასტურებისათვის გამოიყენება ღილაკი **Accept** ან კლავიში **Enter**. კომპონენტების განლაგებისას საჭიროა აგრეთვე საკონტროლო წერტილებისა და მზომი-მაკონტროლებელი ხელსაწყოების განლაგების გათვალისწინება.

კომპონენტების განლაგების შემდეგ საჭიროა მათი გამომყვანების ერთმანეთთან დაკავშირება გამტარების მეშვეობით. ამასთან, უნდა აღინიშნოს, რომ კომპონენტის თითოეულ გამომყვანთან შესაძლებელია მხოლოდ ერთი გამტარის მიერთება.

შეერთების მოსახდენად საჭიროა თაგვის კურსორის მიტანა კომპონენტის გამომყვანთან და პატარა შავი ბურთულის გამოჩენის შემდეგ თაგვის მარცხენა ღილაკზე დაჭრა. კომპონენტის გამომყვანთან წარმოქმნილი გამტარი, თაგვის მეშვეობით მიიტანება მეორე კომპონენტის გამომყვანთან და ამ უკანასკნელთან პატარა შავი ბურთულის გამოჩენისთანავე თაგვის მარცხენა ღილაკი თავისუფლდება.

ამ ოპერაციის შესრულებით ორი კომპონენტის თითო გამომყვანი ერთმანეთს უკავშირდება გამტარის მეშვეობით. თუ საჭიროა კომპონენტის გამომყვანის დაკავშირება რამდენიმე კომპონენტის გამომყვანთან (ან ერთი კომპონენტის რამდენიმე გამომყვანთან), მაშინ **Basic** განყოფილებიდან გამოიტანება შეერთების წერტილი წითელი ფონით და იგი დაიტანება გატარებულ გამტარზე. სამუშაო ფანჯრის თავისუფალ ადგილზე თაგვის ორჯერ დაწკაპვით წერტილი გაშავდება. თუ ამ წერტილსა და გამტარს შორის ელექტრული შეერთება განხორციელდება, მაშინ წერტილი მთლიანად შავდება. თუ შეერთების წერტილზე ჩანს გადამკვეთი გამტარის კვალი, მაშინ შეერთება არ არის განხორციელებული და საჭიროა წერტილის განთავსების ოპერაციის ხელახალი შესრულება.

შეერთების წერტილის დასმის შემდეგ, შესაძლებელია გატარებულ გამტართან კიდევ ორი გამტარის დაკავშირება. თუ საჭიროა გამტარის გაუქმება, მაშინ თაგვის კურსორი მიიტანება ერთ-ერთი კომპონენტის გამომყვანთან ან შეერთების წერტილთან და ამ უკანასკნელთან შავი წერტილის გაჩენის შემდეგ ხდება თაგვის მარცხენა ღილაკზე დაჭრა. ერთი ბოლოდან განთავისუფლებული გამტარი გადაადგილდება თაგვის მეშვეობით სამუშაო ფანჯრის თავისუფალ ადგილზე და მარცხენა ღილაკი თავისუფლდება.

თუ საჭიროა კომპონენტის გამომყვანის დაკავშირება უკვე გატარებულ გამტართან, მაშინ კომპონენტის გამომყვანიდან აიღება ახალი გამტარი და ეს უკანასკნელი მიიტანება არსებულ გამტართან. შეერთების წერტილის წარმოქმნის შემდეგ თაგვის მარცხენა ღილაკი თავისუფლდება.

შეერთების წერტილის გამოყენება შეიძლება არა მხოლოდ გამტარების შესაერთებლად, არამედ სქემაზე წარწერის დასატანად (მაგალითად, გამტარში დენის მნიშვნელობის მითითება, გამტარის ფუნქციური დანიშნულება და სხვ.). წარწერის დასატანად საჭიროა წერტილზე თაგვის ორჯერ დაწკაპვა და გახსნილ დიალოგურ ფანჯარაში შესაბამისი მონაცემების შეტანა.

წარწერაში შემავალი სიმბოლოების რაოდენობა არ უნდა აღემატებოდეს თოთხმეტს და წარწერის დამვრა შესაძლებელია მარჯვნივ, მარცხნიდან საჭირო რაოდენობის “ცარიელი სიმბოლოს” შეტანის შემდეგ. ეს თვისება შეიძლება გამოყენებული იქნეს იმ შემთხვევაში, როდესაც კომპონენტის პოზიციური აღნიშვნა (მაგალითად R1, C10) ეხება გვერდით გამავალ გამტარს ან სქემის სხვა ელემენტს.

გამტარის ცალკეული სეგმენტის გადაადგილება შესაძლებელია განხორციელდეს შემდეგნაირად: თაგვის კურსორი მიიტანება გამტართან, დაეჭირება მარცხენა ღილაკს და ვერტიკალური ან ჰორიზონტალური მიმართულებით ორმაგი კურსორის გაჩენის შემდეგ შესრულდება გამტარის სეგმენტის გადაადგილება.

სქემასთან მაკონტროლებელი საზომი ხელსაწყოების მიერთება ხდება ანალოგიურად. ამასთან, ისეთი ხელსაწყოების შეერთება, როგორიცაა ოსცილოსკოპი და ლოგიკური ანალიზატორი, მიზანშეწონილია შესრულდეს ფერადი გამტარებით, რადგან გამტარის ფერი განსაზღვრავს ოსცილოსკოპის ეკრანზე მიღებული გამოსახულების ფერს.

გამტარის ფერის შესაცვლელად შესაბამის გამტარზე უნდა განხორციელდეს თაგვის ორჯერ დაწკაპვა. ამის შემდეგ გაიხსნება ფანჯარა, სადაც უნდა მოხდეს სასურველ ფერზე თაგვის ერთხელ დაწკაპვა.

სქემაში გამოყენებული ფუნქციური გენერატორისა და ოსცილოსკოპის საჭირო რეჟიმში ჩასაყენებლად საჭიროა მათ ხატულაზე ორჯერ დაწკაპვა. სამუშაო ფანჯარაში აისახება ფუნქციური გენერატორისა და ოსცილოსკოპის წინა პანელი, რომელზეც უნდა განხორციელდეს საჭირო რეჟიმის შერჩევა.

პროგრამის მუშა ფანჯრის დასახურად საჭიროა მარჯვენა ზედა კუთხეში განთავსებულ .გ ნიშნავზე თაგვით დაწკაპვა.

**ლაპორატორიული სამუშაო №1**  
**ნახევარგამტარული დიოდების გამოკვლევა**

## 1. სამუშაოს მიზანი

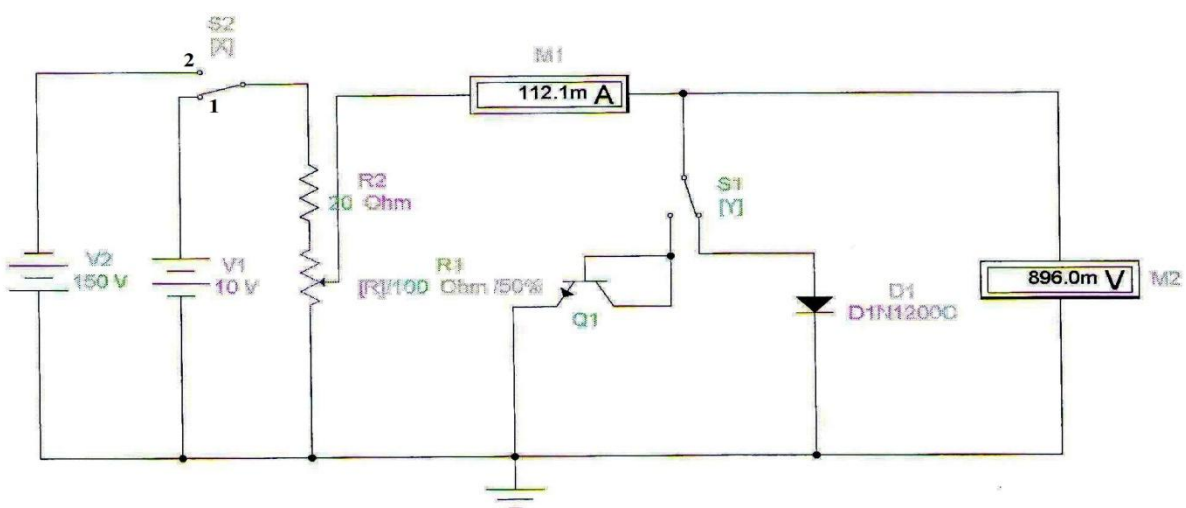
ნახევარგამტარული დიოდისა და დიოდურ რეჟიმში მომუშავე ტრანზისტორის მახასიათებლების გადაღება, პარამეტრების განსაზღვრა და მიღებული შედეგების ანალიზი.

## 2. სამუშაოს შენაპარი

- 2.1. დიოდის სრული ვოლტ-ამპერული მახასიათებლის გადაღება;
- 2.2. დიოდურ რეჟიმში მომუშავე ტრანზისტორის ვოლტ-ამპერული მახასიათებლის გადაღება;
- 2.3. დიოდისა და დიოდურ რეჟიმში მომუშავე ტრანზისტორის პარამეტრების ექსპერიმენტული განსაზღვრა.

## 3. გამოსაკვლევი ხელსაწყოების გოლტ-ამპერული მახასიათებლის გადასაღები ვირტუალური სიმულაცია

დიოდისა და დიოდურ რეჟიმში მომუშავე ტრანზისტორის ვოლტ-ამპერული მახასიათებლის გადასაღები ვირტუალური სქემის აწყობა ხდება 1.1 ნახაზზე წარმოდგენილი ესკიზის მიხედვით.

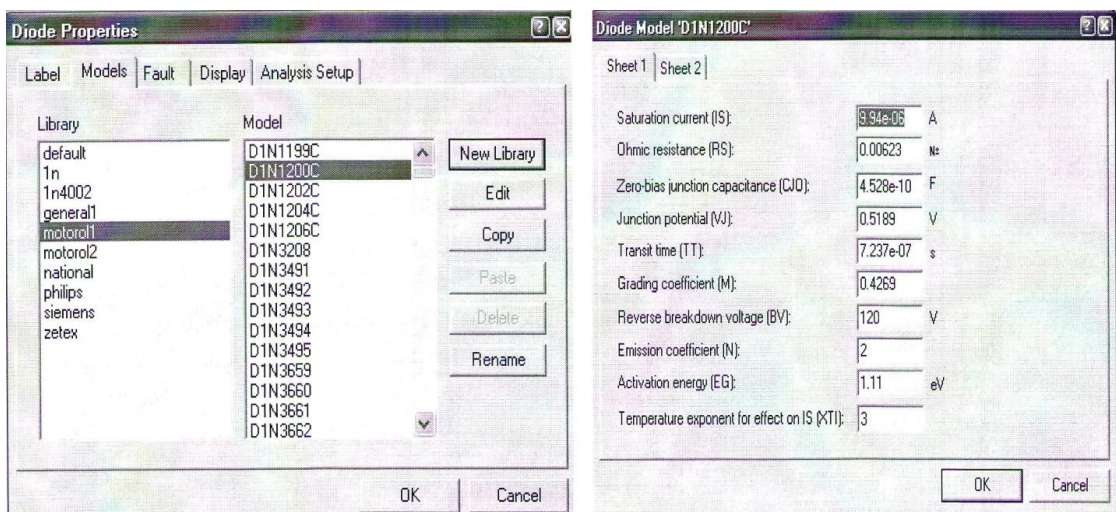


ნახ.1.1. დიოდისა და დიოდურ რეჟიმში მომუშავე ტრანზისტორის ვოლტ-ამპერული მახასიათებლის გადასაღები ვირტუალური სქემა

ვირტუალური სქემა შეიცავს:

- გამოსაკვლევი დიოდისა და დიოდურ რეჟიმში მომუშავე ტრანზისტორის ვირტუალურ მოდელებს (**D<sub>1</sub>, Q<sub>1</sub>**);
- მუდმივი ძაბვის წყაროების ვირტუალურ მოდელებს, დიოდების ვოლტ-ამპერული მახასიათებლის პირდაპირი და უკუშტოების გადასაღებად (**V<sub>1</sub>, V<sub>2</sub>**);
- გადამრთველების ვირტუალურ მოდელებს ([X], [Y]);
- პოტენციომეტრს, დიოდებზე მიწოდებული ძაბვის სიდიდის სარეგულირებლად;
- ვირტუალურ სქემურ ხელსაწყოებს: ამპერმეტრსა და ვოლტმეტრს.

ვირტუალურ სქემაში ჩართული დიოდის (**D1N1200C**) სადიალოგო პარამეტრების ფანჯარა ნაჩვენებია 1.2 ნახაზზე.

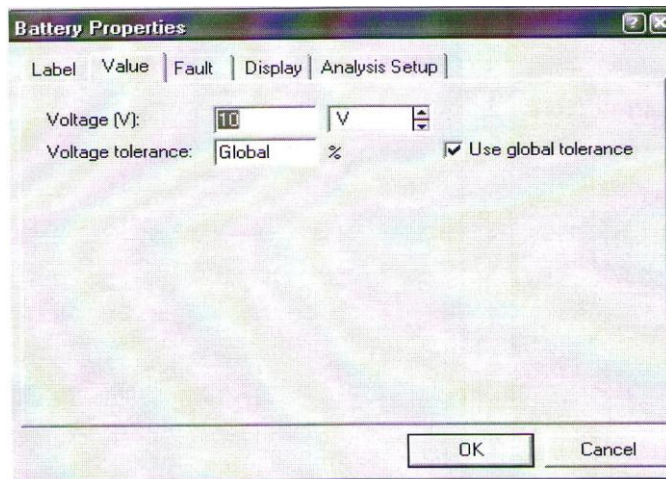


ნახ.12. D1N1200C ტიპის დიოდის სადიალოგო პარამეტრების ფანჯარა

სადიალოგო ფანჯარაში შეტანილია დიოდის შემდეგი პარამეტრები:

- გაჯერების უკუდენი (Saturation current [IS]);
- გადასასვლელის პოტენციალური ბარიერი (Junction potential [V]);
- გამრღვევი უკუძაბვა (Reverse breakdown Voltage [BV]);
- და სხვ.

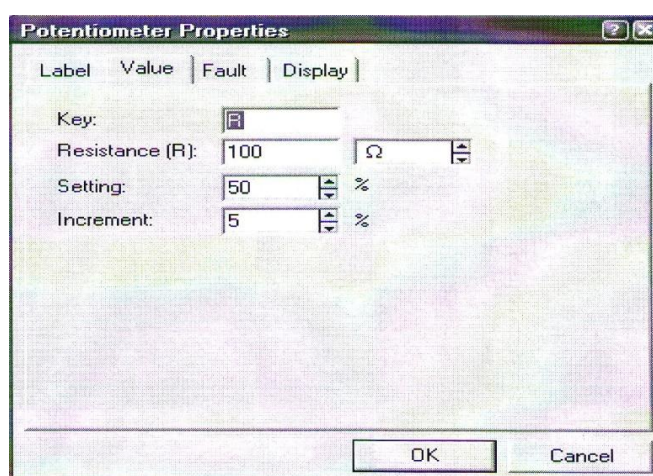
მუდმივი ძაბვის წყაროს სადიალოგო ფანჯარაში (ნახ.13) შეტანილი უნდა იქნას ძაბვის საჭირო სიდიდე.



ნახ.13. მუდმივი ძაბვის წყაროს სადიალოგო ფანჯარა

ვირტუალურ სქემაში გამოყენებული პოტენციომეტრის ვირტუალური მოდელის სადიალოგო ფანჯარაში (ნახ.14) შეტანილია შემდეგი პარამეტრები:

- **Key** (გასაღები) განსაზღვრავს კლავიატურის კლავიშის სიმბოლოს (დუმილის რეჟიმში ეს სიმბოლოა **R**), რომელზეც დაჭერის დროს პოტენციომეტრის წინაღობა მცირდება განსაზღვრული სიღრმით %-ში (დამოკიდებულია ცვლილების ბიჯის **Increment**) ველში დაფიქსირებულ %-ზე), ანდა იზრდება იგივე სიღრმით **Shift+R** კლავიშების კომბინაციაზე დაჭერისას;
- მეორე პარამეტრია ნომინალური წინაღობა, რომელიც ფიქსირდება **Resistance [R]** გელში;
- მესამე პარამეტრია წინაღობის საწყისი სიღრმე (**Setting**) %-ში (დუმილის რეჟიმში 50%).



ნახ.14. პოტენციომეტრის პარამეტრების დაკვეთის სადიალოგო ფანჯარა

#### 4. ლაბორატორიული სამუშაოს შესრულების თანამიმდევრობა

დიოდისა და დიოდურ რეჟიმში მომუშავე ტრანზისტორის ვოლტ-ამპერული მახასიათებლების გადაღებას ვახდენთ 1.1 ნახაზზე მოცემული ვირტუალური სქემის გამოყენებით. ვოლტ-ამპერული მახასიათებლის პირდაპირი შტოს გადაღებისას [X] უნდა გადაიროს 1-მდგომარეობაში.

ლაბორატორიული სამუშაოს შესრულების დროს გამოსაკვლევი დიოდისა და ტრანზისტორის ტიპს, ინდივიდუალური დავალების სახით, სტუდენტი ღებულობს მასწავლებლისგან. დამოუკიდებელი შესწავლის დროს ის შეიძლება აღებული იქნას ისეთი, როგორიც 1.1 ნახაზზეა ნაჩვენები. ვოლტ-ამპერული მახასიათებლის პირდაპირი და უკუშებლების გადაღების დროს შესავალი ძაბვის (**V1, V2**) სიდიდე სტუდენტმა უნდა შეირჩიოს დიოდის სადიალოგო ფანჯარაში დაფიქსირებული პარამეტრების გათვალისწინებით.

დიოდისა და დიოდურ რეჟიმში მომუშავე ტრანზისტორის ვოლტ-ამპერული მახასიათებლის პირდაპირი შტოს გადაღებისას პოტენციომეტრზე მიერთებულია **V1** ძაბვის წყარო. პოტენციომეტრიდან გამოსული ძაბვა იცვლება 0-დან 100%-მდე, 5%-ის ტოლი ბიჯით. გაზომვითა და გაანგარიშებით მიღებული შედეგები შეიტანება №1 ცხრილში.

ცხრილი 1

დიოდი								ტრანზისტორი დიოდურ რეჟიმში							
მოცემულობა		გაზომვით			გაანგარიშებით			მოცემულობა		გაზომვით			გაანგარიშებით		
$u_1$	[R]	$u_0$	$I_a$	$u_a$	$r$	$R$	$\beta$	$u_1$	[R]	$u_0$	$I_a$	$u_a$	$r$	$R$	$\beta$
3	%	მლვ	მლა	მლვ	ომ	ომ	-	3	%	მლვ	მლა	მლვ	ომ	ომ	-

ვოლტ-ამპერული მახასიათებლის უკუშებოს გადაღების დროს  $[R]$   
 პოტენციომეტრს **S2** გადამრთველით უნდა მიუერთდეს **V2** ძაბვის წყარო, რის შემდეგაც დიოდზე იმოქმედებს უკუშაბვა. უკუშებოს საწყისი უბნის გადაღებას ვახდენთ  $[R]$  პოტენციომეტრის პარამეტრთა ფანჯარაში ძაბვის ცვლილების 1%-ის ტოლი ბიჯის დაფიქსირებით და დიოდზე მიწოდებული **V2** უკუშაბვის 0-დან 5% -მდე ცვლილებით. ვოლტ-ამპერული მახასიათებლის უკუშებოს საწყისი უბნის გადაღების შემდეგ, უკუშაბვის ცვლილების ბიჯს გავზრდით 5%-მდე და ვზრდით დიოდზე მიწოდებულ უკუშაბვას ვიდრე იგი არ გადააჭარბებს დიოდის პარამეტრთა ფანჯარაში დაფიქსირებულ გამრღვევი უკუშაბვის მნიშვნელობას. ჩავინიშნავთ დიოდის გამრღვევი

უკუმაბდის ფაქტოურ მნიშვნელობას. გაზომვებით მიღებული შედეგები შეგვაქვს №2 ცხრილში.

## ცხრილი 2

მოცემულობა		გაზომვით			გაანგარიშებით
V2	[R]	$u_{\vartheta}$	$u_{\vartheta \text{გარ}}$	$I_{\vartheta}$	$R_{\vartheta}$
3	%	3	3	0.3	30Ω

შედგენილი №1 და №2 ცხრილების მიხედვით აიგება ნახევარგამტარული დიოდის ვოლტ-ამპერული მახასიათებლის პირდაპირი და უკუ შტოები, აგრეთვე დიოდურად ჩართული ტრანზისტორის ვოლტ-ამპერული მახასიათებლის პირდაპირი შტო. მახასიათებლები უნდა აიგოს ერთ კოორდინატთა სისტემაში, ძაბვისა და დენის დერეგბზე მასშტაბის სათანადო შერჩევით.

ნახევარგამტარული დიოდისა და დიოდურად ჩართული ტრანზისტორის პარამეტრების განსაზღვრა უნდა მოხდეს შემდეგი გამოსახულებების მიხედვით:

- დია დიოდისა და დიოდურად ჩართული ტრანზისტორის დიფერენციალური წინაღობა;

$$r = \frac{\Delta U_a}{\Delta I_a};$$

- დია დიოდისა და დიოდურად ჩართული ტრანზისტორის სტატიკური წინაღობა

$$R = \frac{U_a}{I_a};$$

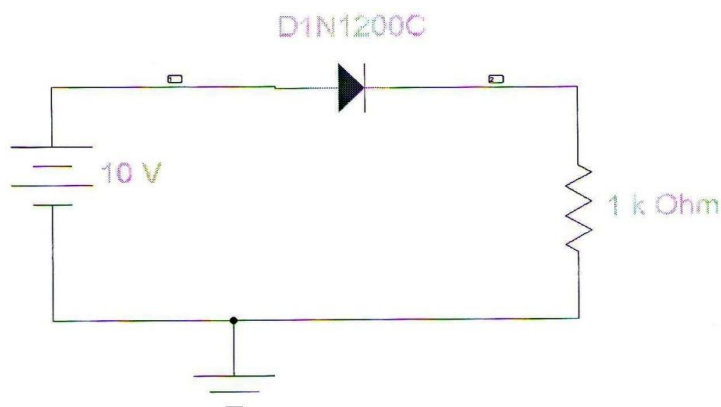
- ვოლტ-ამპერული მახასიათებლის პირდაპირი შტოს არაწრფივობის კოეფიციენტი

$$\beta = \frac{R}{r};$$

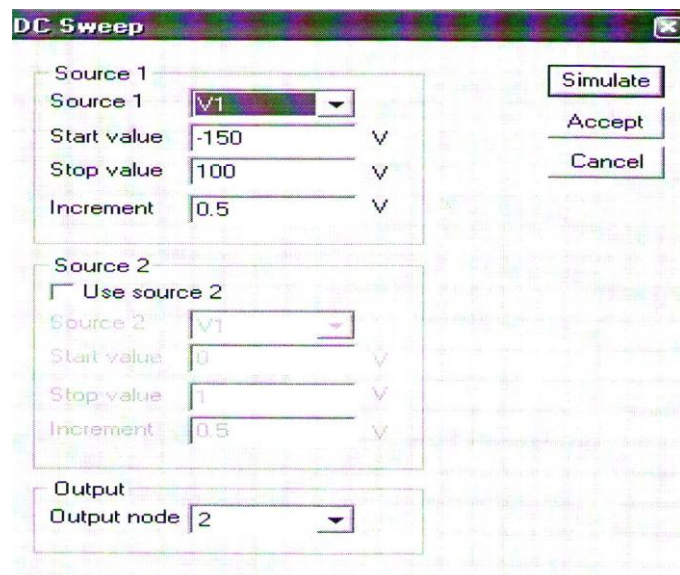
- უკუმაბდით ჩაკეტილი დიოდის ნომინალური სტატიკური წინაღობა

$$R_{\vartheta} = \frac{0,8U_{\vartheta \text{ გარ}}}{I_{\vartheta 0}}.$$

დიოდის ვოლტ-ამპერული მახასიათებელი შეიძლება მიღებულ იქნას უმარტივესი ვირტუალური სქემის საფუძველზე (ნახ.1.5), თუ გამოვიყენებო **EWB** პროგრამის მუდმივი დენის მიხედვით მრავალვარიანტული ანალიზის შესაძლებლობებს. ამისათვის საჭიროა **Analysis** (ანალიზი) მენიუში შესვლა და ჩამოშლილ **DC (Direct Current – მუდმივი დენი) მენიუში DC Sweep** (პარამეტრების გარიაცია) პოზიციის შერჩევა.

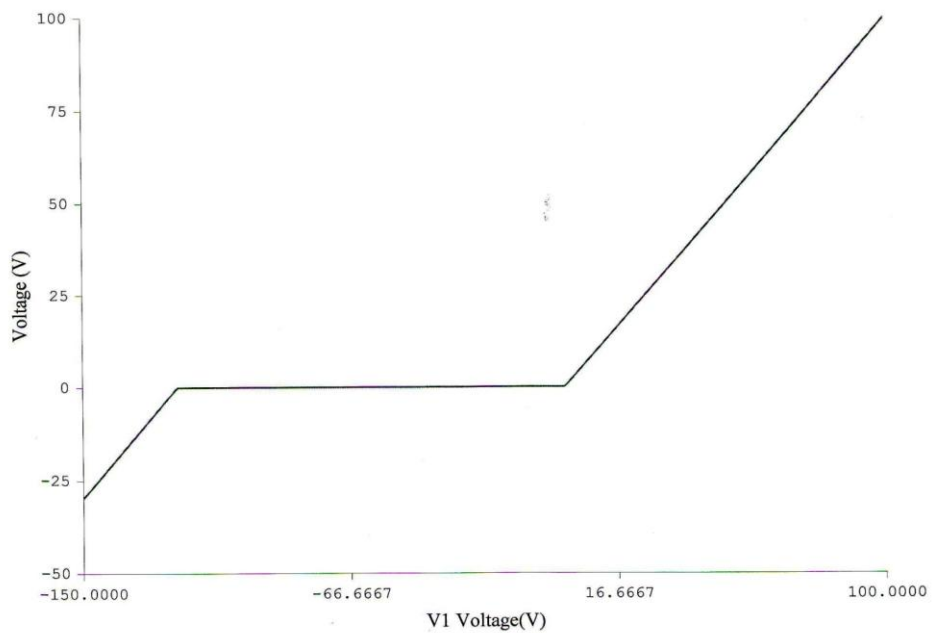


ნახ.1.5.



ნახ.1.6. DC Sweep სადიალოგო ფანჯარა

გახსნილ ფანჯარაში (ნახ.1.6) შეტანილი უნდა იქნას დიოდზე მოქმედი ძაბვის საწყისი (Start value) და საბოლოო (Stop value) მნიშვნელობები, ძაბვის ცვლილების ბიჯის (Increment) მითითებით. მოთხოვნილი მახასიათებლის მისაღებად აუცილებელია გახსნილი ფანჯრის ქვედა ნაწილში სწორად იქნას შეტანილი გამოსავალი კვანძის (Output node) ნომერი. ნომრები ვირტუალური სქემის საკვანძო წერტილებზე, დაისმება Circuit >Schematic Options მენიუში შესვლით და ჩამოშლილ მენიუში Show nodes გააქტიურებით. გახსნილი ფანჯრის Simulate (მოდელირება) ღილაპიჟე დაჭერის შემდეგ მიიღება დიოდის იდეალიზებული ვოლტ-ამპერული მახასიათებელი (ნახ.1.7)



**ნახ.1.7. EWB პროგრამის DC Sweep – მრავალფარიანტული ანალიზის შესრულებით  
მიღებული დიოდის ვოლტ-ამპერული მახასიათებელი**

## 5. ლაბორატორიული სამუშაოს ანგარიშის შინაარსი

- 5.1. დიოდისა და დიოდურად ჩართული ტრანზისტორის ვირტუალური სქემა და მისი აღწერა;
- 5.2. შედგენილი ცხრილები და აგებული ვოლტ-ამპერული მახასიათებლები;
- 5.3. დიოდისა და დიოდურ რეჟიმში მომუშავე ტრანზისტორის მახასიათებლებისა და პარამეტრების ანალიზი. დასკვნები.

**ლაბორატორიული სამუშაო №2**  
**მასტაბილიზებელი ღიოდის (სტაბილიტორის)**  
**გამოკვლევა**

### 1. სამუშაოს მიზანი

მასტაბილიზებელი ღიოდის (სტაბილიტორის) ვოლტ-ამპერული მახასიათებლის გადაღება, პარამეტრების განსაზღვრა და მიღებული შედეგების ანალიზი.

### 2. სამუშაოს შენაარსი

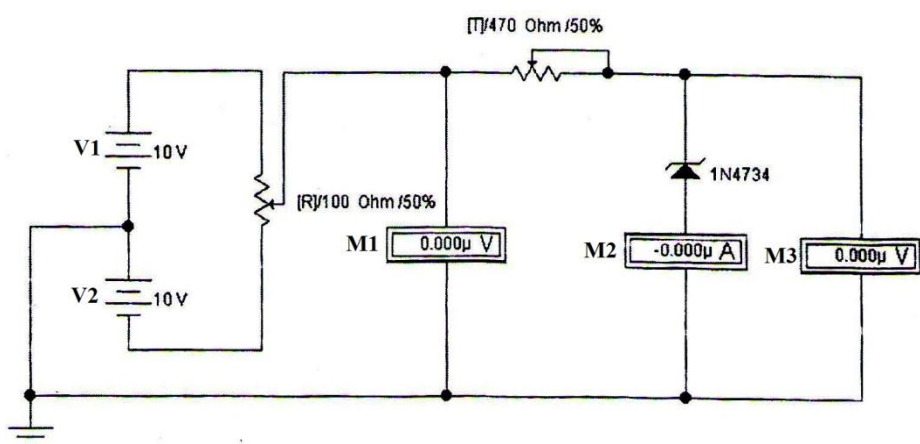
- 2.1. მასტაბილიზებელი ღიოდის სრული ვოლტ-ამპერული მახასიათებლის გადაღება;
- 2.2. მასტაბილიზებელი ღიოდის პარამეტრების ექსპერიმენტული განსაზღვრა.

### 3. გამოსაკვლევი მასტაბილიზებელი ღიოდის (სტაბილიტორის)

**ვოლტ-ამპერული მახასიათებლის გადასაღები**

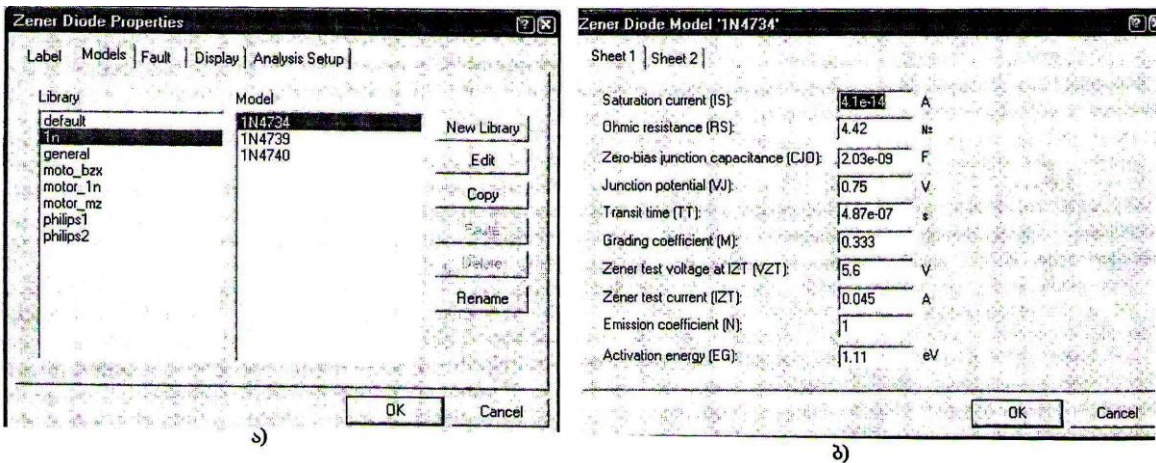
**ვორცშალური სქემის აღწერა**

მასტაბილიზებელი ღიოდის (სტაბილიტორის) ვოლტ-ამპერული მახასიათებლის გადასაღები ვირტუალური სქემა შესაძლებელია აიჭყოს 2.1 ნახაზზე ნაჩვენები ესკიზის მიხედვით.



ნახ.2.1. სტაბილიტორის ვოლტ-ამპერული მახასიათებლის გადასაღები  
ვირტუალური სქემა

სქემაში ჩართულია **1N4734** ტიპის სტაბილიზონის ვირტუალური მოდელი. 2.2 ნახაზზე მოცემულია ამ სტაბილიზონის პარამეტრების სადიალოგო ფანჯარა, რომელშიც შეტანილია:



**ნახ22.** 1N4734 ტიპის სტაბილიზონის პარამეტრების სადიალოგო ფანჯარა

- გაჯერების უკუდენი (**Saturation current [IS]**);
- გადასასვლელის პოტენციალური ბარიერი (**Junction potential [VJ]**);
- სტაბილიზაციის ძაბვა (**Zener test voltage [VZ]**);
- სტაბილიზაციის ნომინალური დენი (**Zener test current [IZT]**);
- ინექციის კოეფიციენტი (**Emission coefficient [N]**) და სხვ.

სქემაში გამოყენებული სხვა ვირტუალური კომპონენტის პარამეტრების სადიალოგო ფანჯარა და მასთან მუშაობის წესი განხილული იყო №1 ლაბორატორიული სამუშაოს შესრულების დროს.

#### 4. ლაბორატორიული სამუშაოს შესრულების თანამიმდევრობა

მასტაბილიზებელი დიოდის (სტაბილიზონის) ვოლტ-ამპერული მახასიათებლის როგორც უკუ ისე პირდაპირი შტოს გადადება შესაძლებელია განხორციელდეს 2.1 ნახაზზე მოცემული ვირტუალური სქემის გამოყენებით. ლაბორატორიული სამუშაოს შესრულების დროს გამოსაკვლევი სტაბილიზონის ტიპის დასახელებას სტუდენტი ღებულობს მასწავლებლისაგან ინდიკირდულური დავალების სახით. დამოუკიდებელი შესწავლის დროს ის შეიძლება აღებული იქნას იგივე, რაც 2.1 ნახაზზეა ნაჩვენები. **V1** (**V2**) წყაროს ძაბვის სიდიდეს სტუდენტი შეარჩევს ინდიკირდულური დავალების სახით მიღებული სტაბილიზონის პარამეტრების სადიალოგო ფანჯარაში დაფიქსირებული

სტაბილიზაციის ძაბვის სიდიდის გათვალისწინებით. ეს უკანასკნელი 4 – 5 გ-ით ნაკლები უნდა იყოს **V1 (V2)** წყაროს ძაბვაზე.

სტაბილიტრონის გოლტ-ამპერული მახასიათებლის შეუ შტოს (მუშა მახასიათებლის) გადაღების დროს **[R]** პოტენციომეტრის წინაღობა, რომლის საწყისი მნიშვნელობა პარამეტრების სადიალოგო ფანჯარაში წინასწარ ფიქსირდება 50%-ის დონეზე, საჭიროა შეიცვალოს 50% – 100% ფარგლებში. ამის შემდეგ სტაბილიტრონის მიმდევრობით ჩართული შემზღვევი **[T]** პოტენციომეტრის წინაღობა შესაძლებელია შემცირდეს 50%-დან 20%-მდე, სტაბილიტრონში გამავალი დენის გაზრდის მიზნით. სქემაში გამოყენებული ვირტუალური ამპერმეტრისა და გოლტმეტრის ჩვენებები შეიტანება №1 ცხრილში.

### ცხრილი 1

მოცემულობა			გაზომვით			გაანგარიშებით					
<i>V1(V2)</i>	<i>[R]</i>	<i>[T]</i>	<i>u<sub>გ</sub></i>	<i>u<sub>სტ</sub></i>	<i>I<sub>სტ</sub> ნომ</i>	<i>I<sub>სტ</sub> ნომ</i>	<i>u<sub>სტ</sub> ნომ</i>	<i>r</i>	<i>R</i>	<i>K<sub>სტ</sub></i>	<i>dტ</i>
გ	%	%	გ	გ	მა	მა	გ	ომ	ომ	-	-

სტაბილიტრონის გოლტ-ამპერული მახასიათებლის პირდაპირი შტოს გადაღებისას **[R]** პოტენციომეტრი წინასწარ უნდა დაბრუნდეს 50%-ის ნიშნულზე. ამის შემდეგ, მისი წინაღობა უნდა შემცირდეს 50%-დან 0%-მდე. **[T]** პოტენციომეტრი შესაძლებელია დატოვებული იქნას 20%-ის ნიშნულაზე. სქემაში ჩართული ვირტუალური მზომი ხელსაწყოების ჩვენებები შეიტანება №2 ცხრილში.

### ცხრილი 2

მოცემულობა			გაზომვით			გაანგარიშებით	
<i>V1(V2)</i>	<i>[R]</i>	<i>[T]</i>	<i>u<sub>გაღ</sub></i>	<i>I<sub>ა</sub></i>	<i>u<sub>ა</sub></i>	<i>r<sub>პ</sub></i>	<i>R<sub>პ</sub></i>
გ	%	%	გ	მა	მლგ	ომ	ომ

№1 და №2 ცხრილების მონაცემების მიხედვით აიგება სტაბილიტრონის სრული გოლტ-ამპერული მახასიათებელი ერთ კოორდინატთა სისტემაში.

სტაბილიტრონის პარამეტრების განსაზღვრა უნდა მოხდეს შემდეგი გამოსახულების მიხედვით:

- სტაბილიტონის მუშა რეჟიმის დენის ნომინალური მნიშვნელობა

$$I_{\text{b}_\Omega \text{ ნომ}} = \frac{I_{\text{b}_\Omega \text{ min}} + I_{\text{b}_\Omega \text{ max}}}{2};$$

- სტაბილიტონის გამოსავალი ძაბვის ნომინალური მნიშვნელობა განისაზღვრება №1 ცხრილიდან  $I_{\text{b}_\Omega \text{ ნომ}}$  დენის მნიშვნელობის მიხედვით;

- სტაბილიტონის დინამიკური (დიფერენციალური) წინაღობა სტაბილიზაციის ძაბვის ნომინალური მნიშვნელობის შესაბამის წერტილში

$$r = \frac{\Delta U_{\text{b}_\Omega}}{\Delta I_{\text{b}_\Omega}};$$

- სტაბილიტონის სტატიკური წინაღობა სტაბილიზაციის ძაბვის ნომინალური მნიშვნელობის შესაბამის წერტილში

$$R = \frac{U_{\text{b}_\Omega \text{ნომ}}}{I_{\text{b}_\Omega \text{ნომ}}};$$

- ძაბვის სტაბილიზაციის კოეფიციენტი

$$K_{\text{b}_\Omega} = \frac{\Delta u_{\text{a}}}{\Delta u_{\text{b}_\Omega}} \cdot \frac{u_{\text{a} \text{ ნომ}}}{u_{\text{b}_\Omega \text{ ნომ}}};$$

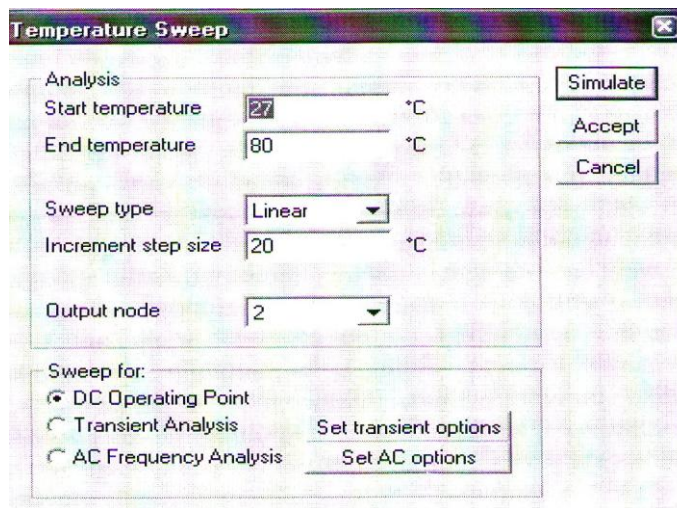
- სტაბილიტონის დიფერენციალური წინაღობა პირდაპირი ძაბვის მოქმედების დროს

$$r_{\text{a}} = \frac{\Delta U_{\text{a}}}{\Delta I_{\text{a}}};$$

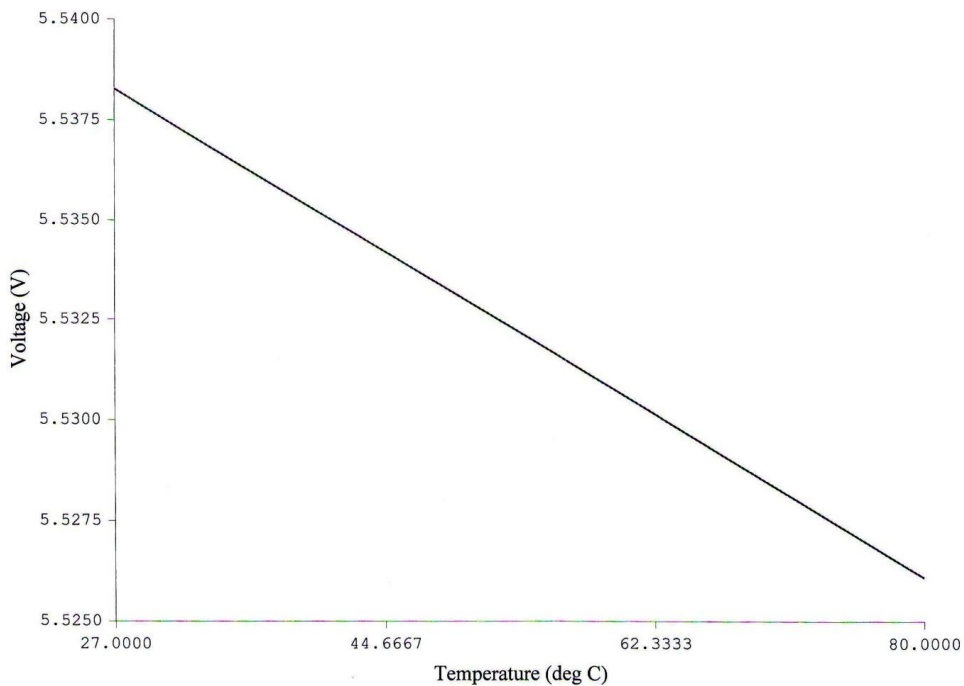
- სტაბილიტონის სტატიკური წინაღობა პირდაპირი ძაბვის მოქმედების დროს

$$R_{\text{a}} = \frac{U_{\text{a}}}{I_{\text{a}}}.$$

გამოსაკვლევი სტაბილიტონის ძაბვის ტემპერატურული კოეფიციენტის (**ძტპ**) განსაზღვრის უმოკლეს გზას წარმოადგენს **EWB** პროგრამაში მრავალგარიანტული ტემპერატურული ანალიზის (**Temperature Sweep**) ჩატარება. ამისათვის თაგვის მარცხენა დილაპზე დაჭრით ვაძებიურებთ მენიუს **Analysis>Temperature Sweep** და გახსნილ ფანჯარაში (ნახ.2.3) ვაფიქსირებთ ტემპერატურის ცვლილების ბიჯს (კელში **Increment**) ტემპერატურის ცვლილების ფარგლებში და საკონტაქტო წერტილის ნომერს.



### ნახ.2.3. Temperature Sweep სადიალოგო ფანჯარა



### ნახ.2.4. 1N4734 ტიპის სტაბილიტრონის სტაბილიზაციის ძაბვის ტემპერატურაზე დამოკიდებულების გრაფიკი

**Simulate** (მოდელირება) დილაპზე დაჭრის შემდეგ მიიღება სტაბილიტრონის გამოსავალი (სტაბილიზაციის) ძაბვის ტემპერატურაზე დამოკიდებულების გრაფიკი (ნახ.2.4), საიდანაც განისაზღვრება სტაბილიზაციის ძაბვის ტემპერატურული კოეფიციენტი

$$\text{ძობ} = \frac{\Delta U_{\text{ბზ}}}{\Delta T}.$$

## **5. ლაპორატორიული სამუშაოს ანგარიშის შინაარსი**

- 5.1. სტაბილიტონის ვოლტ-ამპერული მახასიათებლის გადასაღები ვირტუალური სქემა და მისი აღწერა;
- 5.2. შედგენილი ცხრილები და აგებული ვოლტ-ამპერული მახასიათებელი;
- 5.3. სტაბილიტონის მახასიათებლისა და პარამეტრების ანალიზი და დასკვნები.

**ლაპორატორიული სამშვაო №3**  
**ტირისტორული სტრუქტურის ნახევარბამტარული**  
**ხელსაწყოების გამოკვლევა**

## 1. სამშვაოს მიზანი

დიოდური და ტრიოდული ტირისტორების მახასიათებლების გადაღება, პარამეტრების ექსპერიმენტული განსაზღვრა და გამოკვლევის შედეგების ანალიზი.

## 2. სამშვაოს შენაარსი

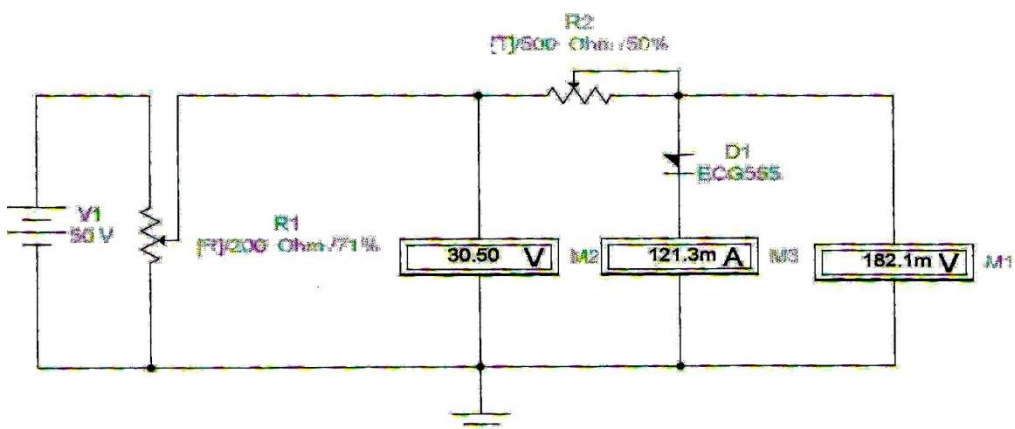
**2.1.** დინისტორის (შოკლის დიოდის) ვოლტ-ამპერული მახასიათებლის პირდაპირი შტოს გადაღება და პარამეტრების ექსპერიმენტული განსაზღვრა.

**2.2.** სიმეტრიული დინისტორის (დიაკის) ვოლტ-ამპერული მახასიათებლის გადაღება და პარამეტრების ექსპერიმენტული განსაზღვრა.

**2.3.** ტრიოდული ტირისტორის ვოლტ-ამპერული მახასიათებლის პირდაპირი შტოს გადაღება და პარამეტრების ექსპერიმენტული განსაზღვრა.

## 3. ტირისტორული სტრუქტურის ნახევარბამტარული ხელსაწყოების გოლტ-ამპერული მახასიათებლების გადასაღები გირტუალური სქემების აღმერა

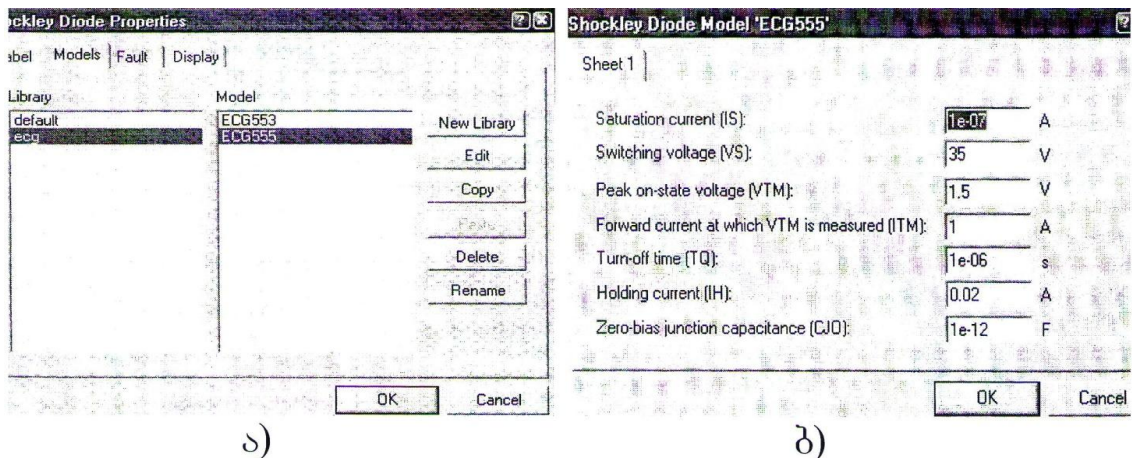
**3.1.** დინისტორის ვოლტ-ამპერული მახასიათებლის პირდაპირი შტოს გადასაღები სქემა შეიძლება აიწყოს 3.1 ნახაზზე მოცემული ესკიზის მიხედვით.



**ნახ.3.1. დინისტორის ვოლტ-ამპერული მახასიათებლის პირდაპირი შტოს გადასაღები გირტუალური სქემა**

ვირტუალურ სქემაში გამოყენებულია **ECG555** ტიპის შოკლის დიოდის (დინისტორის) ვირტუალური მოდელი, რომლის სადიალოგო ფანჯარაში დაფიქსირებულია შემდეგი პარამეტრები:

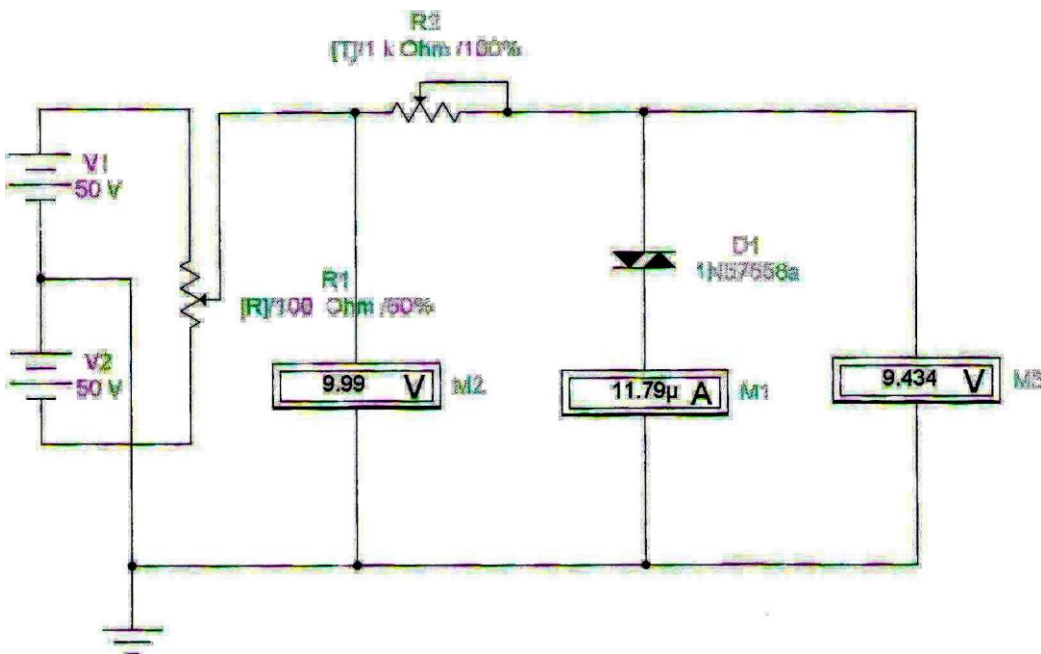
- გაჯერების უკუდენი (Saturation Current [IS]);
- ძაბვა, რომლის დროსაც დინისტორი გადაირთვება და მდგომარეობაში (Switching Voltage [VS]);
- ძაბვის ვარდნა და მდგომარეობის დროს (Peak On-state voltage [VTM]);
- მინიმალური დენი და მდგომარეობის დროს (Holding current [IH]);
- ჩაკეტილი მდგომარეობაში გადართვის ხანგრძლივობა (Turn off time [TG]).



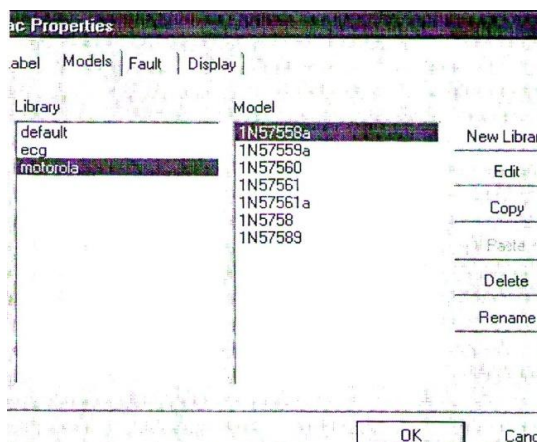
ნახ.3.2. ECG555 ტიპის შოკლის დიოდის სადიალოგო ფანჯარა

3.2. სიმეტრიული დინისტორის (დიაკის) ვოლტ-ამპერული მახასიათებლის გადასაღები სქემა შეიძლება აიწყოს 3.3 ნახაზზე მოცემული ესკიზის მიხედვით.

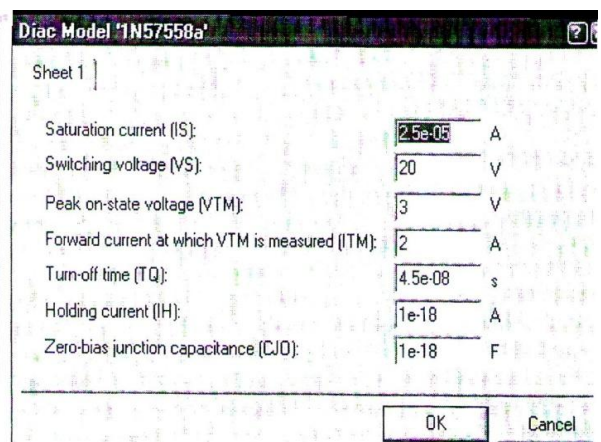
სიმეტრიული დინისტორის სადიალოგო ფანჯარაში შეტანილია იგივე დასახელების პარამეტრები, როგორიც დინისტორის სადიალოგო ფანჯარაშია. 3.4 ნახაზზე ნაჩვენებია **1N57558a** ტიპის სიმეტრიული დინისტორის ვირტუალური მოდელის სადიალოგო ფანჯარა.



ნახ.3.3. სიმეტრიული დინისტორის გოლტ-ამპერული მახასიათებლის  
გადასაღების ვირტუალური სქემა



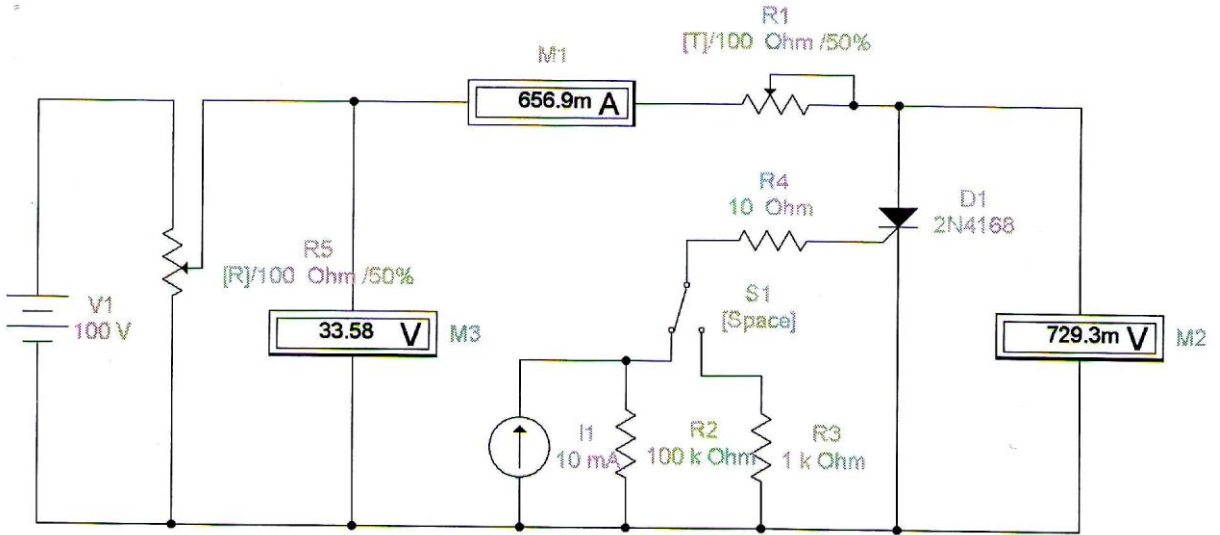
ა)



ბ)

ნახ.3.4. 1N57558a ტიპის სიმეტრიული დინისტორის სადიალოგო ფანჯარა

3.3. ტრიოდული ტირისტორის (რომელიც ტირისტორის სახელწოდებითაა ცნობილი) გოლტ-ამპერული მახასიათებლის პირდაპირი შტოს გადასაღები ვირტუალური სქემა შეიძლება აიწყოს 3.5 ნახაზზე წარმოდგენილი ესკიზის მიხედვით.



ნახ.3.5. ტრიოდული ტირისტორის ვოლტ-ამპერული მახასიათებლის პირდაპირი შტოს გადასაღები ვირტუალური სქემა

ვირტუალურ სქემაში გამოყენებულია **2N4167** ტიპის ტირისტორის ვირტუალური მოდელი. მის სადიალოგო ფანჯარაში დაფიქსირებულია შემდეგი პარამეტრები:

- ტირისტორის უკუდენის მაქსიმალური (გაჯერების) მნიშვნელობა (**Peak off-state Current [IDRM]**);

• ძაბვა, რომლის დროსაც ტირისტორი გადაირთვება დია მდგომარეობაში, როცა მართვის ელექტროდზე ნულის ტოლი ძაბვაა (**Forward Breakover voltage [VDRM]**);

- ძაბვის მაქსიმალური ვარდნა დია მდგომარეობის დროს (**Peak On-state voltage [VTM]**);

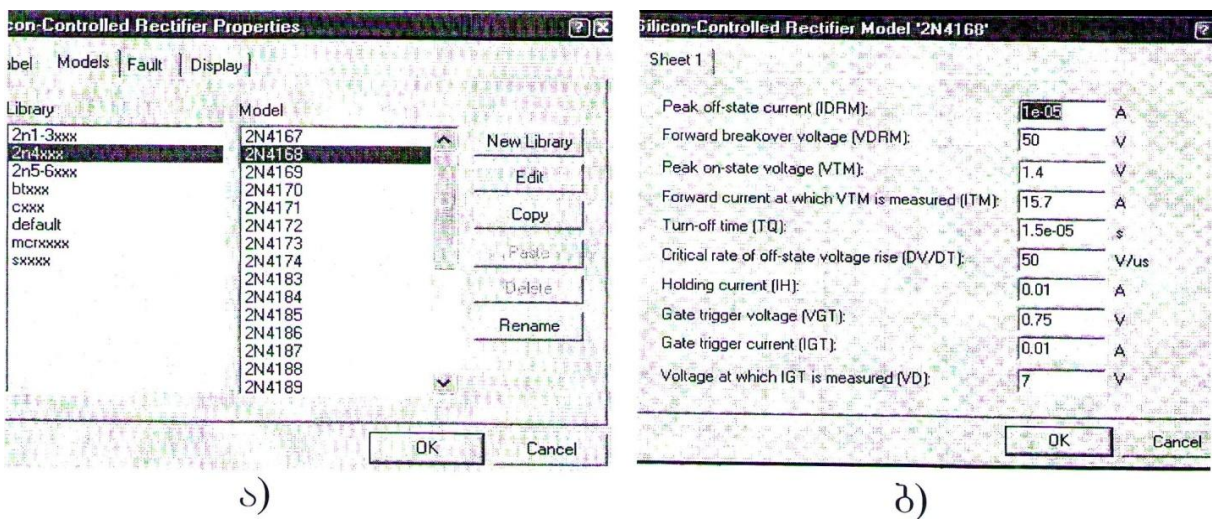
• დენი დია მდგომარეობის დროს (**Forward Current at which is measured [ITM]**);

• მინიმალური დენი დია მდგომარეობაში (**Holding current [IH]**);

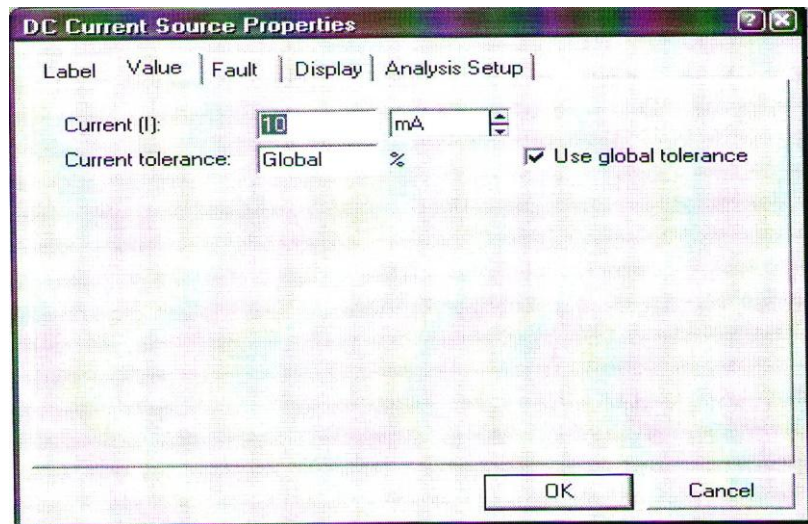
• მართვის ელექტროდის დენი (**Gate Trigger current [IGT]**); და სხვ.

ტირისტორის დია მდგომარეობაში გადართვისთვის საჭირო მართვის დენის გატარებას ახდენს მუდმივი დენის წყარო, რომლის სადიალოგო ფანჯარაში (ნახ.3.7) ფიქსირდება გამდები მართვის დენის სიდიდე.

გამოსაკვლევი ნახევარგამტარული ხელსაწყოების გარდა, ვირტუალურ სქემაში გამოყენებულია მუდმივი ძაბვის წყაროები, პოტენციომეტრები, გადამრთველები, ვირტუალური ამპერმეტრები და ვოლტმეტრები, რომელთა სადიალოგო ფანჯრები და მათთან მუშაობის წესი განხილული იყო №1 და №2 ლაბორატორიულ სამუშაოებში.



ნახ.3.6. 2B4167 ტიპის ტირისტორის სადიალოგო ფანჯარა



ნახ.3.7. მუდმივი დენის წყაროს სადიალოგო ფანჯარა

#### 4. ლაბორატორიული სამუშაოს შესრულების თანამიმდევრობა

4.1. დინისტორის (შოკლის დიოდის) ვოლტ-ამპერული მახასიათებლის პირდაპირი შტოს გადაღებას გახდენთ 3.1 ნახაზზე მოცემული ვირტუალური სქემის გამოყენებით.

ლაბორატორიული სამუშაოს შესრულების დროს გამოსაკვლევი დინისტორის ტიპის დასახელებას ინდიკირებული დავაღების სახით სტუდენტი ღებულობს მასშავლებლისგან. დამოუკიდებელი შესწავლის დროს შეიძლება გამოკვლეული იქნას 3.1 ნახაზზე მითითებული ტიპის დინისტორი.

დინისტორის ვოლტ-ამპერული მახასიათებლის გადაღების დროს პოტენციომეტრზე მიერთებული ძაბვის წყაროს სადიალოგო ფანჯარაში შეტანილი ძაბვის სიდიდე 15 - 20 გ-ით უნდა აღემატებოდეს გამოსაკვლევი დინისტორის სადიალოგო ფანჯარაში დაფიქსირებულ გადართვის ძაბვას. პოტენციომეტრიდან დინისტორზე მიწოდებული ძაბვა იცვლება 0-დან 100%-ის ფარგლებში. ძაბვის ცვლილების ბიჯი შეიძლება აღებულ იქნას (5-10)%-ის ტოლი, გარდა ლია მდგომარეობაში გადართვის ძაბვისაგან  $\pm(1 \div 2)$  გ-ით განსხვავებული უბნისა, სადაც ძაბვის ცვლილების ბიჯი არ უნდა აღემატებოდეს 1%-ს, რაც საჭიროა დინისტორის ლია მდგომარეობაში გადართვის ძაბვის ზუსტი მნიშვნელობის დასაფიქსირებლად.

ლია მდგომარეობაში გადართვის შემდეგ, დინისტორში გამავალი დენის სიდიდის გაზრდა შესაძლებელია დინისტორის მიმდევრობით ჩართული [T] პოტენციომეტრის წინადობის შემცირებით, ვიდრე დენის სიდიდე არ მიაღწევს სადიალოგო ფანჯარაში დაფიქსირებულ ლია მდგომარეობის დენის ნომინალურ სიდიდემდე. გაზომვებით და გაანგარიშებით მიღებული შედეგები შეგვაქვს №1 ცხრილში

ცხრილი 1

მოცემულობა				გაზომვებით					გაანგარიშებით		
V1	[R]	[T]	$u_{\delta\varphi}$	$u_\vartheta$	$u_a$	$u_{\delta\varphi}$	$I_a$	$\Delta U_a max$	r	R	$\beta$
3	%	%	3	3	3	3	3	3	ომ	ომ	-

შედგენილი ცხრილის მიხედვით აიგება დინისტორის ვოლტ-ამპერული მახასიათებლის პირდაპირი შტო.

დინისტორის პარამეტრების განსაზღვრა უნდა მოხდეს შემდეგი გამოსახულებების მიხედვით:

- ლია დინისტორის დიფერენციალური წინადობა

$$r = \frac{\Delta U_a}{\Delta I_a};$$

- ლია დინისტორის სტატიკური წინადობა

$$R = \frac{U_a}{I_a};$$

- ვოლტ-ამპერული მახასიათებლის პირდაპირი შტოს არაწრფივობის კოეფიციენტი

$$\beta = \frac{R}{r};$$

- ლია დინისტორზე ძაბვის ვარდნის მაქსიმალური მნიშვნელობა

$$\Delta U_{a \max} = U_{a \max} - U_{a \min}.$$

**4.2. სიმეტრიული დინისტორის (დიაგის) ვოლტ-ამპერული მახასიათებლის გადაღებას გახდენთ 3.3 ნახაზზე ნაჩვენები ვირტუალური სქემის გამოყენებით.**

ლაბორატორიული სამუშაოს შესრულების დროს გამოსაკვლევი დინისტორის ტიპი განისაზღვრება სტუდენტის ინდივიდუალური დავალების მიხედვით. დამოუკიდებელი შესწავლის დროს შეიძლება გამოკვლეული იქნას 3.3 ნახაზზე მითითებული ტიპის სიმეტრიული დინისტორი.

ვოლტ-ამპერული მახასიათებლის გადაღების დროს **V1** და **V2** ძაბვის წყაროს სადიალოგო ფანჯარაში დაფიქსირებულ ძაბვის სიდიდე (20-30) უნდა აღემატებოდეს გამოსაკვლევი სიმეტრიული დინისტორის დია მდგომარეობაში გადართვის ძაბვის მნიშვნელობას. [R] პოტენციომეტრის წინაღობა, რომლის საწყისი მნიშვნელობა პარამეტრების სადიალოგო ფანჯარაში წინასწარ ფიქსირდება 50%-ის დონეზე, უნდა შეიცვალოს 50%-დან 100-მდე ფარგლებში. სიმეტრიულ დინისტორზე მიწოდებული ძაბვის ცვლილების ბიჯის შერჩევა უნდა მოხდეს 4.1 პუნქტის ანალოგიურად. ამის შემდეგ, შესაძლებელია [T] პოტენციომეტრის წინაღობის შემცირება ისე, რომ დიაკში გამავალი დენის სიდიდემ არ გადააჭარბოს სადიალოგო ფანჯარაში დაფიქსირებული დენის ნომინალურ სიდიდეს.

ანალოგიურად ხდება სიმეტრიული დინისტორის ვოლტ-ამპერული მახასიათებლის გადაღება შეცვლილი პოლარულობის ძაბვის დროს. ამისათვის [R] და [T] პოტენციომეტრები უნდა დაბრუნდეს 50%-ის ნიშნულზე და განხორციელდეს [R] წინაღობის შემცირება 50%-დან 0%-მდე. ძაბვის ცვლილების ბიჯის შერჩევა და დიაკში გამავალი დენის სიდიდის შეცვლა უნდა განხორციელდეს წინა შემთხვევის ანალოგიურად.

მიღებული შედეგები შეგვაქვს №2 ცხრილში

ცხრილი 2

მოცემულობა					გაზომვებით					გაანგარიშებით	
<i>V1</i>	<i>V2</i>	[ <i>R</i> ]	[ <i>T</i> ]	<i>u<sub>გად</sub></i>	<i>u<sub>გებ</sub></i>	<i>u<sub>a</sub></i>	<i>u<sub>გად</sub></i>	<i>Ia</i>	$\Delta U_{a \max}$	<i>r</i>	<i>R</i>
3	3	%	%	3	3	3	3	3	3	ომ	ომ

შედგენილი ცხრილის მიხედვით უნდა აიგოს სიმეტრიული დინისტორის ვოლტ-ამპერული მახასიათებელი.

სიმეტრიული დინისტორის პარამეტრების განსაზღვრა უნდა მოხდეს შემდეგი გამოსახულებების მიხედვით:

- ღია მდგომარეობაში მყოფი სიმეტრიული დინისტორის დიფერენციალური წინადობა

$$r = \frac{\Delta U_a}{\Delta I_a};$$

- ღია სიმეტრიული დინისტორის სტატიკური წინადობა

$$R = \frac{U_a}{I_a};$$

$$\Delta U_{a \max} = U_{a \max} - U_{a \min}.$$

#### 4.3. ტირისტორის ვოლტ-ამპერული მახასიათებლის გადასაღებად ვიყენებთ 3.5 ნახაზე ნაჩვენებ ვირტუალურ სქემას.

გამოსაკვლევი ტირისტორის ტიპი განისაზღვრება სტუდენტის ინდივიდუალური დავალების მიხედვით. დამოუკიდებელი შესწავლის დროს შეიძლება გამოკვლეული იქნას 3.5 ნახაზე მითითებული ტიპის ტირისტორი.

ვოლტ-ამპერული მახასიათებლის პირდაპირი შტოს გადაღების დროს **V1** წყაროს ძაბვა (20-30) ვ-ით უნდა აღემატებოდეს ტირისტორის სადიალოგო ფანჯარაში დაფიქსირებული გადართვის ძაბვის სიდიდეს, როდესაც მართვის ელექტროდზე ნულის ტოლი ძაბვაა. ვოლტ-ამპერული მახასიათებლის გადაღებას ვახდენთ მართვის დენის ნულოვანი მნიშვნელობისა და ტირისტორის სადიალოგო ფანჯარაში დაფიქსირებული მართვის დენის შესაბამისად. [R] პოტენციომეტრიდან ტირისტორზე მიწოდებული ძაბვის სიდიდეს ვცვლით 0-დან 100%-ის ფარგლებში. ძაბვის ცვლილების ბიჯის შერჩევას ვახდენთ 4.1 პუნქტში მითითებულის ანალოგიურად. ღია ტირისტორში გამავალი დენის სიდიდის ცვლილებას ვახდენთ [T] პოტენციომეტრის წინადობის შეცვლით. გაზომვებითა და გაანგარიშებით მიღებული შედეგი შეგვაქვს №3 ცხრილში.

#### ცხრილი 3

მოცემულობა				გაზომვებით					გაანგარიშებით	
<b>V1</b>	[R]	[T]	$I_\theta$	$u_{\theta\theta}$	$u_a$	$u_{\theta\varphi}$	$Ia$	$\Delta U_{a \max}$	$r$	$R$
ვ	%	%	ვ	ვ	ვ	ვ	ვ	ვ	ომ	ომ

ცხრილის მონაცემების მიხედვით უნდა აიგოს ტირისტორის ვოლტ-ამპერული მახასიათებლის პირდაპირი შტოები.

## **5. ლაპორატორიული სამუშაოს ანგარიშის შინაარსი**

- 5.1. ტირისტორული სტრუქტურის ხელსაწყოების ვოლტ-ამპერული მახასიათებლების გადასაღები ვირტუალური სქემები და მათი აღწერა.
- 5.2. შედგენილი ცხრილები და აგებული ვოლტ-ამპერული მახასიათებლები.
- 5.3. გადაღებული მახასიათებლებისა და პარამეტრების დეტალური ანალიზი

**ლაპორატორიული სამუშაო №4**  
**საერთო გაზით ჩართული ბიპოლარული ტრანზისტორის მახასიათებლების  
 ტრანზისტორის გამოკვლევა**

### 1. სამუშაოს მიზანი

საერთო ბაზით ჩართული ბიპოლარული ტრანზისტორის მახასიათებლების გადაღება და პარამეტრების ექსპერიმენტული განსაზღვრა.

### 2. სამუშაოს შენაპარი

**2.1.** საერთო ბაზით ჩართული ბიპოლარული ტრანზისტორის შესასვლელის ვოლტ-ამპერული მახასიათებლების გადაღება.

**2.2.** საერთო ბაზით ჩართული ბიპოლარული ტრანზისტორის გამოსასვლელის ვოლტ-ამპერული მახასიათებლების გადაღება.

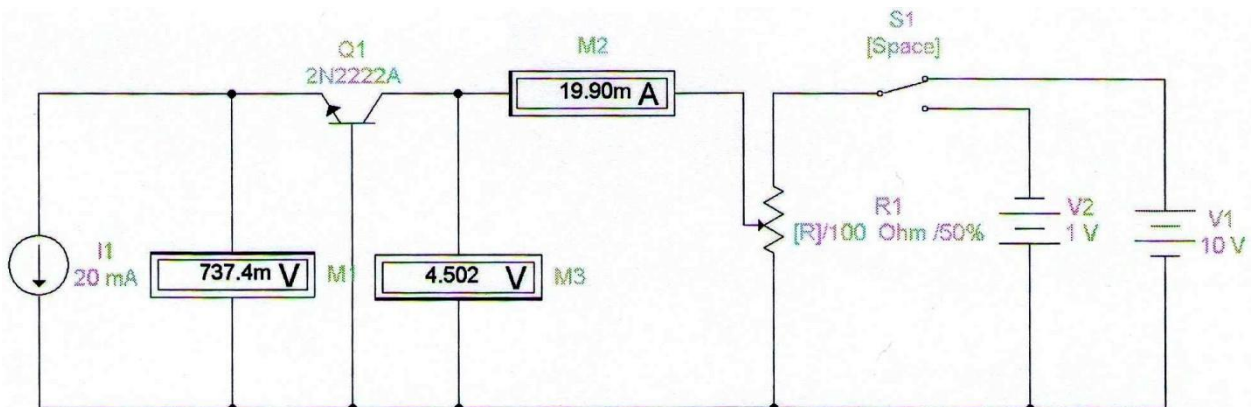
**2.3.** საერთო ბაზით ჩართული ბიპოლარული ტრანზისტორის პარამეტრების ექსპერიმენტული განსაზღვრა.

### 3. საერთო გაზით ჩართული ბიპოლარული ტრანზისტორის

მახასიათებლების გადასაღები ვირტუალური კრონერი

სტემის აღჭრა

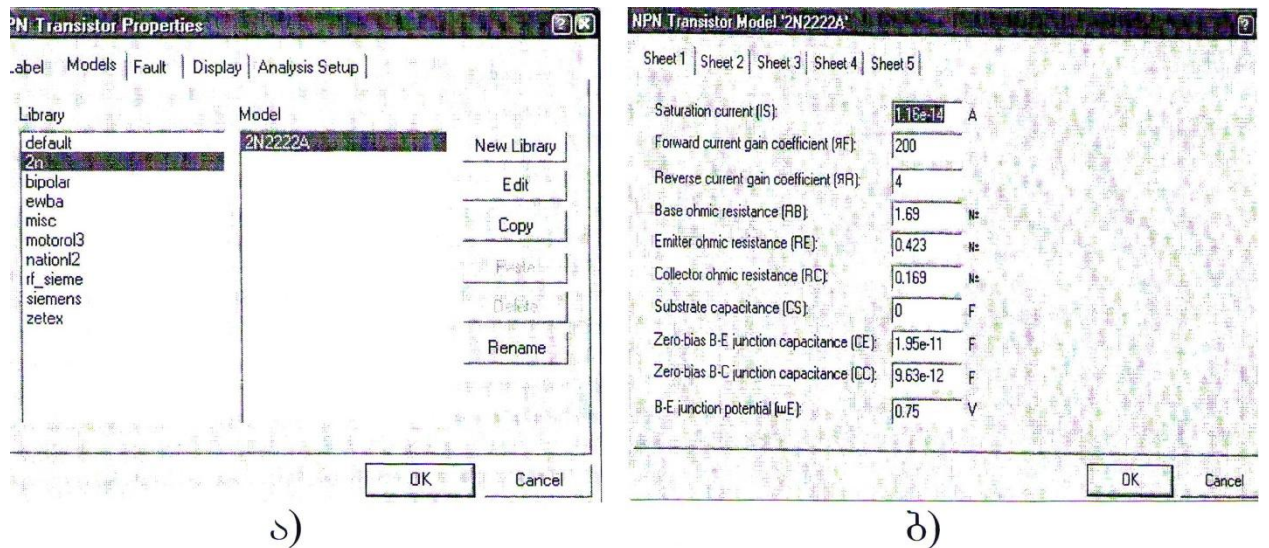
მახასიათებლების გადასაღები ვირტუალური სქემა შეიძლება აიწყოს 4.1 ნახატზე მოცემული ესკიზის მიხედვით.



**ნახ.4.1. საერთო ბაზით ჩართული ბიპოლარული ტრანზისტორის  
 მახასიათებლების გადასაღები ვირტუალური სქემა**

ვირტუალური სქემით გათვალისწინებულია **2N2222A** ტიპის ბიპოლარული ტრანზისტორის მახასიათებლების გადაღება. ტრანზისტორის სადიალოგო ფანჯარაში დაფიქსირებულია შემდეგი პარამეტრები:

- კოლექტორული გადასასვლელის უკუდენი, ა (Saturation Current [IS]);
  - დენის გაძლიერების კოეფიციენტი საერთო ემიტერით ჩართულ სქემაში  $h_{21}$  დ (Forward current gain coefficient [BF]);
  - დენის გაძლიერების კოეფიციენტი საერთო ემიტერით ჩართულ სქემაში ტრანზისტორის ინვერსული ჩართვის დროს (Reverse current gain coefficient [BR]);
  - ბაზის მოცულობითი წინაღობა, ომ (Base ohmic resistance [RB]);
  - კოლექტორის მოცულობითი წინაღობა, ომ (Collector ohmic resistance [RC]);
  - ემიტერის მოცულობითი წინაღობა, ომ (Emitter ohmic resistance [RE]);
  - ბაზა-კოლექტორის საკონტაქტო პოტენციალთა სხვაობა (B-C junction potential [VJC]);
  - ბაზა-ემიტერის საკონტაქტო პოტენციალთა სხვაობა (B-E junction potential [VJE]);
- და სხვ.



**ნახ.4.2. 2N2222A ტიპის ბიპოლარული ტრანზისტორის სადიალოგო ფანჯარა**

ვირტუალურ სქემაში, მცირე წინაღობიანი ბაზა – ემიტერის წრედში სხვადასხვა სიდიდის დენის გასატარებლად, გამოყენებულია იდეალური მუდმივი დენის წყარო – **I1**. კოლექტორული გადასასვლელი **[Space]** – გადამრთველისა და **[R]** – პოტენციომეტრის საშუალებით მიერთებულია **V1** და **V2** ძაბვის წყაროებთან. **V2** ძაბვის წყაროდან კოლექტორულ გადასასვლელს მიეწოდება პირდაპირი ძაბვა, ხოლო **V1**

წყაროდან – უკუმაბდეს. **M2** ვირტუალური ამპერმეტრი ზომავს კოლექტორის დენს, **M1** ვირტუალური კოლტმეტრი ზომავს ბაზა – ემიტერის გადასასვლელზე ძაბვის სიდიდეს და **M3** ვირტუალური კოლტმეტრი ზომავს ბაზა – კოლექტორის გადასასვლელზე მოქმედი ძაბვის სიდიდეს.

#### 4. ლაბორატორიული სამუშაოს შესრულების თანამიმდევრობა

**4.1. საერთო ბაზით ჩართული ბიპოლარული ტრანზისტორის შესავალის კოლტ-ამპერული მახასიათებლების გადაღებას ვახდენთ 4.1 ნახაზზე წარმოდგენილი ვირტუალური სქემის გამოყენებით.**

კოლტ-ამპერული მახასიათებლების გადაღების დროს გამოსაკვლევი ტრანზისტორის ტიპი შეირჩევა მასწავლებლის მიერ და დავაღების სახით ეძლევა სტუდენტს. დამოუკიდებელი შესწავლის დროს შეიძლება გამოკვლეული იქნას 4.1 ნახაზზე მითითებული ტიპის ტრანზისტორი.

ბიპოლარული ტრანზისტორის შესავალის კოლტ-ამპერული მახასიათებელი ( $I_\beta = f(u_\beta)$ ,  $u_\beta = \text{const}$ ) გადაღებული უნდა იქნას **V1** ძაბვის წყაროდან კოლექტორზე მიწოდებული  $u_\beta$  ძაბვის ნულოვანი და 10 ვ-ის ტოლი მნიშვნელობების დროს.  $u_\beta$  ძაბვის თითოეული მნიშვნელობისათვის ემიტერის წრედში გასატარებელი დენის სხვადასხვა სიდიდეს ვაფიქსირებთ **II** მუდმივი დენის წყაროს სადიალოგო ფანჯარაში და ვინიშნავთ ვირტუალური მზომი ხელსაწყოების ჩვენებებს. გაზომვის შედეგები შეგვაქვს №1 ცხრილში.

ცხრილი 1

$u_\beta = 0$		$u_\beta = 10 \text{ V}$		
$I_\beta$	$u_\beta$	$I_\beta$	$u_\beta$	$I_\beta$
0	მლვ	0	მლვ	0
0,1		0,1		
1		1		
5		5		
10		10		
20		20		
:		:		
50		50		

შედგენილი ცხრილის საფუძველზე უნდა აიგოს საერთო ბაზით ჩართული ბიპოლარული ტრანზისტორის შესავალის მახასიათებელი  $I_\beta = f(U_\beta)$ ,  $U_\beta = \text{const}$  და ემიტერის დენის გადაცემის მახასიათებელი  $I_\alpha = f(I_\beta)$ ,  $U_\alpha = \text{const}$ .

**4.2. საერთო ბაზით ჩართული ბიპოლარული ტრანზისტორის გამოსავალის კოლტ-ამპერული მახასიათებლის ( $I_\alpha = f(U_\beta)$ ,  $I_\alpha = \text{const}$ ) გადაღებას ვახდენთ, იგივე, 4.1 ნახაზზე მოცემული, ვირტუალური სქემის გამოყენებით. მახასიათებლები უნდა გადავიღოთ ემიტერის დენის არა ნაკლები ორი მნიშვნელობისათვის, ინდივიდუალური დავალების შესაბამისად. ემიტერში გასატარებელი დენის შესაბამისი სიდიდე წინასწარ ფიქსირდება  $I_1$  მუდმივი დენის წყაროს სადიალოგო ფანჯარაში. ემიტერის დენის თითოეული მნიშვნელობის დროს უნდა შეიცვალოს ჯერ  $V_1$  ძაბვის წყაროდან ტრანზისტორის კოლექტორულ გადასასვლელზე მიწოდებული უკუძაბვა 0%-დან 100%-მდე ფარგლებში, ხოლო შემდეგ უნდა მოხდეს  $V_2$  ძაბვის წყაროდან ტრანზისტორის კოლექტორულ გადასასვლელზე მიწოდებული პირდაპირი ძაბვის შეცვლა 40% – 80% ფარგლებში, 5%-ის ტოლი ბიჯით. ვირტუალური ხელსაწყოების ჩვენებები შეგვაძვს №2 ცხრილში.**

ცხრილი 2

$I_\beta =$				$I_\alpha =$		
[R]	$U_\beta$	$-U_\beta$	$I_\beta$	$U_\alpha$	$-U_\alpha$	$I_\alpha$
%	3	3	5	3	3	0.5
0		–			–	
·		·			·	
·		·			·	
·		·			–	
100		–				
70	–			–		
·	·			·		
·	·			·		
·	·			–		
80	–					
	–					

შედგენილი ცხრილის საფუძველზე უნდა აიგოს საერთო ბაზით ჩართული ბიპოლარული ტრანზისტორის გამოსავალის (კოლექტორის) კოლტ-ამპერული მახასიათებლები –  $I_\alpha = f(U_\beta)$ ,  $I_\alpha = \text{const}$ .

4.3. საერთო ბაზით ჩართული ბიპოლარული ტრანზისტორის პარამეტრების განსაზღვრა შესაძლებელია ვოლტ-ამპერული მახასიათებლების გადაღების დროს შედგენილი ცხრილების გამოყენებით.

შესასვლელის ვოლტ-ამპერული მახასიათებლის გადაღების დროს შედგენილი №1 ცხრილის მონაცემების გამოყენებით შესაძლებელია შემდეგი პარამეტრების განსაზღვრა:

- შესავალი (ბაზა-ემიტერის) წრედის დიფერენციალური წინაღობა

$$r_{\beta} = \frac{\Delta U_{\beta}}{\Delta I_{\beta}}, \quad U_{\beta} = \text{const};$$

- ემიტერის დენის გადაცემის კოეფიციენტი

$$\alpha = \frac{\Delta I_{\beta}}{\Delta U_{\beta}}, \quad U_{\beta} = \text{const};$$

- შესავალ და გამოსავალ წრედებს შორის ძაბვით უკუკავშირის კოეფიციენტი

$$\mu = \frac{\Delta U_{\beta}}{\Delta u_{\beta}}, \quad I_{\beta} = \text{const}.$$

გამოსასვლელის ვოლტ-ამპერული მახასიათებლის გადაღების დროს შედგენილი №2 ცხრილის მონაცემების მიხედვით ვსაზღვრავთ:

- გამოსავალი (კოლექტორ-ბაზა) წრედის დიფერენციალურ წინაღობას

$$r_{\beta} = \frac{\Delta U_{\beta}}{\Delta I_{\beta}}, \quad I_{\beta} = \text{const}.$$

• კოლექტორული გაჯერების ძაბვის სიდიდეს, ემიტერის დენის სხვადასხვა მნიშვნელობის შემთხვევაში, როდესაც კოლექტორულ გადასასვლელზე პირდაპირი ძაბვა მოქმედებს.

## 5. ლაბორატორიული სამუშაოს ანგარიშის შინაარსი

- 5.1. საერთო ბაზით ჩართული ბიპოლარული ტრანზისტორის ვოლტ-ამპერული მახასიათებლების გადასაღები ვირტუალური სქემის აღწერა;
- 5.2. შედგენილი ცხრილები და ცხრილების მიხედვით აგებული შესავალი და გამოსავალი წრედების ვოლტ-ამპერული მახასიათებლები;
- 5.3. ექსპერიმენტულად განსაზღვრული პარამეტრები;
- 5.4. თეორიული და ექსპერიმეტით მიღებული მახასიათებლებისა და პარამეტრების შედარებითი დახასიათება.

**ლაპორატორიული სამუშაო №5**  
**საერთო ემიტერით ჩართული ტრანზისტორის**  
**გამოკვლევა**

## 1. სამუშაოს მიზანი

საერთო ემიტერით ჩართული ბიპოლარული ტრანზისტორის მახასიათებლების გადაღება და პარამეტრების ექსპერიმენტული განსაზღვრა.

## 2. სამუშაოს შენაარსი

2.1. საერთო ემიტერით ჩართული ბიპოლარული ტრანზისტორის შესასვლელის გოლტ-ამპერული მახასიათებლების გადაღება.

2.2. საერთო ემიტერით ჩართული ბიპოლარული ტრანზისტორის გამოსასვლელის გოლტ-ამპერული მახასიათებლების გადაღება.

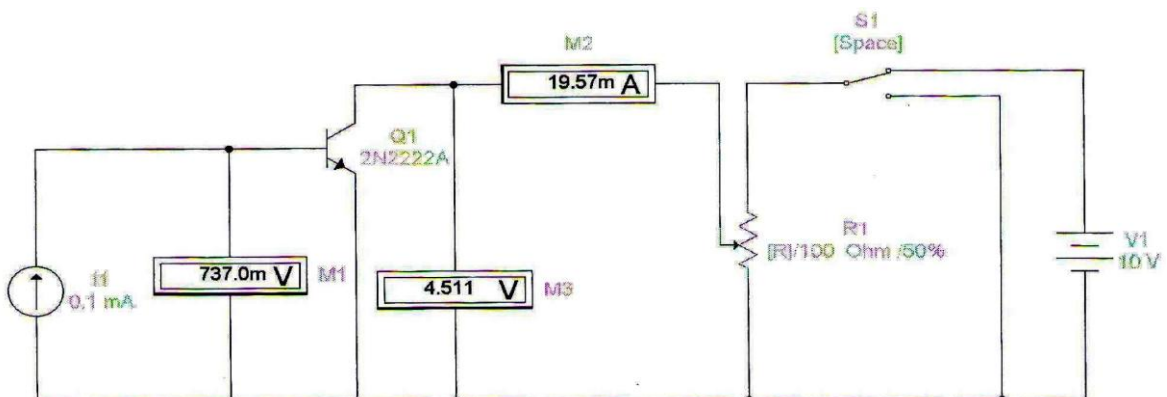
2.3. საერთო ემიტერით ჩართული ბიპოლარული ტრანზისტორის პარამეტრების ექსპერიმენტული განსაზღვრა.

## 3. საერთო ემიტერით ჩართული ბიპოლარული ტრანზისტორის

მახასიათებლების გადასაღები ვირტუალური სქემა შეიძლება აიწყოს 5.1 ნახაზე

### სქემა

მახასიათებლების გადასაღები ვირტუალური სქემა შეიძლება აიწყოს 5.1 ნახაზე მოცემული ესკიზის მიხედვით.



ნახ.5.1. საერთო ემიტერით ჩართულ ბიპოლარული ტრანზისტორის  
მახასიათებლების გადასაღები ვირტუალური სქემა

ვირტუალურ სქემაში გამოყენებული ყველა კომპონენტი წარმოადგენს 4.1 ნახაზზე მოცემული ვირტუალური სქემის კომპონენტების გამეორებას.

#### 4. ლაბორატორიული სამუშაოს შესრულების თანამიმდევრობა

4.1. საერთო ემიტერით ჩართული ბიპოლარული ტრანზისტორის შესაფალის ვოლტ-ამპერული მახასიათებლების გადაღებას ვახდენთ 5.1 ნახაზზე წარმოდგენილი ვირტუალური სქემის გამოყენებით.

ვოლტ-ამპერული მახასიათებლების გადაღების დროს გამოსაკვლევი ტრანზისტორის ტიპი შეირჩევა მასწავლებლის მიერ და დავალების სახით ეძლევა სტუდენტს. დამოუკიდებელი შესწავლის დროს შეიძლება გამოკვლეული იქნას 5.1 ნახაზზე მითითებული ტიპის ტრანზისტორი.

ბიპოლარული ტრანზისტორის შესასვლელის ვოლტ-ამპერული მახასიათებელი ( $I_\delta = f(u_{\delta\beta})$ ,  $u_{\delta\beta} = \text{const}$ ) გადაღებული უნდა იქნას **V1** ძაბვის წყაროდან კოლექტორზე მიწოდებული  $u_{\delta\beta}$  ძაბვის ნულოვანი და 10 ვ-ის ტოლი მნიშვნელობების დროს.  $u_{\delta\beta}$  ძაბვის თითოეული მნიშვნელობისათვის ბაზაში გასატარებელი დენის სხვადასხვა სიდიდეს (0,1 მა-დან 1 მა-მდე, 0,1 მა-ის ტოლი ბიჯით) ვაფიქსირებთ **I1** მუდმივი დენის წყაროს სადიალოგო ფანჯარაში და ვინიშნავთ ვირტუალური მზომი ხელსაწყოების ჩვენებებს. გაზომვის შედეგები შეგვაქვს №1 ცხრილში.

ცხრილი 1

$u_{\delta\beta} = 0$		$u_{\delta\beta} = 10\beta$		
$I_\delta$	$U_{\delta\beta}$	$I_\delta$	$U_{\delta\beta}$	$I_\beta$
მა	მლვ	მა	მლვ	მა

შედგენილი ცხრილის საფუძველზე უნდა აიგოს საერთო ემიტერით ჩართული ბიპოლარული ტრანზისტორის შესასვლელის მახასიათებლები ( $I_\delta = f(U_{\delta\beta})$ ,  $U_{\delta\beta} = \text{const}$ ) და ბაზის დენის გადაცემის მახასიათებელი ( $I_\delta = f(I_\beta)$ ,  $I_\beta = 10\beta$ ).

საერთო ემიტერით ჩართული ბიპოლარული ტრანზისტორის გამოსავალის ვოლტ-ამპერულ მახასიათებლის ( $I_\delta = f(U_{\delta\beta})$ ,  $I_\beta = \text{const}$ ) გადაღებას ვახდენთ, იგივე, 4.1 ნახაზზე მოცემული ვირტუალური სქემის გამოყენებით. მახასიათებლები უნდა

გადავიდოთ ბაზის დენის არა ნაკლები ორი მნიშვნელობისათვის, ინდივიდუალური დავალების შესაბამისად. ბაზაში გასატარებელი დენის შესაბამისი სიდიდე წინასწარ ფიქსირდება  $I_1$  მუდმივი დენის წყაროს საღიალოგო ფანჯარაში. ბაზის დენის თითოეული მნიშვნელობის დროს უნდა შეიცვალოს ტრანზისტორის კოლექტორულ გადასასვლელზე მიწოდებული უკუძაბვა 0%-დან 100%-მდე ფარგლებში, ჯერ 1%-ის ტოლი ბიჯით (1 ვოლტამდე), ხოლო შემდეგ 5%-ის ტოლი ბიჯით. ვირტუალური ხელსაწყოების ჩვენებები შეგვაქვს №2 ცხრილში.

### ცხრილი 2

$I_\delta =$			$I_\delta =$	
[R]	$U_{\beta\beta}$	$I_\beta$	$U_{\beta\beta}$	$I_\beta$
%	3	მა	3	მა

შედგენილი ცხრილის საფუძველზე უნდა აიგოს საერთო ემიტერით ჩართული ბიპოლარული ტრანზისტორის გამოსავალის (კოლექტორის) ვოლტ-ამპერული მახასიათებლები:  $I_\beta = f(U_{\beta\beta})$ ,  $I_\beta = \text{const.}$

4.3. საერთო ემიტერით ჩართული ბიპოლარული ტრანზისტორის პარამეტრების განსაზღვრა შესაძლებელია ვოლტ-ამპერული მახასიათებლების გადაღების დროს შედგენილი ცხრილების გამოყენებით.

შესასვლელის ვოლტ-ამპერული მახასიათებლების გადაღების დროს შედგენილი №1 ცხრილის მონაცემების გამოყენებით ვსაზღვრავთ შემდეგ პარამეტრებს:

- შესასვლელი (ბაზა-ემიტერის) წრედის დიფერენციალური წინადობას

$$I_{\beta\beta} = \frac{\Delta U_{\beta\beta}}{\Delta I_\beta}, \quad U_{\beta\beta} = 10 \text{ ვ;}$$

- ბაზის დენის გადაცემის (გაძლიერების) ინტეგრალური კოეფიციენტის

$$\beta' = \frac{I_\beta}{I_\delta}, \quad U_{\beta\beta} = 10 \text{ ვ;}$$

- ბაზის დენის გადაცემის დიფერენციალურ კოეფიციენტის

$$\beta'' = \frac{\Delta I_\beta}{\Delta I_\delta}, \quad U_{\beta\beta} = 10 \text{ ვ;}$$

- შესავალი და გამოსავალი წრედების ძაბვით უკუკავშირის კოეფიციენტის

$$\mu = \frac{\Delta U_{\delta_0}}{\Delta U_{\delta}}, \quad I_{\delta} = \text{const}.$$

გამოსასვლელის კოლტ-ამპერული მახასიათებლების გადაღების დროს შედგენილი №2 ცხრილის მონაცემების მიხედვით ვსაზღვრავთ:

- გამოსავალი (კოლექტორ-ემიტერი) წრედის დიფერენციალურ წინაღობას

$$r_{\delta} = \frac{\Delta U_{\delta}}{\Delta I_{\delta}}, \quad I_{\delta} = \text{const};$$

- კოლექტორული გაჯერების ძაბვას.

## 5. ლაბორატორიული სამუშაოს ანგარიშის შინაარსი

- 5.1. საერთო ემიტერით ჩართული ბიპოლარული ტრანზისტორის კოლტ-ამპერული მახასიათებლების გადასაღები ვირტუალური სქემის აღწერა;
- 5.2. შედგენილი ცხრილები და ცხრილების მიხედვით აგებული შესავალი და გამოსავალი წრედების კოლტ-ამპერული მახასიათებლები. მახასიათებლების ანალიზი;
- 5.3. ექსპერიმენტულად განსაზღვრული პარამეტრები. პარამეტრების ანალიზი;
- 5.4. საერთო ბაზით და საერთო ემიტერით ჩართული ბიპოლარული ტრანზისტორის მახასიათებლებისა და პარამეტრების შედარებითი დახასიათება.

# ლაბორატორიული სამუშაო №6

## ველით მართვადი ტრანზისტორების გამოკვლევა

### 1. სამუშაოს მიზანი

მმართველი **p-n** გადასასვლელიანი და დაინდუქციებული არხიანი ველით მართვადი ტრანზისტორების ვოლტ-ამპერული მახასიათებლების გადაღება და პარამეტრების განსაზღვრა.

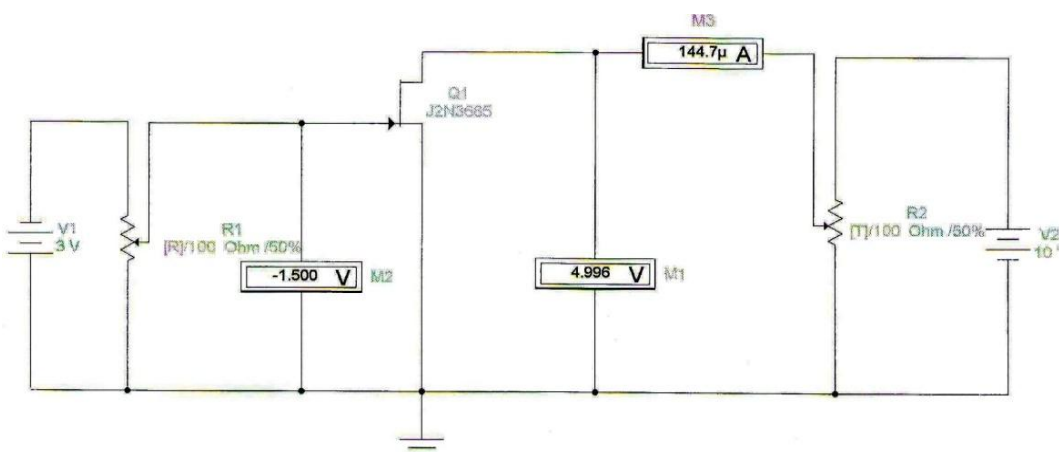
### 2. სამუშაოს შენაარსი

2.1. მმართველი **p-n** გადასასვლელიანი ველით მართვადი ტრანზისტორის გადაცემის და გამოსასვლელის ვოლტ-ამპერული მახასიათებლების გადაღება და პარამეტრების განსაზღვრა.

2.2. დაინდუქციებული არხიანი ველით მართვადი ტრანზისტორის გადაცემის და გამოსასვლელის ვოლტ-ამპერული მახასიათებლების გადაღება და პარამეტრების განსაზღვრა.

### 3. ველით მართვადი ტრანზისტორების ვოლტ-ამპერული მახასიათებლების გადასაღები სერიის აღწერა

3.1. მმართველი **p-n** გადასასვლელიანი ველით მართვადი ტრანზისტორის ვოლტ-ამპერული მახასიათებლების გადასაღებად შესაძლებელია გამოვიყენოთ ვირტუალური სქემა, რომელიც აიწყობა 6.1 ნახაზზე მოცემული ესკიზის მიხედვით.

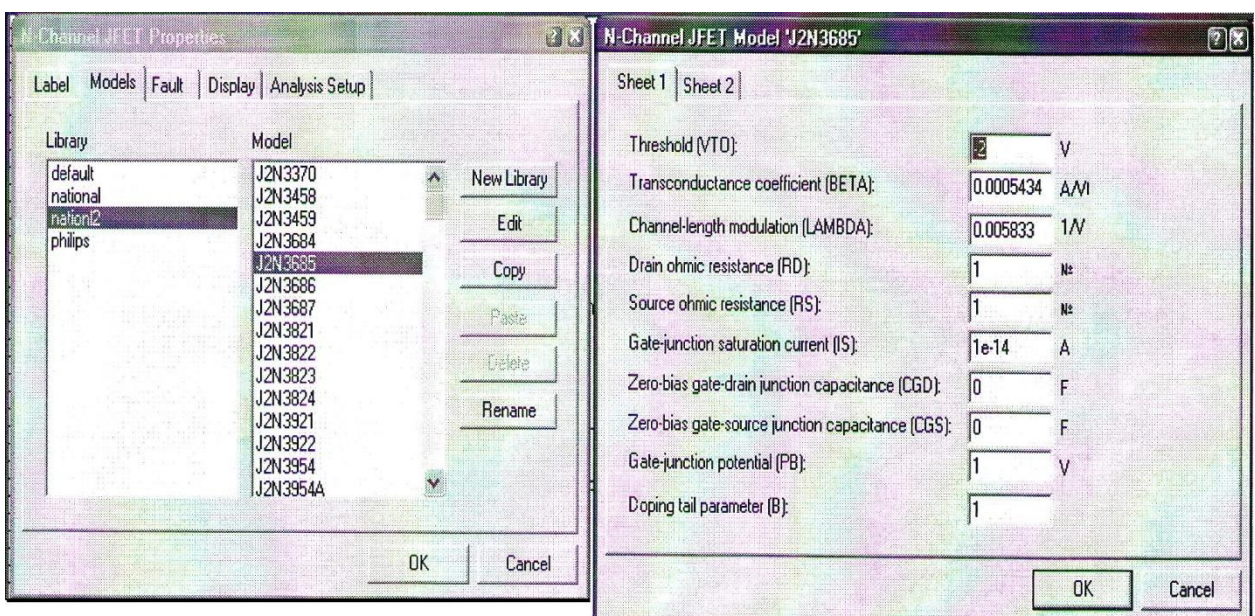


ნახ.6.1 მმართველი **p-n** გადასასვლელიანი ველით მართვადი ტრანზისტორის ვოლტ-ამპერული მახასიათებლების გადასაღები ვირტუალური სქემა

ვირტუალურ სქემაში გამოყენებულია **J2N3685** ტიპის ველით მართვადი ტრანზისტორის ვირტუალური მოდელი. ასეთი ტრანზისტორების პარამეტრთა სადიალოგო ფანჯარაში შეტანილია პარამეტრები:

- მოკვეთის ძაბვა, **V (Threshold voltage [VTO])**;
- დახრილობის პროპორციულობის კოეფიციენტი, **A/V (Transconductance coefficient [BETA])**;
- არხის სიგრძის მოცულაციის პარამეტრები, **1/V (Channel-length modulation [LAMDA])**;
- ჩასადინარის უბნის მოცულობითი წინადობა, ომ (**Drain ohmic resistance [RD]**);
- სათავის უბნის მოცულობითი წინადობა, ომ (**Source ohmic resistance [RS]**);
- **p-n** გადასასვლელის გაჯერების დენი, **A (Gate-Junction saturation current [IS])** და სხვ.

6.2 ნახაზე მოცემულია **J2N3685** ტიპის ველით მართვადი ტრანზისტორის პარამეტრების სადიალოგო ფანჯარა.



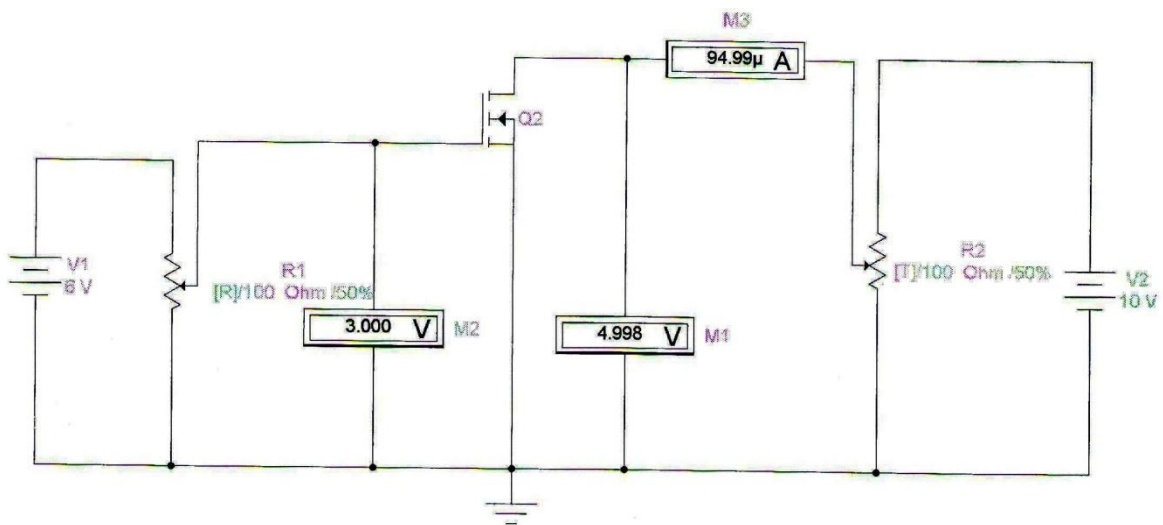
### ნახ.6.2. J2N3685 ტიპის ველით მართვადი ტრანზისტორის სადიალოგო ფანჯარა

ვირტუალური სქემის დანარჩენი კომპონენტები აღწერილი იყო წინადაბორის სამუშაოებში.

გამოსაკვლევი ველით მართვადი ტრანზისტორი **n**-არხიანია. ამიტომ შესავალ წრედს (საკეტ-სათავის წრედი) მიეწოდება უარყოფითი წანაცვლების ძაბვა **V1** მუდმივი

ძაბვის წყაროდან და ეს ძაბვა რეგულირდება [R] პოტენციომეტრით. გამოსავალი წრედი (ჩასადინარი) მიერთებულია V2 წყაროს დადგენით ძაბვასთან, რომელიც რეგულირდება [T] პოტენციომეტრით.

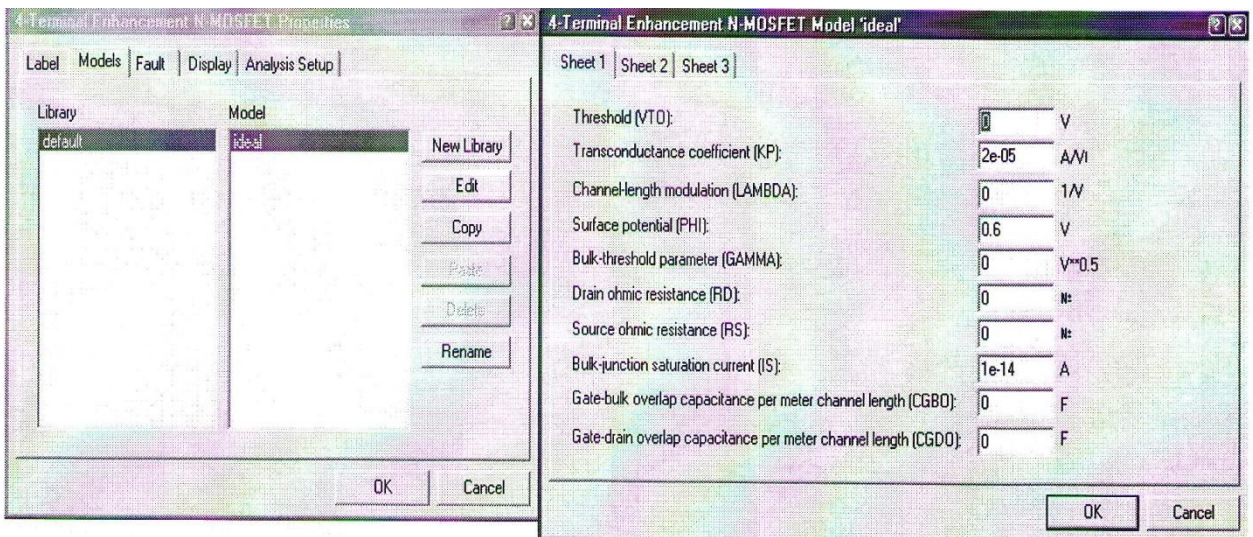
3.2. დაინდუქციებული არხიანი ველით მართვადი ტრანზისტორის ვოლტ-ამპერული მახასიათებლების გადასაღებად შესაძლებელია გამოვიყენოთ ვირტუალური სქემა, რომელიც აიწყობა 6.3 ნახაზზე მოცემული ესკიზის მიხედვით.



**ნახ.6.3. დაინდუქციებული არხიანი ველით მართვადი ტრანზისტორის ვოლტ-ამპერული მახასიათებლების გადასაღები ვირტუალური სქემა**

ვირტუალურ სქემაში გამოყენებულია **n-არხიანი იდეალური (ideal)** ტიპის დაინდუქციებული არხიანი ველით მართვადი ტრანზისტორი. ამ სახის ტრანზისტორების სადიალოგო ფანჯარას აქვს მმართველი **p-n** გადასასვლელიანი ველით მართვადი ტრანზისტორების პარამეტრთა სადიალოგო ფანჯრის ანალოგური სახე (ნახ.6.4), მხოლოდ იმ განსხვავებით, რომ სადიალოგო ფანჯრის პირველ გრაფაში (**Threshold voltage [VTO]**) შეტანილი პარამეტრი წარმოადგენს ზღურბლურ ძაბვას, რომლის დროსაც **n-არხი** იწყებს დენის გატარებას და არა დენის შეწყვეტას (მოკვეთას), რასაც ადგილი აქვს მმართველ **p-n** გადასასვლელიან ველით მართვად ტრანზისტორში. გარდა ამისა, დამატებულია სხვა პარამეტრებიც.

გამოსაკვლევი ტრანზისტორის მართვის ელექტროდს (საკეტს) მიეწოდება დადგენითი მუდმივი ძაბვა V1 წყაროდან. დადგენითი ძაბვა მიეწოდება აგრეთვე გამოსავალ ელექტროდს – ჩასადინარს V2 ძაბვის წყაროდან.



**ნახ.6.4. იდეალური (ideal) ტიპის დაინდუქციური არხიანი ველით  
მართვადი ტრანზისტორის სადიალოგო ფანჯარა**

#### 4. ლაბორატორიული სამშაოს შესრულების თანამიმდევრობა

4.1. მმართველი **p-n** გადასასვლელიანი ველით მართვადი ტრანზისტორის როგორც გადაცემის, ისე გამოსასვლელის ვოლტ-ამპერული მახასიათებლების გადაღებას ვახდენთ 6.1 ნახაზზე მოცემული ვირტუალური სქემის გამოყენებით. ვოლტ-ამპერული მახასიათებლების გადაღების დროს გამოსაკვლევი ველით მართვადი ტრანზისტორის ტიპის დასახელებას ინდიკირებულ დავაღების სახით სტუდენტი დებულობს მასწავლებლისაგან.

გადაცემის ვოლტ-ამპერული მახასიათებლების ( $I_{\text{b},\text{b}}=f(U_{\text{b},\text{b}})$ ,  $U_{\text{b},\text{b}}=\text{const}$ ) გადაღება უნდა მოხდეს ჩასადინარ – სათავეს შორის მოქმედი ძაბვის ორი სხვადასხვა სიდიდის დროს (ინდიკირებულ დავაღების მიხედვით). ჩასადინარსა და სათავეს შორის მისაერთებელ ძაბვას აყენებს [T] პოტენციომეტრი. საკეტსა და სათავეს შორის მოქმედ უარყოფით ძაბვას არეგულირებს **V1** წყაროსთან მიერთებული **[R]** პოტენციომეტრი 0-დან 100% ფარგლებში, 5%-ის ტოლი ბიჯით. **[R]** –ის ცვლილებისას გაზომვებით და პარამეტრების გაანგარიშებით მიღებული შედეგები შეგვაქვს №1 ცხრილში.

მოცემულობა			გამომცით				გაანგარიშებით		
			$U'_{\text{ჩს.ბო}} =$		$U''_{\text{ჩს.ბო}} =$				
V1	[R]	$U_{\text{ს.ბო.მოკ}}$	$U_{\text{ბ.ბო}}$	$I_{\text{ჩს.ბ}}$	$U_{\text{ს.ბო.მოკ}}$	$I_{\text{ჩს.ბ}}$	$S_b$	$S_\delta$	$R_{\min}$
ვ	%	ვ	ვ	მა	ვ	მა	მა/ვ	მა/ვ	ომ

შედგენილი ცხრილის მიხედვით უნდა აიგოს **p-n** გადასასვლელიანი გელით მართვადი ტრანზისტორის გადაცემის მახასიათებლები –  $I_{\text{ჩს.ბ}} = f(u_{\text{ბ.ბო}})$ ,  $u_{\text{ბ.ბო}} = \text{const}$  და განისაზღვროს პარამეტრები. ამ ცხრილის მიხედვით ვსაზღვრავთ შემდეგ პარამეტრებს:

- გელით მართვადი ტრანზისტორის საკეტსა და სათავეს შორის ძაბვის იმ უარყოფით მნიშვნელობას, რომლის დროსაც ჩასადინარის დენი ნულის ტოლი ხდება (მოკვეთის ძაბვა  $-U_{\text{ბ.ბო.მოკ}}$ );
- გელით მართვადი ტრანზისტორის მახასიათებლის დახრილობას მის საწყის და ბოლო უბნებზე ( $S_b, S_\delta$ )

$$S = \frac{\Delta I_{\text{ჩს.ბ}}}{\Delta U_{\text{ბ.ბო}}}, \quad U_{\text{ჩს.ბო}} = \text{const.}$$

- გელით მართვადი ტრანზისტორის არხის მინიმალურ წინაღობას (არხის წინაღობას საკეტსა და სათავეს შორის მოქმედი ძაბვის ნულის სიახლოეს)

$$R_{\min} = \frac{U_{\text{ჩს.ბო}}}{I_{\text{ჩს.ბ.მაx}}}.$$

მმართველი **p-n** გადასასვლელიანი გელით მართვადი ტრანზისტორის გამოსასვლელის (ჩასადინარის) მახასიათებლის გადადებას ვახდენთ საკეტ-სათავის უარყოფითი ძაბვის ორი სხვადასხვა მნიშვნელობის დროს. ამ ძაბვის ოთოვეული მნიშვნელობის შემთხვევაში გველით **V2** მუდმივი ძაბვის წყაროდან ჩასადინარზე მიწოდებული ძაბვის სიდიდეს 0 – 100%-ის ფარგლებში, 5%-ის ტოლი ბიჯით. ჩასადინარის ძაბვისა და დენის მნიშვნელობები შეგვაძეს №2 ცხრილში.

მოცემულობა		$U'_{b,b}$ =					$U''_{b,b}$ =				
		გაზომვით		გაანგარიშებით			გაზომვით		გაანგარიშებით		
V2	[T]	$U_{b,b}$	$I_b$	$r'_i$	$S'$	$\mu'$	$U_{b,b}$	$I_b$	$r''_i$	$S''$	$\mu''$
3	%	3	3	3	3	-	3	3	3	3	-

შედგენილი ცხრილის მიხედვით უნდა აიგოს მმართველი **p-n** გადასასვლელიანი გელით მართვადი ტრანზისტორის ჩასადინარის (გამოსასვლელის) ვოლტ-ამპერული მახასიათებლები –  $I_{b,b} = f(U_{b,b})$ ,  $U_{b,b} = \text{const}$  და განისაზღვროს პარამეტრები. ამ ცხრილის მიხედვით ვსაზღვრავთ შემდეგ პარამეტრებს:

- გელით მართვადი ტრანზისტორის დენგამტარი არხის დიფერენციალურ წინაღობას აქტიურ რეჟიმში მუშაობის დროს

$$r'_i = \frac{\Delta U_{b,b}}{\Delta I_b}, \quad U_{b,b} = U'_{b,b};$$

$$r''_i = \frac{\Delta U_{b,b}}{\Delta I_b}, \quad U_{b,b} = U''_{b,b};$$

- მახასიათებლების დახრილობას

$$S' = \frac{1}{R_{\min}} \left[ 1 - \frac{|U'_{b,b}|}{|U_{\partial\alpha_j}|} \right];$$

$$S'' = \frac{1}{R_{\min}} \left[ 1 - \frac{|U''_{b,b}|}{|U_{\partial\alpha_j}|} \right];$$

- გაძლიერების სტატიკურ კოეფიციენტს

$$\mu' = r'_i \cdot S', \quad \mu'' = r''_i \cdot S''.$$

4.2. დაინდუქციებული არხიანი გელით მართვადი ტრანზისტორის გადაცემისა და გამოსასვლელის ვოლტ-ამპერული მახასიათებლების გადაღებას ვახდენთ 6.3 ნახაზზე მოცემული ვირტუალური სქემის გამოყენებით.

გადაცემის ვოლტ-ამპერული მახასიათებლების ( $I_{b,b} = f(U_{b,b})$ ,  $U_{b,b} = \text{const}$ ) გადაღება უნდა მოხდეს ჩასადინარ – სათავეს შორის მოქმედი ძაბვის ორი სხვადასხვა სიდიდის დროს (ინდივიდუალური დავალების შესაბამისად). საკეტსა და სათავეს

შორის მოქმედი დადგებითი ძაბვა, [R] პოტენციომეტრის საშუალებით, უნდა შეიცვალოს 0-დან 100%-მდე, 5%-ის ტოლი ბიჯით და გაზომვებით მიღებული შედგები შეტანილი უნდა იქნას №1 ცხრილის ანალოგიურ №3 ცხრილში. შედგენილი ცხრილის საფუძველზე უნდა აიგოს გადაცემის გოლტ-ამპერული მახასიათებლები და განისაზღვროს მახასიათებლების დახრილობა საწყის და ბოლო უბნებზე (S<sub>b</sub>, S).

ჩასადინარის გოლტ-ამპერული მახასიათებლების გადაღება უნდა მოხდეს საკეტსა და სათავეს შორის მიერთებული ძაბვის ორი სხვადასხვა სიდიდის დროს (ინდივიდუალური დავალების შესაბამისად). ჩასადინარსა და სათავეს შორის მიერთებული ძაბვის სიდიდე უნდა შეიცვალოს [T] პოტენციომეტრის საშუალებით 0-დან 100%-მდე და გაზომვის შედეგები შეტანილი იქნას №2 ცხრილის ანალოგიურ №4 ცხრილში, რომლის საფუძველზეც უნდა აიგოს ჩასადინარის მახასიათებელები ( $I_{b_1 b} = f(U_{b_1 b}, U_{b_1 b} = \text{const})$  და განისაზღვროს პარამეტრები.

## 5. ლაბორატორიული სამუშაოს ანგარიშის შინაარსი

- 5.1. მმართველი **p-n** გადასასვლელიანი და დაინდუქციებული არხიანი ველით მართვადი ტრანზისტორების გადაცემისა და გამოსასვლელის მახასიათებლების გადასაღები სქემები და მათი აღწერა.
- 5.2. შედგენილი ცხრილები და ცხრილების მიხედვით აგებული გადაცემისა და გამოსასვლელის მახასიათებლები.
- 5.3. თეორიული და ვირტუალური მოდელირებით მიღებული მახასიათებლების შედარებითი ანალიზი.
- 5.4. მოდელირების შედეგად მიღებული პარამეტრების დახასიათება.
- 5.5. მმართველი **p-n** გადასასვლელიანი და დაინდუქციებული არხიანი პარამეტრების შედარებითი დახასიათება.

**ლაპორატორიული სამუშაო №7**  
**ერთფაზა ძაბვის ორნახეგარპერიოდიანი**  
**ბამძართველების გამოკვლევა**

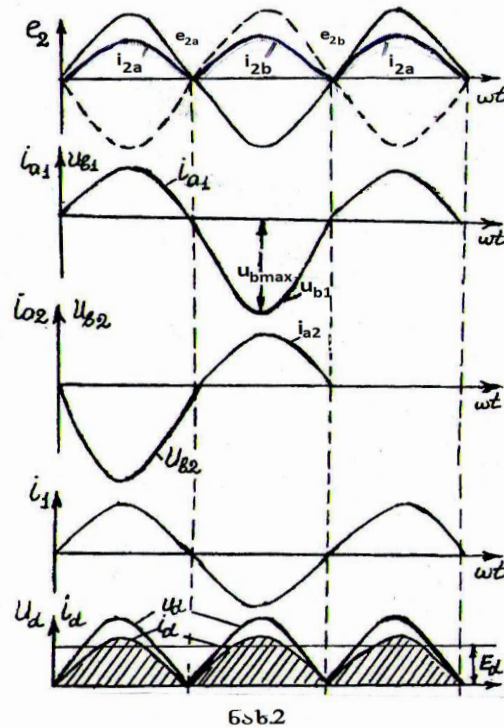
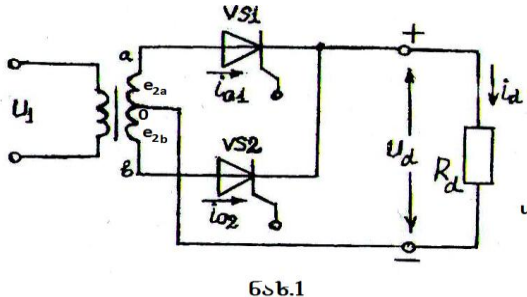
### 1. სამუშაოს მიზანი

ერთფაზა არამართვადი ტრანსფორმატორის ნულის გამომყვანიანი და ბოგური გამმართველების გამოკვლევა აქტიურ და აქტიურ-ინდუქციურ დატვირთვაზე მუშაობის დროს.

### 2. თმორიული ცნობები

მცირე სიმძლავრის გამმართველები ერთფაზა შესრულებულია სრულპერიოდიანი (ორნახეგარპერიოდიანი) სქემის მიხედვით:

1. სქემა ტრანსფორმატორის მეორეული გრაგნილის შუა წერტილის გამომყვანით (ერთფაზა ნულის გამომყვანიანი სქემა);
2. ბოგური სქემა
3. ერთფაზა ნულის გამომყვანიანი გამმართველის სქემა წარმოდგენილია ნახ. 1-ზე. ნახ. 2-ზე კი მოცემულია სქემის მუშაობის ამსახველი ძაბვებისა და დენების დიაგრამები წმინდა აქტიური დატვირთვის დროს.



გამართული ძაბვის საშუალო მნიშვნელობა იდეალური დიოდებისა და ტრანსფორმატორის შემთხვევაში

$$E_d = \frac{\sqrt{2}E_2}{\pi} \int_0^\pi \sin d\vartheta = \frac{2\sqrt{2}E_2}{\pi} = 0,9 E_2, \quad (1)$$

სადაც  $\vartheta = \omega t$ ;

$E_2$  – იდეალური ტრანსფორმატორის მეორეული ნახევარგრაგნილის ე მ ბ-ის მოქმედი მნიშვნელობაა.

$$\text{საიდანაც } E_2 = \frac{\pi E_d}{2\sqrt{2}} = 1,11 E_d \quad (2)$$

დატვირთვაში გამავალი დენის საშუალო მნიშვნელობა

$$I_d = \frac{E_d}{R_d}. \quad (3)$$

სქემის სიმეტრიულობიდან გამომდინარე, დიოდში გამავალი დენის საშუალო მნიშვნელობა

$$I_a = \frac{I_d}{2}. \quad (4)$$

დიოდში გამავალი დენის მაქსიმალური მნიშვნელობა

$$I_{a\max} = I_{d\max} = \frac{\pi}{2} Id = \pi I_a \quad (5)$$

პერიოდის იმ ნაწილში, როცა იდეალური დიოდი დიაა, მასზე არსებული ძაბვის გარდნა ნულის ტოლია. პერიოდის არაგამტარ ნაწილში დიოდზე მოქმედებს ორივე ნახევარგრაგნილის ძაბვა, ამიტომ იგი ეტოლება მეორეული გრაგნილის ძაბვის ორმაგ ამპლიტუდას

$$U_{b\max} = 2\sqrt{2}E_2 = \pi E_d. \quad (6)$$

დიოდში და, მაშასადამე, მეორეულ ნახევარგრაგნილში გამავალი დენის მოქმედი მნიშვნელობა

$$I_2 = \sqrt{\frac{1}{2\pi} \int_0^{2\pi} i_2^2 d\omega t} = \frac{\pi I_d}{4} = \frac{\pi I_a}{2} \quad (7)$$

ტრანსფორმატორის პირველად გრაგნილში გამავალი დენი სინუსოიდური ფორმისაა. მისი მოქმედი მნიშვნელობა დამოკიდებულია გამართული (დატვირთვის) დენის საშუალო მნიშვნელობაზე და განისაზღვრება შემდეგი გამოსახულების მიხედვით

$$I_1 = \frac{\pi I_a}{2\sqrt{2}} k_{\phi\phi} = 1,11 \frac{I_d}{k_{\phi\phi}}, \quad (8)$$

სადაც  $k_{\phi\phi} = \frac{W_1}{W_2} - \text{ტრანსფორმატორის კოეფიციენტი}$ .

ტრანსფორმატორის მეორეული გრაგნილის საანგარიშო სიმძლავრე ეტოლება

$$S_2 = 2E_2I_2 = \frac{2\pi}{2\sqrt{2}} \cdot \frac{\pi}{4} E_d I_d = 1,74 P_d \quad (9)$$

ტრანსფორმატორის პირველადი გრაგნილის საანგარიშო სიმძლავრე

$$S_1 = U_1 I_1 = \frac{\pi^2}{8} I_d E_d = 1,23 P_d . \quad (10)$$

ტრანსფორმატორის საანგარიშო სიმძლავრე

$$S_{\phi} = \frac{S_1 + S_2}{Q} = 1,48 P_d . \quad (11)$$

დატვირთვაში გამოყოფილი სრული აქტიური სიმძლავრე

$$P_d^{\perp} = \frac{1}{2\pi} \int_0^{2\pi} u_d i_d d\omega = \frac{\pi^2}{8} P_d . \quad (12)$$

ზემოთ მოყვანილი გამოსახულებები ძალაშია წმინდა აქტიური დატვირთვის დროს. თუ დატვირთვა აქტიურ ინდუქციური ხასიათისად და ინდუქციურობის სიდიდე იმდენად დიდია, რომ დატვირთვის დენს პულსაციები არ გააჩნია, მაშინ დიოდის დენის მაქსიმალური მნიშვნელობა

$$I_{a\max} = I_d . \quad (13)$$

დიოდისა და ტრანსფორმატორის მეორეული ნახევარგრაგნილების დენების მოქმედი მნიშვნელობა ამ შემთხვევაში არის

$$I_{a\theta} = I_2 = I_d / \sqrt{2} \quad (14)$$

ტრანსფორმატორის პირველადი გრაგნილის დენის მოქმედი მნიშვნელობა

$$I_1 = I_d / K_{\phi\alpha} . \quad (15)$$

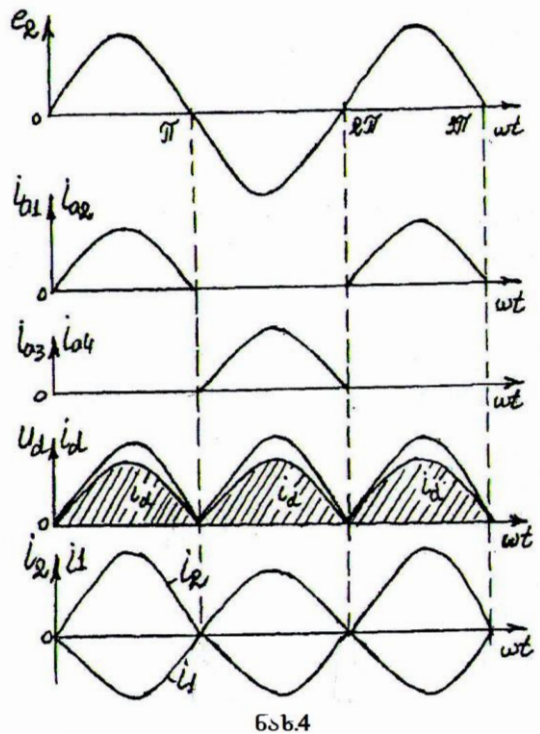
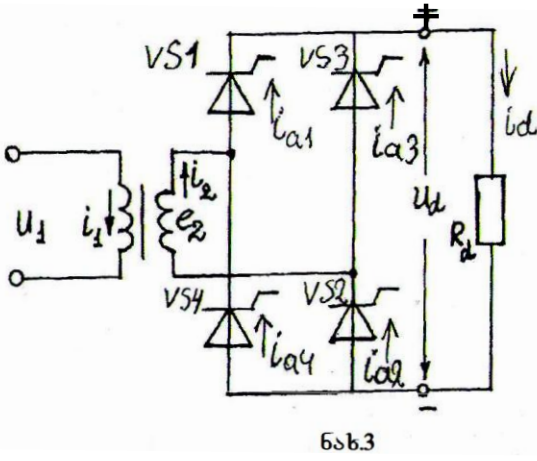
ტრანსფორმატორის საანგარიშო სიმძლავრე

$$S_{\phi} = S_1 = S_2 = 1,34 P_d . \quad (16)$$

დატვირთვაში გამავალი დენის მოქმედი და საშუალო მნიშვნელობები ერთნაირია, გ.ი.

$$P_d^{\parallel} = P_d . \quad (17)$$

2. ერთვაზა გამმართველის ბოგური სქემა მოცემულია ნახ. 3-ზე. ნახ. 4-ზე წარმოდგენილია ამ სქემის მუშაობის ამსახველი ძაბვებისა და დენების დიაგრამები წმინდა აქტიური დატვირთვის დროს.



გამართული ძაბვისა და დენის საშუალო მნიშვნელობები ამ სქემაში ისეთივეა, როგორიც ნულისგამომყვანიან სქემაში.

ბოგურ სქემაში დიოდზე მოქმედი უკუძაბვა, თუ მხედველობაში არ მივიღებთ დიოდზე არსებულ პირდაპირი ძაბვის ვარდნას, განისაზღვრება ტრანსფორმატორის მეორეული გრაგნილის ძაბვი:

$$U_{b\max} = \sqrt{2}E_2 = \frac{\pi}{2}E_d. \quad (18)$$

(6) და (13) გამოსახულებების შედარებიდან ჩანს, რომ დიოდებზე მოქმედი უკუძაბვის მაქსიმალური მნიშვნელობა, გამართული ძაბვის ერთიდაიგივე სიდიდის დროს, ბოგური სქემაში 2-ჯერ ნაკლებია, ვიდრე ნულისგამომყვანიან სქემაში.

ბოგურ სქემაში ტრანსფორმატორის მეორეულ და პირველად გრაგნილებში გამავალი დენის ფორმები ერთნაირია (სინუსოიდურია), ამიტომ პირველადი გრაგნილის დენის მოქმედი მნიშვნელობა განსხვავდება მეორეული გრაგნილის დენის მოქმედი მნიშვნელობისაგან მხოლოდ ტრანსფორმაციის კოეფიციენტჯერ.

$$I_2 = 1,11I_d, \quad I_1 = \frac{1,11}{k_{\text{ტ}}^2} I_d \quad (19)$$

ზემოაღნიშნულიდან გამომდინარე, ტრანსფორმატორის გრაგნილების საანგარიშო სიმძლავრეები ბოგურ სქემაში ერთნაირია

$$S_1 = S_2 = 1,23P_d. \quad (20)$$

გაანგარიშების შედეგების EWB პროგრამის გამოყენებით ექსპერიმენტული შემოწმებისას, გამოყენებულია დიოდის მოდელი „Ideal“ რომელშიც პირდაპირი ძაბვის ვარდნა ( $\Delta U_a$ ) არ არის ნულის ტოლი. იგი შეადგენს დაახლოებით 0,8 ვ-ს.

ამიტომ გამოსავალი ძაბვის საშუალო მნიშვნელობის ზუსტი გაანგარიშებისათვის, საჭიროა (1) გამოსახულების ნაცვლად შემდეგი გამოსახულებით სარგებლობა

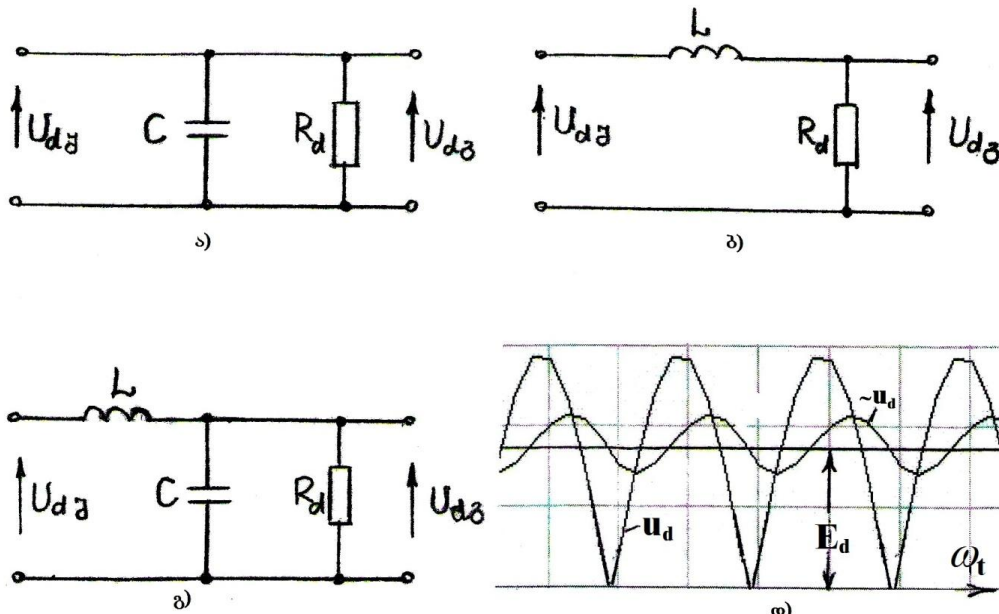
$$U_d = \frac{2\sqrt{2}E_2}{\pi} - \Delta u_a = 0,9 E_2 - \Delta u_a . \quad (21)$$

ამის გამო, საჭიროა ყველა სხვა ფორმულის კორექტობა. მაგრამ ცდომილება, რომელიც გამოწვეულია დიოდის არაიდეალურობით, არ აღემატება 5%-ს, რაც სავსებით დასაშვებია ინჟინრული გაანგარიშებების შესრულების დროს.

დატვირთვაზე მიღებულ გამართულ ძაბვასა და დენს აქვთ პულსირებული ხასიათი. პულსაციების გასაგლუვებლად (გასასწორებლად) გამოიყენება ფილტრის ფუნქციას ასრულებს სქემაში ჩართული რეაქტიული ელემენტები (კონდენსატორები, დროსელები). ნახ. 5-ზე ნაჩვენებია უმარტივესი ფილტრების სქემები:

- ინდუქციური ფილტრი (ნახ. 5,ა);
- ტევადობითი ფილტრი (ნახ. 5,ბ);
- „Γ”-სებრი ფილტრი (ნახ. 5,გ).

ნახ. 5,დ-ზე ნაჩვენებია გამოსავალი (გამართული) ძაბვის ფორმა დატვირთვაზე ფილტრის გამოყენების შემთხვევაში



ნახ.5

პულსირებული გამართული ძაბვა შეიცავს მუდმივ და ცვლად შემდგენებს. ფილტრის ტევადობისა და ინდუქციურობის საკმაოდ დიდი სიდიდის დროს, მათ რეაქტიულ წინაღობაზე ვარდება გამართული ძაბვის ცვლადი შემდგენის დიდი ნაწილი (ნახ. 5,დ). ინდუქციურობისა და ტევადობის კომბინაცია წარმოქმნის ე. წ. „Γ”-სებრ ფილტრს, რომელსაც გააჩნია ძაბვის გაფილტვრის საუკეთესო თვისება.

ერთფაზა ორნახევარპერიოდიანი გამმართველების გამოსავალი ძაბვის პულსაციის სიხშირე 2-ჯერ აღემატება მკვებავი ცვლადი ძაბვის ქსელის  $f$  სიხშირეს. ამიტომ ასეთი გამმართველების გამოსავალი ძაბვის ცვლადი შემდგენი შეიცავს მხოლოდ ლუწი რიგის ჰარმონიკებს. ამ ჰარმონიკებიდან უდიდესი ამპლიტუდა აქვთ პირველ (ძირითად) ჰარმონიკას, რომლის სიხშირე 2-ჯერ აღემატება მკვებავი ქსელის სიხშირეს. სხვა მაღალი რიგის ჰარმონიკების ამპლიტუდები რიგითი ნომრის კვადრატის უკუპროპროპორციულია. ამიტომ ფილტრის ჰარამეტრების გაანგარიშებას ახდენენ მხოლოდ პირველი (ძირითადი) ჰარმონიკის გათვალისწინებით.

გამართული ძაბვის პირველი (ძირითადი) ჰარმონიკის ამპლიტუდის შეფარდებას გამართული ძაბვის საშუალო მნიშვნელობასთან უწოდებენ პულსაციის კოეფიციენტს

$$q_1 = \frac{U_{d(1)\max}}{U_d}. \quad (22)$$

შემონაბეჭდით აქტიურ დატვირთვაზე მუშაობის დროს გამართული ძაბვის პულსაციის კოეფიციენტი:  $q_1 = \frac{2}{3} \approx 0,67$ .

ფილტრის გამოყენების შემთხვევაში დატვირთვაზე მოქმედი ძაბვის პულსაციის კოეფიციენტი

$$q_2 = \frac{U_{d(1)\max}^{\perp}}{U_d^{\perp}}, \quad (23)$$

სადაც  $U_{d(1)\max}^{\perp}$ -პირველი (ძირითადი) ჰარმონიკის ამპლიტუდაა ფილტრის გამოსავალზე;

$U_d^{\perp}$ -გამართული ძაბვის საშუალო მნიშვნელობა ფილტრის გამოსავალზე.

ფილტრის შესავალზე და გამოსავალზე არსებული ძაბვების პულსაციათა კოეფიციენტების შეფარდებას უწოდებენ გასწორების (ფილტრაციის) კოეფიციენტს

$$S = \frac{q_1}{q_2} \quad (24)$$

ინდუქციური ფილტრის გამოყენების შემთხვევაში (ნახ. 5,ა) გამმართველის გამოსავალი ძაბვის ცვლადი შემდგენის პირველი ჰარმონიკა განაწილდება ფილტრის  $X_L$  ინდუქციური წინაღობასა და დატვირთვის  $R_d$  აქტიურ წინაღობაზე. როდესაც  $X_L \gg R_d$ , დატვირთვაზე მოქმედი ძაბვის პულსაციები, მცირე სიდიდისაა (ნახ. 5,დ). ორნახევარპერიოდიანი გამართვის სქემებში ფილტრის გასწორების კოეფიციენტი

$$S = \frac{\sqrt{R_d^2 + (2\omega L)^2}}{R_d} \quad (25)$$

როდესაც ცნობილია გასწორების კოეფიციენტის საჭირო სიდიდე და დატვირთვის აქტიური წინაღობა, ფილტრის ინდუქციურობა შეიძლება განისაზღვროს გამოსახულებიდან

$$L \approx \frac{SR_d}{2\omega} = \frac{q_1 R_d}{q_2 \cdot 2\omega} = \frac{R_d}{3q_2 \omega} \quad (26)$$

როდესაც საჭიროა ფილტრის გასწორების დიდი კოეფიციენტი, მაშინ მარტივი ფილტრების კონდენსატორის  $C$  ტევადობა ან  $L$  ინდუქციურობა ძალზე დიდი სიღილის გამოდის და ფილტრს აქვს დიდი გაბრიტული ზომები, რაც ხშირად მიუღებელია. ამ შემთხვევაში მიზანშეწონილია „Gamma“-ხებრი ფილტრის გამოყენება (ნახ.5,გ). „Gamma“-ხებრი ფილტრის გასაანგარიშებლად გამოიყენება გამოსახულება

$$LC = \frac{S}{4\omega^2} \quad (27)$$

სადაც  $\omega$ -გამართული ძაბვის პირველი (ძირითადი) ჰარმონიკის სიხშირეა;

$$L \text{ და } C \text{ განისაზღვრება გამოსახულებიდან } \omega L = \frac{1}{\omega C}.$$

#### 4. სამუშაოს შინაარსი

4.1. ერთფაზა ორნახევარპერიოდიანი გამმართველების მუშაობის გამოკვლევა აქტიურ დატვირთვაზე მუშაობის დროს უფილტროდ და ფილტრის გამოყენებით.

4.2. ერთფაზა ორნახევარპერიოდიანი გამმართველების მუშაობის გამოკვლევა აქტიურ-ინდუქციურ დატვირთვაზე მუშაობის დროს.

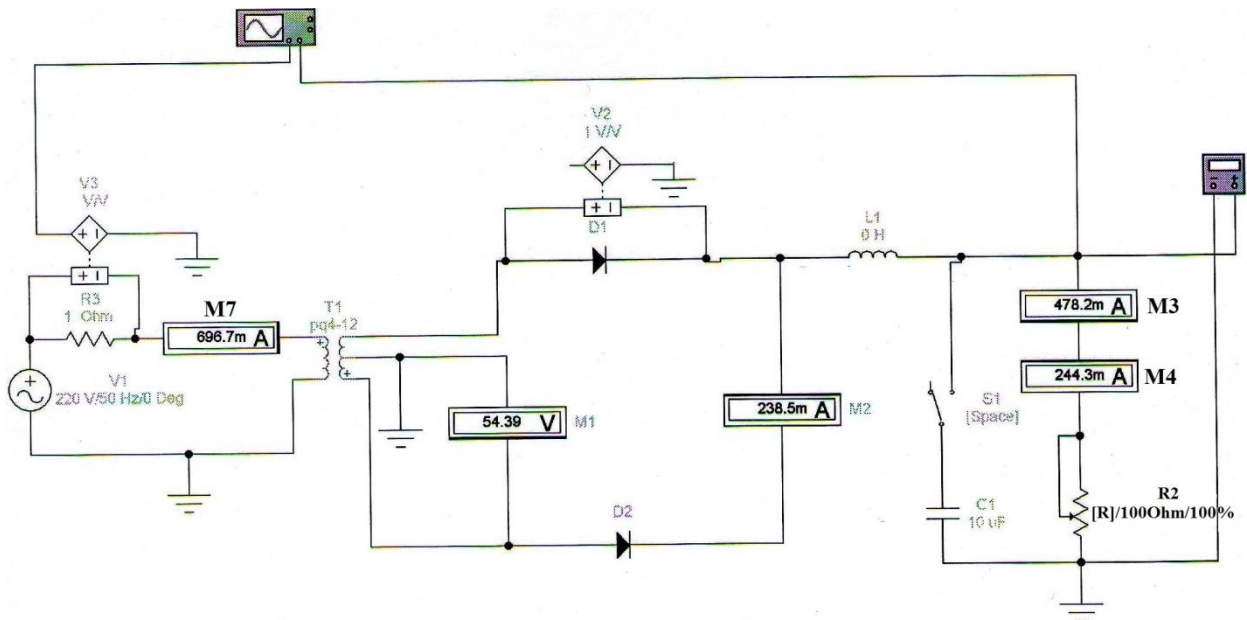
#### 5. გირტუალური ლაბორატორიული დანადგარის აღმოჩენა

ერთფაზა გამმართველების ვირტუალური ლაბორატორიული დანადგარების სქემები მოცემულია 7.1, ა,ბ ნახაზებზე.

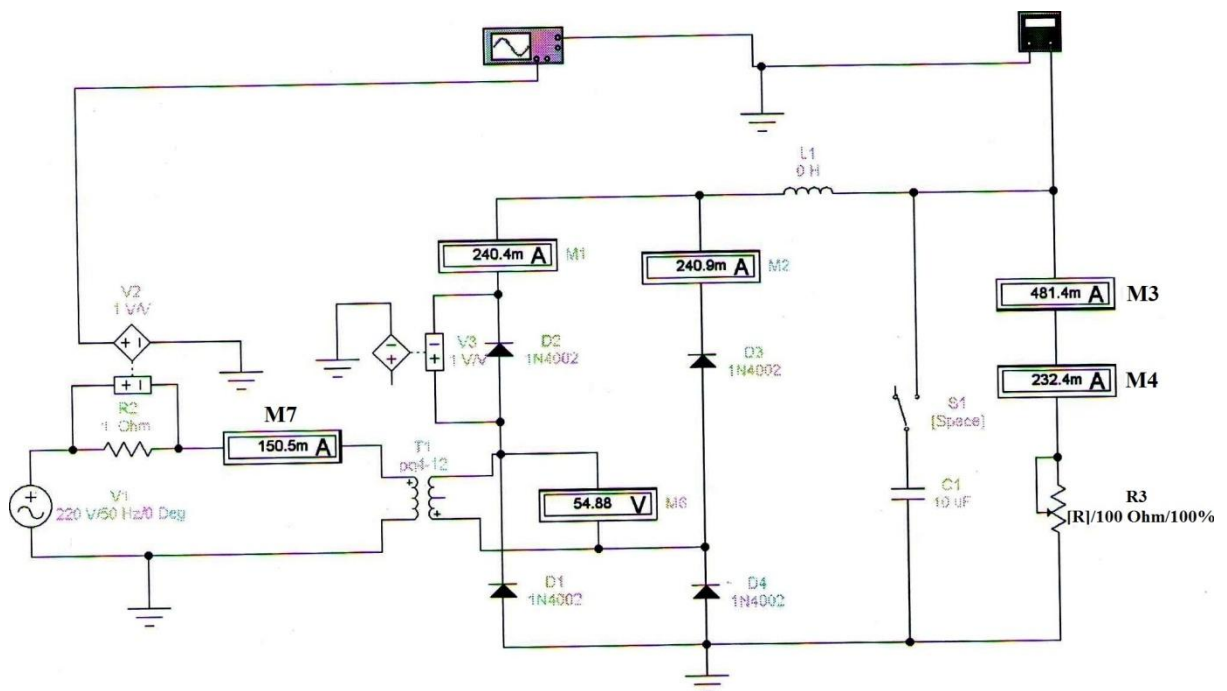
გამმართველების სქემაში გამოყენებული ვირტუალური კომპონენტების უმრავლესობა წინა ლაბორატორიულ სამუშაოებში იყო გამოყენებული. ახალი ვირტუალური კომპონენტებია: ერთფაზა ძაბვის დამადაბლებული ტრანსფორმატორი მეორეული გრაგნილის შეა წერტილის (ნულის) გამოყვანით, ტრანსფორმატორის პირველად გრაგნილთან მიერთებული ცვლადი ძაბვის წყარო, ძაბვით მართვადი ძაბვის წყარო ( $IV/V$ ), მულტიმეტრი და ოსცილოსკოპი.

ტრანსფორმატორის სადიალოგო პარამეტრების ფანჯარაში შეტანილია:

- ტრანსფორმატორის კოეფიციენტი (Primary – to secondary turns ratio [N]);



ნახ.7.1.ა. ერთფაზა არამართვადი ტრანსფორმატორის ნულის გამომყვანიანი  
გამმართველის ვირტუალური დაბორატორიული დანადგარის  
სქემა

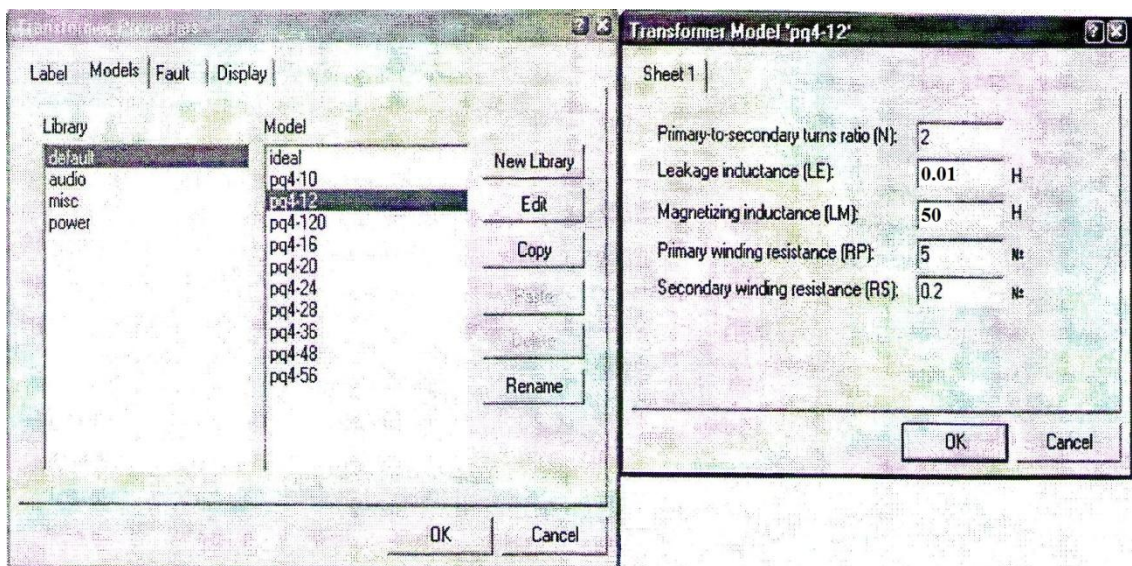


ნახ.7.1.ბ. ერთფაზა არამართვადი ბოგური გამმართველის დაბორატორიული  
დანადგარის ვირტუალური სქემა

- გაბნევის უნდუქციურობა (Leakage inductance [LE]);
- დამაგნიტების ინდუქციურობა (Magnetizing inductance [LM]);

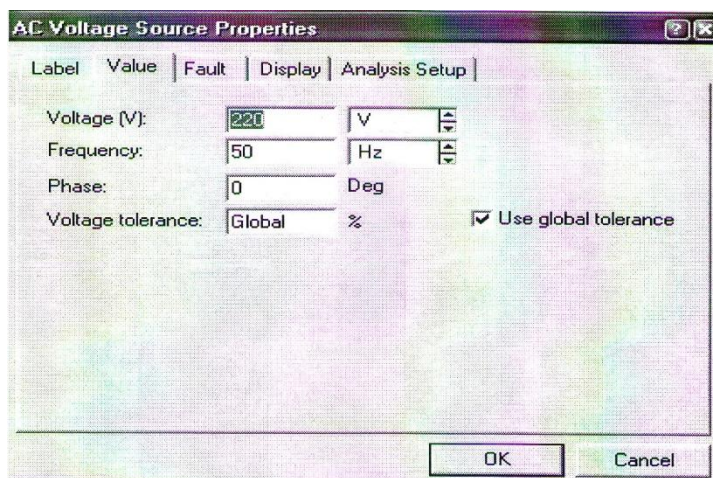
- პირველადი გრაგნილის წინაღობა (Primary Winding resistance [RP]);
- მეორეული გრაგნილის წინაღობა (Secondary Winding resistance [RS]).

ძაბვის დამადაბლებელი **pq4-12** ტიპის ტრანსფორმატორის სადიალოგო პარამეტრების ფანჯარა ნაჩვენებია 7.2 ნახაზე



ნახ.7.2. Pq4-12 ტიპის ტრანსფორმატორის სადიალოგო პარამეტრების ფანჯარა

ცვლადი ძაბვის სადიალოგო პარამეტრების ფანჯარაში (ნახ.7.3) ფიქსირდება გამოსავალი ძაბვის მოქმედი მნიშვნელობა (Voltage [V]), სიხშირე ჰერცებში (Frequency) და საჭირო ფაზა გრადუსებში (Phas, deg.).

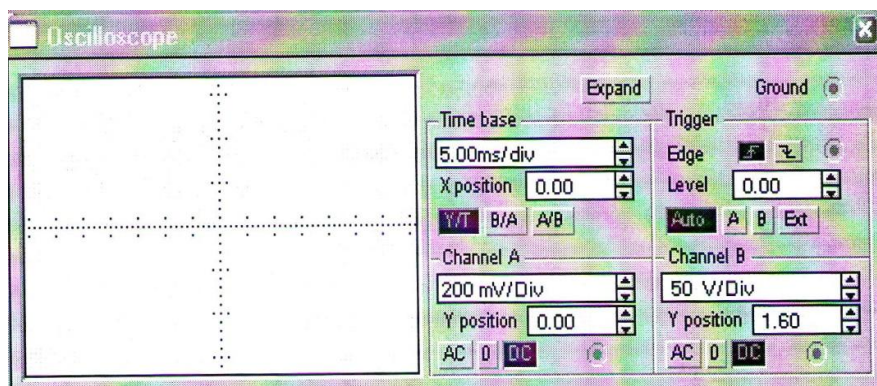


ნახ.7.3. ცვლადი ძაბვის წყაროს სადიალოგო ფანჯარა

ძაბვით მართვადი ძაბვის წყაროს სადიალოგო ფანჯარაში შეტანილია ერთი პარამეტრი – ძაბვის გადაცემის კოეფიციენტი (**Voltage gain, V/V**).

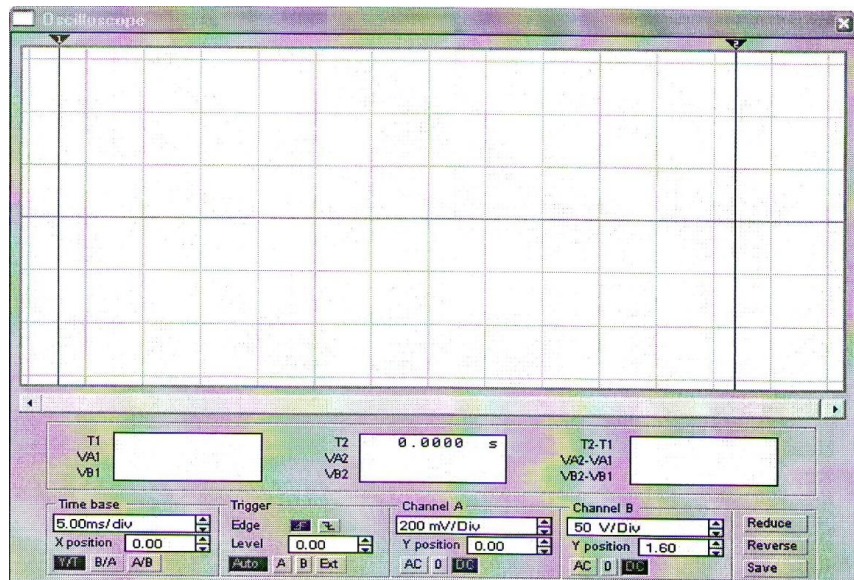
ოსცილოსკოპი (ოსცილოგრაფი) ორარხიანია (ორსხიანია). ოსცილოსკოპის გამოყენების დროს, ცვლადი სიგნალის სიხშირის გათვალისწინებით, წინასწარ უნდა დაფიქსირდეს სხივის პორიზონტალური განშლადობის ხანგრძლივობა (**Time base**) მილიწამი ან მიკროწამი სკალის ერთ დანაყოფზე ( $ms/div, \mu s/div$ ) (ნახ.7.4). სიგნალის ძაბვისა და დენის მიხედვით უნდა დაფიქსირდეს ვერტიკალური განშლადობის მგრძნობიარობა (ვოლტი ან მილივოლტი დანაყოფზე, ამპერი ან მილიამპერი დანაყოფზე). საჭიროების შემთხვევაში ფიქსირდება აგრეთვე სხივის წანაცვლება ვერტიკალურად ზემოთ ან ქვემოთ (**position**).

ოსცილოსკოპს შეუძლია გაფართოებული ეკრანის რეჟიმში **[EXPEND]** მუშაობა. **EXPEND** დიდაკის გააქტიურების შემდეგ ეკრანზე მიიღება სიგნალების დიაგრამები გაზრდილი ზომებით. ამ შემთხვევაში თითოეული არხის (**A** და **B** არხები) სიგნალის მყისი მნიშვნელობის გასაზომად გამოიყენება სამიზნებელი სახაზავები. ამავე სახაზავების საშუალებით შეიძლება განისაზღვროს დროის შუალედი (**T<sub>2</sub> – T<sub>1</sub>**) გასაზომის მნიშვნელობათა შორის (ნახ.7.5)

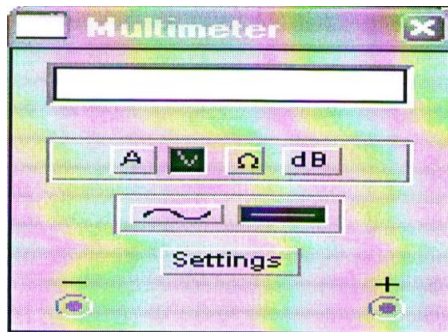


ნახ.7.4. ორარხიანი ოსცილოსკოპის სადიალოგო ფანჯარა

მულტიმეტრი შესაძლებელია გამოყენებული იქნას ომმეტრის, ამპერმეტრისა და ვოლტმეტრის ფუნქციის შესასრულებლად. მას შეუძლია იმუშაოს ცვლადი და მუდმივი სიგნალების გაზომვის რეჟიმებში.



ნახ.7.5. ორარხიანი ოსცილოსკოპის გაფართოებული ეკრანი



ნახ.7.6. მულტიმეტრის ფანჯარა

## 6. ლაბორატორიული სამუშაოს შესრულების თანამიმდევრობა

6.1. ერთფაზა ორნახევარპერიოდიანი გამმართველის აქტიურ დატვირთვაზე მუშაობის გამოკვლევას ვახორციელებთ 7.1 ნახაზებზე მოცემული ვირტუალური სქემების გამოყენებით. როდესაც გამმართველის გამოკვლევას ვახდენთ ფილტრის გამოუყენებლად, **L** ინდუქციურობის სადიალოგო ფანჯარაში შეტანილი უნდა იქნას **O**, ხოლო კონდენსატორი **S<sub>1</sub>** გადამრთველით იმყოფება გამორთულ მდგომარეობაში. მარტივი ინდუქციური ფილტრის გამოყენების შემთხვევაში, **L** ინდუქციურობის სადიალოგო ფანჯარაში ფიქსირდება ინდუქციურობის საჭირო სიდიდე, ხოლო „Г”-სებრი **LC** ფილტრის გამოყენების შემთხვევაში, დამატებით, **C** კონდენსატორის სადიალოგო ფანჯარაში ფიქსირდება ტევადობის საჭირო სიდიდე და იგი **S<sub>1</sub> (Space)** გადამრთველით უერთდება დატვირთვას.

ერთფაზა ორნახევარპერიოდიანი გამმართველის გამოსაკვლევი სქემური ვარიანტი, გამმართველის ტრანსფორმატორის ტიპი და მისი პარამეტრები, დიოდების ტიპი, აგრეთვე გამოყენებული ფილტრის სახეობა და მისი ფილტრაციის კოეფიციენტის მოთხოვნილი სიდიდე შედის სტუდენტზე გაცემულ ინდიკიდუალურ დავალებათა ჩამონათვალში. დამოუკიდებელი შესწავლის დროს შეიძლება შეირჩეს გამართვის ერთერთი სქემა და 7.2 ნახაზზე მოცემული ტიპის ტრანსფორმატორის სადიალოგო ფანჯარა.

უფილტრო, აქტიურ დატვირთვაზე მომუშავე, გამმართველის გამოკვლევისას იცვლება დატვირთვის [R] წინაღობა 20 ომ-დან 100 ომ-დე (20%-დან 100%-მდე) ფარგლებში, 10 ომ-ის ტოლი ბიჯით. დატვირთვის წინაღობის ყოველი მნიშვნელობის დროს უნდა გაიზომოს და გაანგარიშდეს გამმართველის მახასიათებელი პარამეტრები. მოდელირების შედეგები შეგვაქვს №1 ცხრილში.

ცხრილი 1

მოცემულობა				გაზომვებით												თეორიული მნიშვნელობა							
$U_1$	$U_2$	[R]	R	$I_d$	$I_{d\sim}$	$I_{d\theta}$	$U_d$	$U_{d\sim}$	$I_1$	$U_{bm}$	$S_1$	$P_d'$	$q_1$	$U_d$	$I_d$	$I_1$	$U_{bm}$	$S_1$	$P_d'$	$q_1$			
3	3	%	ომ	ა	ა	ა	3	3	ა	3	3ა	3ბ	-	3	ა	ა	3	3ა	3ბ				
		100	100																				
		.	.																				
		20	20																				

ცხრილში შეტანილია როგორც მოდელირების (გაზომვების) შედეგად, ისე თეორიული გაანგარიშებით მიღებული სიდიდეთა მნიშვნელობები.

პირველად გრაგნილში გამავალი დენის ეფექტური მნიშვნელობის გაზომვას ვახდენთ  $M7$  ცვლადი დენის გაზომვის რეჟიმში გადაყვანილი ამპერმეტრით. იგივე დენი გაანგარიშებით მიიღება (8) გამოსახულებიდან.

პირველადი გრაგნილის მიერ მოთხოვნილი სიმძლავრე ( $S_1$ ) განისაზღვრება ტრანსფორმატორის პირველად გრაგნილში ჩართული ამპერმეტრის ჩვენების ( $I_1$  დენი) მიხედვით.

$$S_1 = U_1 I_1.$$

იგივე სიმძლავრე თეორიული გაანგარიშებით მიიღება (10) გამოსახულებიდან.

აქტიური დატვირთვის შემთხვევაში დატვირთვაში გამავალი დენი შეიცავს მუდმივ და ცვლად შემდგენებს. მუდმივი შემდგენი იზომება **M3** ამპერმეტრით ( $I_d$ ), ხოლო ცვლადი შემდგენი – **M4** ამპერმეტრით ( $I_{d\sim}$ ). დატვირთვაში გამოყოფილი აქტიური

სიმძლავრე  $P'_d = I_{d\beta} U_d$ , სადაც  $I_{d\beta} = \sqrt{I_d^2 + I_{d\sim}^2}$  – დატვირთვაში გამავალი დენის მოქმედი მნიშვნელობაა.

იგივე სიმძლავრე თეორიული გაანგარიშებით მიიღება (12) გამოსახულებიდან.

გამართული ძაბვის მუდმივი შემდგენის ( $U_d$ ) გაზომვას ვახდენოთ მუდმივი ძაბვის გაზომვის რეჟიმში ჩაყენებული მულტიმეტრით, ხოლო ამ ძაბვის თეორიული მნიშვნელობა  $U_d = 0,9U_2$ . გამართული ძაბვის ცვლადი შემდგენის ეფექტური მნიშვნელობის ( $U_{d\sim}$ ) გაზომვას ვახდენოთ იგივე მულტიმეტრის საშუალებით, ცვლადი ძაბვის გაზომვის რეჟიმში გადაყვანის შემდეგ.

გამართული დენის თეორიულ სიდიდეს ვანგარიშობთ  $I_d = \frac{U_d}{R_d}$  გამოსახულებიდან.

$U_{b\max}$  შეიძლება განისაზღვროს გაფართოების რეჟიმში გადაყვანილი თსცილოსკოპის ეკრანიდან, სამიზნებელი სახაზავის დახმარებით.  $U_{b\max}$ -ის თეორიული სიდიდე განისაზღვრება (6) გამოსახულების გამოყენებით.

ფილტრის მოდელირებას ვახორციელებთ დატვირთვის წინაღობის ([R]) ერთი გარკვეული სიდიდის დროს, რომელიც შეიტანება ინდივიდუალურ დავალებათა ნუსხაში ფილტრაციის  $S$  კოეფიციენტან ერთად. დატვირთვის წინაღობისა და ფილტრაციის კოეფიციენტის მნიშვნელობების მიხედვით (26) გამოსახულების გამოყენებით განისაზღვრება  $L$  ინდუქციურობის სიდიდე (მარტივი  $L$  ინდუქციური ფილტრის შემთხვევაში). (26) გამოსახულებაში შემავალი კუთხურ სიხშირის განსაზღვრის დროს შეტანილი უნდა იქნას ქსელის ძაბვის სიხშირე, (50 პ).

ფილტრის მოდელირების შედეგები შეგვაძლის N2 ცხრილში.

## ცხრილი 2

მოცემულობა			გაზომვებით მიღებული								თეორიული	
$U_2$	$R$	$S$	$U_d$	$U_{d\sim}$	$q_1$	$U_d'$	$U_{d\sim}'$	$q_2$	$S$	$L_b$	$q_2$	
3	ობ	-	3	3	-	3	3	-	-	36		

გამართული ძაბვის პულსაციის კოეფიციენტი ფილტრის შესასვლელზე

$$q_1 = \frac{\sqrt{2}U_{d\sim}}{U_d},$$

სადაც  $U_d$  – ფილტრის შესასვლელზე მიერთებული და მუდმივი ძაბვის გაზომვის რეჟიმში გადართული მულტიმეტრის ჩვენებაა;

$U_{d\sim}$  – იგივე წერტილში მიერთებული მულტიმეტრის ჩვენებაა, ცვლადი ძაბვის რეჟიმში გადართვის შემდეგ.

აქტიურ დატვირთვაზე მომუშავე გამმართველის გამოსავალი ძაბვის პულსაციის კოეფიციენტის თეორიული მნიშვნელობა პირველი პარმონიკის მიხედვით 0,67-ის ტოლია.

ფილტრის გამოსასვლელზე გამართული ძაბვის პულსაციის კოეფიციენტი ( $q_2$ ) განისაზღვრება  $q_1$  – ის ანალოგიურად, ფილტრის გამოსასვლელზე მიერთებული მულტიმეტრის ჩვენებების მიხედვით

$$q_2 = \frac{\sqrt{2} U'_{d\sim}}{U_d}.$$

იგივე კოეფიციენტის თეორიული სიდიდე განისაზღვრება (26) გამოსახულების გამოყენებით.

შედგენილი №1 ცხრილის მიხედვით უნდა აიგოს:

- გამმართველის დატვირთვის მახასიათებელი

$$U_d = f(Id);$$

- ენერგეტიკული მახასიათებელი

$$S_1 = f(P'_d).$$

6.2. აქტიურ-ინდუქციურ დატვირთვაზე მომუშავე ერთფაზა ორნახევარპერიოდიანი გამმართველების გამოკვლევას ვახდენთ იგივე, 7.1 ნახაზზე მოცემული, ვირტუალური სქემების გამოყენებით. ამჯერად, დატვირთვის მიმდევრობით ჩართული  $L_d$  ( $L_1$ ) ინდუქციურობის სადიალოგო პარამეტრების ფანჯარაში უნდა დაფიქსირდეს ინდუქციურობის ნულისაგან განსხვავებული სიდიდეები, ხოლო  $C$  კონდენსატორი უნდა იყოს გამორთულ მდგომარეობაში.

აქტიურ-ინდუქციურ დატვირთვაზე მომუშავე გამმართველის გამოკვლევისას, კველით დატვირთვის წინაღობას 20 ომ-დან 100 ომ-მდე ფარგლებში, 10 ომ-ის ტოლი ბიჯით. აქტიური დატვირთვის ცვლილებასთან ერთად უნდა შეიცვალოს  $L_d$

ინდუქციურობის სიდიდე ისე, რომ დატვირთვის დროის მუდმივა  $T_d = \frac{L_d}{R_d}$  დარჩეს უცვლელი. მიზანშეწონილია ქსელის ცვლადი ძაბვის პერიოდზე (ე.ი. 0,02 წმ-ზე) არა ნაკლები 5-ჯერ მეტი სიდიდის დატვირთვის  $T_d$  დროის მუდმივას შერჩევა, რადგან ამ შემთხვევაში დიოდებში და დატვირთვაში გამავალი დენი მიახლოვებულია იდეალურად გასწორებულ დენთან (იხილეთ ოსცილოსკოპის ეკრანზე).

დატვირთვის პარამეტრების ცვლილებისას, უნდა გაიზომოს და გაანგარიშდეს გამმართველის ძირითადი მახასიათებელი პარამეტრები. მოდელირება უნდა

განხორციელდეს დატვირთვის წინაღობის ცვლილების სრულ დიაპაზონში, ამ წინაღობის ყოველი მნიშვნელობის დროს. მოდელირების შედეგები შეაგაძეს №3 ცხრილში.

### ცხრილი 3

მოცემულობა					გაზომვებით						თეორიული მნიშვნელობა		
$U_2$	$T_{\text{ქ}}$	[R]	$R_d$	$L_d$	$I_d$	$U_d$	$I_1$	$U_{b\max}$	$S_1$	$P_d$	$I_1$	$S_1$	$P_d$
3	30	%	ომ	ჰენრი	3	3	3	3	30	30	3	30	30
		100	100	.	.	.	.	.	.	.	.	.	.
		.	.	20	20	.	.	.	.	.	.	.	.

გაზომვები უნდა ჩატარდეს 6.1 პუნქტში აღწერილის ანალოგურად. თეორიული გაანგარიშების დროს ვსარგებლობთ (13) – (17) გამოსახულებით (იხ. თეორიული ცნობები).

შედგენილი ცხრილის მიხედვით უნდა აიგოს:

- გამმართველის დატვირთვის (გარე) მახასიათებელი

$$U_d = f(I_d);$$

- გამმართველის ენერგეტიკული მახასიათებელი

$$S_1 = f(P_d).$$

## 7. ლაბორატორიული სამშაოს ანგარიშის შინაარსი

- 7.1. ვირტუალური ლაბორატორიული დანადგარის სქემა. სქემის აღწერა.
- 7.2. გამოსახულებები გამმართველის მირითადი მახასიათებელი პარამეტრების გასაანგარიშებლად.
- 7.3. შედგენილი ცხრილები. გაზომვებით და თეორიული გაანგარიშებით მიღებული სიდიდეების შედარებითი ანალიზი.
- 7.4. ცხრილების მიხედვით აგებული დატვირთვისა და ენერგეტიკული მახასიათებელები და მათი დახასიათება.

**ლაპორატორიული სამუშაო №8**  
**საბაზისო ტრანზისტორული მაძლიერებელი პასპადების  
გამოკვლევა**

## 1. სამუშაოს მიზანი

საერთო ემიტერით ჩართული ბიპოლარული ტრანზისტორისა და საერთო სათავით ჩართული ველით მართვადი ტრანზისტორის საბაზისო მაძლიერებელი კასკადების ძირითადი ელექტრული პარამეტრების განსაზღვრა და მახასიათებლების გამოკვლევა ვირტუალური მოდელირების **EWB** კომპიუტერული პროგრამის გამოყენებით.

## 2. თეორიული ცნობები

საბაზისო მაძლიერებელი კასკადები ერთმანეთისაგან განსხვავდებიან ტრანზისტორების ჩართვის მეთოდის მიხედვით. პრაქტიკული გამოყენება აქვს ბიპოლარული ტრანზისტორის საერთო ემიტერით, საერთო ბაზით, საერთო კოლექტორით და ველით მართვადი ტრანზისტორების საერთო სათავით და საერთო ჩასადინარით ჩართვის სქემებს.

საბაზისო მაძლიერებელი კასკადები წარმოადგენენ წინასწარი გაძლიერების რეზისტორულ კასკადებს, რომელთა ძირითადი დანიშნულებაა სიგნალის დენის ან ძაბვის მიხედვით გაძლიერება იმ დონემდე, რომელსაც მოითხოვს გაძლიერების მომდევნო რგოლი. ისინი გამოიყენებიან აგრეთვე მრავალკასკადიანი მაძლიერებლის ცალკეულ საფეხურებს შორის შეთანხმების რეჟიმის მისაღწევად.

წინასწარი გაძლიერების კასკადები მცირე სიმძლავრისანი არიან და მუშაობენ A კლასის გაძლიერების რეჟიმში. იმისათვის, რომ მაძლიერებელმა კასკადმა A კლასის რეჟიმში იმუშაოს საჭიროა მის შესასვლელ წრედს მიეწოდოს სათანადოდ შერჩეული მუდმივი ძაბვა ან დენი, რის შედეგადაც საწყისი მუშა წერტილი (სიმშვიდის წერტილი) აღმოჩნდება მაძლიერებელი კასკადის გამჭოლი  $I_{\text{გა}} = f(U_{\text{ა}})$  დინამიკური ან გამავალი  $I_{\text{გა}} = f(e_{\text{ა}})$  დინამიკური მახასიათებლის წრფივი უბნის შუაში. ეს იმ შემთხვევაში მოხდება, თუ ძაბვის ვარდნა კოლექტორული დატვირთვის წინაღობაზე დაახლოებით ტრანზისტორზე არსებული ძაბვის ვარდნის ტოლი იქნება. A კლასის გაძლიერების რეჟიმში მუშაობის დროს გასაძლიერებელი სიგნალის არაწრფივი დამახინჯება (ფორმის დამახინჯება) მინიმალურია.

ცნობილია, რომ ტემპერატურის ცვლილებისას ტრანზისტორებისათვის დამახასიათებელია ფიზიკური პარამეტრების საგრძნობი ცვლილება. ამიტომ

ტრანზისტორული კასკადების ნორმალური მუშაობა მოითხოვს არა მხოლოდ საწყისი რეჟიმის უზრუნველყოფას, არამედ ამ რეჟიმის ტემპერატურულ სტაბილიზაციასაც.

ბიპოლარული ტრანზისტორული კასკადის საწყის რეჟიმში (სიმშვიდის რეჟიმი) ჩაყენების ერთ-ერთი მეთოდია ძაბვის გამყოფის გამოყენება, რომლის საშუალებითაც ფიქსირდება ბაზის პოტენციალი (8.1 ნახაზზე  $R1$ ,  $R2$  რეზისტორები). აქ  $R1$ ,  $R2$  ძაბვის გამყოფი ისეა შერჩეული, რომ ამ გამყოფის  $I_d = V1/(R1+R2)$  დენი მნიშვნელოვნად აღემატება ბაზაში გამავალ  $I_{0d}$  დენს, რის გამოც ბაზის პოტენციალი საერთო წერტილის მიმართ პრაქტიკულად უცვლელია. კოლექტორული გადასასვლელის უკუდენის ტემპერატურაზე დამოკიდებულების გამო, კოლექტორის საწყისი (სიმშვიდის) რეჟიმის  $I_{0d}$  დენის არასტაბილურობის შესამცირებლად, ემიტერის წრედში ჩართულია  $R5$  რეზისტორი.  $R5$  რეზისტორით ხორციელდება მიმდევრობითი უარყოფითი უკუკავშირი დენის მიხედვით. ტემპერატურის შეცვლისას  $I_{0d}$  დენის შეცვლა გამოიწვევს  $R5$  წინაღობაზე ძაბვის ვარდნის ისეთ ცვლილებას, რომ ამის შედეგად შეცვლილი ბაზის დენი აღადგენს კოლექტორის დენს თითქმის პირვანდელ  $I_{0d}$  მნიშვნელობამდე.

ბიპოლარულტრანზისტორიანი მაძლიერებელი კასკადისაგან განსხვავებით, ველით მართვად ტრანზისტორზე აგებული მაძლიერებელი კასკადის მართვა ხდება ძაბვით, რომელიც მიუერთდება ან ჩაკეტილ  $p-n$  გადასასვლელს (ტრანზისტორი მმართველი  $p-n$  გადასასვლელით) ანდა ჩაირთვება იზოლირებულ საკეტსა და ფუძე შრეს შორის (ველით მართვადი ტრანზისტორი იზოლირებული მართვის ელექტროდით). მაძლიერებელი კასკადის საწყის (სიმშვიდის) რეჟიმში ჩაყენება ხდება ან სათავის წრედში ჩართულ წინაღობაზე ძაბვის ვარდნით (ნახ.8.4) ანდა საკეტზე დამატებითი ძაბვის მიწოდებით.

საბაზისო მაძლიერებელი კასკადების ელექტრული თვისებების შეფასება ხდება კასკადის შესასვლელის და გამოსასვლელის წინაღობებით ( $R_{\text{შე}} \text{ და } R_{\text{გა}}$ ), ძაბვისა და დენის გაძლიერების კოეფიციენტებით ( $K_U$  და  $K_I$ ), ამპლიტუდური მახასიათებლით  $U_{\text{გამ}} = f(U_{\text{შე}})$ , ამპლიტუდურ-სისტორული მახასიათებლით  $[K_U = F(f)]$  და ფაზურ-სისტორული მახასიათებლით  $[\varphi = F(f)]$ . ქვემოთ, საცნობარი ინფორმაციის სახით, მოცემულია  $R_{\text{შე}}$ ,  $R_{\text{გა}}$ ,  $K_U$  და  $K_I$  პარამეტრთა საანგარიშო მიახლოებითი თეორიული გამოსახულებები საერთო ემიტერიანი და საერთო სათავიანი მაძლიერებელი კასკადებისათვის.

**საერთო ემიტერიანი მაძლიერებელი კასკადი.** მაძლიერებელი კასკადის პრინციპული სქემა მოცემულია 8.1 ნახაზზე. სქემაში გამოყენებულია **2N2222A** ტიპის

ბიპოლარული ტრანზისტორი. ემიტერში ჩართული სიმშვიდის რეჟიმის თერმოსტაბილიზაციის  $R5$  რეზისტორი დაშუნტებულია  $C1$  კონდენსატორით, რის შედეგადაც თავიდანაა აცილებული კასკადის ცვლადი დენის მიხედვით გაძლიერების კოეფიციენტის შემცირება (უარყოფითი უკუკავშირის არსებობის გამო). მაძლიერებელ კასკადში ჩართულია მუდმივი და ცვლადი სიგნალების განმრთავი  $C2$  და  $C3$  კონდენსატორები. კასკადი იკვებება  $V1=20\text{V}$  ძაბვის წყაროდან.

მაძლიერებელი კასკადის ძირითადი ელექტრული პარამეტრების გაანგარიშება შეიძლება მოვალეობით შემდეგი გამოსახულებების გამოყენებით:

$$R'_{\text{აბ}} = \frac{R1 \parallel R2 \cdot R_{\text{აბ}}}{R1 \parallel R2 + R_{\text{აბ}}}; \quad R_{\text{აბ}} = r_{\text{ა}} + (\beta + 1)r_{\text{ა}}; \quad R_{\text{ამ}} \approx R3; \quad K_{\text{ა}} \approx \beta;$$

$$K_U = -\beta \cdot (R3 \parallel R6) / (r_{\text{ა}} + r_{\text{ა}}(\beta + 1)); \quad K_p = K_{\text{ა}} \cdot K_U, \quad (3)$$

სადაც  $r_{\text{ა}} -$  ბაზის შრის ომური წინაღობაა და  $2N222A$  ტრანზისტორში  $r_{\text{ა}} = 1,69\Omega$

$$r_{\text{ა}} - \text{ემიტერული გადასასვლელის წინაღობაა} - r_{\text{ა}} = \varphi_T / I_{\text{ა}}. \quad \text{ოთახის}$$

ტემპერატურის ( $T = 300K$ ) დროს  $\varphi_T = 0,026\text{A}$ .

$\beta -$  ბაზის დენის გაძლიერების კოეფიციენტია.  $2N222A$  ტრანზისტორის  $\beta = 200$ .

$K_{U-}$  ს გამოსახულებაში „-“ ნიშანი მიანიშნებს მასზედ, რომ გაძლიერებული სიგნალი შესავალი სიგნალის საწინააღმდეგო ნიშნისაა (ფაზისაა).

**საერთო სათავიანი მაძლიერებელი კასკადი.** მაძლიერებელი კასკადის სქემა მოცემულია 8.4 ნახაზზე. მაძლიერებელი კასკადი აგებულია  $p-n$  გადასასვლელიან  $J2N3370$  ტიპის ველით მართვად ტრანზისტორზე. მუდმივი დენის მიხედვით საწყის რეჟიმს განსაზღვრავს  $R1$  რეზისტორზე ძაბვის ვარდნა, რადგან  $R2$  რეზისტორით საკეტს მიეწოდება საერთო სალტის პოტენციალი (ნული) და ამის გამო საკეტზე, სათავის მიმართ, მიერთებული აღმოჩნდება  $R1$  რეზისტორზე ძაბვის ვარდნის ტოლი უარყოფითი ძაბვა. გასაძლიერებელი სიგნალი მიეწოდება საკეტს, ხოლო გაძლიერებული სიგნალი მოიხსნება ჩასადინარიდან.  $C1$  და  $C3$  კონდენსატორები ახდენენ მუდმივი და ცვლადი სიგნალების განრთვას.  $C2$  კონდენსატორი ახდენს  $R1$  რეზისტორის დაშუნტებას ცვლადი დენის მიხედვით, რითაც გამოირიცხება უარყოფითი უკუკავშირი ცვლადი სიგნალის დროს და მასთან დაკავშირებული გაძლიერების კოეფიციენტის შემცირება. კასკადი იკვებება  $V1=12\text{V}$  მუდმივი ძაბვის წყაროდან.

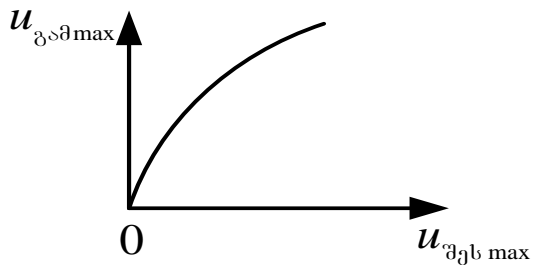
მაძლიერებელი კასკადის ძირითადი ელექტრული პარამეტრების გაანგარიშება შეიძლება მოვალეობით შემდეგი გამოსახულებების მიხედვით:

$$R_{\text{აბ}} = R2; \quad R_{\text{ამ}} \approx R4; \quad K_U = -S \cdot ((R4)^2 / (R4 + R1)),$$

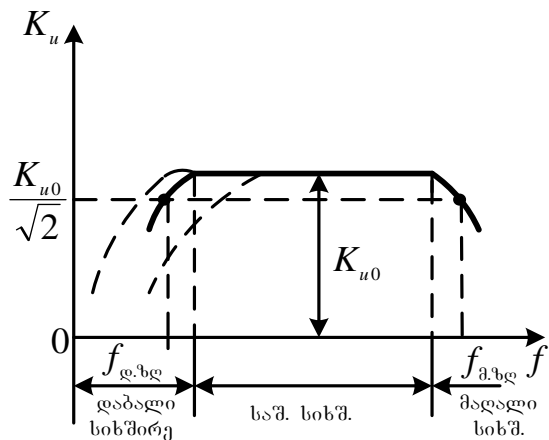
სადაც  $S$  – ტრანზისტორის მართვის მახასიათებლის დახრილობაა. მოცემული ტრანზისტორისათვის  $S = 0,7668 \text{ м/ვ}$ .

### მაძლიერებელი კასკადების ამპლიტუდური და ამპლიტუდურ-სისშირული მახასიათებლები.

ამპლიტუდური მახასიათებელი ამყარებს კავშირს მაძლიერებელი კასკადის გამოსავალი ძაბვის ამპლიტუდასა და შესავალზე მოქმედი გასაძლიერებელი სიგნალის (ძაბვის) ამპლიტუდას შორის. ამპლიტუდური მახასიათებლის ტიპური სახე ნახაზზეა ნაჩვენები.



ამპლიტუდურ-სისშირული მახასიათებელი (**ამს**) ამყარებს კავშირს გაძლიერების კოეფიციენტსა და გასაძლიერებელი სიგნალის სისშირეს შორის, ხოლო ფაზურ-სისშირული მახასიათებელი (**ფსმ**) – გაძლიერებულ (გამომავალ) და გასაძლიერებელ (შემავალ) სიგნალებს შორის ფაზური ძვრის კუთხესა და გასაძლიერებელი სიგნალის სისშირეს შორის. **ასმ** –ის ტიპური სახე ნახაზზეა ნაჩვენები.



**ასმ** დაყოფილია დაბალი, საშუალო და მაღალი სისშირეების შესაბამის უბნებად.

საშუალო სისშირულ არეში გაძლიერების კოეფიციენტი ( $K_{U0}$ ) მაქსიმალურია. დაბალ და მაღალ სისშირულ არეებში კი გაძლიერების კოეფიციენტი განიცდის შემცირებას. დაბალ სისშირულ არეში გაძლიერების კოეფიციენტის შემცირებას იწვევს შესასვლელ და გამოსასვლელ წრედებში ჩართული კონდენსატორების, აგრეთვე ემიტერში ჩართული სიმშვიდის რეჟიმის მასტაბილიზებელი რეზისტორის პარალელურად მიერთებული

კონდენსატორის გაზრდილი წინაღობა. აღნიშნული კონდენსატორების ტევადობის სიდიდის მიხედვით **ასმ** –ის ცვლილება ნაჩვენებია პუნქტირული წირებით. მაღალ სიხშირულ არეში გადასვლისას მაძლიერებელი კასკადის მუშაობის რეჟიმზე გავლენას ახდენს, ერთის მხრივ, ტრანზისტორის კოლექტორული გადასასვლელის ტევადობის სიდიდე, მეორეს მხრივ, დენის გადაცემის კოეფიციენტის შემცირება.

მაძლიერებელი კასკადის მუშა სიხშირული დიაპაზონი განისაზღვრება  $f_{\text{ლ.ზღ}}$  – სადა  $f_{\text{აზღ}}$  – ს შორის მოთავსებული სიხშირეთა არეთი, სადაც  $f_{\text{ლ.ზღ}}$  და  $f_{\text{აზღ}}$  წარმოადგენებ იმ ზღვრულ სიხშირეებს, რომლებზედაც გაძლიერების კოეფიციენტი გაძლიერების მაქსიმალურ კოეფიციენტზე ( $K_{U_0}$ )  $\sqrt{2} - \sqrt{3}$  ნაკლებია. ამ სიხშირულ არეს ეწოდება მაძლიერებელი კასკადის სიხშირეთა გატარების ზოლი.

### 3. მითითებები ლაბორატორიული სამუშაოს შესრულებაზე

ლაბორატორიული სამუშაოს შესრულება მიზანშეწონილია მას შემდეგ, რაც შესწავლილი იქნება საბაზისო მაძლიერებელი კასკადების მუშაობის თეორიული საფუძვლები.

### 4. სამუშაოს შინაარსი

4.1. საერთო ემიტერით ჩართული ბიპოლარული მაძლიერებელი კასკადის ელექტრული პარამეტრების განსაზღვრა და მახასიათებლების გამოკვლევა.

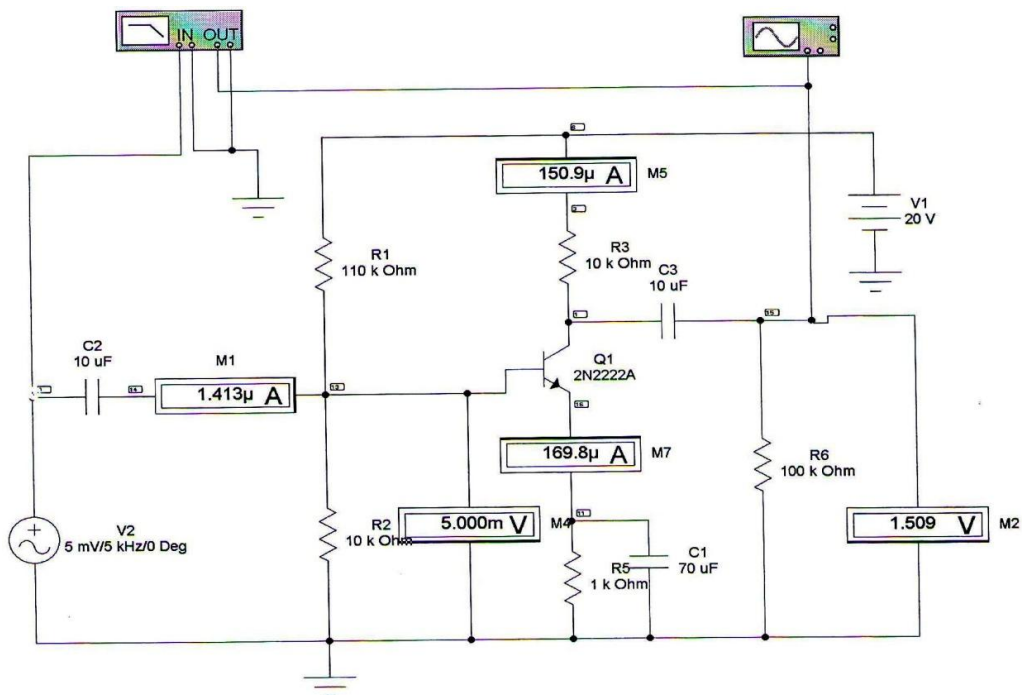
4.2. საერთო სათავით ჩართული ველით მართვადი ტრანზისტორიანი მაძლიერებელი კასკადის ელექტრული პარამეტრების განსაზღვრა და მახასიათებლების გამოკვლევა.

### 5. საბაზისო ტრანზისტორული მაძლიერებელი პასპაზის

ვიზუალური ლაბორატორიული დანადგარის

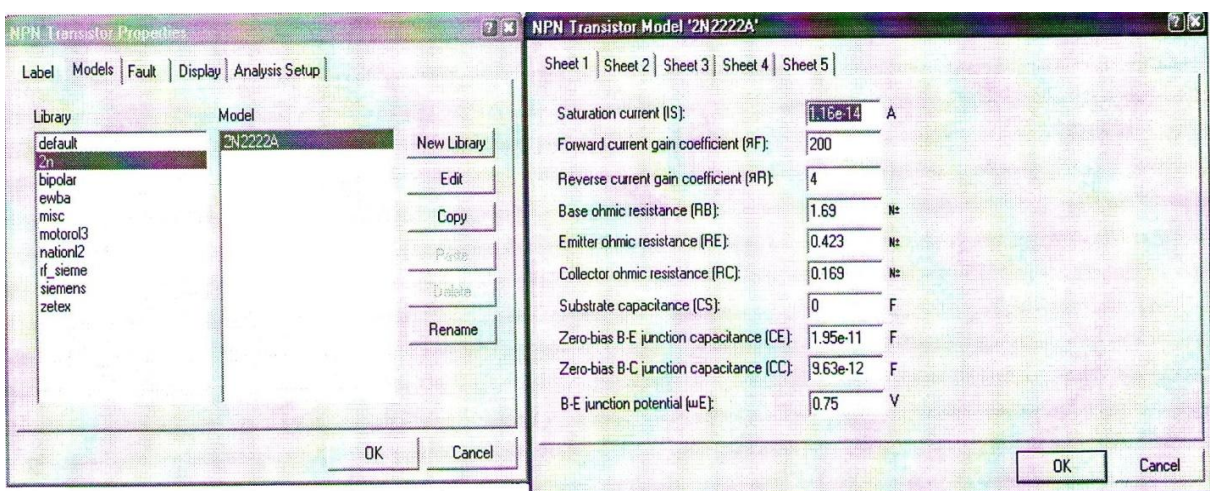
აღჭერა

5.1. საერთო ემიტერით ჩართული ბიპოლარული ტრანზისტორული მაძლიერებელი კასკადის ვიზუალური ლაბორატორიული დანადგარი აიწყობა 8.1 ნახაზზე მოცემული ესკიზის მიხედვით.



ნახ.8.1. საერთო ემიტერიანი ბიპოლარული ტრანზისტორული მაძლიერებელი  
კასკადის სქემა

სქემაში გამოყენებულია **2N2222A** ტიპის ბიპოლარული ტრანზისტორის  
ვირტუალური მოდელი. მისი სადიალოგო პარამეტრების ფანჯარა ნაჩვენებია 8.2  
ნახაზზე.

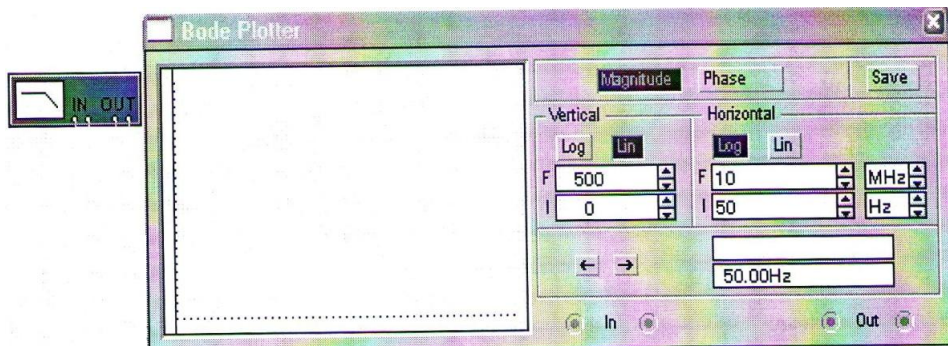


**ნახ.8.2. 2N2222A ტიპის ბიპოლარული ტრანზისტორის სადიალოგო  
პარამეტრების ფანჯარა**

მაძლიერებელი კასკადის გამოსავალი წრედი იკვებება **V1** მუდმივი ძაბვის წყაროდან. ამავე ძაბვის წყაროსთანაა მიერთებული მაძლიერებელი კასკადის სიმშვიდის

რეჟიმის განმსაზღვრელი  $R1 - R2$  ძაბვის გამყოფი. გასაძლიერებელი სიგნალის ფუნქციას ასრულებს **V2** ცვლადი სინუსოიდური ძაბვის წყარო. სქემაში ჩართული ოსცილოსკოპი საშუალებას იძლევა დავაკვირდეთ შესავალი და გამოსავალი ძაბვების მყის მნიშვნელობათა ცვლილების ხასიათს და გაფართოებული ეკრანის რეჟიმში გადართვის შემდეგ, სამიზნებელი სახაზავების საშუალებით, გაიზომოს მათი მაქსიმალური მნიშვნელობები. სქემაში ჩართული ვირტუალური მზომი ამპერმეტრები და ვოლტმეტრები გადართულია ცვლადი სიდიდეების გაზომვის რეჟიმში და აჩვენებს ძაბვებისა და დენების მოქმედ მნიშვნელობებს. ზემოაღნიშნულ ვირტუალურ კომპონენტებთან მუშაობის წესი განხილული იყო წინა ლაბორატორიულ სამუშაოებში.

მაძლიერებელი კასკადის სქემაში გამოყენებული გვაქვს ახალი ვირტუალური კომპონენტი – ამპლიტუდურ – სისშირული და ფაზასისშირული მზომი (**Bode Plotter**). მზომის წინა პანელი 8.3 ნახაზზეა ნაჩვენები.



**ნახ.8.3. ამპლიტუდურ-სისშირული და ფაზასისშირული მახასიათებლის  
მზომის წინა პანელი**

მზომი გამოიყენება ამპლიტუდურ – სისშირული (**MAGNITUDE** ღილაკზე დაჭერით) და ფაზასისშირული (**PHASE** ღილაკზე დაჭერით) მახასიათებლების გასაანალიზებლად, კოორდინატთა სისტემის გერტიკალურ და ჰორიზონტალურ ღერძებზე ლოგარითმული (ღილაკი **LOG**) ან წრფივი (ღილაკი **LIN**) სკალის გამოყენებით.

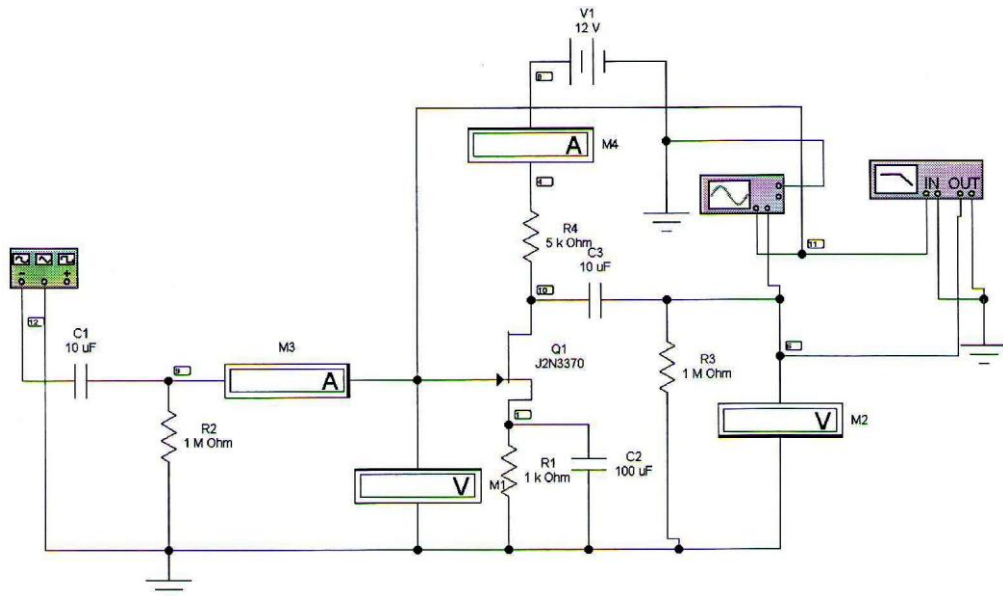
მზომი წინასწარ უნდა აიწყოს, რისთვისაც აუცილებელია გადაცემის კოეფიციენტის გაზომვისა და სისშირის ცვლილების საზღვრების შერჩევა **F**-მაქსიმალური და **I**-მინიმალური ფანჯრების ღილაკების დახმარებით. სისშირისა და ამ სისშირის შესაბამისი გადაცემის კოეფიციენტისა და ფაზის მნიშვნელობები აისახება მზომის ქვედა მარჯვენა კუთხეში მოთავსებულ ფანჯრებში.

ზემოაღნიშნულ სიდიდეთა მნიშვნელობები ამპლიტუდურ-სისშირული ან ფაზასისშირული მახასიათებლების ცალკეულ წერტილებში მიიღება გერტიკალური სამიზნებელი სახაზავის დახმარებით, რომელიც საწყის მდგომარეობაში მოთავსებულია კოორდინატთა სისტემის სათავეში და გრაფიკზე გადაადგილდებ  $\leftarrow$  და  $\rightarrow$ .

დილაკზე დაჭრით.

ამ ხელსაწყოს მიერთება გამოსაკვლევი მაძლიერებელი კასკადის სქემასთან ხორციელდება **IN** (შესასვლელი) და **OUT** (გამოსასვლელი) მომჰქერების დახმარებით. მომჰქერების მარცხენა კლემები მიუერთდება, შესაბამისად, გამოსაკვლევი სქემის შესასვლელსა და გამოსასვლელს, მარჯვენა კლემები - საერთო (დამიწებულ) სალტეს. როდესაც გამოსაკვლევი კასკადის შესასვლელზე მიერთებულია ცვლადი ძაბვის წყარო, სქემაში რაიმე სხვა აწყობის განხორციელება საჭირო აღარ არის.

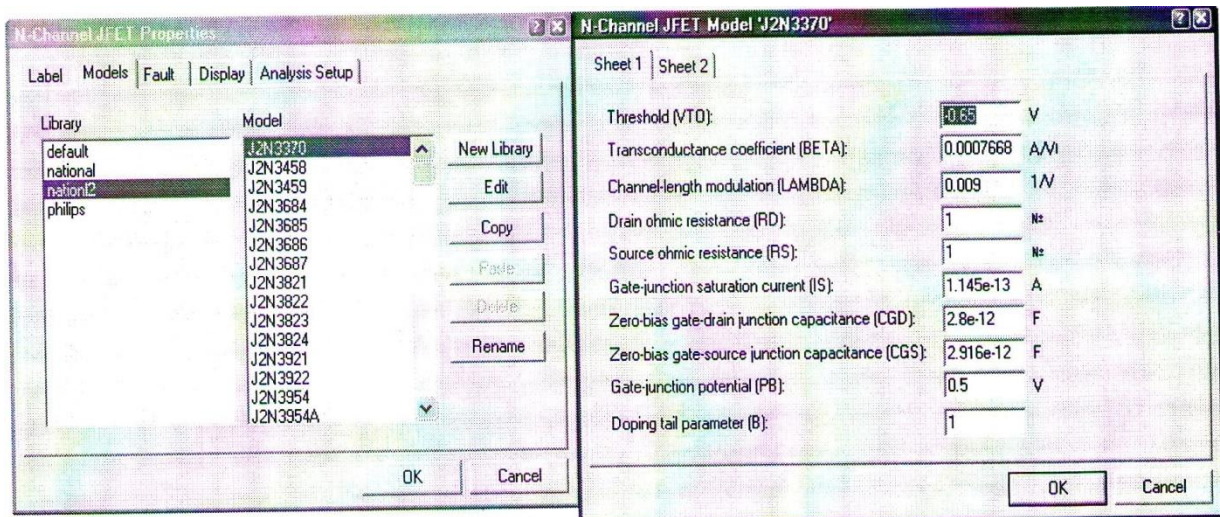
**5.2. საერთო სათავით ჩართული ველით მართვადი ტრანზისტორული მაძლიერებელი კასკადის ვირტუალური ლაბორატორიული დანადგარი აიწყობა 8.4 ნახაზზე მოცემული ესგიზის მიხედვით.**



**ნახ.8.4. საერთო სათავით ჩართული ველით მართვადი ტრანზისტორული მაძლიერებელი კასკადის სქემა**

სქემაში გამოყენებულია **J2N3370** ტიპის, **p-n** გადასასვლელიანი, ველით მართვადი ტრანზისტორის ვირტუალური მოდელი. მისი სადიალოგო პარამეტრების ფანჯარა მოცემულია 8.5 ნახაზზე.

სქემაში გამოყენებული სხვა ვირტუალური კომპონენტები წარმოადგენენ საერთო ემიტერიანი ბიპოლარული ტრანზისტორული კასკადის სქემაში გამოყენებული ვირტუალური კომპონენტების გამეორებას.



**ნახ.8.5. J2N3370 ტიპის ველით მართვადი ტრანზისტორის სადიალოგო  
პარამეტრების ფანჯარა**

## 6. ლაბორატორიული სამუშაოს შესრულების თანამიმდევრობა

6.1. საერთო ემიტერით ჩართული ტრანზისტორული მაძლიერებელი კასკადის ელექტრული პარამეტრების განსაზღვრას და მახასიათებლების გამოკვლევას ვახდენთ 8.1 ნახაზზე წარმოდგენილი ვირტუალური სქემის გამოყენებით. მაძლიერებელ კასკადში გამოყენებული ბიპოლარული ტრანზისტორის ტიპის შერჩევას სტუდენტი ახდენს ინდიკირებული დაგალების შესაბამისად.

მაძლიერებელი კასკადის ელექტრული პარამეტრების განსაზღვრის დროს შესავალი ცვლადი სიგნალის წყაროს სადიალოგო ფანჯარაში წინასწარ ვაფიქსირებთ ძაბვისა (რამდენიმე მილივოლტის ფარგლებში) და სიხშირის (რამდენიმე კილოჰერცის ფარგლებში) გარკვეულ მნიშვნელობას და ჩავრთავთ მოდელირების რეჟიმს. მაძლიერებელი კასკადის სქემაში ჩართული შესავალ და გამოსავალ სიგნალთა მზომი ვირტუალური ვოლტმეტრისა და ამპერმეტრების ჩვენების მიხედვით განსაზღვრული ელექტრული სიდიდეები:

- $K_u = \frac{U_{\text{dss}}}{U_{\text{gsb}}}$  – ძაბვის გაძლიერების კოეფიციენტი;
- $K_I = \frac{I_{\text{dss}}}{I_{\text{gsb}}}$  – დენის გაძლიერების კოეფიციენტი;
- $R_{\text{dsb}} = \frac{U_{\text{dss}}}{I_{\text{dsb}}}$  – შესავალის წინადობა;

$$\bullet \quad R_{\text{გამ}} = \frac{U_{\text{გამ}}}{I_{\text{გამ}}} - \text{გამოსავალის წინაღობა}$$

შეგვაქვს №1 ცხრილში. ამავე ცხრილში უნდა შევიტანოთ თეორიულ ცნობებში მოცემული (3) გამოსახულებების მიხედვით განსაზღვრული ზემოაღნიშნული ელექტრული სიდიდეების მნიშვნელობები და მოვახდინოთ მათი შედარებითი ანალიზი.

ცხრილი 1

	$K_u$	$K_I$	$R_{\text{ჰე}}$	$R_{\text{გამ}}$	$S_{U_{\text{კ}}}$
გაზომვებით					
თეორიული გაანგარიშებით					

მაძლიერებელი კასკადის ოთხ ძირითად მახასიათებელ პარამეტრან ერთად, №1 ცხრილში უნდა შევიტანოთ სიმშვიდის რეჟიმის ძაბვის ტემპერატურული არასტაბილობის კოეფიციენტი. ამისათვის გააქტიურებთ **Analysis>Temperature Sweep** მენიუს ველს და გახსნილ ფანჯარაში, სტაბილიტონის გამოსავალი ძაბვის ტემპერატურული არასტაბილობის გამოკვლევისას (ლაბ.სამუშაო №2) ჩატარებული მანიპულაციების გამეორების შედეგ, ეპრანზე გამოსული სიმშვიდის რეჟიმის კოდექტორული ძაბვის ( $U_{\text{კ}}$ ) ტემპერატურაზე დამოკიდებულების გრაფიკის მიხედვით

$$\text{კოულობთ } \text{ამ } \text{ძაბვის } \text{ტემპერატურული } \text{არასტაბილობის } \text{კოეფიციენტს } S_{U_{\text{კ}}} = \frac{\Delta U_{\text{კ}}}{\Delta T}.$$

მაძლიერებელი კასკადის თვისებების შესაფასებლად საჭიროა ამპლიტუდური და ამპლიტუდურ-სიხშირული მახასიათებლის გადაღება.

ამპლიტუდური მახასიათებლის გადასაღებად საჭიროა გასაძლიერებელი სიგნალის სადიალოგო პარამეტრების ფანჯარაში დაფიქსირდეს სიხშირის გარკვეული სიდიდე (3 – 5 კვ-ის ფარგლებში) და შეიცვალოს შესავალი ძაბვის სიდიდე 1-დან 20 მილვოლტამდე ფარგლებში, 2 მლვ-ის ტოლი ბიჯით, ამ მნიშვნელობების სიგნალის წყაროს ფანჯარაში თანამიმდევრობითი დაფიქსირების გზით. შესავალი ძაბვის ყოველი მნიშვნელობის დროს უნდა გაიზომოს გამოსავალი ძაბვის სიდიდე და შედეგები ჩაიწეროს №2 ცხრილში.

ცხრილი 2

$U_{\text{ჰე}}, \text{ მლვ}$									
$U_{\text{გამ}}, \text{ მლვ}$									

ამ ცხრილის მონაცემების მიხედვით უნდა აიგოს ამპლიტუდური მახასიათებელი  
 $U_{\text{გა}} = F(U_{\text{ფ}}), \quad f = \text{const.}$

ამპლიტუდურ – სიხშირული მახასიათებლის გადაღების დროს გასაძლიერებელი სიგნალის სადიალოგო პარამეტრების ფანჯრის ძაბვის გრაფაში უნდა დაფიქსირდეს ძაბვის ერთი გარკვეული სიდიდე (3 – 5 მლგ-ის ფარგლებში), ხოლო სიხშირის გრაფაში უნდა დაფიქსირდეს სხვადასხვა სიხშირეები 10 ჰც-დან 10 მეგაჰერცამდე დიაპაზონში. დაბალ სიხშირულ დიაპაზონში (1-დან 1000 ჰც-მდე) სიხშირის მნიშვნელობები უნდა დაფიქსირდეს 200 ჰც-ის ტოლი ბიჯით, საშუალო სიხშირულ დიაპაზონში (1 ჰც-დან 1 მეგაჰერცამდე) 200 ჰც-ის ტოლი ბიჯით, ხოლო მაღალ სიხშირულ დიაპაზონში (1 მეგაჰერციდან 10 მეგაჰერცამდე) – 2 მეგა ჰერცის ტოლი ბიჯით. სადიალოგო პარამეტრების ფანჯარაში დაფიქსირებული სიხშირის თითოეული მნიშვნელობის დროს უნდა გაიზომოს გამოსავალი ძაბვის სიდიდე და ძაბვის გაძლიერების კოეფიციენტი. ზემოაღწერილი სამუშაო უნდა შესრულდეს სიგნალის მუდმივი და ცვლადი შემდგენების დამაცალკევებელი (განმრთავი) **C2, C3** კონდენსატორების ტევადობის ორი სხვადასხვა სიდიდის დროს (ინდივიდუალური დავალების შესაბამისად). გაზომვის შედეგები შეგვაქვს №3 ცხრილში.

### ცხრილი 3

<b><math>C2 = C3 =</math></b>				<b><math>C2 = C3 =</math></b>			
$U_{\text{ფ}}$	$f$	$U_{\text{გა}}$	$K_U$	$U_{\text{ფ}}$	$f$	$U_{\text{გა}}$	$K_U$
მლგ	ჰც	მლგ	-	მლგ	ჰც	მლგ	-

ამპლიტუდურ – სიხშირული მახასიათებლის გადაღების დროს უნდა განისაზღვროს დაბალი და მაღალი სიხშირული დიაპაზონის ის სიხშირეები, რომლებზედაც გაძლიერების კოეფიციენტი  $\sqrt{2} - \sqrt{2}$  ნაკლებია გაძლიერების მაქსიმალურ კოეფიციენტზე (ზღვრული სიხშირეები) და ამ სიხშირეებს შორის არსებული სიხშირული დიაპაზონი და დადგინდეს სიხშირეთა გატარების ზოლი.

№3 ცხრილის მიხედვით უნდა აიგოს ამპლიტუდურ-სიხშირული მახასიათებელი  $K_u = F(f)$ ,  $U_{\text{ფ}} = \text{const.}$

მაძლიერებელი კასკადის ამპლიტუდურ-სიხშირული მახასიათებლის გადაღების უმარტივეს ტექნიკურ საშუალებას წარმოადგენს ამპლიტუდურ-სიხშირული მზომი (**Bode Plotter**). ამ მზომის გამოყენების შემთხვევაში უნდა გავითვალისწინოთ მაძლიერებელი კასკადის მახასიათებელი ელექტრული პარამეტრების ცნობილი მნიშვნელობები და მოვახდინოთ მზომის აწყობა ადრე განხილული წესის მიხედვით. მზომის ეკრანზე

მიღებულ გრაფიკზე ვერტიკალური სამიზნებელი სახაზავის გადაადგილებით შეგვიძლია შევამოწმოთ ხელით და მზომით აგებული ამპლიტუდურ-სისტმიული მახასიათებელების იდენტურობა.

**6.2. საერთო სათავით ჩართული ველით მართვადი ტრანზისტორული მაძლიერებელი კასკადის ელექტრული პარამეტრების განსაზღვრას და მახასიათებლების გამოკვლევას გახდენთ 8.4 ნახაზზე მოცემული სქემის გამოყენებით. მაძლიერებელ კასკადში გამოყენებული ველით მართვადი ტრანზისტორის ტიპს სტუდენტი შეირჩევს ინდივიდუალური დავალების შესაბამისად.**

საერთო სათავით ჩართული ველით მართვადი ტრანზისტორული მაძლიერებელი კასკადის ელექტრული პარამეტრების განსაზღვრა და მახასიათებლების გამოკვლევა ხორციელდება იგივე მეთოდიკითა და მოცულობით, რომელიც საერთო ემიტერით ჩართული ტრანზისტორული მაძლიერებელი კასკადისთვის იყო გამოყენებული.

უნდა შევადგინოთ №1, №2 და №3 ცხრილების ანალოგიური ცხრილები, რომელთა საფუძველზეც დავადგენთ მაძლიერებელი კასკადის ელექტრულ პარამეტრებს ( $K_u$ ,  $K_I$ ,  $R_{\text{შ}}^{\text{ც}}$ ,  $R_{\text{გა}}$ ,  $S_{U_{\text{ჩ.ხ.0}}}$ ) და ავაგებო ამპლიტუდურ და ამპლიტუდურ-სისტმიულ მახასიათებლებს. შესავალი სიგნალის სიხშირე და ამპლიტუდის ცვლილების ფარგლები ამპლიტუდური მახასიათებლის გადაღების დროს, აგრეთვე შესავალი სიგნალის ამპლიტუდა და სიხშირის ცვლილების ფარგლები ამპლიტუდურ-სისტმიული მახასიათებლების გადაღების დროს, სტუდენტს ეძლევა ინდივიდუალური დავალების სახით.

## 7. ლაბორატორიული სამუშაოს ანგარიშის შინაარსი

- 7.1. საერთო ემიტერიანი ბიპოლარული ტრანზისტორული მაძლიერებელი კასკადისა და საერთო სათავიანი ველით მართვადი ტრანზისტორული მაძლიერებელი კასკადის ვირტუალური ლაბორატორიული დანადგარების სქემები და მათი აღწერა.
- 7.2. მაძლიერებელი ტრანზისტორული კასკადების ელექტრული პარამეტრების საანგარიშო გამოსახულებები.
- 7.3. შედგენილი ცხრილები და ცხრილების მიხედვით აგებული ამპლიტუდური და ამპლიტუდურ-სისტმიული მახასიათებლები და მათი დახასიათება.
- 7.4. ბიპოლარული და ველით მართვადი ტრანზისტორული მაძლიერებელი კასკადების ელექტრული პარამეტრებისა და მახასიათებლების შედარებითი დახასიათება.

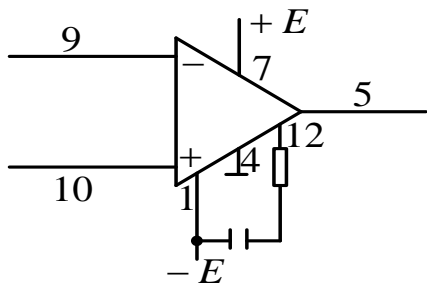
**ლაბორატორიული სამუშაო №9**  
**სიბრავის წრფილი ბაძლიერების რეზისი მომუშავე**  
**ოპერაციული მაძლიერებლების გამოკვლევა**

## 1. სამუშაოს მიზანი

მუდმივი და ცვლადი სიგნალების გაძლიერების რეჟიმში მომუშავე ოპერაციული მაძლიერებლის გამოკვლევა ვირტუალური კომპიუტერული მოდელირების **EWB** პროგრამის გამოყენებით.

## 2. მოკლე თეორიული ცნობები

ოპერაციული მაძლიერებლის ცნების ქვეშ იგულისხმება ინტეგრალური მიკროსქემა, რომელიც აწყობილია დიფერენციალური მაძლიერებელი კასკადების ბაზაზე და აქედან გამომდინარე, იგი მიეკუთვნება უნივერსალურ მაძლიერებელთა ჯგუფს (ე.ი. შეუძლია როგორც მუდმივი, ისე ცვლადი სიგნალების გაძლიერება). ოპერაციული მაძლიერებლის მიკროსქემის (ნახაზე ნაჩვენებია  $\mu702$  ტიპის მიკროსქემის საკონტაქტო გამოყვანების განლაგება) გამოყენებით შექმნილი ფუნქციური კვანძის თვისებები უმრავლეს შემთხვევაში მხოლოდ უკუკავშირის წრედის თვისებებზეა დამოკიდებული.



ოპერაციულ მაძლიერებელს, დიფერენციალური მაძლიერებლის ანალოგიურად, აქვს ორი შესავალი, რომლებიც 9 და 10 ციფრებითაა აღნიშნული. ერთ შესავალს დასმული აქვს „-“ ნიშანი და მას მაინვერსირებელი ეწოდება, რადგან აქ მიწოდებული სიგნალი გაძლიერების შემდეგ გამოსავალზე გამოდის შეცვლილი ნიშანით. მეორე შესავალს დასმული აქვს „+“ ნიშანი და მას ეწოდება არამაინვერსირებელი ან პირდაპირი შესავალი. აქ მიწოდებული სიგნალი გაძლიერების შემდეგ ნიშანს არ იცვლის.

ოპერაციულ მაძლიერებელს ფართოდ იყენებენ ელექტრული სიგნალის მასშტაბის (სიდიდის) შესაცლელებად, შესავალზე მიწოდებული სიგნალის განსაზღვრული სიდიდის მუდმივ კოეფიციენტზე გადამრთველების გზით. ამის გამო, მათ სამასშტაბო

მაძლიერებლებს უწოდებენ. გასაძლიერებელი სიგნალის ომის შესასვლელებთან მიერთების წესიდან გამომდინარე, არსებობს მაინვერსირებელი შესასვლელიანი, არამაინვერსირებელი შესასვლელიანი და დიფერენციალური შესასვლელიანი სამასშტაბო მაძლიერებლები.

10.1.ა ნახაზზე წარმოდგენილია სამასშტაბო მაძლიერებლის ინვერსული ჩართვის სქემა. ეს სქემა ხასიათდება შემდეგი თვისებებით:

- $R1$  რეზისტორის საშუალებით სქემაში განხორციელებულია პარალელური უარყოფითი უპუკავშირი ძაბვის მიხედვით;
- გამოსავალი და შესავალი ძაბვები ურთიერთსაწინამდევგო ნიშნისაა, ე.ი. ეს ძაბვები ურთიერთ საწინააღმდეგო ფაზებში იმყოფებიან;
- არამაინვერსირებელი შესავალი შეერთებულია ნულოვან სალტესთან  $R3 = R1R2/(R1 + R2)$  ბალასტური წინაღობის გავლით, რის შედეგადაც ხორციელდება შესავალის დენების მავნე ზემოქმედების კომპენსაცია. ამ წინაღობის ჩართვის გარეშე, საზოგადოდ, იმ შემთხვევაში, როცა შესავალი დიფერენციალური ძაბვა ნულის ტოლია, გამოსავალის ძაბვა ნულისაგან განსხვავებული იქნება.
- მაინვერსირებელი ოპერაციული მაძლიერებლის ძაბვის მიხედვით გაძლიერების კოეფიციენტი

$$K_{\vartheta} = -R1/R2, \quad (1)$$

შესავალის წინაღობა

$$R_{\vartheta\vartheta} = R2. \quad (2)$$

გამოსავალის წინაღობა

$$R_{\vartheta\vartheta} = [R_{\vartheta\vartheta} (1 + R1/R2)]/K, \quad (3)$$

სადაც  $R_{\vartheta\vartheta}$  და  $K$  – შესაბამისად საკუთრივ ომის მიკროსქემის გამოსავალი წინაღობა და გაძლიერების კოეფიციენტია.

სქემის მაინვერსირებელ შესავალს სიგნალის ძაბვა მიეწოდება  $[R]$  პოტენიმეტრის საშუალებით. პოტენიმეტრის საწყისი დაყენებაა 50%, რომლის დროსაც მაინვერსირებელ შესავალზე მოქმედებს ნულის ტოლი ძაბვა. პოტენიმეტრის წინაღობის 50-დან 100%-მდე ფარგლებში შეცვლისას მაინვერსირებელ შესავალზე იმოქმედებს სიგნალის დადებითი ძაბვები, ხოლო 50-დან 0%-მდე შეცვლისას – სიგნალის უარყოფითი ძაბვები.

10.1.ბ ნახაზზე წარმოდგენილია სამასშტაბო მაძლიერებლის არამაინვერსირებელი ჩართვის სქემა. ეს სქემა ხასიათდება შემდეგი თვისებებით:

- მაინვერსირებელი შესავალის მიმართ განხორციელებულია მიმდევრობითი უარყოფითი უპუკავშირი;
- გასაძლიერებელი სიგნალი მიეწოდება არამაინვერსირებელ შესავალს;

- გამოსავალი ძაბვა ფაზით ემთხვევა შესავალ (გასაძლიერებელ) ძაბვას;
- ძაბვის გაძლიერების კოეფიციენტი

$$K_{\alpha} = 1 + R1/R2; \quad (4)$$

- გაძლიერებლის შესავალის წინაღობა

$$R_{\beta\beta} = (1 + KR2/R1)R_{\beta\beta,\text{თან}}, \quad (5)$$

სადაც  $K$  და  $R_{\beta\beta,\text{თან}}$  – შესაბამისად ომ-ის მიკროსქემის გაძლიერების კოეფიციენტი და შესავალის წინაღობაა;

- გაძლიერებლის გამოსავალის წინაღობა

$$R_{\beta\beta} = R_{\beta\beta,\text{თან}} / (1 + KR2/(R2 + R1)). \quad (6)$$

არამაინვერსირებელ შესასვლელს სიგნალის ძაბვა მიეწოდება [R] პოტენციომეტრის საშუალებით და ამ ძაბვას რეგულირება ხორციელდება წინა პუნქტში აღწერილის ანალოგიურად.

10.1,გ ნახაზზე წარმოდგენილია ძაბვის არამაინვერსირებელი მამურებლის სქემა. აქ გამოსავალი წინაღობის გარეშეა მიერთებული მაინვერსირებელ შესავალთან ( $R1=0$ ), ხოლო  $R2$  რეზისტორის წრედი გაწყვეტილია ( $R2=\infty$ ). მაშინ (4)-ის თანახმად  $K_{\alpha} = 1$ , ე.ი. ამ შემთხვევაში სქემის გამოსავალი ძაბვა იმეორებს შესავალ ძაბვას. ამიტომ ასეთ სქემას ძაბვის მამურებელს უწოდებენ. ძაბვის მამურებლის შესავალის წინაღობა  $R_{\beta\beta} = (1 + K)R_{\beta\beta,\text{თან}}$ .

10.2,ა,ბ ნახაზებზე წარმოდგენილია ომ-ის დიფერენციალური ჩართვის სქემები. 10.2,ა ნახაზზე გასაძლიერებელი  $V1$  და  $V2$  სიგნალები მიეწოდება მაინვერსირებელ და არამაინვერსირებელ შესასვლელებს, ხოლო 10.2,ბ ნახაზზე დიფერენციალური (სხვაობითი) სიგნალი ჩართულია შესასვლელებს შორის. ორივე შემთხვევაში გამოსავალი სიგნალი სხვაობითი სიგნალის პროპორციულია. დიფერენციალური სიგნალის გაძლიერების კოეფიციენტი

$$K_{\alpha} = R1/R2. \quad (7)$$

ომ-ის შესავალის წინაღობა დიფერენციალური სიგნალის მიმართ განისაზღვრება ომ-ის მიკროსქემის პირველი დიფერენციალური კასკადის ბიპოლარული ტრანზისტორების  $h_{11\beta}$  ფიზიკური პარამეტრით

$$R_{\beta\beta} \approx 2h_{11\beta} \quad (8)$$

10.3 ნახაზზე წარმოდგენილია მაინვერსირებელი შესასვლელიანი სამასშტაბო ოპერაციული გაძლიერებლის სქემა სინუსოიდური სიგნალის გაძლიერების რეჟიმში.  $V1$  სინუსოიდური სიგნალი (სიგნალის სიხშირე 1 კჰ-ია) მუდმივი და ცვლადი ძაბვების განმრთავი  $C1$  კონდენსატორით მიერთებულია მაინვერსირებელ შესავალთან.  $M1$

ვირტუალური კოლგეტრი, რომელიც ჩაყენებულია ცვლადი ძაბვის გაზომვის რეჟიმში, საშუალებას იძლევა განისაზღვროს შესავალი სიგნალის გაძლიერების კოეფიციენტი. სქემაზე მიერთებული ვირტუალური ოსცილოსკოპით შესაძლებელია დადგინდეს გამოსავალ და შესავალ სიგნალებს შორის ფაზური ძვრის კუთხე, ხოლო სქემაზე მიერთებული **Bode plotter** -ით შესაძლებელია მაძლიერებლის ამპლიტუდურ – სიხშირული და ფაზურ – სიხშირული მახასიათებლების გადაღება.

### 3. მითითებები ლაბორატორიული სამუშაოს შესრულებაზე

ლაბორატორიული სამუშაო უნდა შესრულდეს მას შემდეგ, რაც შესწავლილი იქნება ოპერაციული მაძლიერებლების სიგნალების წრფივი გაძლიერების რეჟიმში მუშაობასთან დაკავშირებული თეორიული მასალა. დამატებით ლიტერატურად მიზანშეწონილია [1] -ის გამოყენება.

### 4. სამუშაოს შინაარსი

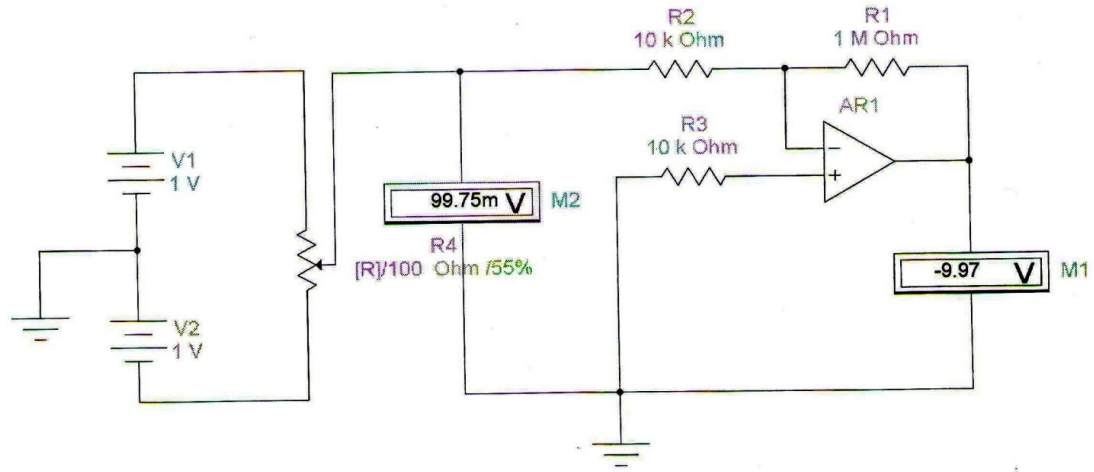
4.1. ოპერაციული მაძლიერებლების ელექტრული თვისებების გამოკვლევა გასაძლიერებელი სიგნალის შესასვლელებთან მიერთების ყველა შესაძლო წესის გამოყენების დროს;

4.2. ოპერაციული მაძლიერებლის ელექტრული თვისებების გამოკვლევა მუდმივი დენის დიფერენციალურ სიგნალზე მუშაობის დროს;

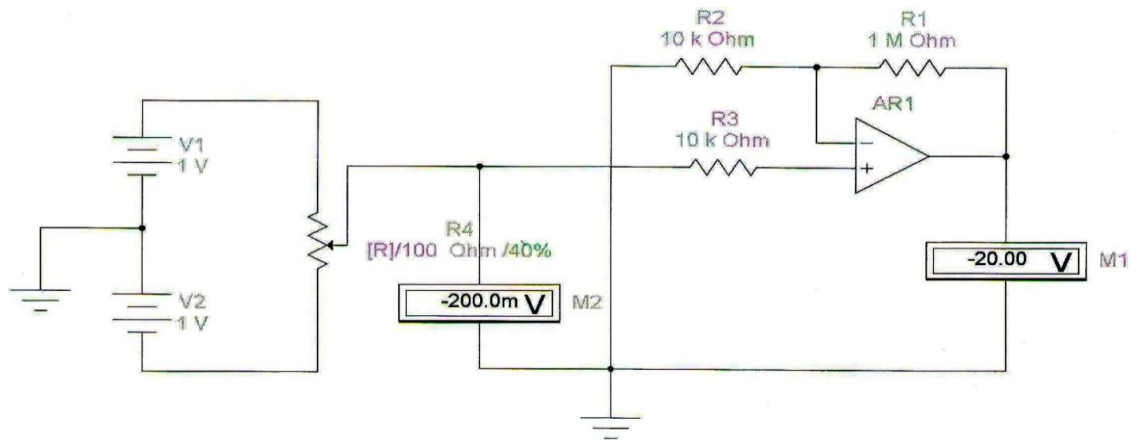
4.3. ოპერაციული მაძლიერებლის ელექტრული თვისებების გამოკვლევა ცვლადი სიგნალის გაძლიერების რეჟიმში მუშაობის დროს.

### 5. სამასშტაბო ოპერაციული მაძლიერებლის თვისებების გამოსაკვლევი ვირტუალური სტამების აღჭრა

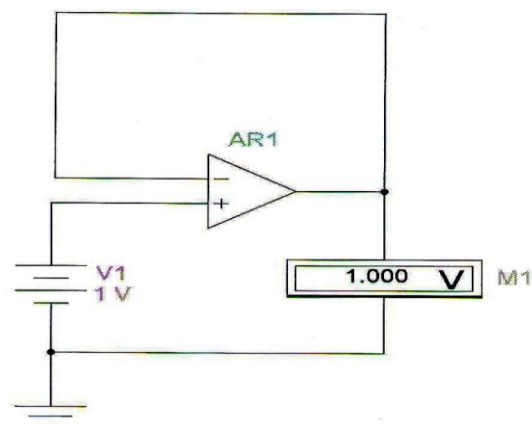
სამასშტაბო ოპერაციული მაძლიერებლის თვისებების გამოსაკვლევი ვირტუალური სქემები წარმოდგენილია ქვემოთ მოცემულ 10.1, 10.2 და 10.3 ნახაზებზე.



ა)

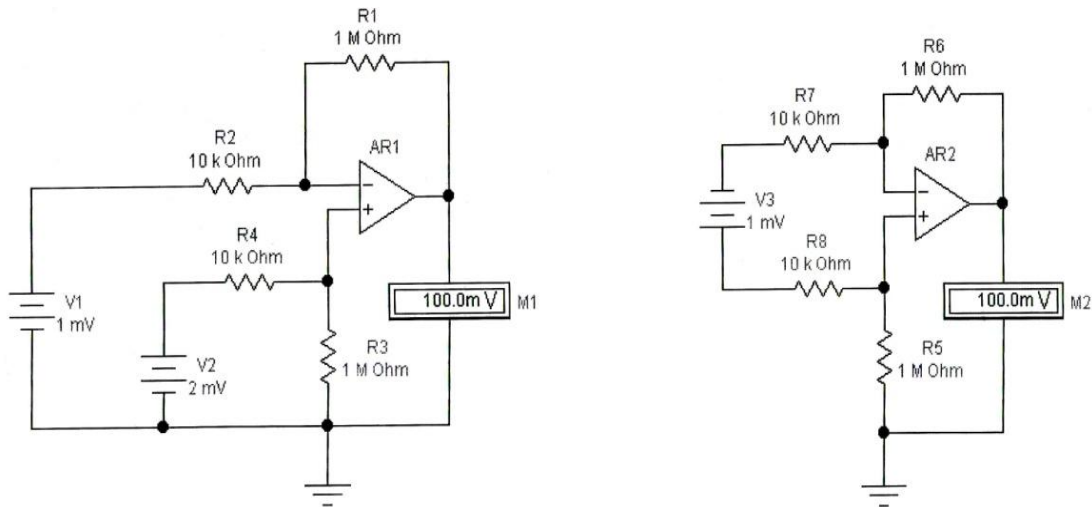


ბ)

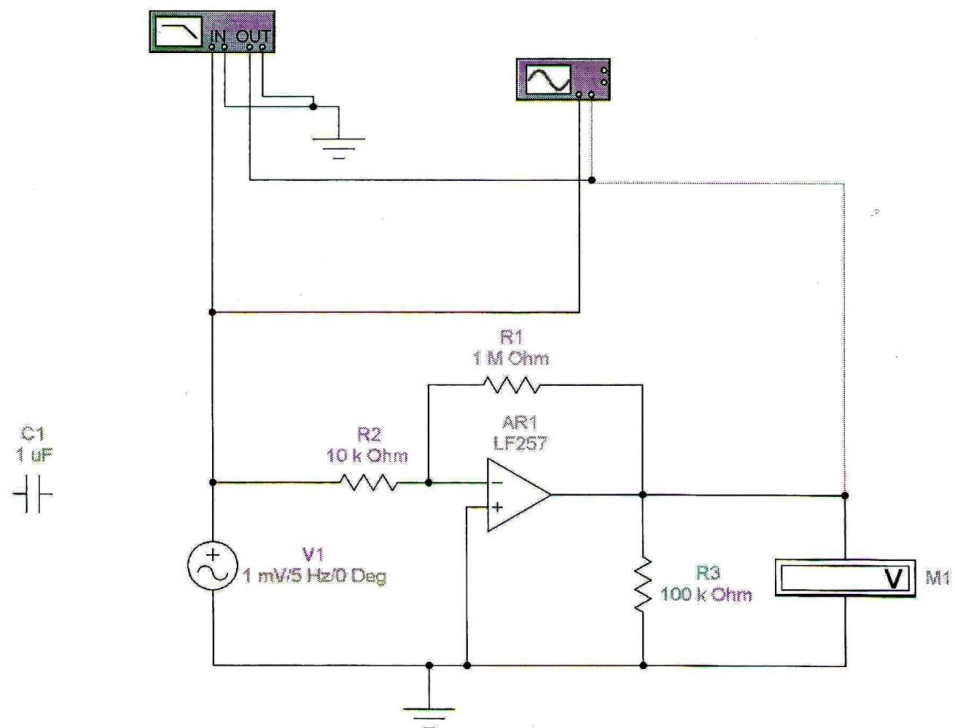


გ)

ნახ.10.1. სამასშტაბო ოპერაციული მაძლიერებლის სიგნალის მაინვერსირებელ (ა),  
არამაინვერსირებელ (ბ) და მამეორებელ რეჟიმებში (გ)  
ჩართვის სქემები



ნახ.10.2. სამაშტაბო ოპერაციული მაძლიერებლის მუდმივი დენის დიფერენციალური  
სიგნალის გაძლიერების რეჟიმში ჩართვის სქემები

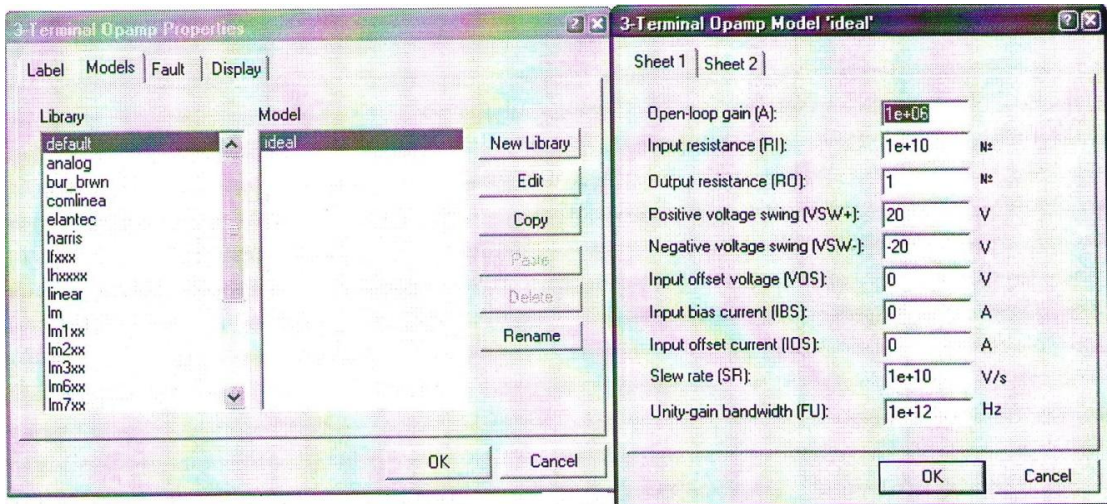


ნახ.10.3. სამაშტაბო ოპერაციული მაძლიერებლის სქემა ცვლადი  
სიგნალის გაძლიერების რეჟიმში

ვირტუალურ სქემებში გამოყენებულია ოპერაციული მაძლიერებლის სამგამომყვანიანი მოდელი, რომელიც ითვლება იდეალურ (წრფივ) მაძლიერებლად. მის საღიალოებო პარამეტრების ფანჯარაში შეტანილია:

- ძაბვის გაძლიერების კოეფიციენტი (**Open - loop gain [A]**);
- შესავალის წინაღობა (**Input resistance [RI]**);

- გამოსავალის წინაღობა (**Output resistance [RO]**);
- გამოსავალის დადებითი ძაბვის მაქსიმალური მნიშვნელობა (**Positive voltage swing [VSW+]**);
- გამოსავალი ძაბვის უარყოფითი მაქსიმალური მნიშვნელობა (**Negative voltage swing [VSW-]**).



#### ნახ.10.4. სამგამომყვანიანი ოპერაციული მაძლიერებლის მიკროსქემის სადიალოგო პარამეტრების ფანჯარა

სამასშტაბო ოპერაციული მაძლიერებლის სქემებში გამოყენებულია აგრეთვე მუდმივი და ცვლადი ძაბვის წყაროები, ვირტუალური მზომი ვოლტმეტრები, ვირტუალური ოსცილოსკოპი და ამპლიტუდურ – სისტირული მზომი (**Bode plotter**). ყველა ეს ვირტუალური კომპონენტი გამოყენებული იყო წინა ლაბორატორიულ სამუშაოებშიც.

## 6. ლაბორატორიული სამუშაოს შესრულების თანამიმდევრობა

**6.1. სამასშტაბო ოპერაციული მაძლიერებლის თვისებების გამოკვლევას,** ოპერაციული მიკროსქემის შესასვლელებთან გასაძლიერებელი სიგნალის მიერთების ყველა შესაძლო წესის გამოყენების დროს, ვახორციელებთ 10.1 ნახაზზე წარმოდგენილი ესკიზების მიხედვით აწყობილი ვირტუალური სქემების საფუძველზე.

10.1,ა ნახაზზე მოცემული ესკიზის მიხედვით მაინვერსირებელი შესასვლელიანი სამასშტაბო ოპერაციული მაძლიერებლის ვირტუალური სქემის აწყობის შემდეგ, შესავალს ვაწვდით გარკვეული სიდიდის დადებით სიგნალს (მაგალითად, 20 მლვ-ის ტოლ სიგნალს) და შესავალზე მიერთებული  $R2$  წინაღობის უცვლელი შენარჩუნების დროს ვცვლით  $R1$  უარყოფით უკუკავშირის წინაღობას 100 კომ-დან 1 მგომ-დან

ფარგლებში. სქემაში ჩართული ვოლტმეტრის ჩვენების მიხედვით ვსაზღვრავთ გაძლიერების კოეფიციენტს. შედეგები შეგვაქვს №1 ცხრილში. ამავე ცხრილში შეგვაქვს (1) თეორიული გამოსახულების მიხედვით განსაზღვრული გაძლიერების კოეფიციენტის სიდიდე და ვაკეთებთ დასკვნას მაინვერსირებელი შესასვლელიანი კასკადის თვისებების შესახებ.

ცხრილი 1

$U_{\text{აქ}} \text{ V}$	100	500	1000
$R1, \text{ გომ}$			
$R2, \text{ გომ}$	10	10	10
$U_{\text{გამ}}, \text{ მლგ}$			
$K_u = \frac{U_{\text{გამ}}}{U_{\text{ა}}$			
თეორიული $K_4 =$			

გადავიღებთ მაინვერსირებელი შესასვლელიან ოპერაციული მაძლიერებლის გადაცემის მახასიათებელს  $U_{\text{გამ}} = f(U_{\text{აქ}})$ ,  $R1/R2$  შეფარდების (გაძლიერების კოეფიციენტის) ორი სხვადასხვა მნიშვნელობის დროს (ინდივიდუალური დავალების შესაბამისად). ამისათვის, თავდაპირველად მაინვერსირებელ შესავალზე მიწოდებული ძაბვას შევცვლით 50-დან 100%-მდე ფარგლებში, შემდეგ კი 50-დან 0%-მდე ფარგლებში. ძაბვის ცვლილების ბიჯს შევარჩევთ ისე, რომ შევძლოთ შესავალზე მიწოდებული სიგნალის იმ ზუსტი სიდიდის დადგენა, რომლის დროსაც სქემა გადადის გაჯერების მდგომარეობაში (ე.ი. შესავალზე მიწოდებული ძაბვის მომატებისას გამოსავალი ძაბვა ინარჩუნებს უცვლელ სიდიდეს). მოდელირების შედეგი შეგვაქვს №2 ცხრილში, რომლის მიხედვითაც ავაგებთ მაინვერსირებელი შესასვლელიანი ოპერაციული მაძლიერებლის გადაცემის მახასიათებელს. აგებული მახასიათებლის მიხედვით ვსაზღვრავთ გასაძლიერებელი სიგნალის წრფივი გაძლიერების დიაპაზონს  $R1/R2$  ფარდობის სხვადასხვა სიდიდის დროს და ვაკეთებთ სათანადო დასკვნას

ცხრილი 2

$R1/R2 =$				$R1/R2 =$		
$[R]$	$U_{\text{ა}}$	$U_{\text{გამ}}$	$K_u = \frac{U_{\text{გამ}}}{U_{\text{ა}}}$	$U_{\text{ა}}$	$U_{\text{გამ}}$	$K_u = \frac{U_{\text{გამ}}}{U_{\text{აქ}}}$
%						
100						
.						
50						
.						
0						

აგაწყობთ არამაინვერსირებელი შესასვლელიანი ოპერაციული მაძლიერებლის ვირტუალურ სქემას 10.1,ბ ნახაზზე მოცემული ესკიზის მიხედვით. შევასრულებთ წინა პუნქტში ჩატარებული ოპერაციების ანალოგიურ ოპერაციებს და შევადგენთ №1 ცხრილის ანალოგიურ №3 ცხრილს

ცხრილი 3

$U_{\text{აქ}} \text{ ა.}$	100	500	1000
$R1, \text{ კომ}$	100	500	1000
$R2, \text{ კომ}$	10	10	10
$U_{\text{ა.}}, \text{ მლგ}$			
$K_u = \frac{U_{\text{ა.}}}{U_{\text{ა.}}}$			
თეორიული $K_u$			

შევაფასებთ არამაინვერსირებელი შესასვლელიანი სამასშტაბო ოპერაციული მაძლიერებლის ელექტრულ თვისებებს.

გადაცილოთ არამაინვერსირებელი (პირდაპირი) შესასვლელიანი მაძლიერებლის გადაცემის მახასიათებელი  $U_{\text{ა.}} = f(U_{\text{ა.}})$ ,  $R1/R2$  შეფარდების ორი სხვადასხვა მნიშვნელობის დროს (ინდივიდუალური დავალების შესაბამისად). ამისათვის მოვახდენთ არამაინვერსირებელ შესასვლელზე მიწოდებული სიგნალის ძაბვის ცვლილებას მაინვერსირებელი შესასვლელიანი ოპერაციული მაძლიერებლის გადაცემის მახასიათებლის გადაღების დროს შესრულებული მანიპულაციების ანალოგიურად,

შევადგენთ №4 ცხრილს და ავაგებთ გადაცემის მახასიათებელს.

ცხრილი 4

$R1/R2 =$				$R1/R2 =$		
[R]	$U_{\text{ა.}}$	$U_{\text{ა.}}$	$K_u = \frac{U_{\text{ა.}}}{U_{\text{ა.}}}$	$U_{\text{ა.}}$	$U_{\text{ა.}}$	$K_u = \frac{U_{\text{ა.}}}{U_{\text{ა.}}}$
%						
100						
.						
.						
50						
.						
.						
0						

აგებული მახასიათებლის მიხედვით ვსაზღვრავთ გასაძლიერებელი სიგნალის წრფივი გაძლიერების დიაპაზონს  $R1/R2$  ფარდობის სხვადასხვა სიდიდის დროს და ვაკეთებთ სათანადო დასკვნას.

ავაწყოთ არამაინვერსირებელი მამეორებლის ვირტუალური სქემა 10.1,გ ნახაზე მოცემული ესკიზის მიხედვით. ვცვალოთ შესავალი ძაბვის სიდიდე და ჩავინიშნოთ გამოსავალი ძაბვის მზომი ვოლტმეტრის ჩვენებები. გაზომვის შედეგები შევიტანოთ №5 ცხრილში და გავაკეთოთ დასკვნა

ცხრილი 5

$U_{\text{აქ}}, \text{ მლვ}$					
$U_{\text{გამ}}, \text{ მლვ}$					

**6.2. სამასშტაბო ოპერაციული მაძლიერებლის თვისებების გამოკვლევას დიფერენციალურ სიგნალზე მუშაობის დროს გახორციელებთ 10.2 ნახაზე წარმოდგენილი ესკიზების მიხედვით.**

ავაწყოთ სამასშტაბო ოპერაციული მაძლიერებლის სქემა 10.2,გ ნახაზე მოცემული ესკიზის მიხედვით, სადაც  $V1$  მუდმივი ძაბვის წყარო მიერთებულია მაინვერსირებელ შესასვლელზე, ხოლო  $V2$  ძაბვის წყარო – არამაინვერსირებელ შესასვლელზე. ვცვალოთ  $V1$  და  $V2$  ძაბვების მნიშვნელობები ისე, რომ  $V1-V2$  სხვაობით სიგნალს ჰქონდეს როგორც დადებით ( $V1 > V2$ ), ისე უარყოფითი ( $V1 < V2$ ) ნიშანი. გამოსავალზე მიერთებული ვოლტმეტრის ჩვენებისა და ( $V1-V2$ ) მნიშვნელობის მიხედვით ვპოულობთ გაძლიერების კოეფიციენტის სიდიდეებს. მოდელირების შედეგი შეგვაქვს №6 ცხრილში. ამავე ცხრილში შევიტანოთ (7) თეორიული გამოსახულების მიხედვით განსაზღვრულ გაძლიერების კოეფიციენტის მნიშვნელობას.

ცხრილი 6

$V1, \text{ მლვ}$	1	5	2	8
$V2, \text{ მლვ}$	2	3	4	5
$(V1-V2) \text{ მლვ}$				
$U_{\text{გამ}}, \text{ მლვ}$				
$K_u = \frac{U_{\text{გამ}}}{V1 - V2}$				
$K_u = \frac{R1}{R2}$				

მოდელირებით მიღებული შედეგის მიხედვით ვაფასებთ სამასშტაბო ოპერაციული მაძლიერებლის ელექტრულ თვისებებს დიფერენციალური სიგნალის გაძლიერების რეჟიმში მუშაობის დროს. ყურადღებას ვამახვილებთ გამოსავალი ძაბვის ნიშის

ცვლილებაზე  $V1$  და  $V2$  ძაბვების სიდიდეთა შორის თანაფარდობის ცვლილების დროს და ვაკეტებთ სათანადო დასკვნას.

გამოვიკვლიოთ სამასშტაბო ოპერაციული მაძლიერებლის თვისებები, როდესაც გასაძლიერებელი მუდმივი დენის სიგნალი შესასვლელებს შორისაა ჩართული. ამისათვის ავაწყოთ ვირტუალური სქემა 10.2,δ ნახაზზე მოცემული ესკიზის მიხედვით. თავდაპირველად მუდმივი სიგნალის წყარო უარყოფითი პოლუსით მივაერთოთ მაინვერსირებელ შესავალთან, ხოლო დადებითი პოლუსით – არამაინვერსირებელ შესავალთან. ვცვალოთ შესასვლელებს შორის მიერთებული სიგნალის სიდიდე 1 მლვ-დან 10 მლვ-მდე და ჩაგინიშნოთ გამოსავალზე მიერთებული ვოლტმეტრის ჩვენებები. შედეგი შევიტანოთ №7 ცხრილში. იგივე სამუშაო შევასრულოთ შესასვლელებს შორის მიერთებული სიგნალის შეცვლილი პოლარულობის დროს და შედეგი შევიტანოთ №8 ცხრილში. ამავე ცხრილებში შევიტანოთ თეორიულად განსაზღვრული გაძლიერების კოეფიციენტის სიდიდე.

ცხრილი7

$U_{\text{შე}}, \text{ მლვ}$					
$U_{\text{გამ}}, \text{ მლვ}$					
$K_u = \frac{U_{\text{გამ}}}{U_{\text{შე}}}$					
თეორიული					
$K_u = \frac{R6}{R7} =$					
$= \frac{R5}{R8}$					

ცხრილი8

$U_{\text{შე}}, \text{ მლვ}$					
$U_{\text{გამ}}, \text{ მლვ}$					
$K_u = \frac{U_{\text{გამ}}}{U_{\text{შე}}}$					
თეორიული					
$K_u = \frac{R6}{R7} =$					
$= \frac{R5}{R8}$					

მოვახდინოთ მოდელირებით მიღებული შედეგის შეფასება და გავაკეთოთ სათანადო დასკვნა.

6.3. მაინვერსირებელი შესასვლელიანი ოპერაციული მაძლიერებლის გამოყენებას, სინუსოიდური კანონით ცვლადი სიგნალის გაძლიერების რეჟიმში მუშაობის დროს, გახდენთ 10.3 ნახაზზე მოცემული ესკიზის მიხედვით აწყობილი ვირტუალური სქემის გამოყენებით.

არამაინვერსირებელი შესავალი მიერთებულია ნულოვან სალტესთან, ხოლო მაინვერსირებელ შესავალზე მოქმედებს სინუსოიდური სიგნალის წყარო. გამოსავალზე მიერთებული ვოლტმეტრი გადაყვანილია ცვლადი სიგნალის ეფექტური მნიშვნელობის გაზომვის რეჟიმში.

შესავალზე მიერთებული სიგნალის ძაბვის ეფექტური მნიშვნელობისა და ვოლტმეტრის ჩვენების მიხედვით განვსაზღვროთ სიგნალის გაძლიერების კოეფიციენტი და შევადაროთ იგი უკუკავშირისა და შესავალ წრედებში ჩართული რეზისტორების წინაღობების სიდიდების ფარდობას. მიღებული შედეგის მიხედვით გავაკეთოთ დასკვნა.

შესავალზე მივაერთოთ ცვლადი სიგნალი და გავააქტიუროთ სქემაში ჩართული ამპლიტუდურ-სისტემული მზომი (**Bode plotter**).

გავაანალიზოთ ეკრანზე მიღებული ამპლიტუდურ სისტემული მახასიათებელი. №8 ლაბორატორიოლ სამუშაოში გამოყენებული მეთოდის მიხედვით დავადგინოთ სისტემითა გატარების ზოლი. გავაკეთოთ დასკვნა.

ცვლადი სიგნალის წყაროსა და მაძლიერებლის შესავალს შორის ჩავრთოთ კონდენსატორი ( $1 \div 5$  მკფ ტევადობის) და გავაანალიზოთ **Bode plotter**-ის ეკრანზე მიღებული ამპლიტუდურ-სისტემული მახასიათებელი. განვსაზღვროთ სისტემითა გატარების ზოლი და აგხსნათ მიღებული ცვლილების მიზეზი.

გავააქტიუროთ სქემაში ჩართული ოსცილოსკოპი და ეკრანზე მიღებული ოსცილოგრამის მიხედვით შევაფასოთ მაძლიერებლის შესავალზე და გამოსავალზე მოქმედ სიგნალებს შორის არსებული ფაზური თანაფარდობა როგორც სისტემითა გატარების ზოლში, ისე მის მიღმა, სიგნალის წყაროს სადიალოგო ფანჯარაში საონადო სისტემითა დაფიქსირებით. ანალიზის შედეგი ჩამოყალიბეთ დასკვნის სახით.

## 7. ლაბორატორიული სამუშაოს ანგარიშის შინაარსი

- 7.1. ვირტუალური სქემები და მათი აღწერა.
- 7.2. სამასშტაბო ოპერაციული მაძლიერებელი სქემების ელექტრული პარამეტრების საანგარიშო გამოსახულებები.
- 7.3. შედგენილი ცხრილები. გაზომვებით და თეორიული გაანგარიშებით მიღებული მნიშვნელობების ანალიზი.
- 7.4. მაინვერსიონებელი და არამაინვერსიონებელი შესასვლელიანი ოპერაციული მაძლიერებლების გადაცემის მახასიათებლები.
- 7.5. გამოკვლევის შედეგად მიღებული შედეგების ზოგადი ანალიზი. დასკვნები.

**ლაპორატორიული სამუშაო №10**  
**ანალოგურ ელექტრონულ სიბრუნვები მათებათიკური**  
**ოპერაციების შემსრულებელი სტანდარტის ბაზოპლაზა**

## 1. სამუშაოს მიზანი

ანალოგური ელექტრული სიგნალების ამჯამავის, ინტეგრატორისა და დიფერენციატორის ექსპერიმენტული გამოკვლევა ვირტუალური მოდელირების **EWB** პროგრამის გამოყენებით.

## 2. მოძღვა თეორიული ცნობები

საბაზისო ანალოგურ გამომთვლელ მოწყობილობებს მიეკუთვნება ამჯამავი (სუმატორი), ინტეგრატორი და დიფერენციატორი. ეს მოწყობილობები გამოიყენება სხვადასხვა მზომ და მაკორექტირებელ რგოლებში. როგორც წესი, ასეთ მოწყობილობების შესრულების დროს გამოიყენება მაინვერსირებელ შესასვლელიანი ოპერაციული მაძლიერებელი.

**ამჯამავი (სუმატორი).** ელექტრული სიგნალების ამჯამავის სქემა მოცემულია 11.1,ა ნახაზზე, სადაც მაინვერსირებელ შესავალზე  $R1$  და  $R5$  რეზისტორების გავლით მოქმედებს სხვადასხვა დონის ორი  $V1$  და  $V2$  მუდმივი დენის სიგნალი. **ომ-ის** მაინვერსირებელი შესავალი წარმოადგენს შემაჯამებელ კვანძს, რადგან აქ ადგილი აქვს შესავალი დენებისა და უკუკავშირის დენის შეჯამებას. ამჯამავის გამოსავალზე მიღებული ძაბვა

$$U_{\text{გა}} = -R3 \left( \frac{V1}{R1} + \frac{V2}{R5} \right). \quad (1)$$

11.1,ბ ნახაზზე წარმოდგენილ ამჯამავი სქემის შესასვლელზე მოქმედებს მართვული და სინუსოიდური ფორმის ცვლადი სიგნალები. სქემის გამოსავალზე მიერთებული ოსცილოსკოპი აჩვენებს ამ სიგნალების შეჯამების შედეგად მიღებული სიგნალის დიაგრამას.

**ინტეგრატორი.** ესაა ელექტრონული სქემა, რომლის გამოსავალზე მიღებული სიგნალი, შესასვლელზე მოქმედი სიგნალის ინტეგრალის პროპორციულია.

ინტეგრატორის უმარტივესი სქემა მოცემულია 11.2,ა ნახაზე. ამ სქემაში  $C1$  კონდენსატორი მიერთებულია ინტეგრატორის გამოსავალსა და **ომ-ის** მაინვერსირებელ შესავალს შორის.

ინტეგრატორის შესავალზე მუდმივი სიგნალის მოქმედებისას, გამოსავალზე მიღებული ძაბვა შემდეგნაირად გამოისახება

$$U_{\text{გამ}} = -U_{\text{შე}} \cdot \frac{t}{R1C1}, \quad (2)$$

სადაც  $t$  – ინტეგრების პროცესის ხანგრძლივობაა.

როგორც (2) გამოსახულებიდან გამომდინარეობს, ინტეგრატორის შესავალზე მუდმივი ძაბვის მოქმედებისას, გამოსავალი ძაბვა დროის წრფივ ფუნქციას წარმოადგენს. თუ  $U_{\text{შე}}$  ძაბვა ინტეგრატორის შესავალზე მოქმედებს განუსაზღვრელად ხანგრძლივი დროის მანძილზე, მაშინ გამოსავალი ძაბვა იცვლება მანძალე, კიდრე იგი არ მიაღწევს ოპერაციული მაბლიურებლის გაჯერებაში შესვლის შესაბამისი ძაბვის სიდიდემდე.

ინტეგრატორის ამომხსნელი ბლოკის ფუნქციას შესასრულებლად გამოყენების დროს, მისი მუშაობის რეჟიმი სამ ეტაპს შეიცავს. ეს ეტაპებია: საწყისი პირობის შეყვანა, ინტეგრების რეჟიმი და ინტეგრების შედეგების შენახვა. ინტეგრატორის სქემა, რომელიც ზემოაღნიშნული რეჟიმის ეტაპების იმიტაციის საშუალებას იძლევა, 11.2, ნახაზზეა წარმოდგენილი. საწყისი პირობების შესაყვანად, რაშიც იგულისხმება

კონდენსატორის დამუხტვა  $U_{\text{გამ}} = -V1 \frac{R1}{R2}$  ძაბვამდე, გამოყენებულია ტაიმერული გასაღები. მოდელირების რეჟიმის გაშვების შემდეგ  $S2$  გასაღები ამოქმედდება და რჩება ჩაკეტილ მდგომარეობაში 1 წმ-ის განმავლობაში. მოდელირების რეჟიმის გაშვებიდან 2 წმ-ის შემდეგ ამოქმედდება  $S1$  ტაიმერული გასაღები და იწყება ინტეგრების რეჟიმი. ინტეგრების რეჟიმის შემდეგ სქემა გადადის მიღებული შედეგის შენახვის რეჟიმში.

ასეთ რეჟიმში მომუშავე ინტეგრატორის გამოსავალი ძაბვა

$$U_{\text{გამ}} = V2 \frac{t}{R3C1} - V1 \frac{R1}{R2}. \quad (3)$$

თუ ინტეგრატორის შესავალს მივაწვდით არა მუდმივ ძაბვას, არამედ მართვულხა იმპულსთა მიმდევრობას (ნახ.11.2,გ), მაშინ დროის იმ ინტერვალში, როდესაც შესავალზე ძაბვა ინარჩუნებს მუდმივ სიდიდეს, გამოსავალის ძაბვა შეიცვლება დროში წრფივი კანონით. ამის გამო, გამოსავალზე მიიღება სამკუთხა იმპულსთა მიმდევრობა.

**დიფერენციატორი.** ფუნქციური დანიშნულების მიხედვით დიფერენციატორი წარმოადგენს ინტეგრატორის ანტიპოდს, რადგან ინტეგრების და დიფერენცირების მათემატიკური ოპერაციები ურთიერთშებრუნებულია. აქედან გამომდინარე, თუ ინტეგრატორის სქემაში (ნახ.11.2) ადგილებს შევუცვლით  $C1$  კონდენსატორსა და  $R1$  რეზისტორს, მივიღებთ დიფერენციატორის სქემას (ნახ.11.4). დიფერენციატორის სქემაში, მისი მუშაობის კორექციის მიზნით, შეყვანილია დამატებითი  $R1$  რეზისტორი.

თუ დიფერენციატორის შესავალს ფუნქციური გენერატორიდან მივაწვდით სამკუთხა იმპულსთა მიმდევრობას, გამოსავალზე მიიღება მართკუთხა იმპულსთა მიმდევრობა (ინტეგრების შებრუნებული პროცესის ამსახველი დიაგრამა). დიფერენციატორის გამოსავალი სიგნალი შესავალი სიგნალის დროში ცვლილების სიჩქარის პროპორციულია.

$$U_{\text{გს}} = -RC \frac{du_{\text{ფ}}}{dt}. \quad (4)$$

### 3. მითითებები ლაბორატორიული სამუშაოს შესრულებაზე

ლაბორატორიული სამუშაო უნდა შესრულდეს მას შემდეგ, რაც შესწავლილი იქნება ელექტრული სიგნალების ამჯამავის, ინტეგრატორისა და დიფერენციატორის მუშაობასთან დაკავშირებული თეორიული საკითხები.

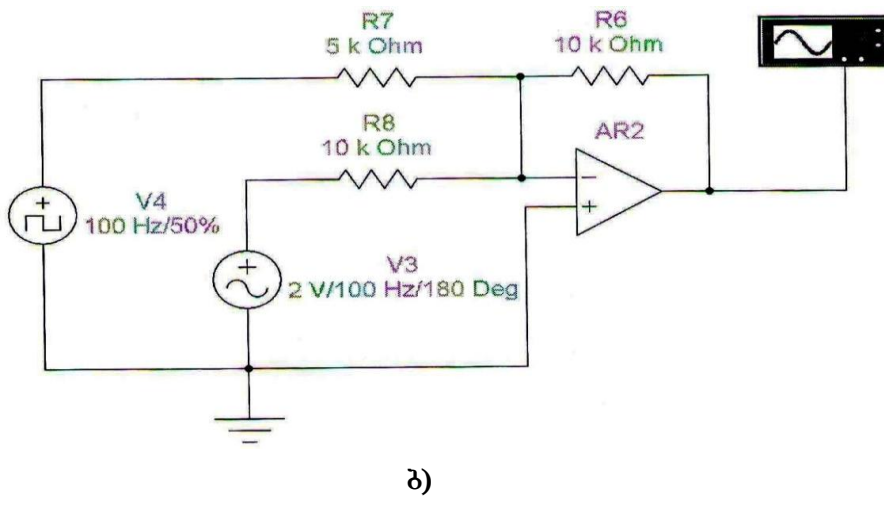
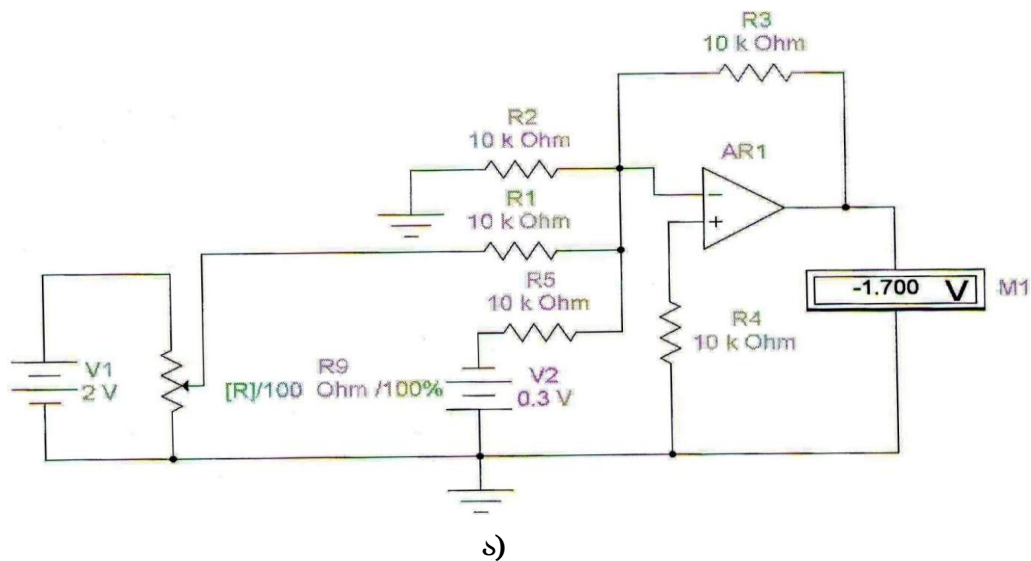
### 4. ლაბორატორიული სამუშაოს შინაარსი

- 4.1. ელექტრული სიგნალების ამჯამავის გამოკვლევა.
- 4.2. ელექტრული სიგნალების ინტეგრატორის გამოკვლევა.
- 4.3. ელექტრული სიგნალების დიფერენციატორის გამოკვლევა.

### 5. ანალოგურ ელექტრულ სისტემების მათემატიკური ოპერაციების შემსრულებელი მოწყობილობების ბამოსაპლები ვირტუალური სტუდები

**5.1. ელექტრული სიგნალების ამჯამავის გამოსაკვლევი ვირტუალური სქემები შეიძლება აიწყოს 11.1 ნახაზებზე მოცემული ესკიზების მიხედვით.**

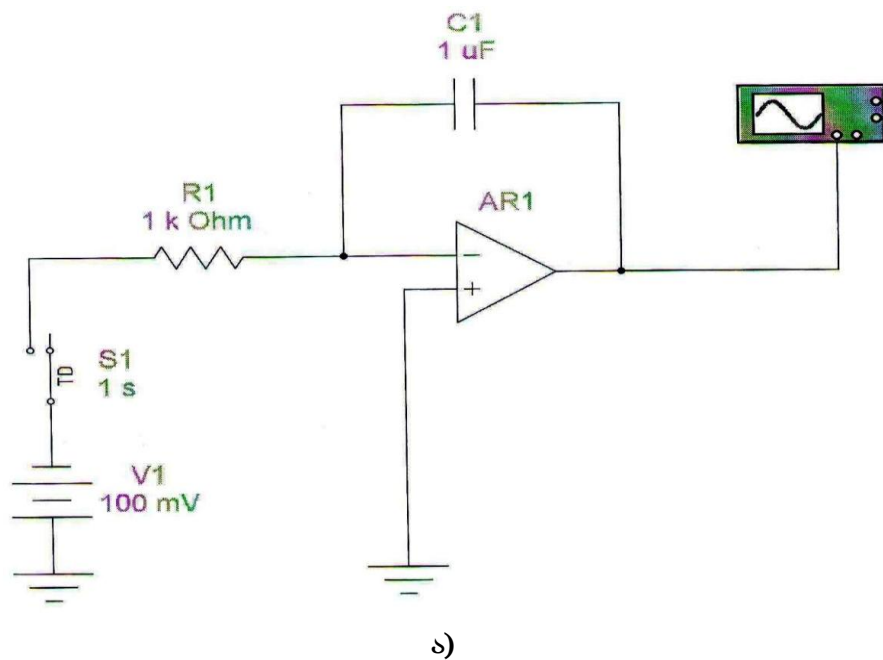
11.1.ა ნახაზზე მოცემულ ვირტუალურ სქემაში ამჯამავი აგებულია მაინვერსირებელი შესასვლელიან ოპერაციულ მაძლიერებელზე, რომელთანაც ერთნაირი სიდიდის  $R1$  და  $R5$  რეზისტორების გავლით მიერთებულია სხვადასხვა დონის მუდმივი დენის სიგნალები. ერთ-ერთი სიგნალის წყარო ოპერაციული მაძლიერებლის მაინვერსირებელ შესავალს უკავშირდება  $[R]$  პოტენციომეტრის საშუალებით.



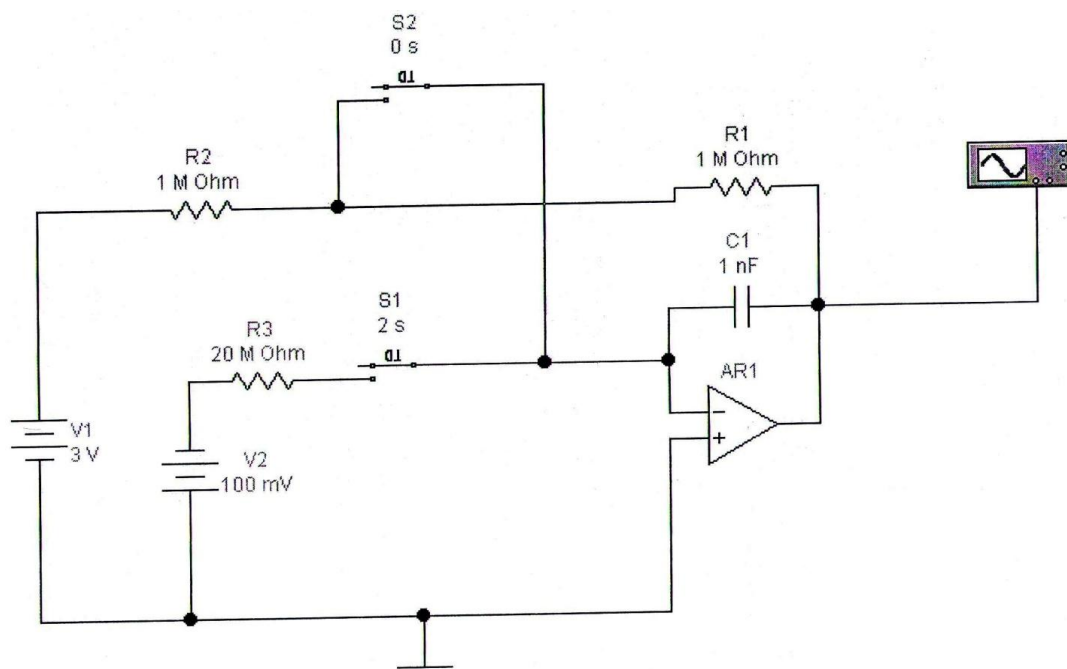
**ნახ.11.1. ელექტრული სიგნალების ამჯამავის ვირტუალური სქემები**

11.1.ბ ნახაზზე წარმოდგენილ ვირტუალურ სქემაში ოპერაციული მაძლიერებლის მაინვერსირებელ შესავალზე მიერთებულია სინუსოიდური ძაბვის წყარო, რომლის სადიალოგო ფანჯარაში დაფიქსირებულია 2 კ-ის ტოლი ძაბვის ეფექტური მნიშვნელობა, 100 ჰც-ის ტოლი სიხშირე და  $180^0$ -ის ტოლი საწყისი ფაზა. ამავე შესავალზე მიერთებულია ერთი პოლარულობის მქონე მართკუთხა სიგნალის წყარო. მის სადიალოგო ფანჯარაში დაფიქსირებულია 5 კ-ის ტოლი ამპლიტუდა, 100 ჰც-ის ტოლი სიხშირე და 50%-ის ტოლი შეგსების კოეფიციენტი. მართკუთხა იმპულსური ძაბვა მაინვერსირებელ შესავალს უერთდება 5 კომ-ის ტოლი წინაღობის გავლით, ხოლო სინუსოიდური ძაბვის წყარო – 10 კომ-ის ტოლი წინაღობით. უარყოფითი უკუკავშირი განხორციელებულია 10 კომ-იანი წინაღობის მქონე რეზისტორით.

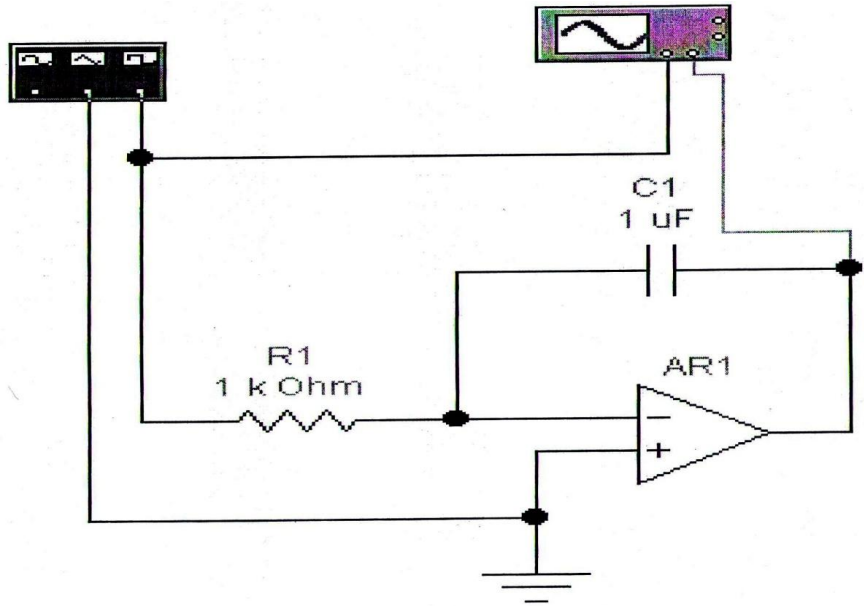
5.2. ელექტრული სიგნალების მაინტეგრებელი სქემები შეიძლება აიწყოს 112 ნახაზებზე წარმოდგენილი ესკიზების მიხედვით.



ა)



ბ)



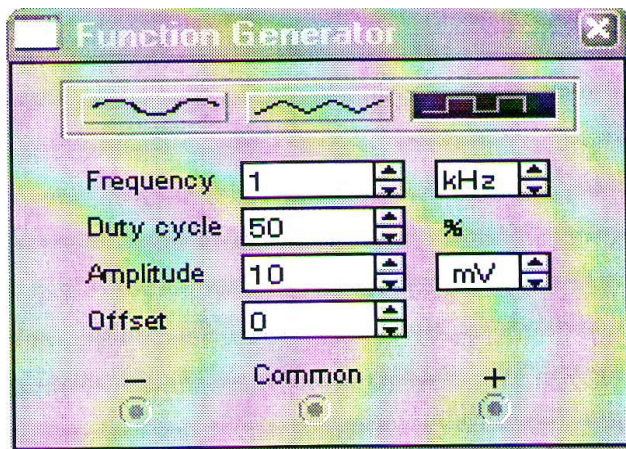
გ)

### ნახ.112. სიგნალების მაინტენანციული მოწყობილობის ვირტუალური სქემები

11.2,ა ნახაზზე მოცემულია ინტეგრატორის უმარტივესი სქემა, სადაც  $C1$  კონდენსატორი მიერთებულია ოპერაციული მაძლიერებლის გამოსავალსა და მაინვერსირებელ შესავალს შორის. მუდმივი დენის შესავალი სიგნალი მაინვერსირებელ შესავალს მიეწოდება  $S1$  ტაიმერული გადამრთველისა და  $R1$  რეზისტორის გავლით.

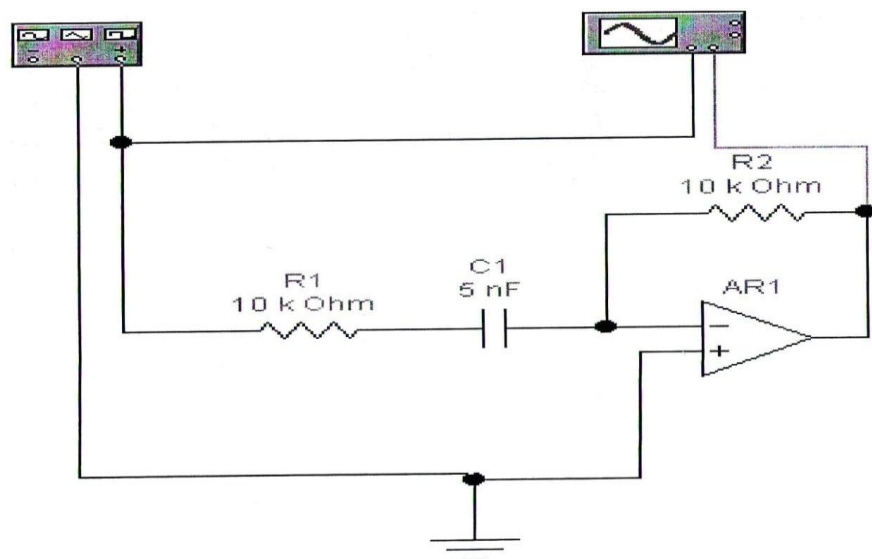
11.2,ბ ნახაზზე მოცემულია ინტეგრატორის სქემა, რომელიც ინტეგრატორის მიერ ამომხსნელი ბლოკის ფუნქციის შესრულებისათვის საჭირო სამი ეტაპის: საწყისი პირობის შეყვანის, ინტეგრების რეჟიმისა და ინტეგრების შედეგების შენახვის საშუალებას იძლევა. ამ სქემის მუშაობის პრინციპი მოკლე თეორიულ ცნობებშია აღწერილი.

11.2,გ ნახაზზე მოცემულ ინტეგრატორის ვირტუალურ სქემაში ინტეგრებას დაქვემდებარებული სიგნალის წყაროდ გამოყენებულია მართკუთხა ფორმის ცვლადი პერიოდული სიგნალი, რომელიც მიიღება **EWB** პროგრამის ბიბლიოთეკიდან გამოტანილი ფუნქციური გენერატორიდან, რომლის სადიალოგო პარამეტრების ფანჯარა 11.3 ნახაზზეა ნაჩვენები.



ნახ.11.3. ფუნქციური გენერატორის სადიალოგო პარამეტრების ფანჯარა

5.3. ელექტრული სიგნალების მაღიფერენციორებული წრედის (დიფერენციატორის) ვირტუალური სქემა მოცემულია 11.4 ნახაზე.



ნახ.11.4. დიფერენციატორის ვირტუალური სქემა

ეს სქემა ინტეგრატორის სქემისაგან იმით განსხვავდება, რომ კონდენსატორსა და რეზისტორს შეცვლილი აქვს ჩართვის ადგილი, რაც იმითაა განპირობებული, რომ ინტეგრებისა და დიფერენციორების მათემათიკური ოპერაციები ურთიერთ შებრუნებულ ოპერაციებს წარმოადგენება.

დიფერენციატორის სქემაში დამატებით გამოყენებულია შესავალ წრედში ჩართული მაღიფერიორებელი რეზისტორი, რომელიც უზრუნველყოფს მოდელირების საწყის სტადიაზე აღძრული რხევების ჩატობას.

## 6. ლაბორატორიული სამუშაოს შესრულების თანამიმდევრობა

6.1. ელექტრული სიგნალების ამჯამავის გამოკვლევას, მუდმივი დენის სიგნალებზე მუშაობის დროს, ვახორციელებთ 11.1.ა ნახაზზე მოცემული ვირტუალური სქემის

გამოყენებით. გამოკვლევას ვახდენთ  $\frac{R_{\text{ვ}}}{R} \left( \frac{R3}{R1} = \frac{R3}{R5} \right)$  წონითი კოეფიციენტის ორი

სხვადასხვა მნიშვნელობის დროს (ინდიგიდუალური დავალების შესაბამისად).  $V2$  ძაბვის წყაროდან მაინვერსირებელ შესავალს ვაწვდით ძაბვის განსაზღვრულ სიდიდეს, ხოლო  $V1$  წყაროდან იგივე შესავალზე მიწოდებულ ძაბვას  $[R]$  პოტენციომეტრით ვცვლით ნულიდან მაქსიმალურ მნიშვნელობამდე და ჩავინიშნავთ გამოსავალზე მიერთებული ვოლტმეტრის წვერებებს. გამოკვლევას ვახდენთ  $V2$  წყაროდან მიწოდებულ ძაბვის ორი სხვადასხვა მნიშვნელობისათვის. მოდელირების შედეგები შეგვაქვს №1 ცხრილში. ამავე ცხრილში უნდა შევიტანოთ მოკლე თეორიულ ცნობებში მოყვანილი (1) გამოსახულების მიხედვით გაანგარიშებული გამოსავალი ძაბვის მნიშვნელობები.

ცხრილი 1

$\frac{R_{\text{ვ}}}{R} =$						$\frac{R_{\text{ვ}}}{R} =$					
$U_{\text{ვ}} =$			$U_{\text{ვ}} =$			$U_{\text{ვ}} =$			$U_{\text{ვ}} =$		
$U_{\text{ვ}} 1$	$U_{\text{ვ}}$ (მოდელ)	$U_{\text{ვ}}$ (თეორ.)	$U_{\text{ვ}} 1$	$U_{\text{ვ}}$ (მოდელ)	$U_{\text{ვ}}$ (თეორ.)	$U_{\text{ვ}} 1$	$U_{\text{ვ}}$ (მოდელ)	$U_{\text{ვ}}$ (თეორ.)	$U_{\text{ვ}} 1$	$U_{\text{ვ}}$ (მოდელ)	$U_{\text{ვ}}$ (თეორ.)

შედგენილი ცხრილის საფუძველზე ვაანალიზებთ ამჯამავის მუშაობას და ვაკეთებთ შესაბამის დასკვნას.

ელექტრული სიგნალების ამჯამავის გამოკვლევას, ცვლადი დენის სიგნალებზე მუშაობის დროს, ვახორციელებთ 11.1.ბ ნახაზზე მოცემული ვირტუალური სქემის გამოყენებით. სქემაში შემავალი ვირტუალური კომპონენტების სადიალოგო პარამეტრების ფანჯარაში აღრე მითითებულ სიდიდეთა დაფიქსირების შემდეგ ჩავრთავთ მოდელირების რეჟიმს. ვააქტიურებთ ოსცილოსკოპს და ვამუშავებთ მას გაფართოებული ეკრანის რეჟიმში. გადავიდებთ ამჯამავის მაინვერსირებულ შესავალზე მოქმედი და ამჯამავის გამოსავალზე მიღებული სიგნალების ოსცილოგრამებს.

სამიზნებელი სახაზავების დახმარებით ვზომავთ ამჯამავის გამოსასვლელზე მიღებული არასიმუტრიული პერიოდული სიგნალის უარყოფით და დაღებით მაქსიმალურ მნიშვნელობებს და ვახდენთ მათ შედარებას (1) თეორიული გამოსახულების გამოყენებით გაანგარიშებულ მნიშვნელობებთან:

$$U_{\text{გამ. } m}^- = -R3 \left( \frac{V1}{R1} + \frac{V2}{R5} \right);$$

$$U_{\text{გამ. } m}^+ = -R3 \left( \frac{0}{R1} + \frac{V2}{R5} \right).$$

ვაკეთებთ სათანადო დასკვნას.

შემცველობით ამჯამავის შესასვლელზე მიწოდებული სიგნალის საწყისი ფაზა ( $180^0$ -ის ნაცვლად დავაყენოთ  $0^0$ ) და გავიმეოროთ ზემოთ შესრულებული სამუშაო. გავაკეთოთ დასკვნას.

**6.2. მარტივი მაინტეგრებელი მოწყობილობის გამოკვლევას ვახორციელებთ 112,პ ნახაზზე მოცემული ვირტუალური სქემის მიხედვით.**

$V1$  მუდმივი ძაბვის წყაროს,  $C1$  კონდენსატორისა და  $R1$  რეზისტორის სადიალოგო პარამეტრების ფანჯარაში სიდიდეთა დაფიქსირების შემდეგ (ინდიგიდუალური დავალების შესაბამისი სიდიდეები) ჩავრთავთ მოდელირების რეჟიმს და ვაკეტირდებით გაფართოების რეჟიმში ჩაყენებული ოსცილოსკოპის ეკრანზე გამოსავალი სიგნალის ჩამოყალიბების პროცესს. გამოსავალი ძაბვის ცვლილების შეწყვეტამდე (გაჯერებაში შესვლამდე) ვაჭერთ დილაპზე **Pause** და ვაჩერებთ მოდელირების პროცესს. სამიზნებელი სახაზავების საშუალებით ვზომავთ გამოსავალი ძაბვის სიდიდეს და ინტეგრების პროცესის ხანგრძლივობას. მოდელირებით მიღებულ შედეგს ვადარებთ თეორიულ ცნობებში მოყვანილ (2) გამოსახულების მიხედვით გაანგარიშებულ სიდიდესთან. ვიმეორებთ ზემოთ შესრულებულ სამუშაოს  $C1$  და  $R1$  კომპონენტების პარამეტრების სხვა მნიშვნელობების დროს და ვაკეთებთ სათანადო დასკვნას.

**მაინტეგრებელი ფუნქციური კვანძის მუშაობის გამოკვლევას ვახორციელებთ 112,პ ნახაზზე მოცემული ვირტუალური სქემის მიხედვით. სქემაში გათვალისწინებულია წრედში ჩართული მაინტეგრებელი კონდენსატორის საწყისი დამუხტვა (საწყისი პირობის შექვანა)**  $U_{\text{გამ. }}(0) = -V1 \frac{R1}{R2}$  ძაბვამდე. ამ თვერაციის შესასრულებლად სქემაში გამოყენებულია  $S2$  ტაიმერული გასაღები, რომელიც მოდელირების რეჟიმის გაშვების შემდეგ ჩაირთვება და რჩება ამ მდგომარეობაში 1 წმ-ის მანძილზე. სქემაში გამოყენებულ მეორე ტაიმერულ გასაღებს ( $S1$ ) აქვს 2 წმ-ის ტოლი დაყოვნება ჩართვაზე. ამიტომ მოდელირების რეჟიმის გაშვებიდან 2 წმ-ის შემდეგ ჩაირთვება  $S1$

$U_{\text{გამ. }}(0) = -V1 \frac{R1}{R2}$  ძაბვამდე. ამ თვერაციის შესასრულებლად სქემაში გამოყენებულია  $S2$  ტაიმერული გასაღები, რომელიც მოდელირების რეჟიმის გაშვების შემდეგ ჩაირთვება და რჩება ამ მდგომარეობაში 1 წმ-ის მანძილზე. სქემაში გამოყენებულ მეორე ტაიმერულ გასაღებს ( $S1$ ) აქვს 2 წმ-ის ტოლი დაყოვნება ჩართვაზე. ამიტომ მოდელირების რეჟიმის გაშვებიდან 2 წმ-ის შემდეგ ჩაირთვება  $S1$

სქემაში გამოყენებულია  $S2$  ტაიმერული გასაღები, რომელიც მოდელირების რეჟიმის გაშვების შემდეგ ჩაირთვება და რჩება ამ მდგომარეობაში 1 წმ-ის მანძილზე. სქემაში გამოყენებულ მეორე ტაიმერულ გასაღებს ( $S1$ ) აქვს 2 წმ-ის ტოლი დაყოვნება ჩართვაზე. ამიტომ მოდელირების რეჟიმის გაშვებიდან 2 წმ-ის შემდეგ ჩაირთვება  $S1$

გასაღები და დაიწყება ოპერაციული მაძლიერებლის მაინვერსირებელ შესავალზე მიწოდებული *V2* სიგნალის ინტეგრების პროცესი.

მოდელირების რეჟიმის ჩართვის შემდეგ, გაფართოების რეჟიმში ჩაყენებული ოსცილოსკოპის ეკრანზე ვაკვირდებით გამოსავალი სიგნალის ჩამოყალიბების პროცესს. ინტეგრების პროცესი მთავრდება მას შემდეგ, რაც წრფივად ცვლადი ძაბვა მიაღწევს სქემაში გამოყენებული ოპერაციული მაძლიერებლის გამოსავალი ძაბვის მაქსიმალურ (გაჯერების) მნიშვნელობას (20 ვ). ამის შემდეგ, სქემა გადადის მიღებული შედეგის შენახვის რეჟიმში. ამ რეჟიმში გადასვლის შემდეგ, **Pause** დილაპზე დაჭერით, შევწყვეტო მოდელირების პროცესს და ვაანალიზებთ მიღებულ ოსცილოგრამას. ოსცილოგრამიდან დავადგენთ გამოსავალი ძაბვის ცვლილების სრულ სიდიდეს ( $U_{\text{გა.}}(0)$ -დან 20 ვ-მდე). მიღებულ შედეგს ვამოწმებთ (3) თეორიული გამოსახულებიდან განსაზღვრული გამოსავალი ძაბვის მიხედვით. ამ გამოსახულებაში შესატანი ინტეგრების ხანგრძლივობა (*t*) უნდა განისაზღვროს სამიზნებელი სახაზავების საშუალებით, გამოსავალი ძაბვის 0-დან 20 ვ-მდე გაზრდისათვის საჭირო დროის ინტერვალის გაზომვის გზით. შემოწმების შემდეგ ვაკეთებთ დასკვნას.

მაინტეგრებელი ფუნქციური ვირტუალური კვანძის გამოკვლევას, როდესაც ინტეგრებას ექვემდებარება ფუნქციური გენერატორიდან მოხსნილი მართვულთხა ცვლადი პერიოდული სიგნალი, ვახორციელებთ 11.2.გ ნახაზზე მოცემული სქემის მიხედვით. ფუნქციური გენერატორის სადიალოგო პარამეტრების ფანჯარაში შეგვაქვს ინდივიდუალური დავალებით მიღებული სიგნალის ამპლიტუდისა და სიხშირის მნიშვნელობები. *C1* კონდენსატორისა და *R1* რეზისტორის პარამეტრებს სტუდენტი ასევე შეირჩევს ინდივიდუალური დავალების მიხედვით.

მოდელირების რეჟიმის ჩართვის შემდეგ, ვაკვირდებით გაფართოების რეჟიმში ჩაყენებული ოსცილოსკოპის ეკრანზე მიღებული შესავალი და გამოსავალი სიგნალების ოსცილოგრამებს. **Pause** დილაპზე დაჭერით ვაჩერებთ მოდელირების პროცესს და ვაანალიზებთ გამოსავალზე მიღებული სიგნალის ცვლილების ხასიათს. სამიზნებელი სახაზავების საშუალებით ვზომავთ შესავალი და გამოსავალი სიგნალების ამპლიტუდებს და გამოსავალი სიგნალის განმეორების პერიოდს.

მოდელირებით მიღებულ შედეგს ვამოწმებთ გაანგარიშების გზით. ამისათვის ვიყენებთ ანალიზურ გამოსახულებას  $U_{\text{გა.}m}(t) = U_{\text{გე.}m} \frac{t}{R1 C1}$ , სადაც  $t - s$  სიდიდე აიღება შესავალი და გამოსავალი სიგნალების განმეორების პერიოდის ნახევრის ტოლი. გაანგარიშებით მიღებული გამოსავალი ძაბვის ამპლიტუდას ვადარებთ გაზომვით მიღებულ მნიშვნელობას და ვაკეთებთ სათანადო დასკვნას.

**6.3. ელექტრული სიგნალების მაღიმფერეცირებული ვირტუალური კვანძის დიფერენციატორის** გამოკვლევას ვახორციელებთ 11.4 ნახაზზე მოცემული

ვირტუალური სქემის მიხედვით. ეს სქემა 11.2.გ ნახაზზე ნაჩვენები ინტეგრატორის სქემისაგან განსხვავდება მხოლოდ იმით, რომ ადგილები აქვთ შეცვლილი *C1* კონდენსატორსა და *R1* რეზისტორს.

ფუნქციური გენერატორის სადიალოგო ფანჯარაში ვააქტიურებთ გამოსავალი ცვლადი სამკუთხა სიგნალის შესაბამის ღილაკს. გარდა ამისა, ვაფიქსირებთ გამოსავალი სიგნალის ამპლიტუდასა და სიხშირეს (ინდიკირებულური დაგალების შესაბამისად).

მოდელირების რეჟიმის ჩართვის შემდეგ, ვაკვირდებით გაფართოების რეჟიმში ჩაყენებული ოსცილოსკოპის ეკრაზზე მიღებული შესავალი და გამოსავალი სიგნალების ოსცილოგრამებს. ვრწმუნდებით, რომ დიფერენციატორის გამოსაკვლევი სქემა ასრულებს ინტეგრატორის შებრუნებულ ოპერაციას: შესავალზე მიწოდებულ სამკუთხა პერიოდულ სიგნალს გარდაქმნის მართვულობა პერიოდულ სიგნალად.

**Pause** ღილაკზე დაჭრით შევაჩერებთ მოდელირების პროცესს და ვახდენთ მიღებული შედეგის ანალიზს. სამიზნებელი სახაზავების საშუალებით ვზომავთ გამოსავალი ძაბვის ამპლიტუდას და გაზომვის შედეგს ვამოწმებთ თეორიული გაანგარიშებით. ამისათვის ვიყენებთ თეორიულ ცნობებში მოყვანილ (4)

გამოსახულებას. ვახდენთ ამ გამოსახულებაში შემავალი  $\frac{du}{dt}$  – შესავალი სიგნალის ცვლილების სიჩქარის განსაზღვრას. ამისათვის სამიზნებელი სახაზავების დახმარებით ვზომავთ შესავალი სამკუთხა იმპულსის სიდიდის ცვლილებას განმეორების ნახევარ პერიოდის მანძილზე და შევაფარდებთ მას შესაბამის დროის ინტერგალთან. გაანგარიშებით მიღებული გამოსავალი ძაბვის სიდიდეს ვადარებთ გაზომვით მიღებულ მნიშვნელობას და ვაკეთებთ სათანადო დასკვნას.

## 7. ლაბორატორიული სამუშაოს ანგარიშის შინაარსი

- 7.1. ანალოგურ ელექტრულ სიგნალებზე მათემათიკური ოპერაციების შემსრულებელი მოწყობილობების სქემები და მათი აღწერა.
- 7.2. ელექტრული სიგნალების ამჯამავი, მაინტეგრირებელი და მადიფერენცირებელი სქემების მახასიათებელ სიდიდეთა საანგარიშო გამოსახულებები.
- 7.3. შედგენილი ცხრილები.
- 7.4. მოდელირებით და გაანგარიშებით მიღებული შედეგების შედარებითი ანალიზი.
- 7.5. მიღებული შედეგების ზოგადი ანალიზი. დასკვნები.

## ლაბორატორიული სამუშაო №11

### ჰარმონიული რხევის აპტოგენერატორების გამოკვლევა

#### 1. სამუშაოს მიზანი

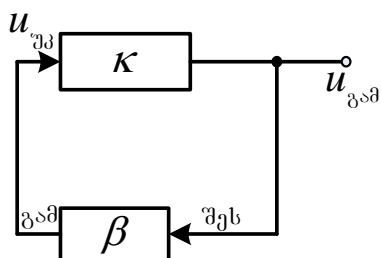
ჰარმონიული რხევის  $LC$  – და  $RC$  – ავტოგენერატორების გამოკვლევა ვირტუალური მოდელირების **EWB** კომპიუტერული პროგრამის გამოყენებით.

#### 2. მოკლე თეორიული ცნობები

ჰარმონიული რხევის გენერატორი მუდმივი ძაბვის კვების წყაროს ენერგიას გარდაქმნის განსაზღვრული სიხშირის ჰარმონიულ რხევით ენერგიად. ასეთი გენერატორის სქემა შეიცავს სიხშირის ამომრჩევ წრედს და აქტიურ ელემენტს (ტრანზისტორული მაძლიერებელი კასკადი, ოპერაციული მაძლიერებელი).

მოქმედების პრინციპის მიხედვით არსებობს თვითაღგზნებადი, ანუ ავტოგენერატორები და გენერატორები გარე აღგზნებით.

გენერატორების სქემაში გამოყენებული სიხშირის ამომრჩევი წრედის სახეობის მიხედვით არსებობს  $LC$  – და  $RC$  – გენერატორები.  $LC$  – ავტოგენერატორები გამოიყენება მაღალი სიხშირის ჰარმონიული რხევის მისაღებად, ხოლო  $RC$  – ავტოგენერატორები – დაბალი სიხშირის რხევების მისაღებად.



ავტოგენერატორის სტრუქტურული სქემა ნაჩვენებია ნახაზზე. სტრუქტურულ სქემაში შედის ორი მთავარი კვანძი:  $K$  გაძლიერების კოეფიციენტის ერთკასკადიანი მაძლიერებელი და  $\beta$  გადაცემის კოეფიციენტის სიხშირის ამომრჩევი წრედი, რომლის მეშვეობით მაძლიერებელში განხორციელებულია დადებითი უპუკავშირი.

იმისათვის, რომ ავტოგენერატორის მუდმივი ძაბვის წყაროსთან მიერთების შედეგად გამოსავალზე წარმოიქმნას მდგრადი ელექტრული რხევები, უნდა შესრულდეს თვითაღგზნების ორი პირობა:

$$K\beta = 1; \quad (1)$$

$$\varphi + \psi = 0; \quad 2\pi, \quad (2)$$

სადაც  $K$  – მაძლიერებლის გაძლიერების კოეფიციენტის მოდულია;

$$\beta = \frac{u_{\text{ვა}}}{u_{\text{გა}}} - \text{უკუკავშირის } \vec{v} \text{-დის გადაცემის კოეფიციენტის მოდული};$$

$\varphi$  – მაძლიერებელი ქვანძის გამოსავალ და შესავალ ძაბვებს შორის ფაზური ძვრის კუთხე;

$\psi$  – უკუკავშირის კვანძის შესავალ და გამოსავალ ძაბვებს შორის ფაზური ძვრის კუთხე.

(1) ტოლობა  $\vec{v}$ -არმოადგენს ამპლიტუდური ბალანსის პირობას, ხოლო (2) ტოლობა – ფაზური ბალანსის პირობას.

ცნობილია, რომ საერთო ემიტერით ან საერთო სათავით ჩართული ტრანზისტორული მაძლიერებელი კასკადის გამოსავალზე მიღებული სიგნალის ფაზა  $180^0$ -ითაა დაძრული შესავალი სიგნალის ფაზისაგან. ამიტომ, თუ გამოსავალი სიგნალის ნაწილს ფაზის შეუცვლელად მივაწვდით მაძლიერებლის შესავალს, მაშინ განხორციელდება უარყოფითი უკუკავშირი. იმისათვის, რომ შესრულდეს თვითადგზნებისათვის საჭირო ფაზური ბალანსის პირობა (ე.ი. მაძლიერებელში განხორციელდეს დადებითი უკუკავშირი), უკუკავშირის  $\vec{v}$ -ედმა მაძლიერებლის შესავალს უნდა მიაწოდოს  $180^0$ -ით დაძრული გამოსავალი ძაბვა (ამ ძაბვის განსაზღვრული ნაწილი).

აუცილებელია ამპლიტუდური ბალანსის პირობის შესრულებაც, რადგან მუშაობის პროცესში ავტოგენერატორში ადგილი აქვს ენერგიის დანაკარგება. ენერგიის ეს დანაკარგი უნდა შეივსოს კვების წყაროდან შემოსული ენერგიით, რაც დადებითი უკუკავშირის  $\vec{v}$ -ედის მეშვეობით უნდა განხორციელდეს.

$LC$  – ავტოგენერატორის ერთ-ერთი სქემური ვარიანტი მოცემულია 12.1 ნახაზზე. ავტოგენერატორის სქემაში აქტიურ ელემენტად გამოყენებულია ველით მართვად ტრანზისტორზე აგებული მაძლიერებელი კასკადი. სისტმირის ამომრჩევ  $\vec{v}$ -ედში, ანუ რხევით კონტურში,  $L$  ინდუქციურობის ფუნქციას ასრულებს ტრანსფორმატორის პირველადი გრაგნილის ინდუქციურობა. მასთან პარალელურადაა მიერთებული რხევითი კონტურის  $C1$  კონდენსატორი. რხევით კონტურში ჩართული  $R1$  რეზისტორი ახდენს კონტურში არსებული დანაკარგების მოდელირებას ამპლიტუდური ბალანსის პირობის შესრულების გამოკვლევის დროს.

ავტოგენერატორის სქემაში დადებითი უკუკავშირი რეალიზებულია იმის შედეგად, რომ მეორეული გრაგნილის დასაწყისი და ბოლო შებრუნებული მიმდევრობითაა ტრანზისტორის მართვის  $\vec{v}$ -ედთან მიერთებული, რის გამოც ტრანსფორმატორის პირველად გრაგნილში აღძრული რხევები ტრანზისტორის მართვის ელექტროდს,

მეორეული გრაგნილის საშუალებით, მიეწოდება  $180^0$ -ის ტოლი ფაზური ძვრით, ე.ი. სრულდება ფაზური ბალანსის პირობა (2).

ავტოგენერატორში, მუდმივი ძაბვის წყაროსთან მიერთების შემდეგ, აღიძვრება ელექტრული რხევები, რომლის სიხშირე, პირველი მიახლოებით, განისაზღვრება ტომსონის ფორმულით

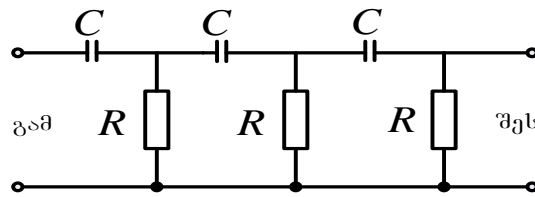
$$f_0 = \frac{1}{2\pi\sqrt{LC}}, \quad (3)$$

სადაც  $L1$ —ტრანსფორმატორის პირველადი გრაგნილის ინდუქციურობაა.

დაბალი სიხშირის სინუსოიდური რხევების გენერაციის მიზნით გამოიყენება  $RC$ —ავტოგენერატორები, რომლებშიც უკუკავშირი განხორციელებულია  $R$  და  $C$  ელემენტებზე აგებული სიხშირის ამომრჩევი ოთხპოლუსას საშუალებით. ამ სახის ავტოგენერატორებში გამოყენებული სიხშირის ამომრჩევი  $RC$ —ოთხპოლუსები შეიძლება დაიყოს ჯგუფად:

- სიხშირის ამომრჩევი  $RC$ —ოთხპოლუსები, რომლებიც ახდენენ შესაგალზე მიწოდებული ძაბვის ფაზის  $180^0$ -ით დაძვრას;
- სიხშირის ამომრჩევი  $RC$ —ოთხპოლუსები, რომლებიც არ ცვლიან შესაგალზე მიწოდებული ძაბვის ფაზას.

პირველი ჯგუფის სიხშირის ამომრჩევი  $RC$ —ოთხპოლუსები შეიცავს მიმდევრობით შეერთებულ „Г“—სებრ  $RC$  რგოლებს. ძირითადად გამოიყენება სამრგოლიანი ოთხპოლუსა (იხ. ნახაზი).



უკუკავშირის წრედში ამ ჯგუფის  $RC$ —სამრგოლიანი ოთხპოლუსას გამოყენების შემთხვევაში,  $RC$ —ავტოგენერატორი შეიძლება აიგოს ტრანზისტორულ მაძლიერებელ კასკადზე ან ოპერაციულ მაძლიერებელზე. 12.2 ნახაზზე ნაჩვენებია ტრანზისტორულ კასკადზე აგებული  $RC$ —ავტოგენერატორის სქემა.  $R5$ ,  $R2$  ძაბვის გამყოფი ემიტერში ჩართულ რეზისტორთან ერთად განსაზღვრავს მაძლიერებელი კასკადის მუშა (სიმშვიდის) რეჟიმს მუდმივი დენის მიხედვით. ამავე დროს, ცვლადი დენის მიმართ პარალელურად შეერთებული  $R5$ ,  $R2$  წინადობები წარმოქმნიან სამრგოლიანი  $C$ ,  $R$ —ოთხპოლუსას მესამე წინადობას ( $R = R5 \cdot R2 / (R5 + R2)$ ).

სამრგოლიანი  $RC$  – სიხშირის ამომრჩევი ოთხპულსას გამოყენების შემთხვევაში აღმრული რხევების სიხშირის გასაანგარიშებლად იყენებენ შემდეგ გამოსახულებას

$$f_0 = \frac{1}{2\pi\sqrt{6}RC}, \quad (4)$$

თუმცა ეს თეორიული გამოსახულება სიხშირის ფრიად საორენტაციო მნიშვნელობას იძლევა. ამ სიხშირეზე სამრგოლიანი  $RC$ -ოთხპულსას გადაცემის კოეფიციენტი ეტოლება:  $\beta = -\frac{1}{29}$ , რაც იმას ნიშნავს, რომ ამპლიტუდური ბალანსის პირობა

( $K\beta \geq 1$ ) შესრულდება, როდესაც  $K \geq 29$ .

### 3. მითითებები ლაბორატორიული სამუშაოს შესრულებაზე

ლაბორატორიული სამუშაო უნდა შესრულდეს მას შემდეგ, რაც შესწავლილი იქნება მე-2 კუნქტური მოცემული თეორიული საკითხები. დამატებით მიზანშეწონილია [1]-ის გამოყენება.

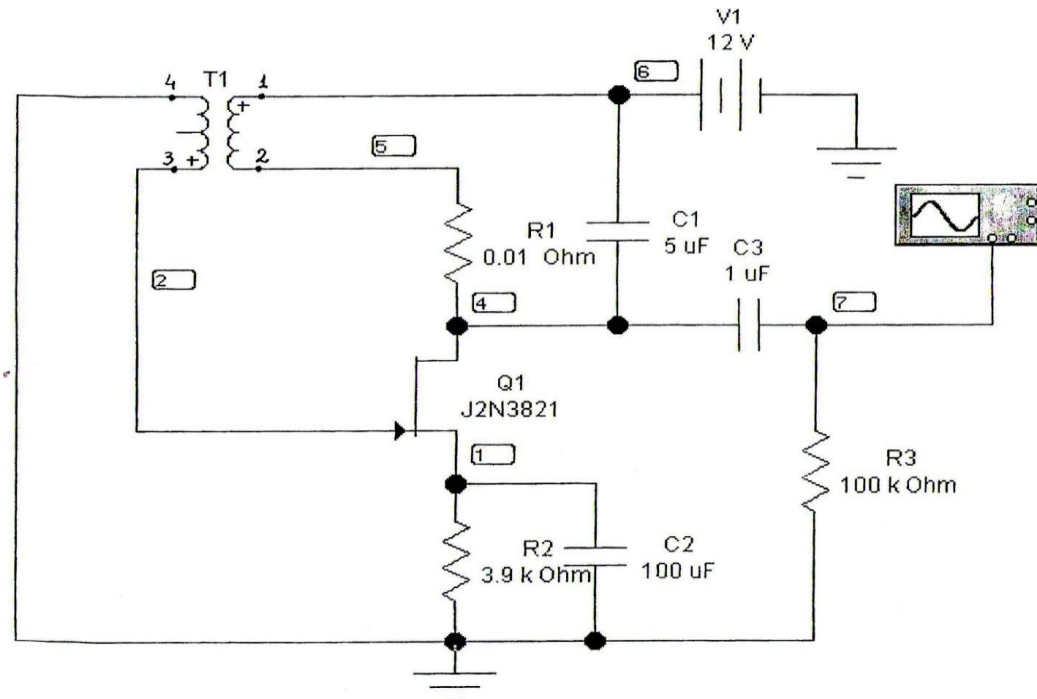
### 4. ლაბორატორიული სამუშაოს შინაარსი

- 4.1. ჰარმონიული რხევის  $LC$  – ავტოგენერატორის გამოკვლევა.
- 4.2. ჰარმონიული რხევის  $RC$  – ავტოგენერატორის გამოკვლევა.

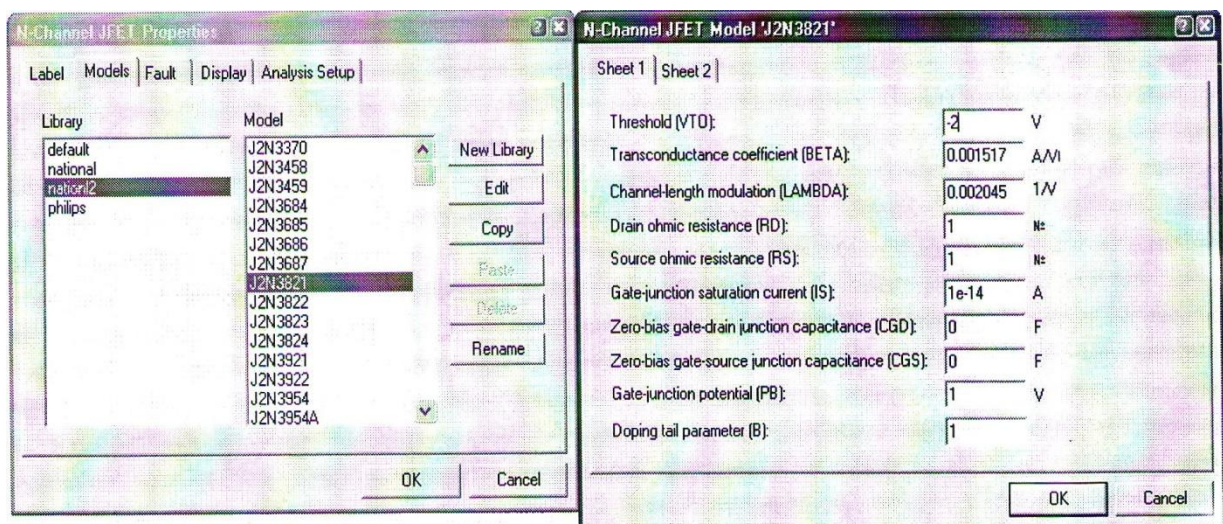
### 5. ჰარმონიული რხევის აპტობენერატორების გამოსაპვლევი ვიზუალური ლაბორატორიული დანადგარის აღწერა

5.1. ჰარმონიული რხევის  $LC$  – ავტოგენერატორის ვირტუალური ლაბორატორიული დანადგარი აიწყობა 12.1 ნახაზზე მოცემული ესკიზის მიხედვით.

სქემაში აქტიურ ელემენტად გამოყენებულია  $p-n$  გადასასვლელიანი ველით მართვადი ტრანზისტორი. მისი სადიალოგო პარამეტრების ფანჯარა 12.2 ნახაზზეა ნაჩვენები.

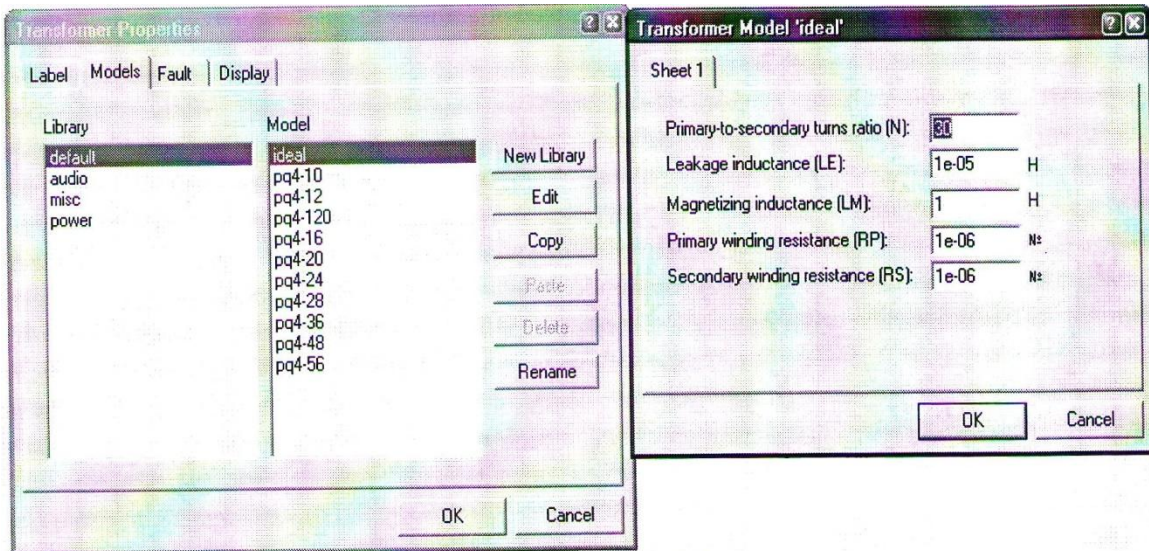


ნახ.12.1.  $LC$  – ავტოგენერატორის სქემა



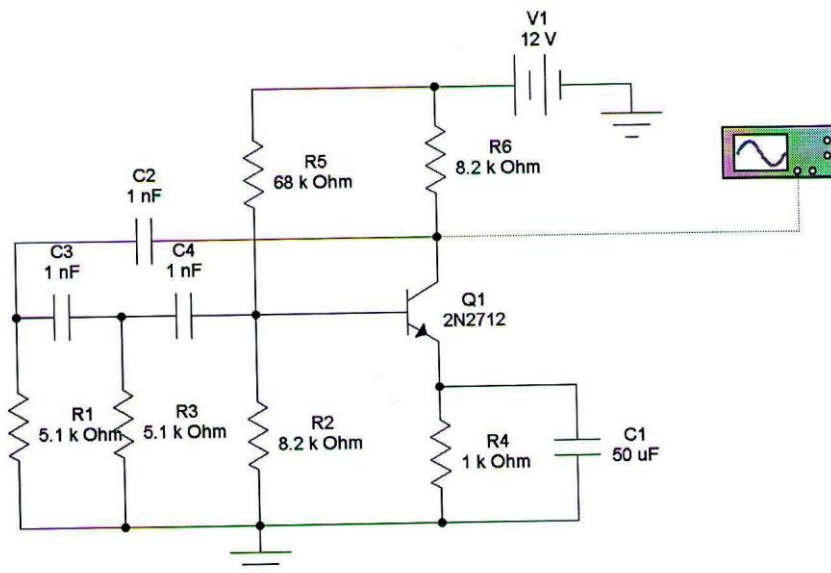
ნახ.12.2. J2N3821 კელით მართვადი ტრანზისტორის სადიალოგო  
პარამეტრების ფანჯარა

ტრანზისტორის ჩასადინარის წრედში ჩართული  $LC$  – რევითი კონტურის პარამეტრებს განსაზღვრავს  $C1$  კონდენსატორის ტევადობა და  $T1$  იდეალური ტიპის ტრანსფორმატორის პირველადი გრაგნილის ინდუქციურობა (Magnetizing Inductance).  $T1$  ტრანსფორმატორის მეორეული გრაგნილით განხორციელებულია დადებითი უცავშირი ( $\beta = 1/30$ ).



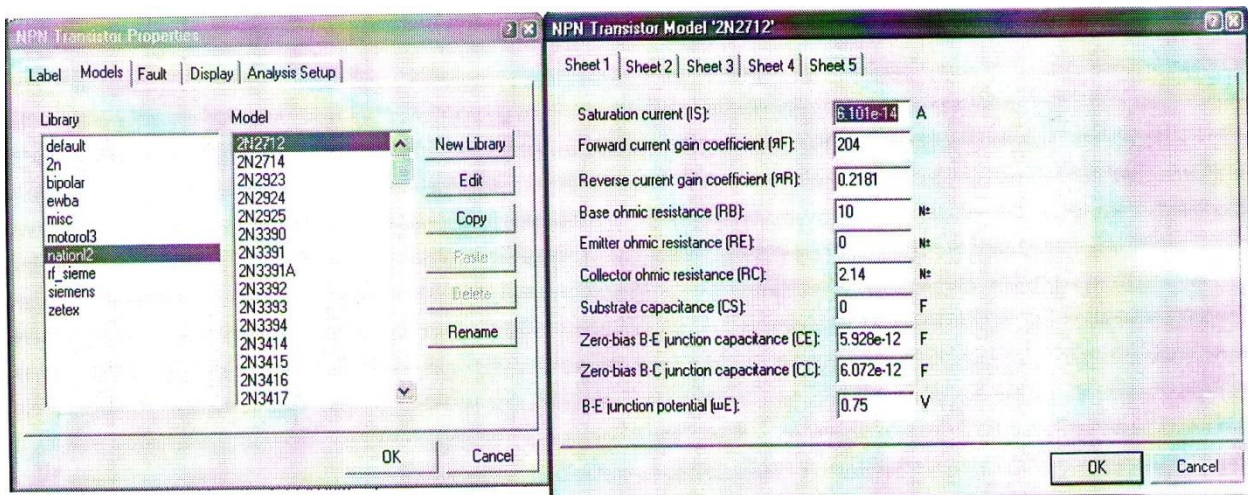
ნახ.12.3. Ideal ტიპის ტრანსფორმატორის სადიალოგო პარამეტრების ფანჯარა

5.2. ჰარმონიული რხევის  $RC$  – ავტოგენერატორის ვირტუალური ლაბორატორიული დანადგარი აიწყობა 12.4 ნახაზზე მოცემული ესკიზის მიხედვით.



ნახ.12.4.  $RC$  – ავტოგენერატორის სქემა

$RC$  – ავტოგენერატორი აწყობილია **2N2712** ტიპის ტრანზისტორულ მაძლიერებელ ჯასკადზე.



### ნახ.12.5. 2N2712 ტიპის ტრანზისტორის სადიალოგო პარამეტრების ფანჯარა

## 6. ლაბორატორიული სამუშაოს შესრულების თანამიმდევრობა

**6.1. ჰარმონიული რხევის  $LC$  – ავტოგენერატორის მუშაობის გამოკვლევას ვახორციელებთ 12.1 ნახაზზე წარმოდგენილი ვირტუალური სქემის გამოყენებით.**

ტრანსფორმატორის სადიალოგო ფანჯარაში დავაფიქსიროთ 1 ჰენრის ტოლი ინდუქციურობა და ჩავრთოთ მოდელირების რეჟიმი. ოსცილოსკოპი ვამუშაოთ გაფართოებული ექრანით და განვსაზღვროთ გენერირებული რხევის სიხშირე ამისათვის ვიყენებთ სამიზნებელ სახაზავებს და ვპოულობთ აღძრული ჰარმონიკული რხევის პერიოდს  $T = T_2 - T_1$ , რომლის მიხედვითაც ვიპოვით ჰარმონიული რხევის სიხშირე  $f_0$  –  $f_0 = \frac{1}{T}$ .

ვამოწმებთ მიღებულ შედეგს (3) თეორიული გამოსახულების მიხედვით გაანგარიშებულ მნიშვნელობასთან შედარების გზით და ვაკეთებთ შესაბამის დასკვნას.

ვიკვლევთ ავტოგენერატორის სქემაში თვითაღგზნების რეჟიმის აღძრისა და აღძრული რხევების შენარჩუნებისათვის ფაზური და ამპლიტუდური ბალანსის პირობების დაცვის აუკილებლობას.

ფაზური ბალანსის პირობის დარღვევით გამოწვეული შედეგის შესამოწმებლად შევცვალოთ ტრანზისტორული მაძლიერებელი კასკადის შესავალზე ტრანსფორმატორის მეორეული გრაგნილის ბოლოების მიერთების თანმიმდევრობა. ვრთავთ მოდელირების რეჟიმს და ვახდებთ მიღებული შედეგის ახსნას.

ამპლიტუდური ბალანსის პირობის დარღვევით გამოწვეული შედეგის შესამოწმებლად ვზრდით რხევით კონტურში დანაკარგების გავლენის საიმიტაციო ჩართული  $R1$  რეზისტორის წინადობის სიდიდეს და ვრწმუნდებით, რომ ამ წინადობის

გარკვეული სიდიდის დროს რხევების გენერაცია შეწყდება. ვახდენთ მიღებული შედეგის ახსნას.

ვცვლით ტრანსფორმატორის პირველადი გრაგნილის ინდუქციურობას და  $C1$  კონდენსატორის ტევადობას ინდივიდუალური დავალების შესაბამისად და ვახდენთ აღმტვრული რხევების სიხშირის გაზომვას ინდუქციურობისა და ტევადობის ყოველი წყვილი მნიშვნელობის დროს. შედეგები შეგვაქვს ცხრილში. ამავე ცხრილში შეგვაქვს გაანგარიშებით მიღებული სიხშირის მნიშვნელობები. ვაკეთებთ სათანადო დასკვნას.

ცხრილი 1

$L$ , ჰნ	0,05	.	.	.
$C$ , მკფ	0,01	.	.	.
$f_0$ ჸც	გაზომვებით			
	თეორიული გაანგარიშებით			

6.2. პარმონიული რხევის  $RC$  – ავტოგენერატორის მუშაობის გამოკვლევას ვახორციელებთ 12.4 ნახაზზე მოცემული ვირტუალური სქემის გამოყენებით.

ვრთავთ მოდელირების რეჟიმს და ოსცილოსკოპის ეკრანზე მიღებული ოსცილოგრამით ვრწმუნდებით, რომ გენერატორის გამოსასვლელზე აღიძვრა მდგრადი სინუსოიდური რხევები. ოსცილოგრამის მიხედვით დავადგენთ აღძრული რხევების თეორიულ მნიშვნელობას და ვადარებთ გაზომვებით მიღებულ შედეგს.

ვცვლით  $RC$  – ფაზის დამძვრელი რგოლების კონდენსატორის ტევადობას და ტევადობის ყოველი მნიშვნელობის დროს ვზომავთ გენერირებული რხევების სიხშირეს. გაზომვის შედეგები და თეორიულად გაანგარიშებული სიხშირის მნიშვნელობები შეგვაქვს №2 ცხრილში.

ცხრილი 2

$R$ , გომ	5,1	5,1	5,1	5,1
$C$ , ნფ	5	10	15	20
$f_0$ ჸც	გაზომვებით			
	თეორიული გაანგარიშებით			

შედგენილი ცხრილის მიხედვით ვაკეთებთ სათანადო დასკვნას.

## 7. ლაბორატორიული სამუშაოს ანგარიშის შინაარსი

- 7.1.  $LC$  – და  $RC$  – ავტოგენერატორების ვირტუალური სქემები და მათი აღწერა.
- 7.2. პარმონიკული რხევების გენერაციისათვის საჭირო ამპლიტუდური და ფაზური ბალანსის პირობის შემოწმების შედეგები.
- 7.3. გენერირებული რხევების საანგარიშო გამოსახულებები.
- 7.4. შედგენილი ცხრილები და მიღებული შედეგის ანალიზი.
- 7.5. მიღებული შედეგების ზოგადი ანალიზი. დასკვნები.

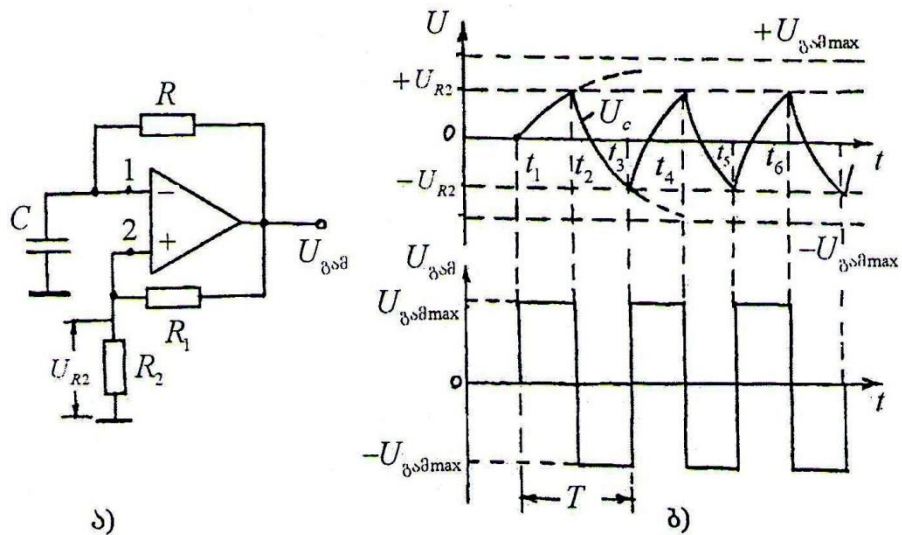
**ლაპორატორიული სამუშაო №12**  
**მართვული ფორმის რხევების გენერატორების  
ბაზოპლაზა**

## 1. სამუშაოს მიზანი

მართვული ფორმის რხევების გენერატორის (მულტივიბრატორის) და დამუხრუჭებული მულტივიბრატორის (მონოვიბრატორის) მუშაობის გამოკვლევა ვირტუალური მოდელირების EWB პროგრამის გამოყენებით.

## 2. მოპლაზა თეორიული ცნობები

როდესაც ავტოგენერატორში თვითაღგზნების პირობები სრულდება არა მხოლოდ ერთი რომელიმე სიხშირის დროს, არამედ რამდენიმე სიხშირისათვის ან სიხშირეთა ზოლისათვის, მაშინ ასეთი გენერატორის გამოსავალზე მიიღება ჰარმონიულისაგან განსხვავებული რთული ფორმის რხევები (მათ შორის, მართვული ფორმის რხევა), რომელიც შეიცავს სხვადასხვა სიხშირის რხევათა (ჰარმონიკათა) განსაზღვრულ სპექტრს. ასეთი გენერატორებიდან პრაქტიკაში ყველაზე ფართოდ გავრცელებულია მართვული რხევების გენერატორი, რომელსაც მულტივიბრატორი ეწოდება.



ნახ.13.1. ავტორხევითი მულტივიბრატორის სქემა (ა); ძაბვების დიაგრამები (ბ)

მულტივიბრატორი შეიძლება აიწყოს როგორც ტრანზისტორებზე, ისე ინტეგრალურ მიკროსქემებზე. 13.1 ნახაზზე ნაჩვენებია ოპერაციული ინტეგრალური მიკროსქემების ბაზაზე აწყობილი ავტორხევითი მულტივიბრატორის სქემა. ოპერაციულ

მაძლიერებელზე მკვებავი ძაბვების მიწოდებისას, საწყის ეტაპზე, მაინვერსირებელ 1-შესავალს, რომელიც  $C$  კონდენსატორის გავლით საერთო სალტესთანაა მიერთებული (ეს უკანასკნელი  $\perp - \text{სიმბოლო}$  აღნიშნული), ნულის ტოლი პოტენციალი აქვს ( $C$  კონდენსატორი განმუხტულ მდგომარეობაშია). არამაინვერსირებელ 2-შესავალს კი  $R_1, R_2$  ძაბვის გამოყოფით მიეწოდება დადებითი უპუკავშირის ძაბვა. ცხადია, მკვებავი ძაბვების მიერთებამდე  $U_{\text{გა}} = 0$ . ძაბვების მიერთებისას აუცილებლად ექნება ადგილი  $U_{\text{გა}}$  ძაბვის გადახრას ნულიდან დადებითი ან უარყოფითი მიმართულებით. დაუშვათ, რომ ძაბვებთან მიერთებისას მულტივიბრატორის გამოსავალზე აღიძვრა  $\Delta U_{\text{გა}} > 0$  ძაბვის მცირე ნაზრდი. ეს ძაბვა  $R_1, R_2$  უპუკავშირის წრედით მიეწოდება არამაინვერსირებელ შესავალს და გაძლიერების შემდეგ უბრუნდება გამოსავალს. გაზრდილი გამოსავალი ძაბვა კვლავ მიეწოდება არამაინვერსირებელ შესავალს, გაძლიერდება, გადაეცემა გამოსავალს და ა.შ. აღიძვრება ძაბვის ზვავისებრი ზრდის პროცესი, რის შედეგადაც გამოსავალი ძაბვა თითქმის მყისიერად იზრდება  $U_{\text{გა max}} -$  მდე და რჩება უცვლელი. მაშასადამე, საწყის ეტაპზე ოპერაციული მაძლიერებლის მაინვერსირებელ შესავალს აქვს ნულის ტოლი პოტენციალი, ხოლო არამაინვერსირებელ შესავალზე მოქმედებს დადებითი უპუკავშირის ძაბვა

$$U_{R_2} = \frac{R_2}{R_1 + R_2} U_{\text{გა max}} = \beta U_{\text{გა max}}, \quad (1)$$

$$\text{სადაც } \beta = \frac{R_2}{R_1 + R_2} - \text{უპუკავშირის წრედის გადაცემის კოეფიციენტია.}$$

ეს ძაბვა ოპერაციულ მაძლიერებელს ტოვებს დადებითი გაჯერების მდგომარეობაში.

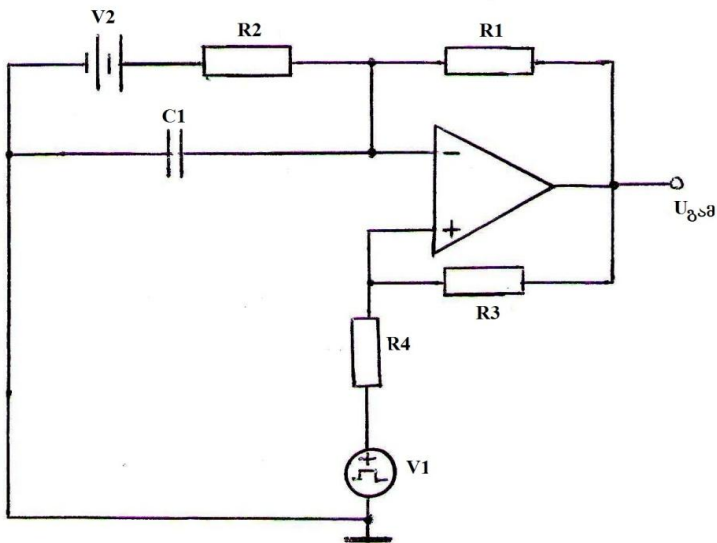
$U_{\text{გა max}}$  ძაბვა  $R$  რეზისტორის გავლით მოქმედებს  $C$  კონდენსატორზე, რის გამოც იგი იწყებს დამუხტვას  $\tau = RC$  დროის მუდმივას შესაბამისი სისტრაფით. შესაბამისად, დაიწყება მაინვერსირებელი შესავალის პოტენციალის ზრდის პროცესი. დროის  $t_2$  მომენტში (ნახ.13.1,ბ)  $U_C$  ძაბვა (მაინვერსირებელ შესავალზე მოქმედი ძაბვა) გაუტოლდება არამაინვერსირებელ შესავალზე მოქმედ  $U_{R_2}$  ძაბვას, რაც გამოიწვევს ოპერაციული მაძლიერებლის გადართვას უარყოფითი გაჯერების მდგომარეობაში (დიფერენციალური შესავალის თვისების თანახმად) და გამოსავალზე აღმოჩნდება  $-U_{\text{გა max}}$  ძაბვა. ამიტომ, არამაინვერსირებელ შესავალზე იმოქმედებს უპუკავშირის ძაბვა

$$U_{R_2} = -\beta \cdot U_{\text{გა max}}, \quad (2)$$

რომელიც უნარჩუნებს ოპერაციულ მაძლიერებელს უარყოფითი გაჯერების მდგომარეობას. ამჯერად,  $C$  კონდენსატორზე იმოქმედებს უარყოფითი ძაბვა, რის გამოც იგი დაიწყებს გადამუხტვას  $\tau = RC$  დროის მუდმივას შესაბამისი სისტრაფით.  $t_3$  მომენტში კონდენსატორის ძაბვა გაუტოლდება არამაინვერსირებელ შესავალზე მოქმედ  $U_{R_2}$  ძაბვას, რაც გამოიწვევს ოპერაციული მაძლიერებლის გადართვას დადგებითი გაჯერების მდგომარეობაში და მულტივიბრატორის გამოსავალზე პლავ აღმოჩნდება  $+ U_{\text{გრ max}}$  ძაბვა. ამით მთავრდება ავტოგენერატორის გამოსავალზე აღძრული მართვულხა ფორმის რხევის ერთი სრული პერიოდი ( $T$ ). ამის შემდეგ, ზემოაღწერილი პროცესი იწყებს განმეორებას და მულტივიბრატორის გამოსავალზე ჩამოყალიბდება მართვულხა ფორმის რხევები, რომლის სიხშირე

$$f = \frac{1}{T} = \frac{1}{2RC \ln(1 + \frac{2R_2}{R_1})}. \quad (3)$$

**დამუხსრულებული მულტივიბრატორი** (მონოვიბრატორი) წარმოადგენს განსაზღვრული ხანგრძლივობის ერთეულოვანი იმპულსების გენერატორს. მონოვიბრატორის სქემის რეალიზაცია შესაძლებელია ზემოთ განხილული მულტივიბრატორის სქემის ბაზაზე, ავტორხევითი რეჟიმის დამუხსრულების გზით. ასე, მაგალითად, 13.2 ნახაზზე წარმოდგენილი მონოვიბრატორის სქემა მიღებულია 13.1 ნახაზზე მოცემული მულტივიბრატორის სქემაში ავტორხევის დამუხსრულებით,



ნახ.13.2. მონოვიბრატორის სქემა

რაც ხორციელდება ომ-ის მაინვერსირებელ შესავალზე წანაცვლების დადებითი  $V2$  ძაბვის მიწოდებით. ამ შემთხვევაში ოპერაციული მაძლიერებელი აღმოჩნდება

უარყოფითი გაჯერების მდგომარეობაში, რომელიც წარმოადგენს მონოვიბრატორის საწყის მდგრად მდგომარეობას. ასეთი მდგომარეობის დროს მაინგერსირებელ შესავალზე აღმოჩნდება  $V2(1 - \beta 1) - U_{\text{გამ.მ}}^- \cdot \beta 1$  ძაბვა, რომელიც აღემატება არამაინგერსირებელ შესავალზე მოქმედ  $U_{\text{გამ.მ}}^- \cdot \beta$  ძაბვას  $[\beta 1 = R2/(R1 + R2); \beta = R4/(R3 + R4); \beta 1 / \beta < 1]$ .

როდესაც არამაინგერსირებელ შესავალზე იმოქმედებს მცირე ხანგრძლივობის (გამოსავალ იმპულსზე ნაკლები ხანგრძლივობის) დადებითი იმპულსი, რომლის ამპლიტუდა მეტია  $U_{\text{გამ.მ}}^- \cdot \frac{R_4}{R_3 + R_4}$  ძაბვაზე, ომ გადაირთვება დადებითი გაჯერების მდგომარეობაში. გადართვის შემდეგ  $C1$  კონდენსატორი იწყებს გადამუხტვას  $R1$  რეზისტორზე საწყისი ( $V2(1 - \beta 1) - U_{\text{გამ.მ}}^- \cdot \beta 1$ )-დან  $U_{\text{გამ.მ}}^+ \cdot R4/(R3 + R4)$  ძაბვამდე, რის შემდეგაც ოპერაციული მაძლიერებლის გამოსავალი ბრუნდება საწყის მდგრად მდგომარეობაში. თუ ვიგულისხმებთ, რომ  $U_{\text{გამ.მ}}^+ = U_{\text{გამ.მ}}^-$ , მაშინ ფორმირებული იმპულსის ხანგრძლივობა

$$T = \beta_1 R1 C1 \ln \left\{ 2\beta 1 / [\beta 1 + (1 - \beta 1) \frac{V2}{U_{\text{გამ.მ}}^+} - \beta] \right\}. \quad (4)$$

### 3. მითითებები ლაბორატორიული სამუშაოს შესრულებაზე

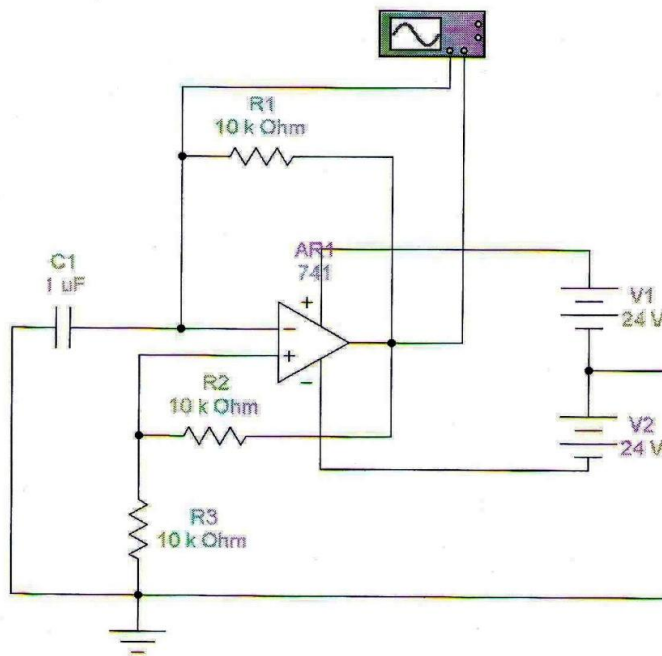
ლაბორატორიული სამუშაოს შესრულება უნდა მოხდეს მას შემდეგ, რაც შესწავლილი იქნება მართკუთხა ფორმის რხევების გენერატორების მუშაობასთან დაკავშირებული თეორიული საკითხები.

### 4. ლაბორატორიული სამუშაოს შინაარსი

- 4.1. ავტორხევითი მულტივიბრატორის მუშაობის გამოკვლევა.
- 4.2. დამუხსრუჭებული მულტივიბრატორის (მონოვიბრატორის) მუშაობის გამოკვლევა.

### 5. მართგუთხა ფორმის რხევების გენერატორების ვირტუალური ლაბორატორიული დანადგარი ლაბორატორიული დანადგარის აღწერა

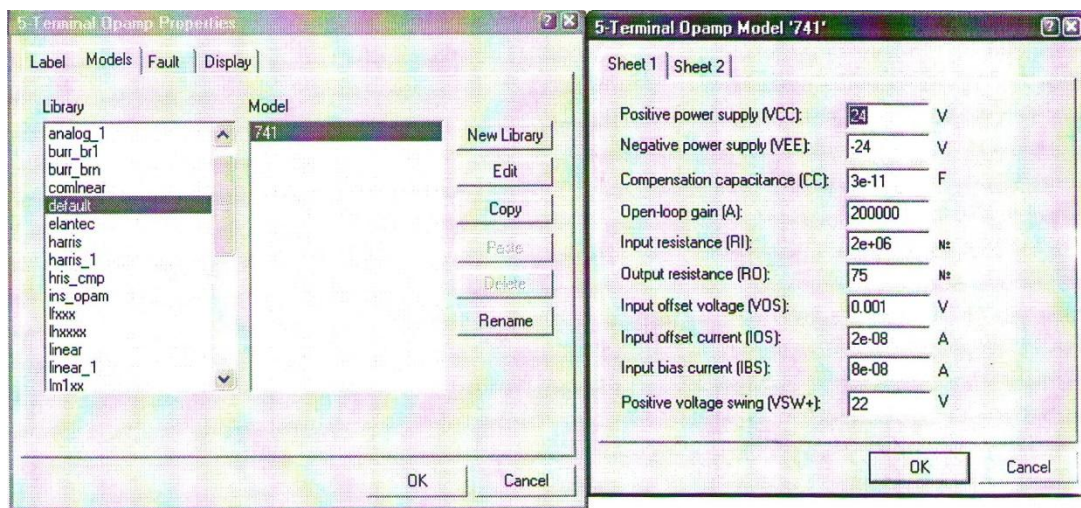
- 5.1. ავტორხევითი მულტივიბრატორის ვირტუალური ლაბორატორიული დანადგარი აიწყობა 13.3 ნახაზზე მოცემული ესკიზის მიხედვით.



ნახ.13.3. აგტორსევითი მულტივიბრატორის სქემა

სქემაში გამოყენებულია ხუთგამომყვანიანი იდეალური ტიპის ოპერაციული მაძლიერებელი. მის სადიალოგო პარამეტრთა ფანჯარაში ფიქსირდება:

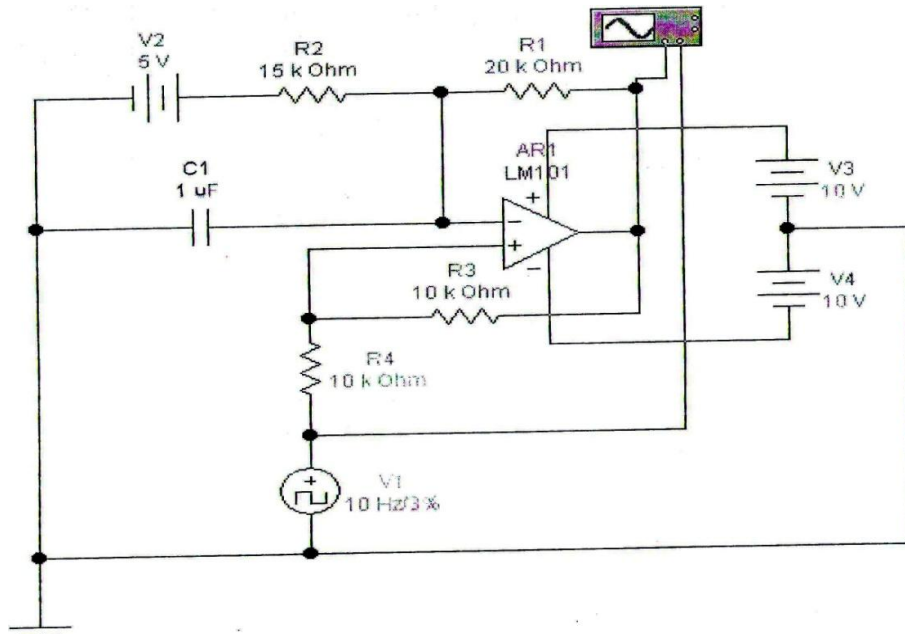
- კვების დადებითი ძაბვა, ვ (Positive power supply [VCC]);
- კვების უარყოფითი ძაბვა, ვ (Negative power supply [VEE]);
- ძაბვის გაძლიერების კოეფიციენტი (Open-loop gain [A]);
- შესავალი წინაღობა, ომ, (Input resistance [RI]);
- გამოსავალი წინაღობა, ომ (Output resistance [RO]);
- ნულის წანაცვლების ძაბვა, ვ (Input offset voltage [VOS]);
- გამოსავალი ძაბვის დადებითი მაქსიმალური მნიშვნელობა, ვ (Positive voltage swing [VSW+]);
- გამოსავალი ძაბვის უარყოფითი მაქსიმალური მნიშვნელობა, ვ (Negative voltage swing [VSW-]) და სხვ.



ნახ.13.4. ხუთგამომყვანიანი იდეალური ტიპის ოპერაციული მაძლიერებლის  
სადიალოგო პარამეტრების ფანჯარა

**C1** კონდენსატორი, რომელიც გენერირებული რხევების სიდიდის დამკავეთია, ერთი ბოლოთი მიერთებულია ომ-ის მაინვერსირებელ შესავალთან, ხოლო მეორე ბოლოთი საერთო სალტესთან. დადებითი უკუკავშირი განხორციელებულია  $R2$ ,  $R3$  რეზისტორებით.

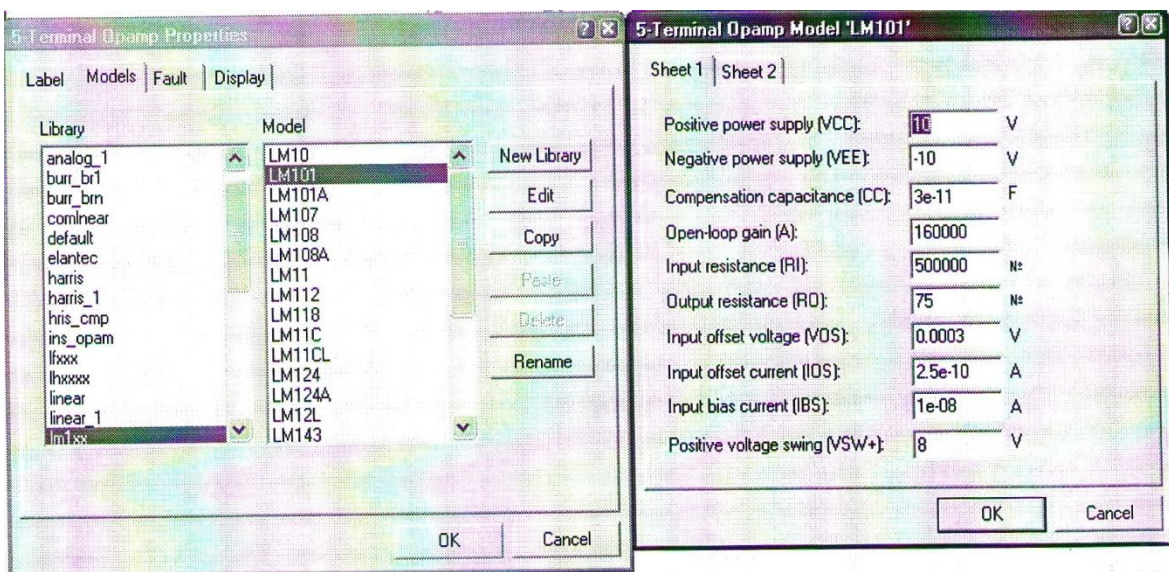
**5.2. დამუხსრუჭებული მულტივიბრატორის (მონოვიბრატორის) ვირტუალური ლაბორატორიული დანადგარი აიწყობა 13.5 ნახაზზე მოცემული ესკიზის მიხედვით.**



ნახ.13.5. დამუხსრუჭებული მულტივიბრატორის სქემა

ეს სქემა მიღებულია 13.4 ნახაზზე წარმოდგენილი მულტიპიბრატორის სქემის საფუძველზე, მაინვერსიორებელ შესავალთან  $V_2$  ძაბვის წყაროს მიერთებით, რაც რეევების დამუხრუჭების მიზეზი ხდება. გარდა ამისა, არამაინვერსიორებელ შესავალზე მიერთებულია ერთპოლარული მართკუთხა იმპულსური ძაბვის წყარო.

სქემაში გამოყენებულია **LM101** ტიპის ხუთგამომყვანიანი ოპერაციული მაძლიერებელი.



**ნახ.13.6. LM101 ტიპის ოპერაციული მაძლიერებლის სადიალოგო პარამეტრების ფანჯარა**

## 6. ლაბორატორიული სამუშაოს შესრულების თანამიმდევრობა

**6.1. ავტორხევითი მულტიპიბრატორის მუშაობის გამოკვლევას ვახორციელებთ 13.3 ნახაზზე წარმოდგენილი ვირტუალური სქემის მიხედვით.**

სქემაში გამოყენებული ხუთგამომყვანიანი ოპერაციული მაძლიერებლის ტიპის დასახელება, რევის სიხშირის დამკვეთი  $C_1$ ,  $R_1$  კომპონენტების პარამეტრების მნიშვნელობები და დადებითი უკუკავშირის წრედში ჩართული  $R_2$ ,  $R_3$  რეზისტორების წინადობების მნიშვნელობები სტუდენტს ეძლევა ინდივიდუალური დავალების სახით.

13.3 ნახაზზე მოცემული ესკიზის მიხედვით ავტორხევითი მულტიპიბრატორის ვირტუალური სქემის აწყობის შემდეგ ჩავრთავთ მოდელირების რეჟიმს. გაფართოების რეჟიმში მომუშავე ოსცილოსკოპის ეკრანზე მულტიპიბრატორის გამოსავალი ძაბვის ოსცილოგრამის მიღების შემდეგ, **Pause** დილაკზე დაჭრით შევაჩერებთ მოდელირების რეჟიმს. სამიზნებელი სახაზავების დახმარებით ვზომავთ მულტიპიბრატორის გამოსავალი ძაბვის პერიოდს  $T = T_2 - T_1$ .

ვსარგებლობთ ავტორენივითი მულტივიბრატორის გამოსავალი ძაბვის რხევის პერიოდის საანგარიშო (3) გამოსახულებით და სქემაში გამოყენებული ელემენტების პარამეტრების გათვალისწინების შემდეგ ვსაზღვრავთ პერიოდის სიდიდეს. ვადარებთ გაზომვითა და გაანგარიშებით მიღებული პერიოდის მნიშვნელობებს და ვაკეთებთ სათანადო დასკვნას.

ვარკვევთ მულტივიბრატორის გამოსავალზე მიღებული რხევების პერიოდისა და რხევების ფორმის დამოკიდებულების ხასიათს:

- ოპერაციული მაძლიერებლის გამოსავალი ძაბვის მაქსიმალურ მნიშვნელობაზე ( $U_{\text{გამ.}} +, U_{\text{გამ.}} -$ ), რისთვისაც ოპერაციული მაძლიერებლის სადიალოგო პარამეტრების ფანჯარაში ვაფიქსირებთ აღნიშნული ძაბვების სხვადასხვა მნიშვნელობებს 5 კ-დან 20 კ-ის ფარგლებში, ხოლო სქემის სხვა ელემენტების პარამეტრებს ვტოვებთ უცვლელად;

- $\tau = R1C1$  დროის მუდმივაზე, სქემის სხვა ელემენტების პარამეტრების უცვლელი შენარჩუნების პირობებში;

- დადებითი უკუკავშირის წრედის  $\beta$  გადაცემის კოეფიციენტზე, სქემის სხვა ელემენტების პარამეტრების უცვლელი შენარჩუნების პირობებში.

მოდელირების შედეგები შეგვაქვს ცხრილებში, რომელთა მიხედვითაც ავაგებთ შესაბამისი დამოკიდებულებების გრაფიკებს  $T = f(U_{\text{გამ.}})$ ;  $T = f(\tau)$ ;  $T = f(\beta)$ . ამ დამოკიდებულებების გაანალიზების საფუძველზე ვაკეთებთ დასკვნას.

ცხრილი 1

$C1, \mu F$					
$R1, \text{ გოგ}$					
$R2, \text{ გოგ}$					
$R3, \text{ გოგ}$					
$U_{\text{გამ.}}, 3$ (VSW)	5	10	14	18	22
$T, \text{ გლოგ}$					

ცხრილი 2

$U_{\text{გამ.}}, 3$ (VSW)	14				
$R2, \text{ გოგ}$					
$R3, \text{ გოგ}$					
$C1, \mu F$					
$R1, \text{ გოგ}$					
$\tau, \text{ გლოგ}$					
$T, \text{ გლოგ}$					

$U_{\text{გვ.მ.}}, \text{ვს} \text{ მ}$					
$C1, \mu F$					
$R1, \Omega$					
$R2, \Omega$					
$R3, \Omega$					
$\beta$					
$T, \text{მდგ}$					

## 6.2. დამუხსრულებული მულტივიბრატორის (მონოვიბრატორის) მუშაობის გამოკვლევას ვახდენთ 13.5 ნახაზზე მოცემული სქემის მიხედვით.

6.1. პუნქტის ანალოგიური ინდივიდუალური დავალების მიღების შემდეგ, სქემის ვირტუალური კომპონენტების სადიალოგო პარამეტრების ფანჯარაში შეგვაძვს შესაბამისი მნიშვნელობები და ვრთავთ მოდელირების რეჟიმს. გაფართოების რეჟიმში მომუშავე ოსცილოსკოპის ეკრანზე გამოსავალი იმპულსური ძაბვის ოსცილოგრამის მიღების შემდეგ, **Pause** დილაპზე დაჭრით, შევაჩერებთ მოდელირების რეჟიმს და გავზომავთ გამოსავალი იმპულსური ძაბვის განმეორების პერიოდს  $T = T_2 - T_1$ .

ვიყენებთ დამუხსრულებული მულტივიბრატორის გამოსავალზე გენერირებული რხევების პერიოდის გასაანგარიშებელ (4) გამოსახულებას და სქემაში გამოყენებული ელემენტების პარამეტრების გათვალისწინებით ვპოულობთ  $T$  პერიოდის თეორიულ მნიშვნელობას. ვადარებთ გაზომვით და თეორიული გაანგარიშებით მიღებულ მნიშვნელობებს და ვაკეთებთ სათანადო დასკვნას.

შევისწავლით მონოვიბრატორის გამოსავალზე მიღებული რხევების მდგრადობისა და ფორმირებული იმპულსის ხანგრძლივობის ( $t_o$ ) დამოკიდებულების ხასიათს წანაცვლების  $V2$  ძაბვაზე, დადებითი და უარყოფითი უკუპავშირის კოეფიციენტზე ( $\beta, \beta_1$ ), აგრეთვე  $C1$  კონდენსატორის ტევადობაზე ცალკ-ცალკე, სქემის სხვა ელემენტების პარამეტრთა უცვლელად შენარჩუნების პირობებში. მოდელირების შედეგები შეგვაძვს ცხრილებში.

3600 4

$\beta = R4 / (R3 + R4)$					
$\beta_1 = \frac{R2}{R1 + R2}$					
$C1, \mu F$					
$V2, \text{ } \Omega$					
$t_o, \text{ } \text{deg}\text{ } \forall \theta$					

3bəməgən 5

$\beta$	
$\beta_1$	
$V2, 3$	
$C1, \mu F$	
$t_o, \text{deg}\text{Vd}$	

ცხრილი 6

$V2, \text{ } \textcircled{3}$				
$C1, \mu F$				
$\beta 1$				
$R3, \text{ } \textcircled{3}$				
$R4, \text{ } \textcircled{3}$				
$\beta = \frac{R4}{R3 + R4}$				
$t_o, \text{ } \textcircled{3}$				

3brougo 7

$V2, \text{ } \textcircled{3}$				
$C1, \mu F$				
$\beta$				
$R1, \text{ } \textcircled{3}$				
$R2, \text{ } \textcircled{3}$				
$\beta_1 = \frac{R2}{R1 + R2}$				
$t_o, \text{ } \textcircled{3}$				

შედგენილი ცხრილების მიხედვით ავაგებთ შემდეგი დამოკიდებულებების გრაფიკებს:

$$t_{\text{o}} = f(V2); \quad t_{\text{o}} = f(\beta); \quad t_{\text{o}} = f(\beta_1); \quad t_{\text{o}} = f(C1).$$

ამ დამოკიდებულებების გაანალიზების საფუძველზე ვაკეთებთ დასაბუთებულ დასკვნებს.

## **7. ლაპორატორიული სამუშაოს ანგარიშის შინაარსი**

- 7.1.** ავტორხევითი და დამუხსრუჭებული მულტივიბრატორების სქემები და მათი აღწერა.
- 7.2.** გენერირებული რხევების პერიოდის საანგარიშო გამოსახულებები და გაანგარიშების შედეგები.
- 7.3.** შედეგების ცხრილები და ამ ცხრილების მიხედვით აგებული გრაფიკები.
- 7.4.** მოდელირებით მიღებული შედეგების ანალიზი. დასკვნები.

**ლაპორატორიული სამუშაო №13**  
**დისპრეზული ლოგიკური ელემენტების ბაზოპლაზა**

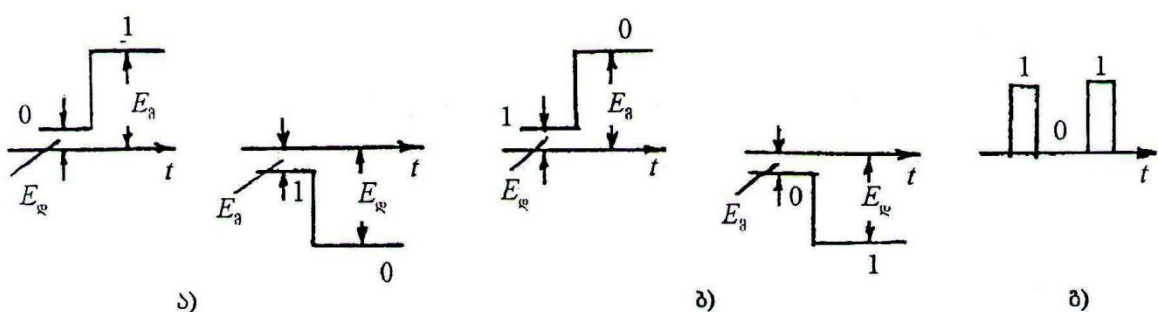
### 1. სამუშაოს მიზანი

საბაზო „და”, „ან”, „არა”, „და-არა”, „ან-არა” ლოგიკური ელემენტების მოქმედების პრინციპის შესწავლა და კომპიუტერული სქემოტექნიკური მოდელირების მეთოდების დაუფლება EWB პროგრამის გამოყენებით.

### 2. თეორიული ცნობები

თანამედროვე ელექტრონიკაში ფართოდაა გამოყენებული ორობითი კოდის სახით წარმოდგენილი ინფორმაციის მიღების, დამუშავებისა და გადაცემის ციფრული მეთოდები. ინფორმაციის ციფრული დამუშავების მოწყობილობების საფუძველს ციფრული ინტეგრალური მიკროსქემები წარმოადგენს. ციფრული ინტეგრალური მიკროსქემების გამოყენებით აიწყობა სხვადასხვა ლოგიკური მოწყობილობები, მეხსიერების მოწყობილობები, კოდის გარდამქმნელები და სხვ.

ყოველი ციფრული მიკროსქემა წარმოადგენს ლოგიკურ ელემენტთა ნაკრებს. ლოგიკური ელემენტები ციფრული ფორმით წარმოდგენილ ელექტრულ სიგნალებზე აწარმოებს მარტივ ლოგიკურ ოპერაციებს. ციფრული სიგნალები კი ჩვეულებრივ დებულობს მხოლოდ ორ რიცხვით მნიშვნელობას. ეს მნიშვნელობებია ერთი ან ნული. ლოგიკური ელემენტების შესასვლელებზე მოქმედი ციფრული სიგნალი (ე.ი. 1 და 0) წარმოდგება მაღალი და დაბალი დონის ელექტრული პოტენციალის ანდა ძაბვის იმპულსის სახით.



ნახ.14.1

როდესაც პოტენციალის მაღალ დონეს შეესაბამება ლოგიკური 1, ხოლო პოტენციალის დაბალ დონეს – ლოგიკური 0, მაშინ ასეთ ლოგიკას დადებითი, ანუ პოზიტიური ლოგიკა ეწოდება (ნახ.14.1,a). შებრუნებული შესაბამისობის შემთხვევაში

საქმე გვაქვს უარყოფით, ანუ ნეგატიურ ლოგიკასთან (ნახ.14.1,ბ). იმპულსური სიგნალის სახე ნაჩვენებია 14.1,ბ ნახაზზე. ამ შემთხვევაში, ლოგიკური ელემენტის შესავალზე ძაბვის იმპულსის მოქმედების მოქმენები ამ შესავალზე აღმოჩნდება ლოგიკური 1, ხოლო იმპულსის არარსებობის დროს ლოგიკური 0.

ორობითი (ციფრული) სიგნალების ლოგიკური გარდაქმნა მიმდინარეობს სამი ელემენტარული ოპერაციის გამოყენებით:

- ლოგიკური გამრავლება, ანუ ოპერაცია „და“;
- ლოგიკური შეკრება, ანუ ოპერაცია „ან“;
- ლოგიკური უარყოფა (ინვერსია), ანუ ოპერაცია „არა“;

*n* ცვლადის (ციფრული ფორმით წარმოდგენილი სიგნალის) ყველა შესაძლო ფუნქცია შეიძლება მიღებულ იქნეს ამ სამი ოპერაციის საშუალებით. ლოგიკური ოპერაცია კი შეიძლება წარმოდგენილი იყოს: სიტყვიერად, ცხრილის სახით, ალგებრულად და გრაფიკის სახით.

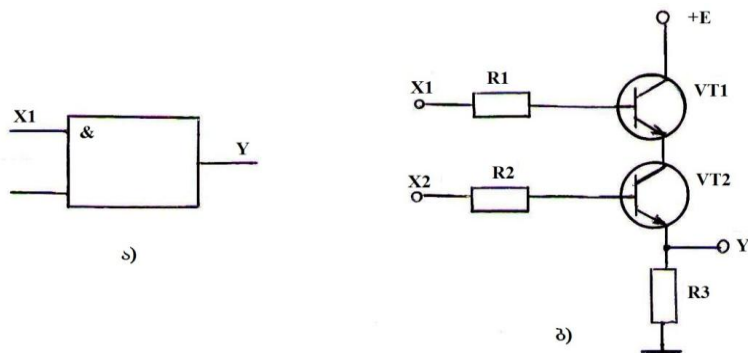
ელემენტებს, რომლებიც ასრულებს: „და“, „ან“, „არა“ ლოგიკურ ოპერაციებს, ეწოდება: და – ლოგიკური ელემენტი, ან – ლოგიკური ელემენტი და არა – ლოგიკური ელემენტი.

ზემოაღნიშნული ლოგიკური ელემენტების რეალიზაცია შესაძლებელია დისკრეტული შესრულების დიოდურ – რეზისტორული, რეზისტორულ – ტრანზისტორული და დიოდურ – ტრანზისტორული სქემების ბაზაზე.

როგორც ზემოთ იყო აღნიშნული, ლოგიკური ელემენტებით ხდება ლოგიკური ოპერაციების განხორციელება. განსხვავებით სხვა კლასის ციფრული მოწყობილობებისაგან  $m \geq 1$  შესასვლელისა და  $n \geq 1$  გამოსასვლელის მქონე ლოგიკურ ელემენტებში  $Y_j (j=1,2,\dots,n)$  გამოსავალი სიგნალი სტატიკურ რეჟიმში დამოკიდებულია მხოლოდ  $X_i (i=1,2,\dots,m)$  შესავალი სიგნალის ინფორმაციულ მნიშვნელობაზე, ე.ო. ლოგიკური ელემენტი ანხორციელებს  $Y_j = f_j(X_1, X_2, \dots, X_m)$ ,  $j=1,2,\dots,n$  ფუნქციის რეალიზაციას, რომლის დროსაც  $Y_j$  დებულობს ლოგიკური „1“-ის ტოლ მნიშვნელობებს  $X_i$  არგუმენტის განსაზღვრული მნიშვნელობების დროს და  $Y_j$  დებულობს ლოგიკური „0“-ის ტოლ მნიშვნელობებს  $X_i$  არგუმენტის სხვა დანარჩენი მნიშვნელობების დროს. თავის მხრივ,  $X_i$  დებულობს ლოგიკური „1“-ის ან ლოგიკური „0“-ის ტოლ მნიშვნელობებს.

ლოგიკური ელემენტი „და“ წარმოადგენს  $m > 1$  შესავალისა და ერთი გამოსავალის მქონე ელემენტს (კონიუნქტორს), რომელიც ანხორციელებს სიგნალების გადამრავლების ფუნქციას:  $Y = X_1 \cdot X_2 \cdot \dots \cdot X_m$  ან  $Y = X_1 \wedge X_2 \wedge \dots \wedge X_m$ , სადაც

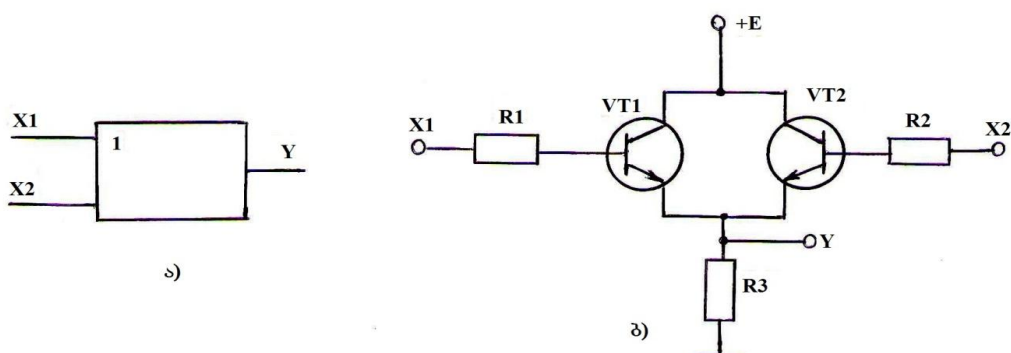
$X_1, X_2 \dots X_m$  – შესასვლელებზე მოქმედი სიგნალებია. 14.2 ნახაზზე ნაჩვენებია ორშესასვლელიანი „და” ლოგიკური ელემენტის გრაფიკული აღნიშვნა და რეზისტორულ – ტრანზისტორული სქემა.



ნახ.14.2

ამ ლოგიკური ელემენტის  $X_1, X_2$  შესასვლელებზე „1” სიგნალის არსებობისას, გამოსავალზე მიიღება სიგნალი „1” ( $Y=1$ ), ხოლო ყველა სხვა შემთხვევაში გამოსავალზე მიიღება სიგნალი „0”.

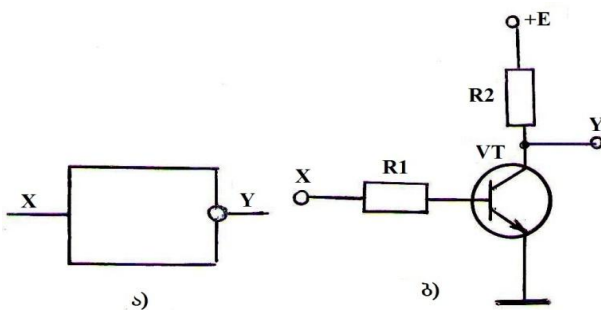
ლოგიკური ელემენტი „ან” წარმოადგენს  $m > 1$  შესავალისა და ერთი გამოსავალის მქონე ელემენტს (დიზიუნქტორს), რომელიც ანხორციელებს შესასვლელებზე მიწოდებული სიგნალების შეკრების ფუნქციას  $Y = X_1 + X_2 + \dots + X_m$ . ან  $Y = X_1 \vee X_2 \vee \dots \vee X_m$ , სადაც  $X_1, X_2 \dots X_n$  – შესასვლელებზე მოქმედი სიგნალებია. 14.3 ნახაზზე მოცემულია ორშესასვლელიანი „ან” ლოგიკური ელემენტის გრაფიკული აღნიშვნა და რეზისტორულ – ტრანზისტორული სქემა.



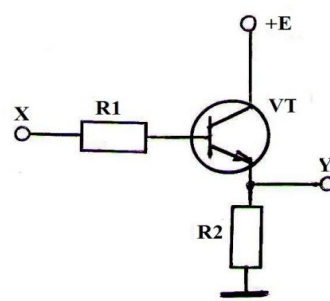
ნახ.14.3

ამ ლოგიკური ელემენტის  $X_1, X_2$  შესასვლელებზე „0” სიგნალის არსებობისას, გამოსავალზე მიიღება სიგნალი „0” ( $Y=0$ ), ხოლო ყველა სხვა შემთხვევაში გამოსავალზე მიიღება სიგნალი „1”.

ლოგიკური ელემენტი „არა” ასრულებს უარყოფის ოპერაციას. მას აქვს ერთი შესავალი და ერთი გამოსავალი. გამოსავალის სიგნალი, შესავალი სიგნალის ინვერსიულია, ამიტომ მას ინვერტორულ გასაღებსაც უწოდებენ. მის მიერ შესრულებული ფუნქცია ასე ჩაიწერება  $Y = \overline{X}$  ( $Y$  არის არა  $X$ ). „არა” ლოგიკური ელემენტის გრაფიკული აღნიშვნა და რეზისტორულ-ტრანზისტორული სქემა ნაჩვენებია 14.4 ნახაზზე. ამ ლოგიკური ელემენტის შესავალზე ლოგიკური „1”-ის მოქმედების დროს გამოსავალზე მიიღება ლოგიკური „0” და პირიქით, შესავალზე „0”-ის მოქმედების დროს, გამოსავალზე მიიღება ლოგიკური „1”.



ნახ.14.4



ნახ.14.5

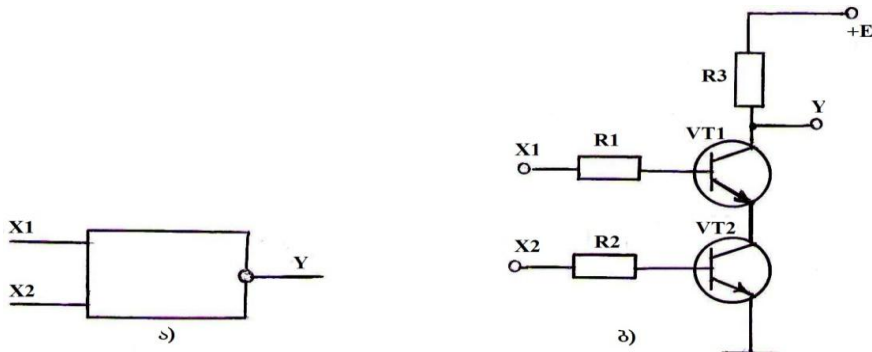
თუ 14.4,ბ ნახაზზე ნაჩვენებ „არა” ლოგიკური ელემენტის სქემაში გამოსავალ სიგნალს მოვხსნით არა ტრანზისტორის კოლექტორიდან, არამედ ემიტერიდან (ნახ.14.5), მაშინ მივიღებთ შესავალი სიგნალის მამეორებელს, რომელსაც ბუფერულ ლოგიკურ ელემენტს უწოდებენ. ასეთი ლოგიკური ელემენტის შესავალზე „1” მოქმედების დროს გამოსავალზეც მიიღება „1”, ხოლო შესავალზე „0”-ის მოქმედების შემთხვევაში, გამოსავალზე მიიღება „0”.

ბუფერული ლოგიკური ელემენტი გამოიყენება მრავალკასკადიან ლოგიკურ სქემებში გამოსავალი კასკადების შესათანხმებლად.

ზემოთ განხილული უმარტივესი ლოგიკური ელემენტების საშუალებით შეიძლება აიწყოს უფრო რთული ლოგიკური წრედები, რომლებიც ასრულებს ორ და მეტ ლოგიკურ ოპერაციას. მათ კომბინაციურ ლოგიკურ ელემენტებს უწოდებენ. მათგან ყველაზე მარტივს **და-არა, ან-არა** ლოგიკური ელემენტები წარმოადგენენ.

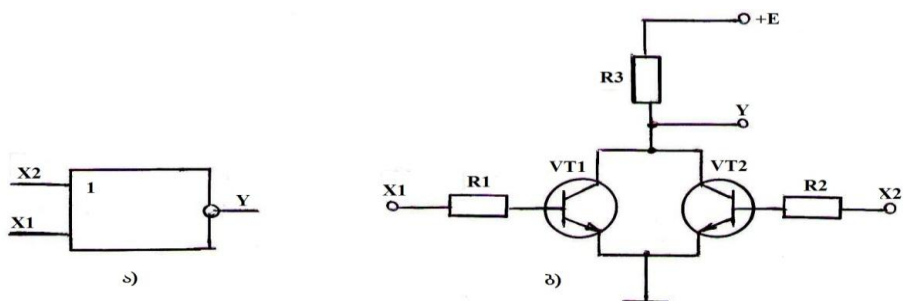
**„და-არა“** ლოგიკური ელემენტი წარმოადგენს „და“ და „არა-“ ლოგიკური ელემენტების კომბინაციას. ასეთ ლოგიკურ ელემენტს აქვს ორი ან მეტი შესავალი და ერთი გამოსავალი, რომლიც „და“ ელემენტის პირობით გრაფიკულ აღნიშვნაზე (ნახ.14.6) მცირე დიამეტრიანი წრითაა მონიშნული. ორშესასვლელიანი „და-არა“ ლოგიკური ელემენტის მიერ შესრულებული ფუნქცია ასე ჩაიწერება:  $Y = \overline{X_1 \cdot X_2}$ .

„და-არა” ლოგიკური ელემენტის პირობითი გრაფიკული აღნიშვნა და რეზისტორულ-ტრანზისტორული სქემა ნაჩვენებია 14.6 ნახაზზე



ნახ.14.6

„ან-არა” ლოგიკური ელემენტი წარმოადგენს „ან“ და „არა“ ლოგიკური ელემენტის კომბინაციას. ასეთ ლოგიკურ ელემენტს აქვს ორი ან მეტი შესავალი და ერთი გამოსავალი. ეს უკანასკნელი ან ელემენტის პირობით გრაფიკულ აღნიშვნაზე პატარა დიამეტრის წრითაა მონიშნული. ორშესასვლელიანი „ან-არა” ლოგიკური ელემენტის მიერ შესრულებული ფუნქცია ასე ჩაიწერება:  $Y = \overline{X_1 + X_2}$ . „ან-არა” ლოგიკური ელემენტის პირობითი გრაფიკული აღნიშვნა და რეზისტორულ-ტრანზისტორული სქემა 14.7 ნახაზზეა ნაჩვენები.



ნახ.14.7

### 3. მითითებები ლაბორატორიული სამუშაოს შესრულებაზე

ლაბორატორიული სამუშაო უნდა შესრულდეს მას შემდეგ, რაც შესწავლილი იქნება ლოგიკური ელემენტების მუშაობის თეორიული საკითხები.

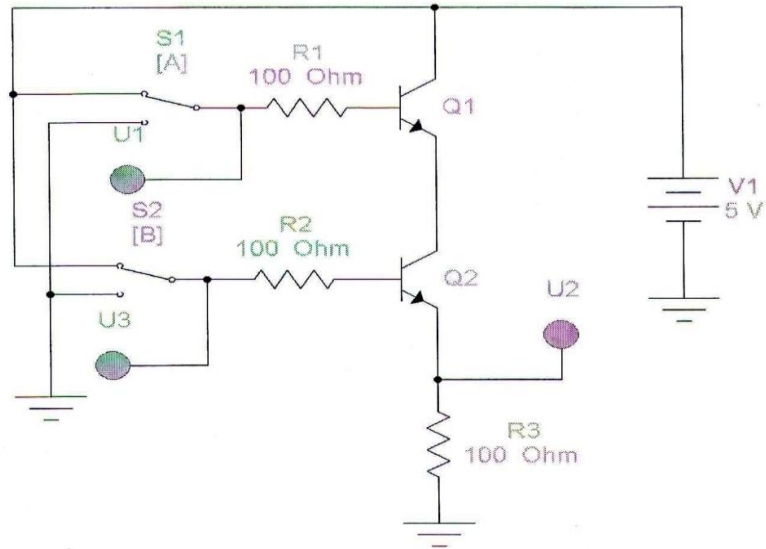
### 4. ლაბორატორიული სამუშაოს შენარჩი

**4.1. დისკრეტული შესრულების საბაზო „და”, „ან”, „არა” ლოგიკური ელემენტების სქემების გამოკვლევა.**

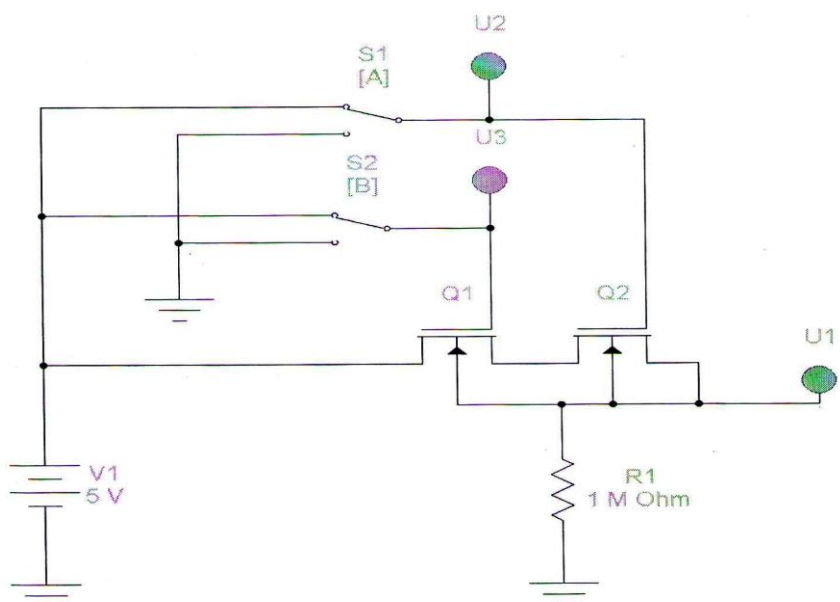
**4.2.** დისკრეტული შესრულების კომპინაციური „და-არა”, „ან-არა” ლოგიკური ელემენტების სქემების გამოკვლევა.

## 5. ვირტუალური ლაბორატორიული სტუდენტის აღწერა

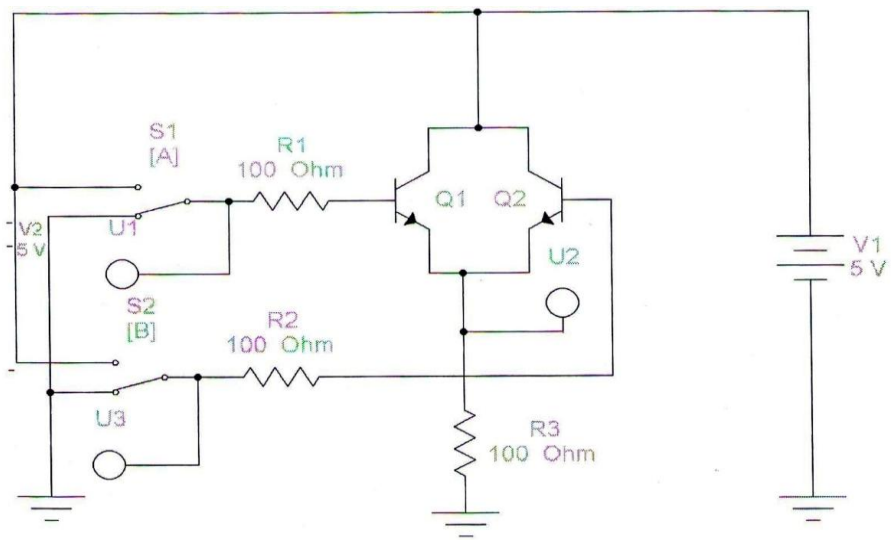
**5.1.** საბაზო „და”, „ან”, „არა” ლოგიკური ელემენტების მუშაობის გამოსაკვლევი ვირტუალური სქემები აიწყობა 14.8 ნახაზზე მოცემული ესკიზების მიხედვით.



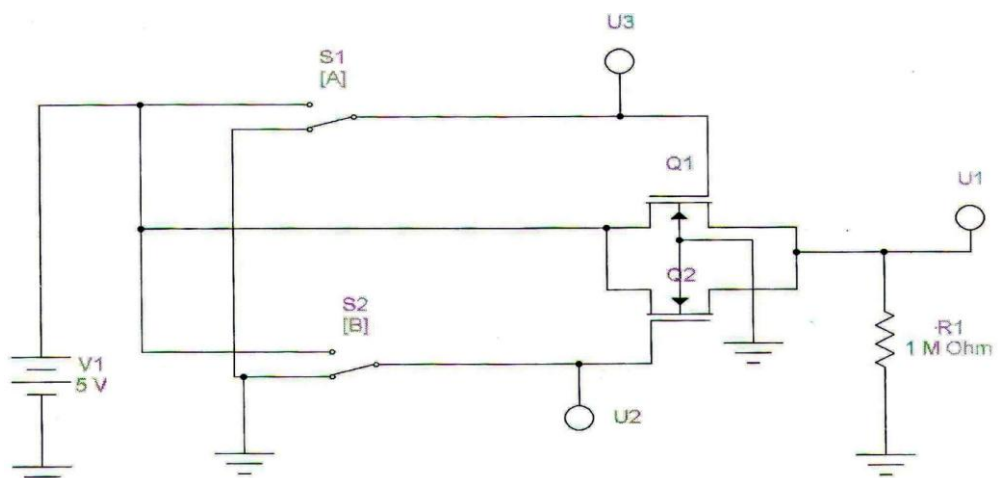
a)



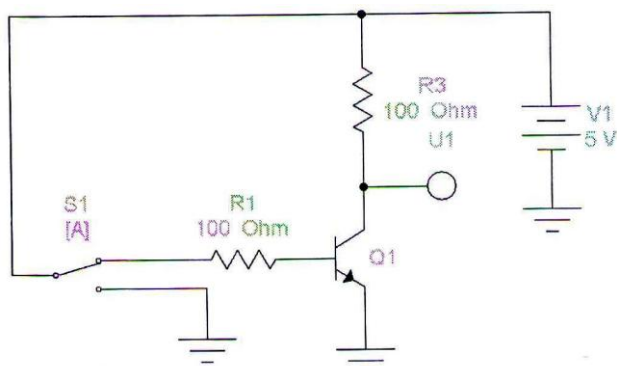
b)



д)



е)

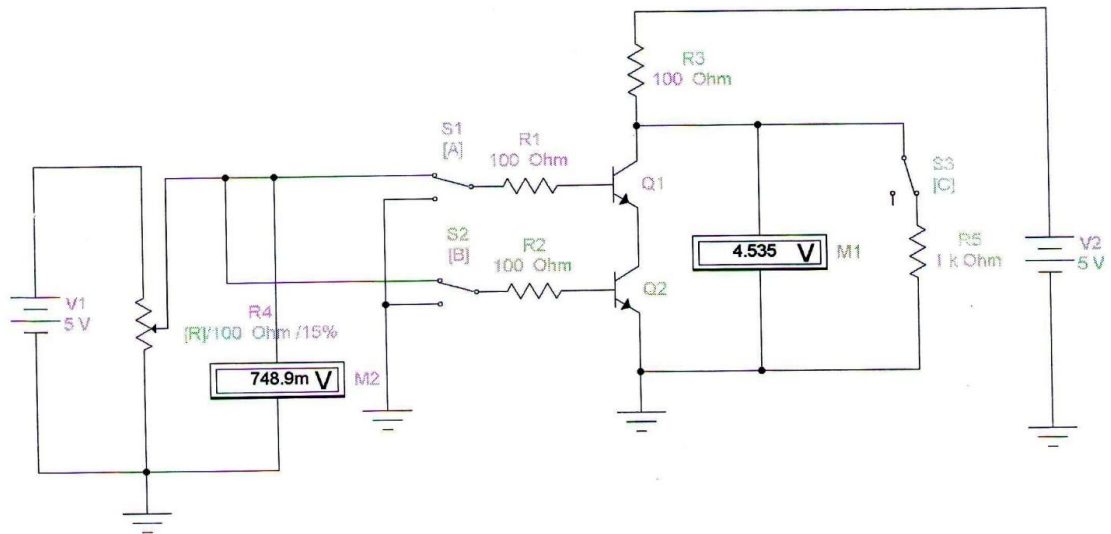


ж)

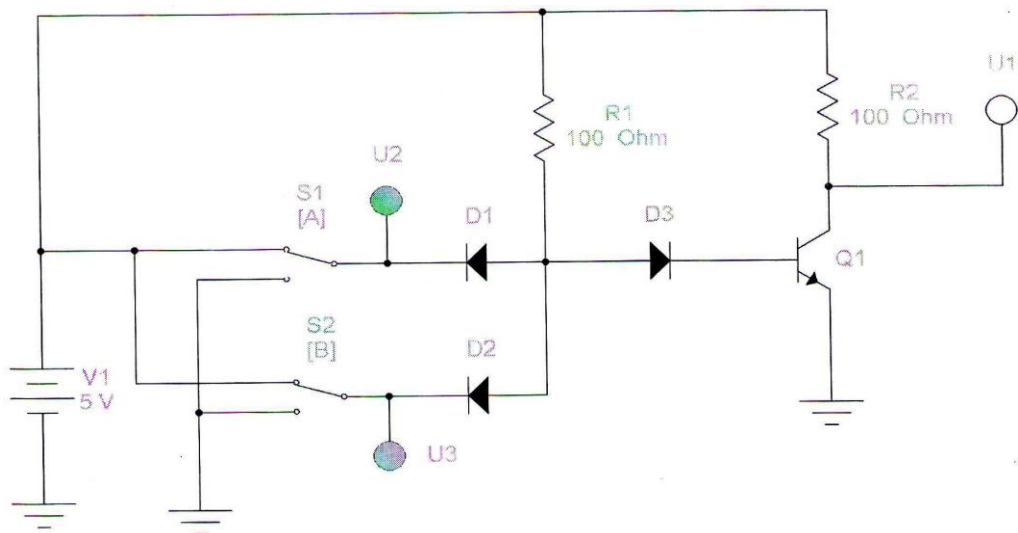
ნახ.14.8. საბაზო „და“ (ა,ბ), „ან“ (გ,დ) „არა“ (ე) ლოგიკური ელემენტების  
გირტუალური სქემები

საბაზო ლოგიკური ელემენტების ვირტუალურ სქემებში აქტიურ ელემენტად გიყენებთ როგორც ბიპოლარულ ტრანზისტორებს (ნახ.14.8,ა,ბ,ე), ისე ვეღით მართვად ტრანზისტორებს (ნახ.14.8,ბ,დ). ლოგიკური ელემენტის შესავალ და გამოსავალ წრედებს მიეწოდება მუდმივი ძაბვა ერთი წეაროდან (VI). ლოგიკური ელემენტების შესავალზე და გამოსავალზე არსებული პოტენციალის მაღალი და დაბალი დონის (ლოგიკური 1 და ლოგიკური 0) საინდიკაციოდ გამოყენებული გვაქვს ლოგიკური მსინჯავი, რომლის ამოქმედების ძაბვა 2,4 ვ-ია, რაც შეესაბამება ლოგიკური 1-ის შესაბამისი სიგნალის ნომინალურ მნიშვნელობას ციფრულ ინტეგრირებულ მიკროსქემებში (ტრლ-სერიის მიკროსქემები).

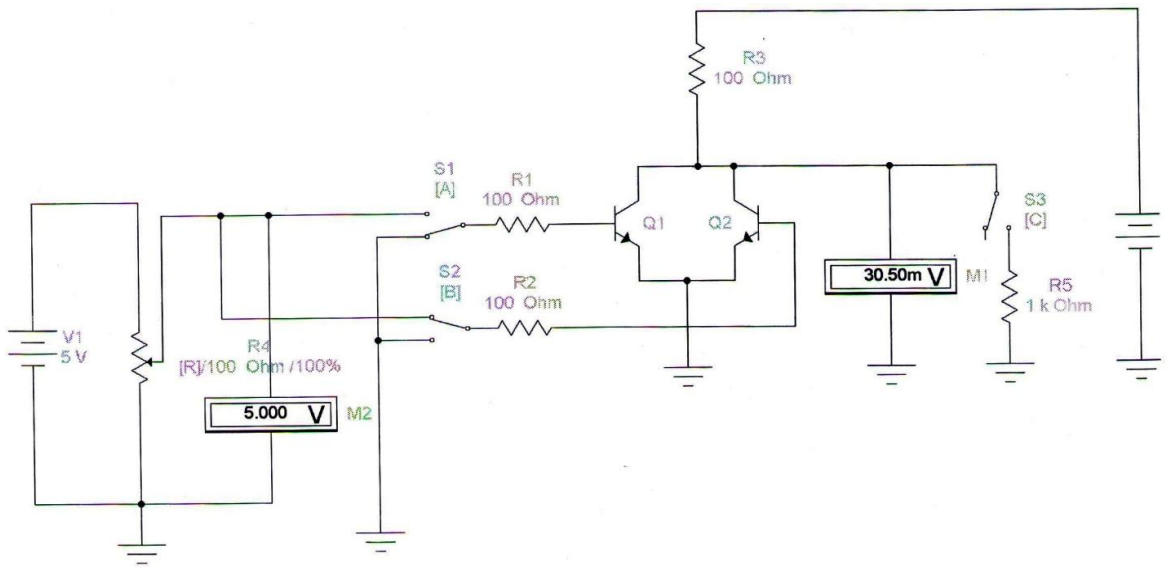
5.2. კომბინაციური „და-არა“ ლოგიკური ელემენტების მუშაობის გამოსაკვლევი ვირტუალური სქემები აიწყობა 14.9 ნახაზზე მოცემული ესკიზების მიხედვით.



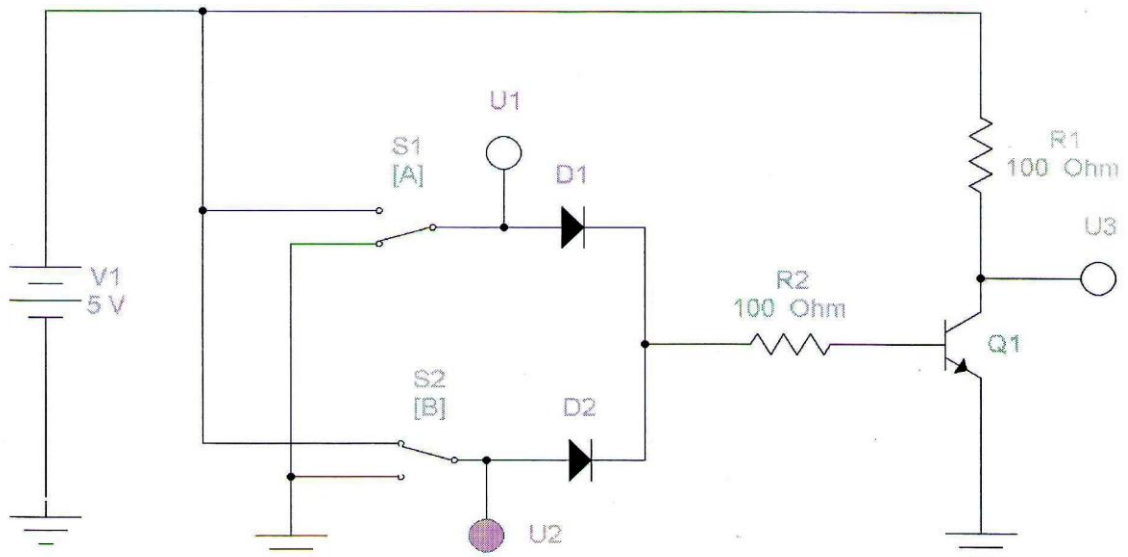
ა)



ბ)



g)



g)

ნახ.14.9. „და-არა“ (ა,ბ), „ან-არა“ (გ,დ) ლოგიკური ელემენტების გირტუალური  
სქემები

ნახაზზე წარმოდგენილია „და-არა”, „ან-არა” კომბინაციური ლოგიკური ელემენტების რეზისტორულ-ტრანზისტორული (14.9,ა,გ) და დიოდურ-ტრანზისტორული (14.9,ბ,დ) სქემები. დიოდურ-ტრანზისტორულ სქემებში ლოგიკური ელემენტის შესავალი და გამოსავალი წრედები მიერთებულია ერთ ძაბვის წყაროსთან, ხოლო რეზისტორულ-ტრანზისტორულ სქემებში შესავალი და გამოსავალი წრედები სხვადასხვა ძაბვის წყაროსთანაა მიერთებული. ამავდროულად გათვალისწინებულია ლოგიკური ელემენტის შესასვლელებზე სხვადასხვა დონის სიგნალების მიწოდების შესაძლებლობა, რაც

აუცილებელია ლოგიკური ელემენტის გადაცემის ფუნქციის გამოსაკვლევად. შესავალზე მიწოდებული და გამოსაგალზე მიღებული ძაბვის გასაზომად სქემებში ჩართულია გოლტმეტრები.

## 6. ლაბორატორიული სამუშაოს შესრულების თანამიმდევრობა

6.1. საბაზო „და”, „ან”, „არა” ლოგიკური ელემენტების მუშაობის გამოკვლევას ვახდენთ 14.8 ნახაზზე წარმოდგენილი ვირტუალური სქემების მიხედვით.

*S1, S2* გადამრთველების საშუალებით ლოგიკური ელემენტების შესასვლელებზე ვაყენებთ სიგნალების ლოგიკური მდგომარეობის ყველა შესაძლო კომბინაციას. შევადგენთ თითოეული ლოგიკური ელემენტისათვის შესაბამისობის (ჰეშმარიტების) ცხრილს. ვახდენთ მიღებული შედეგის თეორიული ახსნას, ლოგიკური ელემენტის კონკრეტული სქემის მუშაობის პრინციპიდან გამომდინარე.

ვახდენთ ლოგიკური ელემენტების მუშაობის შემოწმებას **EWB** პროგრამის ბიბლიოთეკის დენის წყაროების განყოფილებიდან გამოტანილი ერთპოლარული იმპულსების გენერატორის გამოყენებით. ამისათვის 14.8 ნახაზზე მოცემულ ლოგიკური ელემენტების სქემებში შესავალი წრედები *V1* მუდმივი ძაბვის წყაროს ნაცვლად მივაერთოთ ერთპოლარული იმპულსების გენერატორთან, რომლის სადიალოგო პარამეტრების ფანჯარაში დავაფიქსიროთ 1 ჰც-ის ტოლი სიხშირე და 50%-ის ტოლ შევსების კოეფიციენტი. სქემაში ჩავრთოთ ოსცილოსკოპი, რომლის *A* არხს ვაერთებთ ლოგიკური ელემენტის შესასვლელებთან, ხოლო *B* არხს – გამოსაგალთან. ოსცილოსკოპის გაწყობისა და ეკრანზე ოსცილოგრამის მიღების შემდეგ, **Pause** დილაკზე დაჭერით შევაჩერებთ მოდელირების პროცესს და ვაანალიზებთ ლოგიკური ელემენტის შესასვლელებზე მოქმედ და გამოსასვლელზე მიღებული სიგნალების დროით დიაგრამებს შორის დამოკიდებულების ხასიათს, *S1* და *S2* გადამრთველების სხვადასხვა მდგომარეობის დროს. ვაკეთებთ სათანადო დასკვნას.

6.2. „და-არა”, „ან-არა” კომბინაციური ელემენტების მუშაობის გამოკვლევას ვახდენთ 14.9 ნახაზზე მოცემული ვირტუალური სქემების მიხედვით.

კომბინაციური ლოგიკური ელემენტების დიოდურ-ტრანზისტორული სქემებისათვის (ნახ.14.9,ბ,დ) გათვალისწინებულია მხოლოდ შესაბამისობის (ჰეშმარიტების) ცხრილის შედგენა, ხოლო ლოგიკური ელემენტების რეზისტორულ – ტრანზისტორული სქემებისათვის (ნახ.4.19,ა,გ) გათვალისწინებულია როგორც შესაბამისობის ცხრილის შედგენა, ისე გადაცემის მახასიათებლის –  $U_{\text{გა}} = f(U_{\text{შე}})$  აგება.

გადაცემის მახასიათებლის გადაღების დროს ლოგიკური ელემენტის ორივე შესავალს მიეწოდება ერთიდაიგივე შესავალი ძაბვა, რომელიც პოტენციომეტრის

საშუალებით იცვლება 0-დან 5 გრძელი ლოგიკური ელემენტის შესავალზე და გამოსავალზე მიერთებული გოლტმეტრებზე აღებული ანათვლები შეგვაჭეს №1, №2 ცხრილებში. გადაცემის მახასიათებლის გადაღებას გახდენთ გამოსავალთან მიერთებული დატვირთვით (დატვირთვის წინადობა აიღება ინდივიდუალური დავალების მიხედვით) და დატვირთვის გარეშე.

ცხრილი 1

$X_1$	$X_2$	$Y$
0	0	
1	0	
0	1	
1	1	

ცხრილი 2

$R_{\text{g}} = \infty$	
$U_{\text{შე}}, \beta$	$U_{\text{გა}}, \beta$

ცხრილი 3

$R_{\text{g}} =$	
$U_{\text{შე}}, \beta$	$U_{\text{გა}}, \beta$

მიღებული შესაბამისობის (ჰეშმარიტების) ცხრილების მიხედვით გახდენ შედეგის ოცნების ახსნას კომპინაციური ლოგიკური ელემენტების კონკრეტული სქემის მუშაობის პრინციპიდან გამომდინარე, ხოლო გადაღებული გადაცემის მახასიათებლის მიხედვით გახდენ ლოგიკური ელემენტის მდგომარეობის ცვლილების პროცესის დახასიათებას და დავადგენთ ძაბვის ზღურბლურ მნიშვნელობებს.

## 7. ლაბორატორიული სამუშაოს პრინციპის შინაარსი

- 7.1. ლოგიკური ელემენტების მუშაობის გამოსაგვლევი სქემები და მათი აღწერა.
- 7.2. ლოგიკური ელემენტების მოდელირებით მიღებული შესაბამისობის (ჰეშმარიტების) ცხრილები და მათი ანალიზი.
- 7.3. ლოგიკური ელემენტების გადაცემის მახასიათებლები და მათი დახასიათება.
- 7.4. მიღებული შედეგების ზოგადი ანალიზი. დასკვნები.

## ლაბორატორიული სამუშაო №14

### ტრიგერების გამოყენება

#### 1. სამუშაოს მიზანი

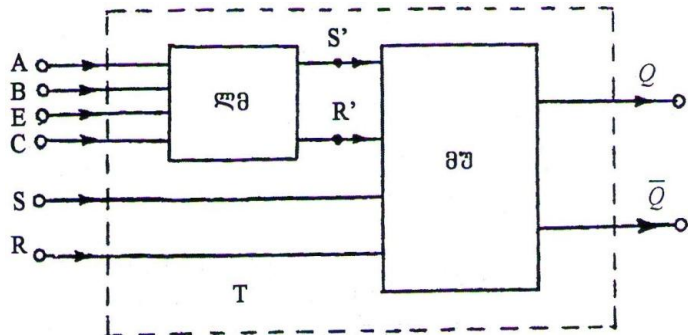
ასინქრონული და სინქრონული  $RS$  – ტრიგერების,  $D$  – ტრიგერისა და უნივერსალური  $JK$  – ტრიგერის აგების მეთოდების შესწავლა და მუშაობის გამოყენება.

#### 2. თეორიულიცნობები

ტრიგერი მიეკუთვნება ლოგიკურ მოწყობილობათა ჯგუფს. მისი მუშაობის თავისებურებაა ის, რომ აქვს ორი მდგრადი მდგომარეობა – ლოგიკური 1 და 0. ამ ორი მდგრადი მდგომარეობიდან ერთ-ერთში ტრიგერს შეუძლია დარჩეს რაგინდ დიდი დროის განმავლობაში, ე.ი. მას აქვს ინფორმაციის დამახსოვრების უნარი. მაშასადამე, კომბინაციური ლოგიკური სქემებისაგან განსხვავებით, ტრიგერი დამახსოვრების უნარის მქონე ლოგიკური მოწყობილობაა.

ტრიგერი მდგომარეობას იცვლის გარე მმართველი სიგნალების (ინფორმაციის) ზეგავლენით. ამავე დროს, ტრიგერის გამოსავალი სიგნალი (მდგომარეობა) საზოგადოდ დამოკიდებულია არა მარტო მოცემულ მომენტში მის შესასვლელებზე მოქმედ სიგნალებზე, არამედ იმ სიგნალებზეც, რომლებიც ამავე შესასვლელებზე ადრე მოქმედებდა.

ქვემოთ ნაჩვენებია ტრიგერის განზოგადებული სტრუქტურული სქემა. სტრუქტურულ სქემაში შედის მეხსიერების უჯრედი ( $\theta_{\text{J}}$ ) და მმართველი ლოგიკური მოწყობილობა ( $\text{ლმ}$ ).



ლოგიკური მოწყობილობა შემოსულ ინფორმაციას გადაქმნის სიგნალთა კომბინაციად, რომელთა ზემოქმედების შედეგად მეხსიერების უჯრედი დაიკავებს თრიდან ერთ რომელიმე მდგრად მდგომარეობას (ლოგიკურ 0-ს, ლოგიკურ 1-ს).

საინფორმაციო სიგნალები მიეწოდება ლოგიკური მოწყობილობის  $A$  და  $B$  შესავლელებს. გარდაქმნის შემდეგ, ლოგიკური მოწყობილობიდან გამოსული სიგნალები ზემოქმედებს მეხსიერების უჯრედის  $S'$  და  $R'$  შიგა შესასვლელებზე.  $E$  შესავალი გამოიყენება ინფორმაციის (სიგნალის) მიღების ნებართვის გასაცემად, ხოლო  $C$  შესავალი უზრუნველყოფს ინფორმაციის სინქრონიზებულ (ტრაქტირებულ) მიღებას.

უმარტივესი სახის ტრიგერებს გააჩნია ორი გამოსავალი: პირდაპირი  $Q$  და ინვერსული  $\bar{Q}$ . თუ პირდაპირ  $Q$  გამოსავალზე პოტენციალი მაღალია, მაშინ  $\bar{Q}$  გამოსავალზე უჟღველად გვექნება დაბალი პოტენციალი და პირიქით. ტრიგერის მდგომარეობა განისაზღვრება გამოსასვლელებზე ძაბვის დონეების მიხედვით. მიღებულია, რომ თუ პირდაპირ გამოსავალზე გვაქვს ძაბვის მაღალი დონე ( $Q=1$ ,  $\bar{Q}=0$ ), მაშინ ტრიგერი არის ერთეულოვან მდგომარეობაში, ე.ი. მასში ჩაწერილია ლოგიკური 1. როდესაც გამოსავალზე გვაქვს ძაბვის დაბალი დონე ( $Q=0$ ,  $\bar{Q}=1$ ), მაშინ ტრიგერი არის ნულოვან მდგომარეობაში, ე.ი. მასში ჩაწერილია ლოგიკური 0.

ტრიგერის მუშაობის აღწერისათვის იყენებენ გადართვების ცხრილს ან მახასიათებელ განტოლებას:

$$Q^n = f(Q^{n-1}, X^n, C^n),$$

$Q^n$  – გამოსავალი ცვლადია;

$X^n$  – ინფორმაციული სიგნალი (გადამრთველი სიგნალი);

$C^n$  – მასინქრონებელი (ტაქტური) სიგნალი;

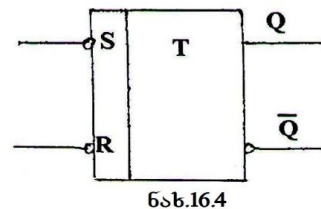
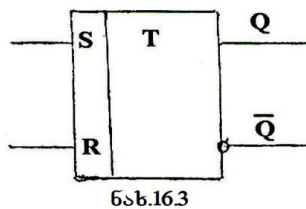
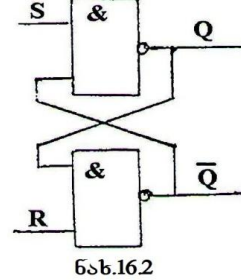
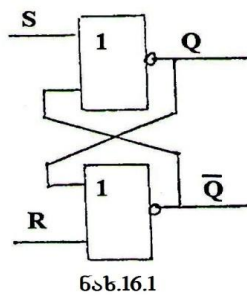
$n$  – დროის ინტერვალის ნომერი.

უმარტივესი ტრიგერი შეიძლება აიგოს 2 ლოგიკური „და-არა“ ან „ან-არა“ ელემენტის საშუალებით. მას გააჩნია ორი შესავალი, რომლებიც აღინიშნება სიმბოლოებით  $R$  და  $S$ . ტრიგერის ერთეულოვან მდგომარეობაში გადაყვანისათვის სიგნალი მიეწოდება  $S$  შესავალს (ინგლისური სიტყვიდან **Set** – დაყენება), ხოლო ნულოვან მდგომარეობაში გადაყვანისათვის სიგნალი მიეწოდება  $R$  შესავალს (ინგლისური სიტყვიდან **Reset** – გადართვა). ასეთ ტრიგერს  $RS$  ტრიგერს ან განცალკევებულ შესასვლელებიან ტრიგერს უწოდებენ.

$RS$  – ტრიგერის ფუნქციური სქემები მოცემულია 16.1 ნახაზზე (ტრიგერი აგებულია „ან-არა“ ელემენტებზე) და 16.2 ნახაზზე (ტრიგერი აგებულია „და-არა“ ელემენტებზე). 16.1 ნახაზზე მოცემულ  $RS$  – ტრიგერის გადამრთველი სიგნალია ლოგიკური 1, ხოლო 16.2 ნახაზზე მოცემულ  $RS$  – ტრიგერის გადამრთველი სიგნალია ლოგიკური 0.

*RS* – ტრიგერის პირობითი აღნიშვნები მოცემულია 16.3 და 16.4 ნახაზებზე. შესასვლელებს, რომლებისთვისაც გადამრთველი სიგნალი არის ლოგიკური 0, ეწოდებათ ინვერსიული შესასვლელები და აღინიშნებიან რგოლებით (ნახ.16.4).

„ან-არა”, „და-არა” ლოგიკურ ელემენტებზე აგებული ასინქრონული *RS* – ტრიგერების მუშაობის პრინციპი აისახება გადართვის ცხრილით (ცხრილი №1).

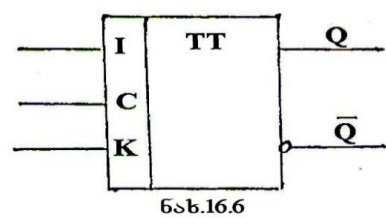
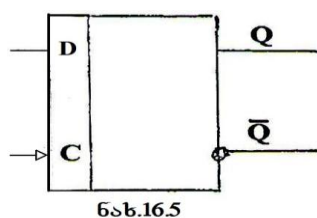


უმარტივესი *RS* – ტრიგერისაგან განსხვავებით, *D* – ტრიგერს გააჩნია მხოლოდ ერთი შესავალი *D* და მასინქრონებელი შესავალი *C*. *C* – შესავალს მიეწოდება მასინქრონებელი (ტაქტური) იმპულსები, რომლებიც ნების დამრთველ სიგნალებს წარმოადგენენ. ტრიგერებს, რომლებიც ამ სიგნალებზე მუშაობენ, სინქრონულ ტრიგერებს უწოდებენ.

ცხრილი 1

$R^n$	$S^n$	$Q^n$

„*D*” ტრიგერის პირობითი აღნიშვნა მოცემულია 16.5 ნახაზზე.



*C* – შესავალზე ლოგიკური 1-ის მიწოდების შემთხვევაში, ტრიგერის მდგომარეობა განისაზღვრება *D* – შესავალზე წინა ტაქტში მიწოდებული სიგნალით.

*JK* – ტრიგერი უნივერსალური ტრიგერია. მის შესასვლელებზე შესაძლო კომბინაციების განხორციელებით შეგვიძლია მივიღოთ როგორც *RS*, ისე *D* – ტრიგერი.

*JK* – ტრიგერის პირობითი გრაფიკული აღნიშვნა მოცემულია 16.6 ნახაზზე.  
*JK* – ტრიგერი იცვლის თავის მდგომარეობას *C*-შესავალზე მიწოდებული სიგნალის ცვლილებით 1-დან 0-ზე გადასვლის დროს, ე.ო. მაშინ, როდესაც *C* – შესავალს მიეწოდება სიგნალის უკანა ფრონტი ( $C^n = 0$ ).

როდესაც *J* და *K* შესასვლელებს ერთდროულად მივაწვდით ლოგიკური 1-ის შესაბამის სიგნალს ტრიგერი გადაირთვება საწინამდდებო მდგომარეობაში.

როდესაც *J = K = 0*, მაშინ ტრიგერი არ იცვლის თავის მდგომარეობას.

როდესაც *J = 1, K = 0*, ტრიგერი გადაირთვება ერთეულოვან მდგომარეობაში.

როდესაც *J = 0, K = 1*, მაშინ ტრიგერი გადაირთვება ნულოვან მდგომარეობაში.

### 3. მითითებები ლაბორატორიული სამუშაოს შესრულებაზე

ლაბორატორიული სამუშაო უნდა შესრულდეს მას შემდეგ, რაც შესწავლილი იქნება მე-2 პუნქტში მოცემული თეორიული ცნობები. დამატებით მიზანშეწონილია [1] გამოყენება.

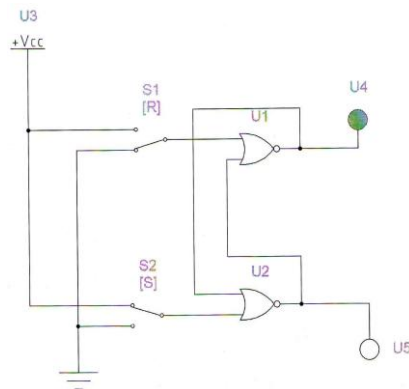
### 4. ლაბორატორიული სამუშაოს შინაარსი

4.1. ასინქრონული და სინქრონული *RS* – ტრიგერების კომპიუტერული სქემოტექნიკური მოდელირება და გადართვის ცხრილების აგება.

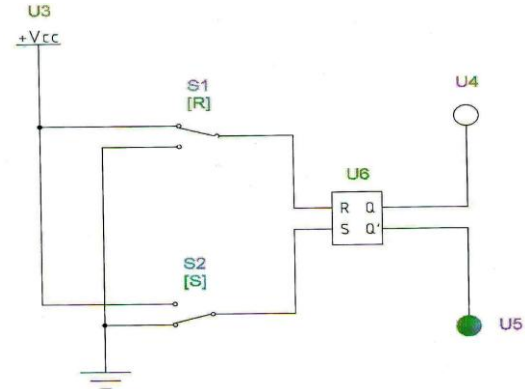
4.2. სინქრონული *D* – ტრიგერისა და უნივერსალური *JK* – ტრიგერის კომპიუტერული სქემოტექნიკური მოდელირება და გადართვის ცხრილების აგება.

### 5. ტრიგერების გირტუალური სძლებები და მათი აღწერა

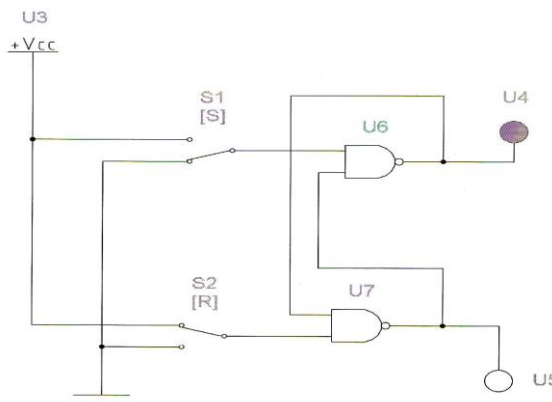
5.1. *RS* – ტრიგერების გირტუალური სქემების აგება შესაძლებელია 16.7 ნახაზზე მოცემული ესკიზების მიხედვით.



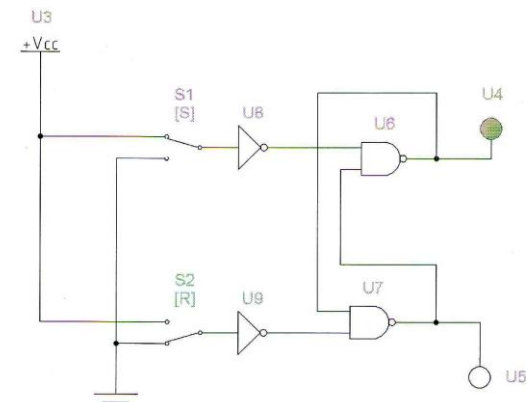
ა)



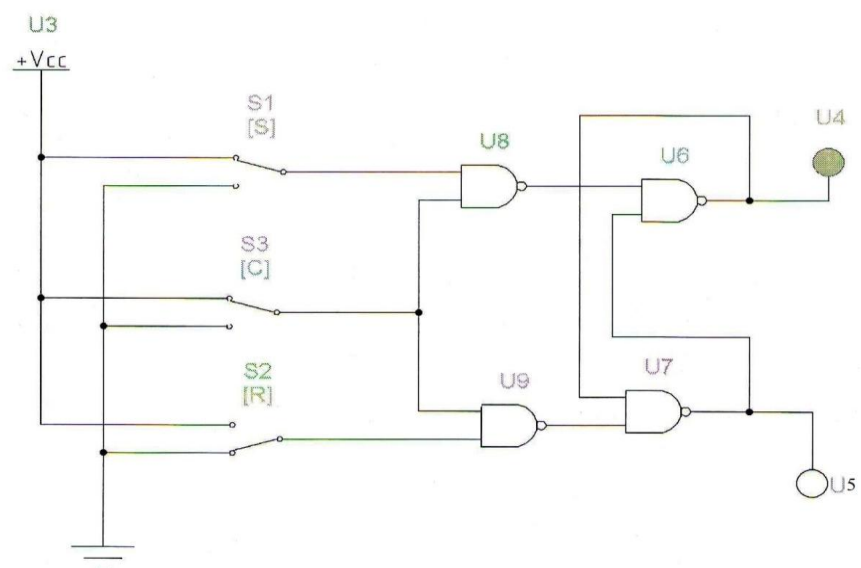
ბ)



გ)



დ)



ე)

ნახ.16.7.  $RS$  – ტრიგერების ვირტუალური სქემები

16.7.ა ნახაზზე შარმოდგენილი ასინქრონული  $RS$  – ტრიგერი აგებულია „ან-არა“ ლოგიკურ ელემენტებზე. იგი გადაირთვება ახალ მდგომარეობაში  $S$  და  $R$

შესასვლელებზე ლოგიკური 1-ის შესაბამისი სიგნალით. ამიტომ ასეთი ტრიგერი წარმოადგენს ტრიგერს პირდაპირი მართვით, ანუ აქტიური მაღალი დონით.

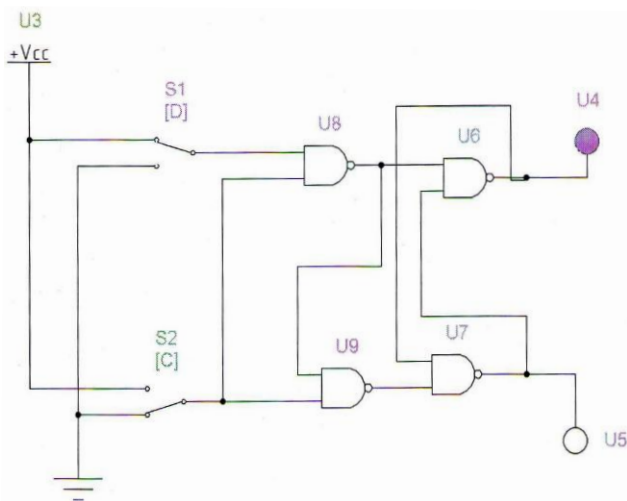
16.7,ბ ნახაზზე წარმოდგენილია ზემოაღნიშნული ტრიგერი პრინციპულ სქემებში (ხოლო მოცემულ შემთხვევაში ვირტუალურ სქემურ მოდელებში) სტანდარტული გრაფიკული აღნიშვნით და გამომყვანების შესაბამისი მონიშვნით ( $S, R, Q, \bar{Q}$ ).

16.7,გ ნახაზზე წარმოდგენილი ასინქრონული  $RS$  – ტრიგერი აგებულია „და-არ“ ლოგიკურ ელემენტებზე. ასეთი პრინციპით აგებული  $RS$  – ტრიგერი ინვერსული შესასვლელებიანია. მისი ახალ მდგომარეობაში გადართვა ხორციელდება შესასვლელებზე ლოგიკური 0-ის მიწოდებით. ამ შემთხვევაში დაბალი დონეა აქტიური, ხოლო ტრიგერის მართვა არის ინვერსული.

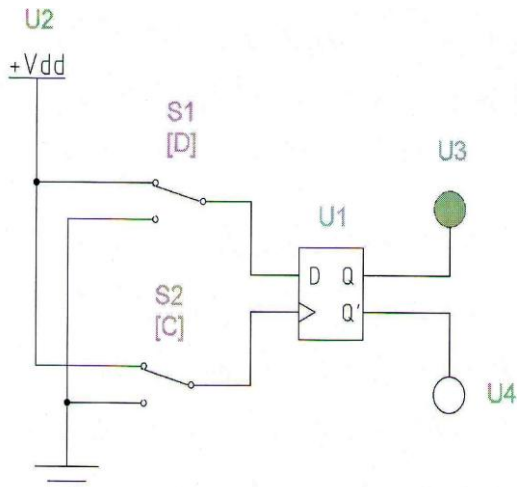
16.7,დ ნახაზზე წარმოდგენილ სქემაში „და-არა“ ლოგიკურ ელემენტებზე აგებული  $RS$  – ტრიგერის სქემას შესავალ წრედებში დამატებული აქვს ინვერტორები, რის გამოც, მართვის ხასიათი იცვლება საწინააღმდეგოთი, ე.ი. იგი გარდაიქმნება პირდაპირი მართვის მქონე  $RS$  – ტრიგერად „და-არა“ ელემენტებზე.

16.7,ე ნახაზზე წარმოდგენილია სინქრონული  $RS$  – ტრიგერის სქემა, რომელსაც ზემოთ განხილული „და-არა“ ელემენტებზე აგებული ასინქრონული ტრიგერის სქემისაგან განსხვავებით დამატებული აქვს მასინქრონებელი შესავალი. ეს შესავალი აღინიშნება  $C$  ასოთი (Clock Pulse – ტაქტური იმპულსის დასახელებიდან გამომდინარე).

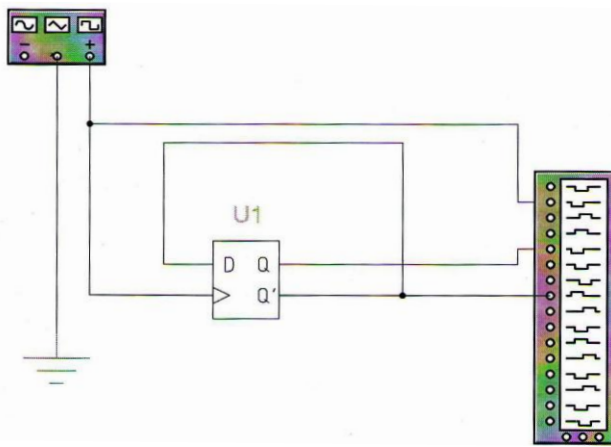
**5.2. ლაბორატორიულ სამუშაოში გამოსაკვლევი სინქრონული  $D$  – ტრიგერისა და უნივერსალური  $JK$  – ტრიგერის ვირტუალური სქემების აგება შესაძლებელია 16.8 ნახაზზე მოცემული ესკიზების მიხედვით.**



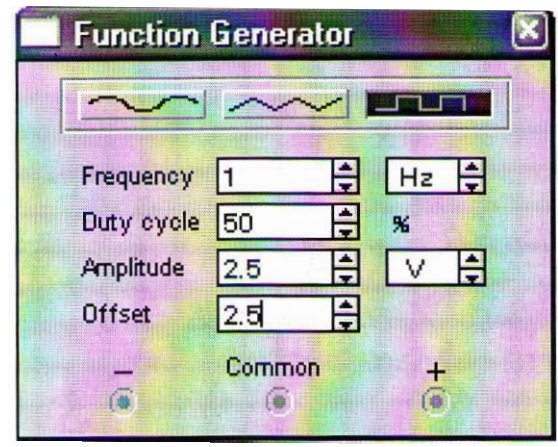
ა)



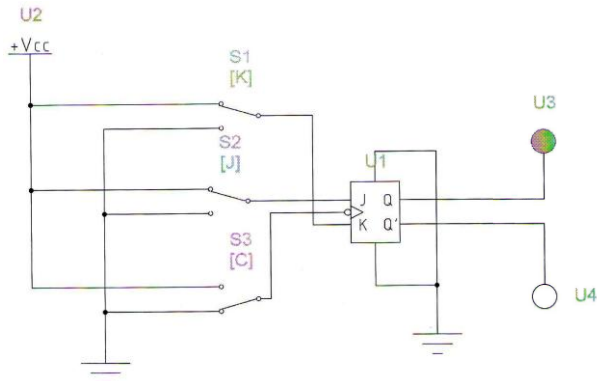
ბ)



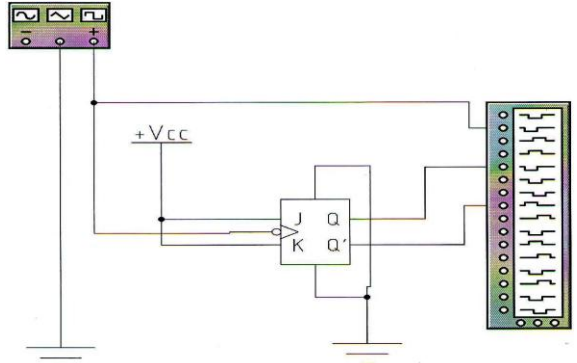
ა)



გ)



გ)



გ)

ნახ.16.8. სინქრონული  $D$  – ტრიგერისა (ა,ბ,გ) და უნივერსალური  $JK$  – ტრიგერის (გ,გ) სქემები

სქემები

16.8,ა ნახაზზე მოცემულია სინქრონული  $D$  – ტრიგერის ერთ-ერთი სქემური ვარიანტი, რომელიც შეიცავს ბისტაბილურ უჯრედს (მეხსიერების უჯრედი  $U6$ ,  $U7$  „და-არა“ ელემენტებზე) და მმართველ ლოგიკურ მოწყობილობას. ეს უკანასკნელი აწყობილია ორ „და-არა“ ლოგიკურ ელემენტზე ( $U8$ ,  $U9$ ) და აქვს  $D$  – სინფორმაციონ და  $C$  – სინქრონიზაციის შესასვლელები.

16.8,ბ ნახაზზე წარმოდგენილია სქემა, სადაც ჩართულია **EWB** ბიბლიოთეკიდან გამოტანილი  $D$  – ტრიგერი, ვირტუალურ სქემურ მოდელებში გამოყენებული სტანდარტული გრაფიკული აღნიშვნის გათვალისწინებით. **EWB** პროგრამის ბიბლიოთეკაში განთავსებულია ორი ტიპის  $D$  – ტრიგერი: წინასწარი დაყენების

შესასვლელების  $(S, R)$  გარეშე და წინასწარი დაყენების შესასვლელებით. ამ შემთხვევაში სქემაში პირველი სახის  $D$  – ტრიგერია გამოყენებული.

16.8,გ ნახაზზე წარმოდგენილ სქემაში  $D$  – ტრიგერი გარდაქმნილია  $T$ , ანუ მთვლელ ტრიგერად. თვლის რეჟიმის ორგანიზაცია ხორციელდება უპუკავშირის ხარჯზე. ტრიგერის ინვერსული გამოსავალიდან  $D$  – საინფორმაციო შესავალზე მიწოდებული სიგნალი ახდენს მისი მდგომარეობის შეცვლას.

ასეთი ტრიგერის უფრო დეტალური გამოკვლევის მიზნით, მის შესავალს ფუნქციური გენერატორიდან (ფუნქციური გენერატორის სადიალოგო პარამეტრების ფანჯარა მოცემულია 16.8,დ ნახაზზე) ვაწვდით ერთი პერცი სისტირისა და 5 ვამპლიტუდის მართვული სინკრონიზულსებს. ტრიგერის შესავალისა და გამოსავალის მდგომარეობის კონტროლის მიზნით გამოიყენება ლოგიკური ანალიზატორი.

16.8,ე ნახაზზე წარმოდგენილია უნივერსალური  $JK$  – ტრიგერის გამოსაკვლევი სქემა, სადაც გამოყენებულია **EWB** პროგრამის ბიბლიოთეკიდან გამოტანილი  $JK$  – ტრიგერის ვირტუალური მოდელი, სადაც წინასწარი დაყენების  $S, R$  ასინქრონული შესასვლელები საერთო (ნულოვან) სალტესტანაა მიერთებული.  $J, K$  და  $C$  შესასვლელებს  $S1, S2, S3$  გადამრთველების საშუალებით მიუერთდება ლოგიკური 1 ( $+5V$ ) და ლოგიკური 0 (ნულოვანი სალტიდან).

16.8,ვ ნახაზზე წარმოდგენილ ვირტუალურ სქემაში  $J$  – და  $K$  – შესასვლელები გაერთიანებულია და მიერთებულია  $+5$  ვაბვის წყაროსთან, რის გამოც, სქემა იმუშავებს მთვლელი ტრიგერის რეჟიმში ( $T$  ტრიგერი).  $D$  – ტრიგერზე აწყობილი მთვლელი ტრიგერის ანალოგიურად,  $C$  – შესავალს ფუნქციური გენერატორიდან მიეწოდება 1 პც სისტირისა და 5 ვამპლიტუდის მართვული სინკრონიზულსები. ტრიგერის შესავალისა და გამოსავალის მდგომარეობის კონტროლის მიზნით გამოიყენება ლოგიკური ანალიზატორი.

## 6. ლაბორატორიული სამუშაოს შესრულების თანამიმდევრობა

6.1. 16.7,ა,ბ,გ,დ ნახაზებზე წარმოდგენილი ასინქრონული  $RS$  ტრიგერის ცალკეული სქემის აწყობის შემდეგ ჩავრთავთ მოდელირების რეჟიმს და ვახდენთ მისი მუშაობის გამოკვლევას ტრიგერული (გადართვის) ცხრილის შედგენის გზით (ცხრილი 1). ამისათვის  $S$  – და  $R$  – შესასვლელებზე ვაწვდით სხვადასხვა ლოგიკურ სიგნალს (1 და 0) და ამავდროულად ვითვალისწინებთ წინა მდგომარეობას. ამიტომ **EWB** პროგრამაში არ უნდა მოხდეს მოდელირების რეჟიმის გამორთვა. გამოკვლევას ვიწყებთ  $S=1, R=0$  შესავალი სიგნალების კომბინაციით, რომელმაც ტრიგერის გამოსავალი

უნდა ჩააყენოს  $Q=1$  ( $\bar{Q}=0$ ) მდგომარეობაში; შემდეგ გადავდივართ შესავალი სიგნალების  $S=0, R=0$  კომბინაციაზე და ვამოწმებთ შეინახა თუ არა ტრიგერმა წინა მდგომარეობა (წინა მდგომარეობის შენახვის რეჟიმი). ამის შემდეგ ავიღებთ შესავალი სიგნალების  $R=1, S=0$  კომბინაციას და ჩავინიშნავთ ტრიგერის გამოსავალის მდგომარეობას, რის შემდეგაც ვიმუორებთ შესავალი სიგნალების  $S=0, R=0$  კომბინაციას და ვამოწმებთ ტრიგერის გამოსავალის მდგომარეობას. ვამოწმებთ შესავალი სიგნალების  $R=1, S=1$  კომბინაციის დროს  $RS$  – ტრიგერის გამოსავალის მდგომარეობას და ვაკეთებთ დასკვნას. გამოკვლევის შედეგებს წარმოვადგენთ ცალკეული ტრიგერული სქემის გადართვის ცხრილით, რომლის მიხედვითაც ვაკეთებთ დასკვნას ტრიგერული სქემის მუშაობაზე.

სინქრონული  $RS$  – ტრიგერის მუშაობის გამოკვლევას ვახდენთ 16.7,ე ნახაზზე მოცემული ვირტუალური სქემის მიხედვით. ამ სქემის აწყობისა და მოდელირების რეჟიმის ჩართვის შემდეგ შევადგენთ ტრიგერის გადართვის ცხრილს იგივე მეთოდით, როგორიც ასინქრონული  $RS$  – ტრიგერის მუშაობის გამოკვლევის დროს იყო გამოყენებული. მხოლოდ, ამჯერად, საჭიროა დამატებით მასინქრონებელ შესავალზე ლოგიკური 1-ისა და ლოგიკური 0-ის შესაბამისი სიგნალების დაყენება,  $S$  და  $R$  შესასვლელებზე მიწოდებული ლოგიკური სიგნალების სხვადასხვა კომბინაციის დროს (იხ. ცხრილი №2). შედგენილი ცხრილის მიხედვით ჩამოვაყალიბებთ სინქრონული  $RS$  – ტრიგერის მუშაობის თავისებურებებს.

ცხრილი 2

$C$	$S$	$R$	$Q$	$\bar{Q}$
1	1	0		
0	1	0		
0	0	0		
1	0	1		
0	0	1		
0	0	0		
1	1	1	X	

ცხრილი 3

$C$	$D$	$Q$
1	0	
0	1	
1	1	
0	0	
1	0	

6.2. 16.8,ა,ბ ნახაზებზე წარმოდგენილი  $D$  – ტრიგერის სქემების აწყობის შემდეგ ჩაფრთავთ მოდელირების რეჟიმს და ვახდენთ მათი მუშაობის გამოკვლევას ტრიგერული (გადართვის) ცხრილის შედგენის გზით. ამისათვის  $C$  – და  $D$  – შესასვლელებზე გაწვდით ლოგიკური სიგნალების 1 და 0 სხვადასხვა კომბინაციას (იხ. ცხრილი 3) და

ვარკვევთ ტრიგერის გამოსავალის მდგომარეობას. ვახდენთ ტრიგერის მუშაობის გაანალიზებას.

მთვლელის რეჟიმში ჩართული  $D$  – ტრიგერის 16.8,გ ნახაზზე მოცემული სქემის მუშაობის გამოკვლევის დროს საჭიროა ლოგიკური ანალიზატორის წინასწარი გაწყობა. ამისათვის ლოგიკური ანალიზატორის სქემურ გამოსახულებაზე თავის მარცხენა დილაკით ორჯერ დაწყაპვით უნდა გავხსნათ ანალიზატორის წინა პანელი. პანელზე მოთავსებულ **Sat** ლილაკზე დაწყაპვის შემდეგ გახსნილ ფანჯარაში (**Clock setup**) უნდა შევირჩიოთ შინაგანი განშლადობის რეჟიმი (**Internal clock rate**) და დავაფიქსიროთ 2 პცის ტოლი სიხშირე. სხვა პარამეტრები რჩება დუმილის რეჟიმის შესაბამისი.

მოდელირების რეჟიმის ჩართვის შემდეგ ანალიზატორის ეკრანზე აისახება ტრიგერის  $C$  შესავალზე და  $Q$  ( $\bar{Q}$ ) – გამოსავალზე არსებული ციფრული სიგნალების გრაფიკები. **Stop** ლილაკზე დაწყაპვით შევაჩერებთ მოდელირების პროცესს და ვახდენთ მიღებული ციფრული სიგნალების ცვლილების სიხშირისა და ხასიათის შედარებით დახასიათებას. მიღებულ შედეგს ვაძლევთ თეორიულ ახსნას.

უნივერსალური  $JK$  – ტრიგერის მუშაობის გამოკვლევას ვახდენთ 16.8,ე ნახაზზე წარმოდგენილი ვირტუალური სქემის მიხედვით. სქემის აწყობის შემდეგ ჩავრთავთ მოდელირების რეჟიმს.  $J$  – და  $K$  – შესასვლელებზე ვაწვდით ლოგიკური სიგნალებს (1,0) სხვადასხვა კომბინაციის მიხედვით და შევადგენთ ტრიგერულ (გადართვის) ცხრილს (ცხრილი 4).  $J$  – და  $K$  – შესასვლელებზე მიწოდებული ყოველი წყვილი ლოგიკური სიგნალის დროს ვამოწმებთ ტრიგერის გამოსავალ მდგომარეობას. ამისათვის საჭიროა  $C$  – მასინქრონებელი შესავალის შესაბამის კლავიშზე ხანმოკლე დაჭერით  $C=1$  მდგომარეობის დაყენება და შემდეგ  $C=0$  მდგომარეობაში გადართვა (რადგან ტრიგერი რეაგირებს მასინქრონებელი სიგნალის ვარდნილზე, ე.ი. უკანა ფრონტზე). შედგენილი ცხრილის მიხედვით ჩამოვაყალიბებთ უნივერსალური  $JK$  – ტრიგერის მუშაობის თავისებურებას.

16.8,გ ნახაზზე მოცემული ვირტუალური სქემის მიხედვით ვახდენთ მთვლელი ტრიგერის ( $T$  – ტრიგერის) რეჟიმში ჩაყენებული უნივერსალური  $JK$  – ტრიგერის მუშაობის გამოკვლევას. გამოკვლევას ვახდენთ მთვლელ რეჟიმში გადაყვანილი  $D$  – ტრიგერის ანალოგიურად.

ცხრილი 4

$J$	$K$	$Q$
0	0	
0	1	
1	0	
1	1	

## 7. ლაბორატორიული სამუშაოს ანგარიშის შინაარსი

- 7.1. ტრიგერის ვირტუალური სქემები და მათი აღწერა.
- 7.2. მოდელეირებით მიღებული გადართვის ცხრილები და მათი დახასიათება.
- 7.3. მთვლელ რეჟიმში მომუშავე  $D -$  და  $JK -$  ტრიგერების მუშაობის ანალიზი ლოგიკური ანალიზატორიდან გადაღებული დიაგრამების გამოყენებით.
- 7.4. მიღებული შედეგების ზოგადი ანალიზი. დასკვნები.

## ს ა რ ჩ ე ვ ი

შინაარსის მიზანის მოპლანირება.....	2
------------------------------------	---

### 1. Electronics Worckbench პროგრამულ პროგრამასთან

#### მუშაობის მოპლანირების მიზანი

1.1. პროგრამის პიგლიორიეტა.....	3
---------------------------------	---

1.2. მოწყობილობის მოდელის სტანდარტული მდგრადი გათვალისწინება.....	12
---	----

#### ლაბორატორიული სამუშაო №1

ნახევარგამტარული დიოდების გამოკვლევა.....	16
---	----

#### ლაბორატორიული სამუშაო №2

მასტაბილიზებელი დიოდის (სტაბილიტონის) გამოკვლევა.....	23
---	----

#### ლაბორატორიული სამუშაო №3

ტირისტორული სტრუქტურის ნახევარგამტარული ხელსაწყოების გამოკვლევა.....	29
---	----

#### ლაბორატორიული სამუშაო №4

საერთო გაზით ჩართული გიაოლარული ტრანზისტორის გამოკვლევა.....	38
---	----

#### ლაბორატორიული სამუშაო №5

საერთო ემიტერით ჩართული ტრანზისტორის გამოკვლევა.....	43
--	----

#### ლაბორატორიული სამუშაო №6

ველით გართვადი ტრანზისტორების გამოკვლევა.....	47
---	----

#### ლაბორატორიული სამუშაო №7

ერთფაზა ძაბვის ორნახევარპერიოდიანი გამგართველების
---

გამოკვლევა.....	54
<b>ლაბორატორიული სამუშაო №8</b>	
საბაზისო ტრანზისტორული მაპლიერებელი პასპადების გამოკვლევა.....	69
<b>ლაბორატორიული სამუშაო №9</b>	
სიბნალის წრფივი გაძლიერების რეჟიმში მომუშავე რაერაციული მაპლიერებების გამოკვლევა.....	79
<b>ლაბორატორიული სამუშაო №10</b>	
ანალოგურ ელექტრონულ სიბნალებზე მათემატიკური რაერაციების შემსრულებელი სქემების გამოკვლევა.....	91
<b>ლაბორატორიული სამუშაო №11</b>	
ჰარმონიკული რხევის აპტრობენირატორების გამოკვლევა.....	102
<b>ლაბორატორიული სამუშაო №12</b>	
მართკუთხა ვორმის რხევების გენერატორების გამოკვლევა.....	111
<b>ლაბორატორიული სამუშაო №13</b>	
დისკრეტული ლოგიკური ელემენტების გამოკვლევა.....	122
<b>ლაბორატორიული სამუშაო №14</b>	
ტრიბერების გამოკვლევა.....	133
<b>ლიტერატურა.....</b>	144

## ლიტერატურა

1. ბ. დგებუამე. ელექტრონიკის საცუდბლები. –თბილისი, სტუ, 2011.
2. Карлащук В.И. Электронная лаборатория на IBM PC. Лабораторный практикум на базе Electronics Worbench и MATLAB - М: Солон - Пресс, 2004.